

การปรับปรุงกระบวนการผลิตหลักของการผลิตข้าวແتنของกลุ่มแม่บ้าน
เกษตรกรสันทรายหลวง

THE IMPROVEMENT OF MAIN PROCESS FOR FRIED RICE
CRACKERS MADE BY SANSAILUANG FARMERS'
HOUSEWIVES GROUP

瓦ซิลี อินทรพงษ์นุวัฒน์

วิทยานิพนธ์นี้เป็นส่วนหนึ่งของความสมบูรณ์ของการศึกษาตามหลักสูตร
ปริญญาวิทยาศาสตรมหาบัณฑิต สาขาวิชาเทคโนโลยีทางอาหาร
โครงการบัณฑิตวิทยาลัย มหาวิทยาลัยแม่โจ้

พ.ศ. 2550

ลิขสิทธิ์ของมหาวิทยาลัยแม่โจ้



ใบรับรองวิทยานิพนธ์
โครงการบัณฑิตวิทยาลัย มหาวิทยาลัยแม่โจ้
ปริญญาวิทยาศาสตรมหาบัณฑิต สาขาวิชาเทคโนโลยีทางอาหาร

ชื่อเรื่อง

การปรับปรุงกระบวนการผลิตหลักของการผลิตข้าวแทนของกลุ่มแม่น้ำน่าน

เกษตรกรสันทรายหลวง

โดย

วาซิษฐ์ อินทรพงษ์นุวัฒน์

พิจารณาเห็นชอบโดย

ประธานกรรมการที่ปรึกษา

(ผู้ช่วยศาสตราจารย์ประมาลี ราษฎร์สกุล)
วันที่ 11 เดือน ก.พ. พ.ศ. 2550

กรรมการที่ปรึกษา

(อาจารย์ ดร.กรรณก้า อรรถกนิตย์)
วันที่ 11 เดือน ก.พ. พ.ศ. 2550

กรรมการที่ปรึกษา

(ผู้ช่วยศาสตราจารย์ ดร.วิวัฒน์ หวังเจริญ)
วันที่ 11 เดือน ก.พ. พ.ศ. 2550

ประธานกรรมการประจำหลักสูตร

(อาจารย์ ดร.สุชาดา พิมพ์พิໄ)

วันที่ 11 เดือน ก.พ. พ.ศ. 2550

โครงการบัณฑิตวิทยาลัยรับรองแล้ว

(รองศาสตราจารย์ ดร.เทพ พงษ์พานิช)

ประธานคณะกรรมการโครงการบัณฑิตวิทยาลัย

วันที่ 11 เดือน ก.พ. พ.ศ. 2550

ชื่อเรื่อง	การปรับปรุงกระบวนการผลิตหลักของการผลิตข้าวแทนของ กุ่มแม่น้ำแยงตระกรสันทรายหลวง
ชื่อผู้เขียน	นางสาววาริษฐ์ อินทรพงษ์นุวัฒน์
ชื่อปริญญา	วิทยาศาสตรมหาบัณฑิต สาขาวิชาเทคโนโลยีทางอาหาร
ประธานกรรมการที่ปรึกษา	ผู้ช่วยศาสตราจารย์ปราณี วรารสวัสดิ์

บทคัดย่อ

การผลิตข้าวแทนให้มีประสิทธิภาพและคุณภาพดีขึ้นอยู่กับกรรมวิธีการผลิต คือ การขึ้นรูป วิธีการทำแห้ง ปริมาณความชื้นที่เหลือหลังการทำแห้ง ชนิดของน้ำมันที่ใช้ทอด อุณหภูมิและเวลาในการทอด ในการศึกษาประสิทธิภาพในการผลิตโดยเฉพาะการขึ้นรูปที่มีความสำคัญในแต่ละขั้นตอน การผลิต ผลของการศึกษาถึงประสิทธิภาพของเม็ดพิมพ์ที่ขึ้นรูปผลิตภัณฑ์ได้ครั้งละหลายชิ้น ที่มีความหนาแตกต่างกันมีผลต่อประสิทธิภาพในการผลิตและคุณภาพของผลิตภัณฑ์ โดยเม็ดพิมพ์ขนาดเล็กที่มีเส้นผ่าศูนย์กลาง 2.5 เซนติเมตร ชนิดที่มีความหนา 0.50 เซนติเมตร มีประสิทธิภาพดีที่สุดจากเม็ดพิมพ์ที่มีความหนา 0.4 0.5 และ 0.6 เซนติเมตร ส่วนเม็ดพิมพ์ขนาดใหญ่ที่มีเส้นผ่าศูนย์กลาง 4.0 เซนติเมตร ชนิดที่มีความหนา 0.80 เซนติเมตร มีประสิทธิภาพดีที่สุดจากเม็ดพิมพ์ที่มีความหนา 0.6 0.8 และ 1.0 เซนติเมตร

ส่วนการศึกษาอุณหภูมิในการอบแห้งและความชื้นที่เหลือหลังการทำแห้งที่มีผลต่อคุณภาพข้าวแทน พบร่วมกับการทำแห้งที่อุณหภูมิ 65 องศาเซลเซียส จนเหลือความชื้นร้อยละ 10 ได้ข้าวแทนหลังการทำแห้งที่มีลักษณะที่ดีที่สุด คือ มีความกรอบดี ครุชับน้ำมันได้น้อยรวมทั้งทำให้เกิดการเปลี่ยนแปลงสมบัติทางเคมีของน้ำมันที่ใช้ในการทอดน้อยที่สุด ส่วนการศึกษานิคของน้ำมันที่ใช้ทอด อุณหภูมิและเวลาในการทอด พบร่วมกับการทำโดยใช้น้ำมันปาล์มโอลิเยนที่อุณหภูมิ 210 องศาเซลเซียส เป็นเวลา 30 วินาที ให้ค่าความสว่างมากที่สุด และยังมีผลทำให้การครุชับน้ำมันของข้าวแทนมีค่าน้อยที่สุดและมีแนวโน้มการเปลี่ยนแปลงสมบัติทางเคมีของน้ำมันในระหว่างการทำแห้งน้อยที่สุด เมื่อวัดการเพิ่มขึ้นของปริมาณคอนจูเกตไดอีน ค่าเพอร์เซ็นต์และค่าทีบาร์ส

อย่างไรก็ได้การลดการเสื่อมคุณภาพของผลิตภัณฑ์และน้ำมันที่ใช้ทอดโดยการเติมสารต้านออกซิเดชันในน้ำมันก่อนการทำโดยเติม TBHQ BHA ผสมร่วมกับ BHT และใบเตยพบร่วมกับการทำโดยเติม TBHQ มีแนวโน้มให้ผลดีที่สุด รองลงมาคือใบเตย โดยช่วยให้สามารถเก็บรักษาได้ 60 วัน ขณะที่ข้าวแทนที่ไม่เติมสารต้านออกซิเดชันจะเก็บรักษาเพียง 30 วัน ในบรรจุภัณฑ์พลาสติกชนิดโพลีไพรีฟิล์ม

Title	The Improvement of Main Process for fried rice crackers Made by Sansaihuang farmers' housewives Group
Author	Miss Watinee Intharapongnuwat
Degree of	Master of Science in Food Technology
Advisory Committee Chairperson	Assistant Professor Pranee Warasawas

ABSTRACT

The efficiency of production process and the quality of Thai-style fried rice crackers depend on production processes including molding and drying processes, moisture content remaining after drying, frying oil type, frying temperature, and frying time. The efficiency especially of molding process affects the cost of product. This study concentrated on the efficiency of the molds that produce several pieces instead of one piece at a time. The thicknesses of the molds affected both quality and time of molding. A small size mold of 2.5 centimeters in diameter gave the best result at 0.5 centimeter thickness compare with 0.4 and 0.6 centimeter while the bigger mold of 4.0 centimeters in diameter was best at 0.8 centimeter thickness compare with 0.6 and 1.0 centimeter.

The study on drying temperatures and the remaining moistures revealed that drying at 65 °C to get a moisture content to 10% yielded the best product with crispiness, least oil uptake, and the least chemical change of frying oil. While the study on frying oil types, frying temperatures, and frying times showed that frying rice crackers with palm olein at the temperature of 210°C for 30 seconds resulted in the highest value for brightness, the least oil uptake of the product, and the least chemical change of frying oil with respect to conjugated dienes content, peroxide value, and TBARS value.

The study on using antioxidants to decrease deterioration of product and frying oil were also carried out. The uses of TBHQ, BHA with BHT, and natural Pandan leaves were compared. It was found that TBHQ tended to yield the best result, followed by Pandan leaves. Both antioxidants extended the shelf life of rice crackers to 60 days while the shelf lives of crackers without antioxidant were only at 30 days in PP packaging.

กิตติกรรมประกาศ

ข้าพเจ้าขอขอบพระคุณ ผู้ช่วยศาสตราจารย์ปราณี วรารัตน์สุด ประธานกรรมการที่ปรึกษา เป็นอย่างสูงที่ได้กรุณาให้คำแนะนำและคำปรึกษา พร้อมทั้งจัดหาทุนในการทำวิจัย อยู่ติดตาม การทำงานและแก้ไขงานวิจัยจนสำเร็จลุล่วงไปได้ด้วยดี

ขอขอบพระคุณอาจารย์ ดร. กรณีต์ และผู้ช่วยศาสตราจารย์ ดร. วิวัฒน์ วงศ์ เจริญ กรรมการที่ปรึกษาที่ได้กรุณาให้คำปรึกษาและข้อแก้ไขในการทำงานวิจัยครั้งนี้เป็นอย่างดี และลุล่วงจนสำเร็จ รวมทั้งอาจารย์ ดร. สมชาย จอมดวง ประธานกรรมการผู้ทรงคุณวุฒิจากบัณฑิต วิทยาลัยที่ได้ให้คำแนะนำตลอดจนช่วยตรวจสอบแก้ไขงานวิจัยให้มีความสมบูรณ์ยิ่งขึ้น

ขอขอบพระคุณคณาจารย์และเจ้าหน้าที่ห้องปฏิบัติการภาควิชาเทคโนโลยีทางอาหารและ ภาควิชาวิศวกรรมและอุตสาหกรรมเกษตร คณะวิศวกรรมและอุตสาหกรรมเกษตร มหาวิทยาลัย เมือง ที่ให้คำปรึกษา ให้ความสะดวกในการใช้สถานที่ อุปกรณ์ สารเคมี เครื่องมือต่างๆ ที่ใช้ในการทำวิจัยและเป็นกำลังใจด้วยดีเสมอมา

ขอขอบคุณพี่ ๆ น้อง ๆ นักศึกษาปริญญาโท สาขานเทคโนโลยีทางอาหารและนักศึกษา ปริญญาตรี สาขาวิทยาศาสตร์และเทคโนโลยีการอาหาร มหาวิทยาลัยเมือง ที่เป็นกำลังใจและให้ การสนับสนุนช่วยเหลือในการทำงานวิจัยครั้งนี้

ท้ายสุดขอขอบพระคุณ คุณพ่อนำรุ่งและคุณแม่โรซาเลีย อินทรพงษ์นุวัฒน์ ที่เป็น ผู้ให้กำเนิด ให้กำลังใจ กำลังทรัพย์และสติปัญญา ตลอดจนญาติพี่น้องและเพื่อน ๆ ที่เคยให้ความ ช่วยเหลือในการศึกษาจนสำเร็จ และข้าพเจ้าขอน้อมรำลึกถึงพระคุณของครูบาอาจารย์ทุกท่านที่ได้ อบรมสั่งสอนข้าพเจ้าตั้งแต่เด็กจนโต

วาซิณี อินทรพงษ์นุวัฒน์

26 เมษายน 2550

สารบัญ

	หน้า
บทคัดย่อ	(3)
ABSTRACT	(4)
กิจกรรมประภากาศ	(5)
สารบัญ	(6)
สารบัญตาราง	(8)
สารบัญภาพ	1
บทที่ 1 บทนำ	1
ความเป็นมาและความสำคัญของปัญหา	1
วัตถุประสงค์ของการวิจัย	2
ประโยชน์ที่คาดว่าจะได้รับ	2
ขอบเขตของการวิจัย	2
บทที่ 2 การตรวจสอบสาร	3
ข้าวแทนหรือข้าวแทน	3
กระบวนการผลิตที่สำคัญ	6
การตรวจสอบการเกิดปฏิกิริยาออกซิเดชันของไขมันในอาหาร	38
ข้อนแนะนำสำหรับการทดสอบอาหาร โดยทั่วไป	41
การเตือนเตือนคุณภาพของผลิตภัณฑ์ข้าวแทน	42
บทที่ 3 วิธีดำเนินการวิจัย	43
วัสดุและสารเคมี	43
อุปกรณ์ที่ใช้ในการผลิตข้าวแทน	43
อุปกรณ์ที่ใช้วิเคราะห์คุณภาพข้าวแทน	44
สารเคมีที่ใช้วิเคราะห์คุณภาพข้าวแทน	45
อุปกรณ์ที่ใช้ในการวิเคราะห์คุณภาพทางประสานสัมผัส	47
การวิเคราะห์ทางสถิติ	47
วิธีการวิจัย	47
การศึกษาคุณภาพของแม่พิมพ์แผ่นพลาสติกอะคริลิกเมื่อเทียบกับแม่พิมพ์เดิม	47
ของกลุ่มแม่บ้าน	47

การศึกษาปริมาณความชื้นของข้าวแทนแห้งของกลุ่มแม่บ้าน	50
การศึกษาระบบทดลองแบบหัวแทนโดยใช้ตู้อบลมร้อน	50
การศึกษานิคของน้ำมันที่ใช้ในการทอด เวลาอุณหภูมิในการทอดที่มีผลต่อ ข้าวแทน	52
การศึกษานิคของสารต้านออกซิเดชันที่ใช้ในกระบวนการการทำที่มีผลต่ออายุ การเก็บรักษาข้าวแทนในช่วงระยะเวลาต่าง ๆ	54
บทที่ 4 ผลการวิจัยและวิจารณ์	58
การศึกษาคุณภาพของเม็ดพิมพ์แผ่นพลาสติกอะคริลิคเมื่อเทียบกับเม็ดพิมพ์เดิม ของกลุ่มแม่บ้าน	58
การศึกษาปริมาณความชื้นของข้าวแทนแห้งของกลุ่มแม่บ้าน	63
การศึกษาระบบทดลองแบบหัวแทนโดยใช้ตู้อบลมร้อน	64
การศึกษานิคของน้ำมันที่ใช้ในการทอด เวลาอุณหภูมิในการทอดที่มีผลต่อ ข้าวแทน	82
การศึกษานิคของสารต้านออกซิเดชันที่ใช้ในกระบวนการการทำที่มีผลต่ออายุ การเก็บรักษาข้าวแทนในช่วงระยะเวลาต่าง	103
บทที่ 5 สรุปและข้อเสนอแนะ	124
สรุปผลการวิจัย	124
ข้อเสนอแนะ	125
บรรณานุกรม	126
ภาคผนวก	134
ภาคผนวก ก การวิเคราะห์ทางกายภาพ	135
ภาคผนวก ข การวิเคราะห์ทางเคมี	140
ภาคผนวก ค แบบทดสอบทางประสาทสัมผัส	155
ภาคผนวก ง ผลการวิเคราะห์ความแปรปรวนทางสถิติ	164

สารบัญตาราง

ตาราง	หน้า
1 ข้อดี-ข้อเสียของการทำแห้งด้วยการตากแดดและใช้ตู้อบลมร้อน	8
2 องค์ประกอบของสารต้านออกซิเดชันในใบเตยแห้ง 100 กรัม	13
3 องค์ประกอบและสมบัติบางประการของกรดไขมันในน้ำมันเมล็ดปาล์มและน้ำมันมะพร้าว	14
4 ตัวอย่างน้ำมันพืชสำหรับใช้ทอดหรือประกอบอาหารที่วางแผนน้ำยในห้องครัว	16
5 ประสิทธิภาพในการขึ้นรูปและสมบัติของข้าวแทนจากแม่พิมพ์ขนาดต่าง ๆ	62
6 ปริมาณความชื้นและค่า A_w ของข้าวแทนแห้งของกลุ่มแม่พิมพ์ขนาดต่าง ๆ หลัง	64
7 ค่าเฉลี่ยคุณสมบัติทางกายภาพของข้าวแทนเนื่องจากอิทธิพลของปัจจัยหลัก	72
8 คุณสมบัติทางกายภาพของข้าวแทนหลังทอดที่แสดงอิทธิพลของอุณหภูมิในการอบแห้ง 3 ระดับและความชื้นก่อนทอด 3 ระดับ	73
9 ค่าเฉลี่ยการเพิ่มขึ้นของค่าต่าง ๆ ทางเคมีของน้ำมันหลังทอดข้าวแทนที่แสดงอิทธิพลจากปัจจัยหลัก	80
10 การเปลี่ยนแปลงสมบัติทางเคมีของน้ำมันหลังการทอดข้าวแทนที่อบแห้งที่อุณหภูมิต่าง ๆ 3 ระดับและเหลือความชื้น 3 ระดับ	81
11 ค่าเฉลี่ยคุณสมบัติทางกายภาพหลังการทอดข้าวแทนเนื่องจากอิทธิพลของปัจจัยหลัก	87
12 ค่าเฉลี่ยคุณสมบัติทางกายภาพหลังการทอดข้าวแทนเนื่องจากอิทธิพลของ 2 ปัจจัย	88
13 คุณสมบัติทางกายภาพของข้าวแทนหลังการทอดที่แสดงอิทธิพลของน้ำมันที่ใช้ทอด 2 ชนิด อุณหภูมิในการทอด 3 ระดับและเวลาในการทอด 3 ระดับ	90
14 ค่าเฉลี่ยการเพิ่มขึ้นของค่าต่าง ๆ ทางเคมีของน้ำมันหลังทอดการข้าวแทนที่แสดงอิทธิพลจากปัจจัยหลัก	98
15 ค่าเฉลี่ยการเพิ่มขึ้นของค่าต่าง ๆ ทางเคมีของน้ำมันหลังทอดการข้าวแทนที่แสดงอิทธิพลของ 2 ปัจจัย	99
16 การเปลี่ยนแปลงสมบัติทางเคมีของน้ำมันหลังทอดข้าวแทนที่แสดงอิทธิพลของน้ำมันที่ใช้ทอด 2 ชนิด อุณหภูมิในการทอด 3 ระดับและเวลาในการทอด 3 ระดับ	101

17	คุณภาพทางกายภาพของข้าวแทนและการเปลี่ยนแปลงสมบัติทางเคมีของน้ำมัน หลังการทดสอบที่มีการเติมสารต้านออกซิเดชันในน้ำมันก่อนการทดสอบข้าวแทน	107
18	ค่าเฉลี่ยสมบัติทางกายภาพและทางเคมีของข้าวแทนภายหลังการทดสอบเนื่องจาก อิทธิพลของปัจจัยหลัก	113
19	สมบัติทางกายภาพและทางเคมีของข้าวแทนภายหลังการทดสอบที่แสดงอิทธิพลของ ในสารต้านออกซิเดชัน 4 ชนิดและเวลาในเก็บรักษา 7 ชั่วง	114
20	ค่าเฉลี่ยผลการทดสอบทางประสาทสัมผัสของข้าวแทนเนื่องจากอิทธิพลของ ปัจจัยหลัก	121
21	ผลการทดสอบทางประสาทสัมผัสของข้าวแทนที่ผ่านการทดสอบในน้ำมันที่เติมสาร ต้านออกซิเดชันและการเก็บรักษาในช่วงเวลาต่าง ๆ	122
22	ความจำเพาะของน้ำหนักของตัวอย่างตามปริมาตรของแอลกอฮอล์ที่ใช้ในความ เข้มข้นของโซเดียมไฮดรอกไซด์ที่เหมาะสมสำหรับการวิเคราะห์หารปริมาณกรด ไขมันอิสระในตัวอย่าง	143
23	การให้คะแนนในการทดสอบเชิงพรรรณ	163
24	การวิเคราะห์ความแปรปรวนทางด้านการขึ้นรูปข้าวแทนเปียกและทางกายภาพ ภายหลังการทดสอบข้าวแทนของแม่พิมพ์ขนาดเล็กที่มีความหนา 3 ขนาด เทียบกับ แม่พิมพ์ของกลุ่มแม่ป้าน	165
25	การวิเคราะห์ความแปรปรวนทางด้านการขึ้นรูปข้าวแทนเปียกและทางกายภาพ ภายหลังการทดสอบข้าวแทนของแม่พิมพ์ขนาดใหญ่ที่มีความหนา 3 ขนาด เทียบกับ แม่พิมพ์ของกลุ่มแม่ป้าน	165
26	การวิเคราะห์ความแปรปรวนทางกายภาพของข้าวแทนหลังการทดสอบที่มีผลมาจากการ อุณหภูมิในการอบแห้งและปริมาณความชื้น	166
27	การวิเคราะห์ความแปรปรวนการเปลี่ยนแปลงคุณภาพทางเคมีของน้ำมันที่ใช้ที่มี ผลมาจากการอบแห้งและปริมาณความชื้น	167
28	การวิเคราะห์ความแปรปรวนทางกายภาพภายหลังการทดสอบข้าวแทนที่มีผลมาจากการ ชนิดของน้ำมันที่ใช้ทดสอบ อุณหภูมิและเวลาในการทดสอบ	168
29	การวิเคราะห์ความแปรปรวนการเปลี่ยนแปลงคุณภาพทางเคมีของน้ำมันที่ใช้ที่มี ผลมาจากการชนิดของน้ำมันที่ใช้ทดสอบ อุณหภูมิและเวลาในการทดสอบ	169
30	การวิเคราะห์ความแปรปรวนทางกายภาพภายหลังการทดสอบข้าวแทนที่ผ่านการ ทดสอบในน้ำมันที่มีการเติมสารต้านออกซิเดชันชนิดต่าง ๆ	170

- 31 การวิเคราะห์ความแปรปรวนการเปลี่ยนแปลงคุณภาพทางเคมีของน้ำมันที่ใช้ที่เติม 170
สารต้านออกซิเดชันชนิดต่าง ๆ ที่ผ่านการทดสอบข้าวแทน
- 32 การวิเคราะห์ความแปรปรวนทางกายภาพของข้าวแทนและการเปลี่ยนแปลงคุณภาพทางเคมีของน้ำมันในข้าวแทนที่มีผลมาจากการต้านออกซิเดชันชนิดต่าง ๆ ที่เติมลงในน้ำมันที่ใช้ทดสอบและระยะเวลาในการเก็บรักษาในช่วงต่าง ๆ 171
- 33 การวิเคราะห์ความแปรปรวนของคุณลักษณะทางประสาทสัมผัสของข้าวแทนที่มีผลมาจากการชนิดของสารต้านออกซิเดชันชนิดต่าง ๆ ที่เติมลงในน้ำมันที่ใช้ทดสอบและระยะเวลาในการเก็บรักษาในช่วงต่าง ๆ 172

สารบัญภาพ

ภาพ	หน้า
1 ผลิตภัณฑ์ข้าวแทนน้ำแข็ง ไม่องกลุ่มแม่บ้านเกษตรกรสันทรายหลวง	3
2 แผนภูมิขั้นตอนการผลิตข้าวแทน	5
3 การเคลื่อนที่ของความชื้นออกจากชีนอาหารระหว่างการอบแห้ง	10
4 ภาพดัดขาวงแสดงการเปลี่ยนแปลงในอาหารของชีนอาหารที่ทดลองแบบน้ำมันท่วมและภาพสเกนต์ดขาวงของผิวน้ำมันฝรั่งทดลองโดยใช้กล้องจุลทรรศน์อิเลคตรอนแบบส่องร้าด	12
5 ภาพดัดขาวงของน้ำมันฝรั่งแห้งทดลองจาก confocal laser scanning microscopy ที่ผ่านการทดลองที่อุณหภูมิ 185 องศาเซลเซียส เป็นเวลา 5 นาที	18
6 ปฏิกริยาการเกิดไไฮโดรไลซิสของไตรเอซิลเชอโรล	21
7 แผนภูมิการเปลี่ยนแปลงระหว่างการเกิดอ๊อกไซด์ของไบมัน	24
8 การเกิดไไฮโดรเพอร์อ๊อกไซด์ของกรดโอลิโนเลอิก	25
9 การเกิดไไฮโดรเพอร์อ๊อกไซด์ของกรดลิโนเลอิก	26
10 การเกิดไไฮโดรเพอร์อ๊อกไซด์ของกรดลิโนเลนิก	27
11 แผนภูมิการสถาบัตtement ของไบมันหรือน้ำมันเนื้องจากความร้อน	30
12 ภาพโดยรวมของการเกิดปฏิกริยาออกซิเดชันในน้ำมันและปฏิกริยาของสารต้านออกซิเดชัน	31
13 โครงสร้างของ BHA	33
14 โครงสร้างของ BHT	34
15 โครงสร้างของ TBHQ	35
16 โครงสร้างของ โทโโคเฟอรอล	37
17 แม่พิมพ์ที่ใช้ขึ้นรูปข้าวแทน	61
18 ความสัมพันธ์ระหว่างเวลาที่ใช้ในการอบแห้งและปริมาณความชื้นของข้าวแทน กายหลังการอบแห้ง	65
19 ความสัมพันธ์ระหว่างเวลาที่ใช้ในการอบแห้งและค่ากิจกรรมของน้ำของข้าวแทน กายหลังการอบแห้ง	66
20 สีของข้าวแทนที่ผ่านการอบแห้งทั้ง 3 ระดับ จนหล่อความชื้น 3 ระดับ	68

บทที่ 1

บทนำ

ความเป็นมาและความสำคัญของปัญหา

ประชากรในจำพวกสันทรายส่วนใหญ่มีอาชีพเกษตรกรรม โดยมากจะทำการปลูกข้าวถั่วเหลือง มันฝรั่งและทำสวนมะม่วง เป็นต้น หลังจากเก็บเกี่ยวผลผลิตประชากรส่วนใหญ่จะประกอบอาชีพเสริม เช่น การแปรรูปอาหาร ได้แก่ การทำเต้าเจี้ยวถั่วเหลือง มันฝรั่งทอดกรอบ ไข่เค็ม ไข่สมุนไพร และข้าวแทน โดยเฉพาะข้าวแทนของกลุ่มแม่บ้านเกษตรสันทรายหลวงซึ่งมีสมาชิกกลุ่ม 50 คน ได้รับการคัดเลือกเป็นผลิตภัณฑ์ดีเด่นและเป็นสินค้าหนึ่งผลิตภัณฑ์หนึ่งตำบลที่ได้รับการประเมินของจังหวัดในระดับ 4 ดาว เนื่องจากการมีรสชาตior่อย กรอบมันและมีสีสวยงามจากน้ำแตงโม ซึ่งได้รับความนิยมรับประทานเป็นอาหารว่าง สามารถสร้างรายได้ให้แก่กลุ่มแม่บ้านต้านสันทรายหลวงไม่ต่ำกว่า 30,000 – 50,000 บาทต่อเดือน แต่ในส่วนของกระบวนการผลิตในขั้นตอนการทำแห้งที่ใช้เป็นวิธีการผึ่งแดดทำให้สูญเสียรายได้จากการผลิตไม่ต่อเนื่องที่ไม่สามารถผลิตข้าวแทนได้ในช่วงฤดูฝนประมาณเดือนมิถุนายนถึงเดือนตุลาคม รวมไปถึงหากเหลือความชื้นในข้าวแทนแห้งในบริเวณที่สูงอาจมีผลต่อการเสื่อมเสียของแทนเนื่องจากเชื้อราและการเหม็นหืนก่อนเวลาอันควร โดยทั้ง 2 ปัญหาอาจส่งผลทำให้มีอายุการเก็บรักษาสั้นลง การเก็บรักษาในปัจจุบันสามารถเก็บได้เพียง 2 เดือน โดยเก็บในถุงพลาสติก Polypropylene (PP) จึงศึกษาระบบวิธีการอบแห้งโดยใช้ตู้อบ นอกจากนี้การขึ้นรูป ปัจจุบันทำได้ครั้งละชิ้นดังนั้นเพื่อประหยัดเวลาและแรงงานจึงมีความจำเป็นในการหางรูปวิธีเพื่อเพิ่มประสิทธิภาพในการผลิต รวมทั้งการศึกษาถึงความเหมาะสมของน้ำมันที่ใช้ในการทอด โดยปัจจุบันกลุ่มแม่บ้านใช้น้ำมันพืชสมระหว่างน้ำมันปาล์มจากเม็ดปาล์มและน้ำมันมะพร้าวในอัตราส่วน 2:1 ตามลำดับ ในขณะที่อาหารทอดทั่วไปใช้น้ำมันปาล์มโอลีвин รวมทั้งการศึกษาผลของการใช้สารต้านออกซิเดชันเพื่อยืดอายุการเก็บรักษาของข้าวแทน

วัตถุประสงค์ของโครงการ

1. เพื่อปรับปรุงกรรมวิธีการขึ้นรูปข้าวแทน
2. เพื่อศึกษาระบบทดลองข้าวแทนโดยใช้ตู้ลมร้อน
3. เพื่อศึกษาระดับความทึ่งที่เหมาะสมของข้าวแทนก่อนทดลอง
4. เพื่อศึกษาระบบทดลองข้าวแทนที่เหมาะสม
5. เพื่อศึกษาเปรียบเทียบความเหมาะสมของน้ำมันที่ใช้ในการทดลอง
6. เพื่อศึกษาการใช้สารต้านออกซิเดชันเพื่อยืดอายุการเก็บรักษาของข้าวแทน

ประโยชน์ที่คาดว่าจะได้รับ

1. ทำให้เกิดความร่วมนื้อในการพัฒนาระบบการผลิตข้าวแทนของกลุ่มแม่บ้าน
2. สามารถนำข้อมูลที่ได้ไปเผยแพร่แก่กลุ่มผู้ผลิตข้าวแทนกลุ่มอื่นๆ
3. สามารถลดระยะเวลาและจำนวนแรงงานในการขึ้นรูป
4. สามารถผลิตข้าวแทนได้ตลอดทั้งปีรวมถึงการประยุกต์ร่วมกันระหว่างวิธีการผึ่งแดด และวิธีการอบแห้ง
5. สามารถผลิตข้าวแทนที่ได้คุณภาพเพื่อลดการเสื่อมคุณภาพจากสาเหตุของการเกิดการเหม็นหืนก่อนเวลาเข้าครัวและยืดอายุการเก็บรักษาได้นานยิ่งขึ้น

ขอบเขตของการวิจัย

เป็นการวิจัยเฉพาะข้าวแทนพื้นฐานไม่รวมข้าวแทนที่มีการเติมเครื่องปรุงรสต่างๆ เช่น น้ำอ้อย น้ำตาล หมูหยอง หรือหน้าปลาแห้ง รวมทั้งรูปร่างข้าวแทนที่ศึกษาจะศึกษาเฉพาะรูปแบบดังเดิมที่เป็นแผ่นกลมเท่านั้นและระยะเวลาในการเก็บรักษา 3 เดือน

บทที่ 2

การตรวจเอกสาร

ข้าวแทนหรือข้าวแทน

ตามมาตราฐานผลิตภัณฑ์ชุมชน (มพช.36/2546) ให้คำจำกัดคำของข้าวแทน คือ อาหารว่างที่ทำจากข้าวเหนียวเป็นส่วนประกอบหลัก โดยนำข้าวเหนียวมาแข่น้ำ นึ่งสุก อาจผสมกับส่วนประกอบอื่น เช่น น้ำเตงโนมหรือน้ำผลไม้อื่น เกลือ น้ำอ้อย ฯ น้ำกะทิ แล้วทำให้เป็นแผ่นหรือรูปแบบอื่น ยอดให้พอง อาจปูรุงแต่งหน้าด้วยเครื่องปูรุงต่างๆ เช่น น้ำตาลมะพร้าวเคี่ยว หมูหยอง น้ำพริกเผา เป็นต้น ในกรณีที่แผ่นข้าวทำมาจากข้าวเหนียวโดยไม่มีส่วนประกอบอื่นเป็นส่วนผสม และมีน้ำตาลเคี่ยวเป็นเครื่องปูรุงแต่งหน้า เรียกว่า “นางเลือด” (สำนักงานมาตรฐานผลิตภัณฑ์อุตสาหกรรม, 2547)



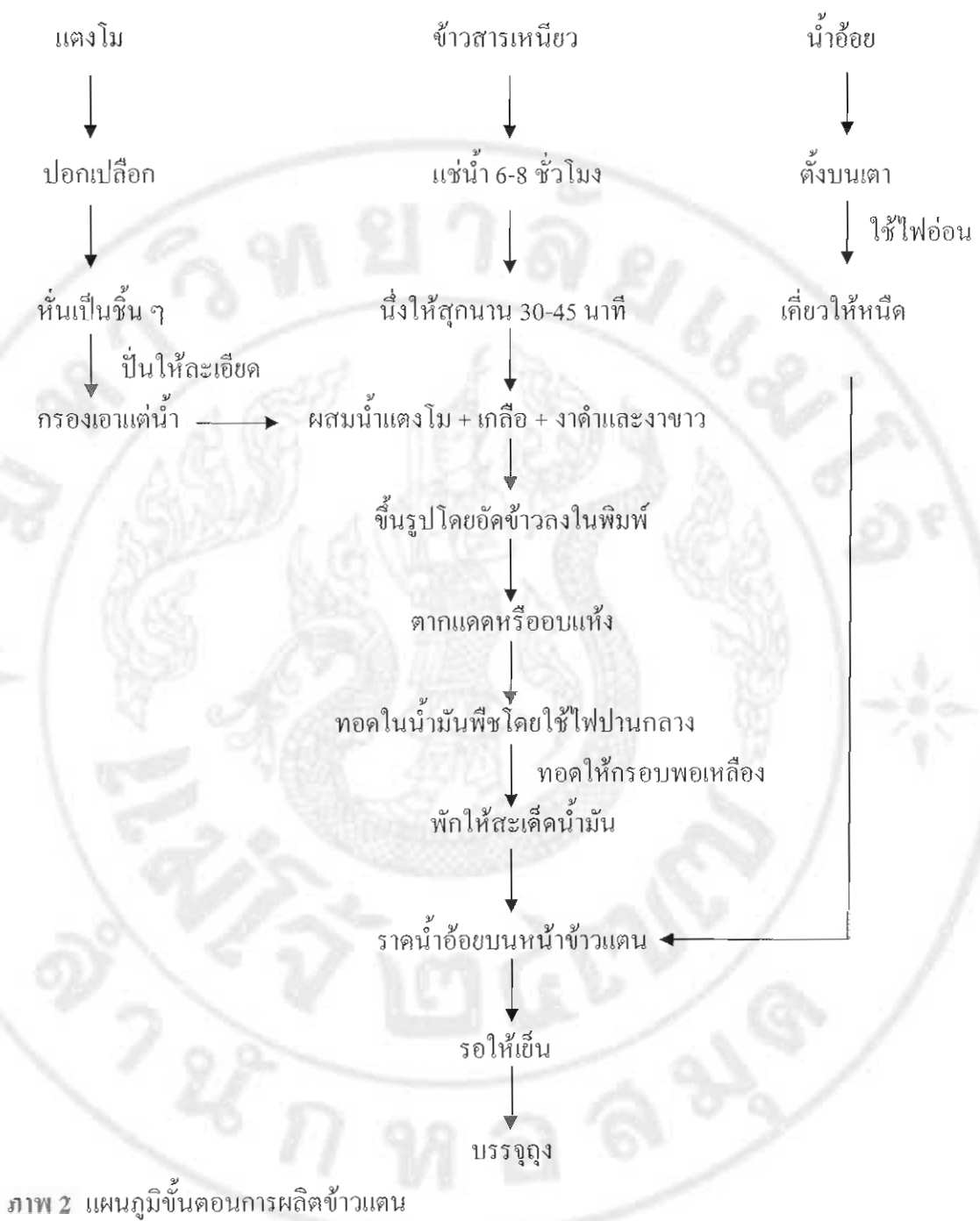
ภาพ 1 ผลิตภัณฑ์ข้าวแทนน้ำเตงโนมของกลุ่มแม่บ้านเกษตรกรสันทรารายหลวง
ที่มา: สำนักงานมาตรฐานผลิตภัณฑ์อุตสาหกรรม (2547)

ขั้นตอนการผลิตข้าวแทน

ส่วนผสม (สูตรการทำข้าวแทน 4 กก.)

- | | |
|----------------------------------------|-------------------------|
| 1. ข้าวสารเหนียว 5 ลิตร (พันธุ์ข้าว 6) | 4. จำกัดเฉพาะขาว 4 ปีติ |
| 2. น้ำแตงโม 5 ถ้วย หรือประมาณ 2 กก. | 5. เกลือ 2 ช้อนโต๊ะ |
| 3. น้ำอ้อออย 2 กก. | 6. น้ำมันพืช 4 ลิตร |

จากการสัมภาษณ์กลุ่มแม่บ้านเกษตรกรสันทรายหลวงพ่อสรุปได้ดังนี้ วิธีการทำเริ่มจาก การนำข้าวสารเหนียวมาแช่น้ำ 1 คืนหรือ 6-8 ชั่วโมงเป็นอย่างน้อย หลังจากนั้นนำมานึ่งให้สุก ในขณะที่รอให้ข้าวเหนียวสุก ทำการปอกแตงโม หันให้เป็นชิ้นเล็ก ๆ ป่นให้ละเอียดด้วยเครื่องป่น และคั้นเอาแต่น้ำแตงโมเติมเกลือ จำกัดและขาวลงไปคลุกเคล้าให้เข้ากัน ราดลงบนข้าวเหนียวที่นึ่งสุกแล้ว จากนั้นนำข้าวแทนเปยกที่ได้มามาขึ้นรูปด้วยการกดลงพิมพ์ที่เตรียมไว้ แล้ววางลงบน ตะแกรงมุ้งลวด นำไปผึ่งแดดประมาณ 1 – 2 วัน (แคด) หรืออบแห้งจนข้าวแห้งสนิท จึงนำ ข้าวแทนแห้งไปหยอดในน้ำมันพืช (น้ำมันมะพร้าวผสมน้ำมันเมล็ดปาล์มในอัตรา 1:2) ที่ตั้งไฟจนร้อน ซึ่งก่อนการหยอดข้าวแทนทางกลุ่มแม่บ้านฯ ได้นำใบเตยมาหยอดก่อนเพื่อป้องกันการเหม็นหืน ของน้ำมันและจะทำการหยอดใบเตยทุกครั้งหลังจากที่เติมน้ำมันใหม่ หลังจากนำข้าวแทนแห้งใส่ลง ในกระทะ ทำการกดข้าวแทนแห้งให้เข้มน้ำมันแล้วทำการกดส่วนๆ ไปมาด้วยกระชอนเพื่อให้ข้าวคง และมีสีที่สม่ำเสมอ ข้าวแทนที่ได้จะมีลักษณะพองกรอบและมีสีน้ำตาล เมื่อหยอดเสร็จแล้วนำมาพักไว้สักครู่ จากนั้นนำน้ำอ้อออยที่ผ่านการเคี่ยวแล้วมาราดลงบนข้าวแทน (ในกรณีทำข้าวแทนหน้าป่า แห้งและหน้าหมูหยองจะนำข้าวแทนที่ราดน้ำอ้อออยแล้วมาคลุกปalaแห้งและหมูหยองอีกครั้งหนึ่ง) แล้วนำมาระบายเรียงกัน ทิ้งไว้สักครู่รอให้เย็นแล้วจึงนำมาบรรจุถุง ผนึกปากถุงด้วยความร้อนและรอ การจำหน่ายต่อไป



ลักษณะของข้าวแทนที่ดี คือ ต้องกรอบ มีกลิ่นหอมและมีสีทองจากน้ำแตง ไม่มีกลิ่นเหม็นหืนหรือกลิ่นแบปลกปลอม เนื่องจากข้าวแทนจัดอยู่ในจำพวกอาหารแห้ง คุณลักษณะที่ต้องการตามมาตรฐานชุมชน (มพช.36/2546) ของข้าวแทนมีดังนี้

1. ลักษณะทั่วไป ต้องเป็นแผ่นหรือรูปแบบอื่น กรอบร่วน อาจแตกหักได้เล็กน้อย เม็ดข้าวมีการพองตัวดีและสม่ำเสมอ
2. เครื่องปูรุงแต่งหน้า (ถ่าน) ต้องเกาติดแผ่นข้าวแทนและกระจายตัวค่อนข้างสม่ำเสมอ
3. สี มีสีสม่ำเสมอและเป็นไปตามธรรมชาติของส่วนประกอบที่ใช้
4. กลิ่นรส มีกลิ่นรสเฉพาะของส่วนประกอบที่ใช้และปราศจากกลิ่นรสอื่นที่ไม่พึงประสงค์ เช่น กลิ่นอัน กลิ่นหืน
5. ตั้งแปลงกลอม ต้องไม่พับสิ่งแปลงกลอมที่ไม่ใช่ส่วนประกอบในการทำข้าวแทน เช่น เส้นผม แมลงหรือชิ้นส่วนของแมลง
6. จุลินทรีย์ จำนวนจุลินทรีย์ทั้งหมดต้องไม่เกิน 1×10^4 โโคโลนีต่อตัวอย่างอาหาร 1 กรัม และต้องไม่มีราปรากฎให้เห็น ได้อบย่างชัดเจน

กระบวนการผลิตที่สำคัญ

1. การขึ้นรูปข้าวแทน

การขึ้นรูปข้าวแทนของกลุ่มแม่บ้านฯ แต่เดิมใช้แม่พิมพ์ที่ทำจากแผ่นสังกะสีโดยการตัด เป็นแผ่นให้มีความสูง 1 เซนติเมตร และสามารถเป็นวงที่มีขนาดเส้นผ่าศูนย์กลาง 4 เซนติเมตร และพื้นด้วยเชือกไนลอนเพื่อลดความคมของแผ่นสังกะสี สามารถขึ้นรูปข้าวแทนได้ครั้งละชิ้น จึงปรับปรุงแม่พิมพ์โดยทำจากแผ่นพลาสติกอะคริลิก (acrylic plastic sheet) ซึ่งคุณลักษณะทางกายภาพของพลาสติกอะคริลิกดังปรากฏใน Ridout plastic company Inc., 2006 โดยแสงสามารถส่องผ่านได้เนื่องจากมีความใสเป็นประกายเหมือนแก้ว ทนต่อแรงกระแทก ทนแัด ทนฟัน มีความทนทานต่อสารเคมี ทนทานต่อความร้อนและง่ายต่อการประดิษฐ์และดัดแปลง

2. การอบหรือการตากแห้งข้าวแทน

หลังจากที่นำข้าวเหนียวผ่านการคลุกเคล้าผสมน้ำปูรุงสและทำการขึ้นรูปในแม่พิมพ์ที่เป็นรูปวงกลม ทำการเรียงข้าวแทนเปยกลงบนตะแกรงมุ้ง漉คอบや่างเป็นระเบียบ หลังจากนั้นจึงเป็นการระเหยเอาน้ำออกจากการข้าวแทน ในปัจจุบันการระเหยเอาน้ำออกจากการข้าวแทนสามารถทำได้โดยวิธีง่าย ๆ 2 วิธี คือ การตากแดดและการอบแห้ง หลักในการทำแห้งดังกล่าวในนิธิยา (2543) คือ จะต้องมีการให้พลังงานแก่อาหาร ทำให้น้ำในอาหารเปลี่ยนสถานะเป็นไอแล้วเคลื่อนข้ายอกจาก

อาหาร แสงอาทิตย์เป็นพลังงานความร้อนจากธรรมชาติและกระแสลมที่พัดผ่านอาหารทำให้เกิดการเคลื่อนย้ายไอน้ำ เนื่องจากพลังงานความร้อนจากแสงอาทิตย์ไม่ได้สูงมากนักและกระแสลมธรรมชาติไม่สูงพอ ทำให้การตากแห้งต้องใช้เวลานาน ใช้พื้นที่มากในการกระจายผลิตภัณฑ์ให้ได้รับความร้อนในปริมาณที่เพียงพอ แต่ในเมืองการสีนีเปลี่ยนพลังงานถือว่าประหยัดกว่าการใช้ตู้อบลมร้อนที่ต้องใช้เชื้อเพลิง จากการสำรวจกลุ่มแม่บ้านฯ การตากแห้งข้าวแทนใช้วิธีการผึ้งแడคโดยมีอุณหภูมิเฉลี่ยเท่ากับ 32 องศาเซลเซียส ส่วนการใช้ตู้อบลมร้อนจำเป็นต้องใช้ก๊าซหุงต้มและกระแสไฟเป็นตัวให้พลังงาน โดยจะต้องอุ่นเครื่องให้ได้ระดับความร้อนที่ต้องการก่อนจากนั้นจึงนำผลิตภัณฑ์เข้าสู่การอบ ต้องควบคุมอัตราเร็วลม ตรวจสอบความแตกต่างของอุณหภูมิกระปา เป็นยกและกระปาแห้ง ความชื้นสัมพัทธ์ แต่การใช้ตู้อบลมร้อนในการระเหยน้ำข้าวแทนสามารถลดเวลาในการอบแห้งให้สั้นลง ลดพื้นที่ในการอบแห้ง ง่ายต่อการควบคุมในการลดความชื้นให้ได้ในระดับที่ต้องการ ลดการปนเปื้อนทั้งจากสิ่งสกปรกภายนอกและการเจริญของเชื้อจุลินทรีย์ และทำได้ตลอดแม้ในช่วงฤดูฝน เนื่องจากการอบแห้งประเภทนี้เป็นการทำแห้งในระบบปิดซึ่งมีข้อดี-ข้อเสีย ดังตาราง 1

อาหารที่นิยมถอนรักษาด้วยวิธีการลดความชื้นหรือการอบแห้งนี้จะมีอยู่เกือบทุกประเภท การอบแห้งจะมีประโยชน์หลายประการ ไม่ว่าจะเป็นการถอนรักษาเพราะอาหารที่แห้งแล้ว สามารถเก็บรักษาไว้ได้นานโดยไม่เสีย เนื่องจากการเจริญเติบโตของจุลินทรีย์มีน้อยหรือเพื่อลดปริมาณและน้ำหนักของอาหาร ทำให้สามารถลดต้นทุนในการเก็บรักษาและการขนส่งได้มาก (รัชนี, 2532) การอบแห้งเป็นการให้ความร้อนแก้อาหารในระดับที่สามารถได้น้ำออกจากราอาหารให้เหลืออยู่ประมาณน้อยที่สุด การอบแห้งทำได้หลายวิธี เช่น การตากแดด (sun drying) การทำแห้งโดยใช้พลังงานแสงอาทิตย์ (solar drying) การทำแห้งใช้ตู้อบลมร้อน (hot air drier) ตู้อบสูญญากาศ (vacuum shelf drier) การทำแห้งแบบแช่เยือกแข็ง (freeze drying) และการอบ (baking) เป็นต้น ซึ่งสามารถลดค่าปริมาณน้ำอิสระที่จุลินทรีย์สามารถนำไปใช้ได้ในอาหารให้น้อยลงได้และยืดอายุการเก็บรักษาได้นานขึ้น

ตาราง 1 ข้อตี – ข้อเสียของการทำแห้งด้วยการตากแดดและใช้ตู้อบลมร้อน

กรรมวิธี	ข้อตี	ข้อเสีย
การตากแดด	วิธีการทำได้ง่าย ไม่สิ้นเปลืองพลังงาน	ใช้เวลานาน ใชเนื้อที่มาก เกิดการปนเปื้องได้ง่าย ไม่สามารถลดความชื้นได้ในระดับที่ต้องการ
การอบแห้ง	ใช้เวลาน้อย ใชเนื้อที่น้อย สามารถป้องกันการปนเปื้องได้ดี สามารถลดความชื้นได้ในระดับที่ ต้องการ	วิธีการทำยุ่งยาก สิ้นเปลืองพลังงาน

ศิริชัยและสัมพันธ์ (2547) ได้ศึกษาอุณหภูมิและเวลาในการใช้ตู้อบลมร้อนเพื่อลดความชื้นข้าวแทน พบร่วมกันว่าสามารถใช้อุณหภูมิอบแห้งในช่วง 50-70 องศาเซลเซียส โดยใช้เวลาอบนาน 8 ชั่วโมง สามารถลดความชื้นเริ่มต้นจาก 80% ของน้ำหนักแห้ง ให้เหลือน้อยกว่า 10% ภายใน 15 ของน้ำหนักแห้ง

2.1 หลักการอบแห้ง

เป็นกระบวนการลดความชื้นซึ่งส่วนใหญ่จะเป็นการถ่ายเทความร้อนไปยังวัสดุ หรืออาหารที่ชื้นเพื่อไถ่ความชื้นออกด้วยการระเหย ทั้งนี้พบว่าปรากฏการณ์ทางกายภาพสำคัญที่เกิดขึ้นระหว่างการอบแห้งส่งผลเป็นอย่างมากต่อคุณภาพของผลิตภัณฑ์ที่ได้นั้น คือ การถ่ายเทความร้อน และการเคลื่อนย้ายของน้ำในอาหาร ดังกล่าวในพริบ秒และศศิกาน (2530) คือ

2.1.1 การถ่ายเทความร้อน

การถ่ายเทความร้อนจะเกิดขึ้น ณ จุดที่มีความแตกต่างของอุณหภูมิ นั่นคือ ความแตกต่างของอุณหภูมิระหว่างอาหารและตัวกลางในการถ่ายเทความร้อน ซึ่งถ้าความแตกต่างของอุณหภูมิระหว่างอาหารและตัวกลางในการถ่ายเทความร้อนเพิ่มขึ้น ภาระเรหยน้ำออกจากรากอาหารก็จะรวดเร็วขึ้นด้วย การดำเนินการอบแห้งอาจใช้การถ่ายเทความร้อนด้วยวิธี การนำความร้อน การพากความร้อน หรือใช้หลาวยิธีร่วมกัน

2.1.2 การนำความร้อน (Conduction)

เป็นการส่งผ่านความร้อนในรูปของพลังงานจลน์ (Kinetic energy) ระหว่างโมเลกุลหนึ่งไปยังอีกโมเลกุลหนึ่งซึ่งอยู่ข้างเคียงกัน โดยที่โมเลกุลเหล่านี้ไม่ได้เคลื่อนที่ เกิดขึ้นกับอาหารที่มีลักษณะเป็นของแข็งหรือของเหลวที่ขันหนืด เช่น ผักบรรจุในซอส อาหารแบ่งที่บรรจุอย่างหนาแน่น เป็นต้น

2.1.3 การพาความร้อน (Convection)

เป็นการถ่ายเทความร้อนเมื่อโมเลกุลของสาร ได้รับความร้อนแล้วจะมีการเคลื่อนที่และส่งผ่านความร้อนไปยังโมเลกุลอื่น เกิดขึ้นกับอาหารที่มีลักษณะเป็นของเหลวหรือกึ่งของเหลว เช่น ผลไม้บรรจุในน้ำเชื่อม เป็นต้น (ส่วนครี, 2536) รวมทั้งการใช้ลมร้อนผ่านเข้าสู่อาหาร

2.1.4 การเคลื่อนย้ายของน้ำในอาหาร

เมื่ออาหารได้รับความร้อนในระหว่างการอบแห้ง น้ำบริเวณผิวนอกของอาหารจะระเหยออกไปก่อน ทำให้ความชื้นขึ้นของสารละลายในเซลล์บริเวณผิวนอกของอาหารเพิ่มสูงขึ้น จึงเกิดการเคลื่อนย้ายของน้ำออกจากเซลล์ที่อยู่ข้างในไปยังเซลล์ที่อยู่บริเวณผิวนอกเพื่อปรับเร่งดันออก โน้มติก (osmotic pressure) ระหว่างเซลล์ของเนื้ออาหาร ให้สมดุลกัน และน้ำเมื่อเคลื่อนที่ออกมายานอกก็จะระเหยเป็นไอไปสู่บรรยากาศของตู้อบต่อไป ทำให้การเคลื่อนย้ายของน้ำในอาหารเกิดขึ้นอย่างต่อเนื่อง การเคลื่อนย้ายน้ำจะหยุดลงก็ต่อเมื่อในเซลล์ผิวนอกไม่สามารถระเหยออกไปได้อีกนั้นเอง การเคลื่อนที่ของน้ำจากภายในขึ้นอาหารออกมาน้ำที่ผิวนี้ได้รับพลังงานความร้อนมี 2 วิธี คือ

2.4.1.1 การเคลื่อนที่ด้วยแรงผ่านช่องแคบ (Capillary Force)

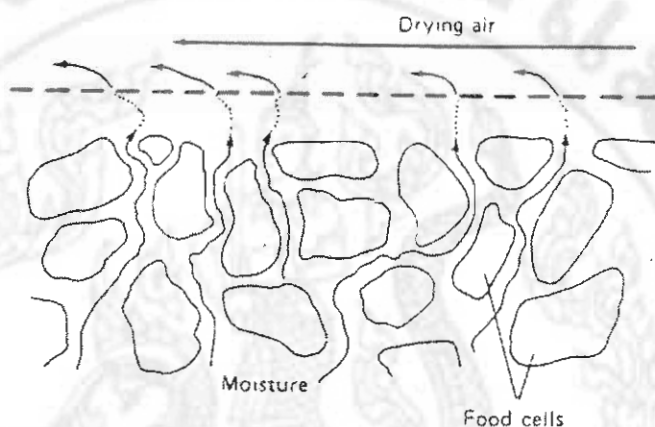
เป็นการเคลื่อนที่ของน้ำในอาหารที่มีเซลล์โปรดัง มีช่องว่างระหว่างเซลล์ต่อเนื่องกันเป็นทางแคบ ๆ เกิดแรงดันของน้ำขึ้นมาตามท่อ การเคลื่อนที่ของน้ำเกิดขึ้นได้สะดวกเร็ว แต่จะหยุดเมื่อทางแคบ จนน้ำขาดตอนลง

2.4.1.2 การเคลื่อนที่ด้วยการแพร่ (Diffusion)

เป็นการเคลื่อนที่ของน้ำผ่านเซลล์ เป็นการเคลื่อนที่ในอาหารที่มีเนื้อแน่น ไม่มีช่องว่างระหว่างเซลล์ที่ต่อเนื่องเป็นทางแคบๆ หรือเกิดในอาหารที่อบแห้งไปในระยะหนึ่งซึ่งแรงผ่านช่องแคบหมดไปแล้ว น้ำที่จะต้องแพร่ผ่านเซลล์จึงเคลื่อนที่ได้ช้า เมื่อน้ำเคลื่อนที่มาที่ผิวของอาหารแล้ว จึงระเหยกลาญเป็นไอเคลื่อนย้ายออกไปกับกระแสลมหรืออุกคุกออกไปด้วยระบบสุญญากาศของเครื่องอบแห้ง (พวรรณ์ และ พฤกษ์ภรณ์, 2530)

การอบแห้งโดยทั่วไปจึงเป็นการให้อาหารร้อนเป่าลงบนชั้นอาหารที่ยังเปียก ความร้อนจะถ่ายเทไปที่ผิวของอาหารและทำให้น้ำระเหยกลาญเป็นไอน้ำ แพร่กระจายสู่บรรยากาศ จึงเป็นการ

พำนักออกไปจากตัวอย่างอาหาร โดยมีนูนเวียนออกจากศีนออกไประดับให้อาหารแห้งเข้ามาแทนที่ดังภาพ 3 ทำให้บริเวณผิวด้านนอกของอาหารมีความดันไออกของไอน้ำลดลงเกิดความแตกต่างของความดันไอน้ำระหว่างอาหารภายในกับความชื้นภายใน จึงเป็นแรงขับ (driving force) ให้น้ำออกจากการภายในโดยเคลื่อนย้ายของมวลที่ผิวด้านนอกของอาหารได้โดยเคลื่อนที่ได้โดย capillary force และโดยการแพร่กระจายของน้ำ เนื่องจากตัวถูกละลายมีความเข้มข้นแตกต่างตามแต่ละบริเวณภายในชิ้นอาหาร



ภาพ 3 การเคลื่อนที่ของความชื้นออกจากระหว่างการอบแห้ง
ที่มา: Fellow (1997) อ้างโดย นิติยา (2543)

อัตราการเร็วในการทำแห้งจะแตกต่างกันไปดังผลการทดลองของ Sukumar *et al.* (2003) ได้ศึกษาขนาดเส้นผ่าศูนย์กลางที่ทำมาจากแป้งถั่วเขียว โดยนำส่วนผสมทั้งหมดรวมกันและใส่ลงใน extruder การอบแห้งผลิตภัณฑ์จะใช้อาหารร้อนที่อุณหภูมิ 60 ± 2 องศาเซลเซียส เป็นเวลา 90 นาที การอบแห้งทำให้ความชื้นในผลิตภัณฑ์ลดลงจาก 0.39 กิโลกรัม/กิโลกรัมน้ำหนักแห้ง เหลือเพียง 0.1 กิโลกรัม/กิโลกรัมน้ำหนักแห้ง

Krokida *et al.* (2001a) ได้ศึกษาลักษณะของการทำแห้งที่มีผลต่อมั่นคงแห่งทดลอง โดยนำมั่นคงที่ผ่านการหั่นให้มีขนาด กว้าง \times ยาว เท่ากับ 5×5 ตารางมิลลิเมตร และสูง 40 มิลลิเมตร มาอบแห้งด้วยอากาศร้อนที่อุณหภูมิ 70 องศาเซลเซียส ในเวลาต่าง ๆ คือ 20 30 40 60 และ 120 นาที พนว่าการอบแห้งโดยใช้เวลานาน 20 30 40 60 และ 120 นาที สามารถลดความชื้นลงเหลือเพียง 0.4 0.32 0.28 0.2 และ 0.1 กิโลกรัม/กิโลกรัมน้ำหนักแห้ง ซึ่งเมื่อเทียบกับการทำโดยไม่ผ่านการอบแห้งทำให้เหลือปริมาณความชื้นถึง 0.6 กิโลกรัม/กิโลกรัมน้ำหนักแห้ง

2.2 อิทธิพลของการอบแห้งต่อคุณภาพของอาหาร

ในการพิจารณาคุณภาพของอาหารประเภทใดก็ตามนั้น โดยทั่วไปจะพิจารณาในด้านการเปลี่ยนแปลงของปัจจัยต่างๆ ที่สามารถส่งผลกระทบต่อคุณภาพด้านต่างๆ ที่กำหนดไว้ อาทิ เช่น คุณค่าทางโภชนาการ คุณภาพด้านปราศจากสารอันตราย ฯลฯ ทั้งนี้คุณภาพด้านต่างๆ เหล่านี้ จะขึ้นกับปัจจัยต่างๆ หลายประการ อาทิ เช่น คุณค่าทางโภชนาการจะขึ้นกับปริมาณและประสิทธิภาพในการนำไปใช้ในร่างกายของสารอาหารจำพวก โปรตีน ไขมัน คาร์โบไฮเดรต ไวดามินต่างๆ และเกลือแร่เป็นสำคัญ ตัวนคุณภาพด้านปราศจากสารอันตรายจะขึ้นอยู่กับเนื้อสัมผัสและกลิ่นรส ตัวนคุณภาพในการเก็บรักษา นั้น ก็จะขึ้นกับการเปลี่ยนแปลงทางเคมีและปริมาณจุลินทรีย์และปัจจัยเกื้อหนุนการเจริญของจุลินทรีย์เป็นสำคัญ (นิธิยา, 2543)

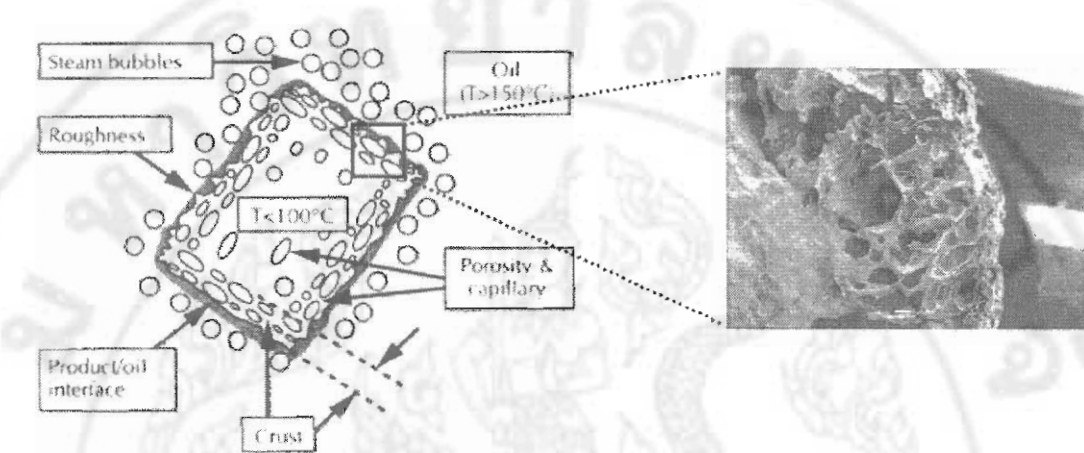
สำหรับอาหารอบแห้งคุณภาพทางด้านสีมีผลมาจากการปฏิกิริยาเมลาร์คค่อนข้างมาก ซึ่งเป็นปฏิกิริยาที่เกี่ยวข้องกับการรวมตัวของน้ำตาลรีดิวัสดุกับสารอะมีนที่เป็นอิสระของกรดอะมิโน เปปไทด์หรือโปรตีน เมื่อเกิดปฏิกิริยาขึ้นจะเกิดอย่างต่อเนื่องกันและซับซ้อนมากขึ้น โดยเริ่มจากการเกิดสารประกอบ sugar amine จากนั้นมีการสูญเสียน้ำ เกิดการจัดโครงสร้างเป็นวง เกิดการแตกสลายของพันธะอนกระทั้งถึงขั้นสุดท้าย ซึ่งเกี่ยวข้องกับการเกิดสารโพลิเมอร์หลายชนิด จะได้สารประกอบเชิงซ้อนซึ่งมีสีน้ำตาลเรียกว่า เมลานอยดิน (melanoidin) ปฏิกิริยาเมลาร์คแมกจะเกี่ยวข้องกับการเสื่อมเสียเนื่องจากทำให้มีสีที่ไม่พึงประสงค์ และการเสื่อมเสียคุณค่าทางโภชนาการของโปรตีน แต่พบว่าปฏิกิริยานี้ทำให้เกิดกลิ่นรสที่พึงประสงค์ เช่น พลิตกันที่เกี่ยวกับการอบ ปิ้ง ย่างหรือคั่ว เช่น กลิ่นของกาแฟ เป็นต้น

การทำอาหารให้แห้งมักจะทำให้เกิดการเปลี่ยนแปลงสีทำให้เกิดการเปลี่ยนแปลงเกิดเป็นสีน้ำตาล ในการศึกษาของ Özkan *et al.* (2003) ได้ศึกษาถึงผลของการขึ้นในผลแอบป์ริคอทอบแห้งต่อค่าสีพบว่า ปริมาณความชื้นหลังการอบแห้งมีเพียงร้อยละ 19.32 แต่เพิ่มขึ้นในระหว่างการเก็บรักษาที่สูงถึงร้อยละ 20.10-25.21 และสุดท้าย 30.20 มีผลทำให้ค่าความสว่าง (L^*) และค่าสีเหลือง (b^*) เพิ่มขึ้นในขณะที่ค่าสีแดง (a^*) ลดลงในผลแอบป์ริคอทอบแห้งในทุกระดับความชื้น ผลที่ได้แสดงถึงปริมาณความชื้นที่สูงขึ้น มีผลต่อค่าสีที่เปลี่ยนแปลงไป

3. กระบวนการทอดอาหารแบบน้ำมันท่วม

การทอดอาหารโดยใช้น้ำมันท่วม (Deep fat frying) ดังกล่าวใน Moreira *et al.* (1999) เป็นวิธีการทอดที่ทำให้อาหารทั้งชิ้นคงอยู่ในน้ำมันขณะที่ทอด เป็นวิธีที่ได้รับความนิยมมากในการที่จะใช้ผลิตอาหารให้มีความกรอบพองและมีรสชาติที่อร่อย ปัจจัยที่ส่งผลกระทบต่อเนื้อสัมผัสของอาหาร คือ ปริมาณความชื้นที่เหลือ ปัจจัยที่ส่งผลต่อสีและรสชาติอาหารคือ การเกิดปฏิกิริยาเมลาร์ค (Maillard reaction) กระบวนการทอดแบบน้ำมันท่วมนูนคงินายไว้ในภาพ 4 การเพิ่ม

อุณหภูมิในการทodor ให้สูงขึ้นนำมันที่ร้อนจะทำให้อุณหภูมิที่ผิวของอาหารสูงขึ้นอย่างรวดเร็วทำให้น้ำที่เป็นส่วนประกอบหลักในอาหารเกิดการเดือด เนื่องจากกระแสเหยกล้ายเป็นไวนและเคลื่อนตัวออกจากผลิตภัณฑ์โดยผ่านทางรูพรุนของเซลล์อาหารผ่านเข้าสู่นำมันที่เป็นตัวกลางในการให้ความร้อนจนผิวน้ำของอาหารแห้ง (Mellema, 2003)



ภาพ 4 ภาพตัดขวางแสดงการเปลี่ยนแปลงในอาหารของชั้นอาหารที่ทodorแบบนำมันท่วมและภาพสแกนตัดขวางของผิวน้ำมันฝรั่งทodor โดยใช้กล้องจุลทรรศน์อิเลคตรอนแบบส่องกระดาษ
ที่มา: Mellema, 2003

อาหารที่ทodor ด้วยระยะเวลาที่นานปริมาณความชื้นจะลดลงเรื่อยๆ และมีการเปลี่ยนแปลงทั้งทางเคมีและกายภาพขึ้น เช่น เกิดรีโทรเกรเดชันและมีปฏิกิริยาเมลลาร์ด (retrogradation and millard reaction) ในอาหารจำพวกแป้ง รุ่งนภา (2543)

จากการตรวจสอบกระบวนการผลิตของกลุ่มแม่บ้านเกษตรกรสันทรายหลวงในการทodor ของข้าวแทนต้องการให้ข้าวแทนพองกรอบและเกิดสีน้ำตาลที่เท่ากันทั่วทั้งชิ้น ในการทodor จึงจำเป็นต้องใช้กระทอนกดข้าวแทนให้จนนำมันแล้วกดสไลป์มาเพื่อให้ข้าวแทนรับความร้อนได้ทั่วถึงพองเท่ากันทั่วทั้งชิ้น นำมันที่ใช้ทodor ข้าวแทนของกลุ่มแม่บ้านฯ คือ นำมันผสมระหว่างนำมันเมล็ดปาล์มและนำมันมะพร้าวในอัตราส่วน 2:1 อุณหภูมิขณะทodorอยู่ในช่วง 190-200 องศาเซลเซียส ใช้เวลาทodor ตั้งแต่ 30 - 60 วินาทีในแต่ละครั้ง ซึ่งทodorครั้งละ 45-60 ชิ้น ได้จากการเก็บข้อมูลเป็นเวลา 5 วัน ก่อนการทodor ข้าวแทนทางกลุ่มแม่บ้านฯ มีการใช้ใบเตย 3-5 ใบ (น้ำหนักประมาณ 15-20 กรัม/นำมันทodor 6 ลิตร) ซึ่งจาก Ling และ Suhaila (2001) รายงานว่าตรวจพบ α-โทโคเฟอรอล ในใบเตย 131.5 มิลลิกรัม/กิโลกรัม และสารต้านออกซิเดชันอื่น ๆ ดังตาราง 2

ในการทดสอบอาหาร ไข่มันหรือน้ำมันจะเป็นตัวนำความร้อนทำให้อาหารสุก ช่วยหล่อลื่นไม่ให้อาหารติดกับภาชนะขณะทดสอบ ทำให้อาหารมีสีและเพิ่มรสชาติ สมบัติของไข่มันหรือน้ำมันทดสอบอาหารต้องมีความคงตัว คือ มีจุดหลอมเหลวต่ำและอุณหภูมิในการเกิดครั้งสูง ไข่มันหรือน้ำมันที่มีโนโนโนหรือไอกลีเซอไรด์ หรือกรดไขมันอิสระผสมปนอยู่ด้วยจะทำให้เกิดครั้งได้ง่าย และทำให้อาหารที่ทดสอบมีกลิ่นที่ไม่พึงประสงค์ติดไปด้วย ไข่มันหรือน้ำมันที่ผ่านกระบวนการเติมไฮโดรเจนจะมีความคงตัวเพิ่มขึ้น แต่ทำให้จุดหลอมเหลวสูงขึ้นด้วย น้ำมันพืชส่วนใหญ่จะมีปริมาณกรดไขมันชนิดไม่อิ่มตัวอยู่มาก ซึ่งจะໄວต่อการเกิดออกไซด์เชิง (autoxidation) หากไม่มีการเติมสารต้านออกซิเดชันลงไปในน้ำมัน อย่างไรก็ต้องมีสารต้านออกซิเดชันตามธรรมชาติ เช่น วิตามินอีหรือโทโคเฟอรอลและโทโคไครอินอล ซึ่งจะทำหน้าที่เป็นสารต้านออกซิเดชันของกรดไขมันและอุณหภูมิในการเกิดครั้ง ดังตาราง 3

ตาราง 2 องค์ประกอบของสารต้านออกซิเดชันในไข่夷แห้ง 100 กรัม

สารต้านออกซิเดชัน	ปริมาณที่พบ(มก)
เบต้าแคโรทีน	8.29
แซนโทฟิลล์	7.41
วิตามินซี	19.08
วิตามินอี	0.004
แทนนิน	4.48
สารประกอบฟีนอลิก	43.60

ที่มา: นวลดศรีและคณะ (2545)

ตาราง 3 องค์ประกอบและสมบัติบางประการของกรดไขมันในน้ำมันเมล็ดปาล์มและน้ำมันมะพร้าวและน้ำมันปาล์มโอลีอิน^a

กรดไขมัน	น้ำมันเมล็ดปาล์ม (%)	น้ำมันมะพร้าว (%)	น้ำมันปาล์มโอลีอิน
กรดคาโรอิก (Caproic)	0.2 (<0.5)	0.5 (<1.0)	-
กรดคาไพรลิก (Caprylic)	3.3 (2.4-6.2)	7.6 (9.0-10.0)	-
กรดคาพริก (Capric)	3.4 (2.6-7.0)	7.3 (5.0-10.0)	-
กรดลอริก (Lauric)	48.2 (41.0-55.0)	48.2 (40.0-54.0)	0.3 (0.2-0.4)
กรดไมริสติก (Myristic)	16.2 (14.0-20.0)	16.6 (15.0-23.0)	1.1 (0.9-1.2)
กรดปาล์มิติก (Palmitic)	8.4 (6.5-11.0)	8.0 (6.0-11.0)	40.9 (36.8-43.2)
กรดสเตียริก (Stearic)	2.5 (1.3-3.5)	3.8 (1.0-4.0)	4.2 (3.7-4.8)
กรดโอลีอิก (Oleic)	15.3 (10.0-23.0)	5.0 (4.0-11.0)	41.5 (39.8-44.6)
กรดลิโนเลอิก (Linoleic)	2.3 (0.7-5.4)	2.5 (1.0-3.0)	11.6 (10.4-12.9)
กรดลิโนลินิก (Linolenic)	-	-	0.4 (0.1-0.6)
กรดอะราชิดิก (Arachidic)	-	-	0.4 (0.3-0.5)
จุดเกิดควัน(°C)	218 ^b	198 ^c	216 ^d

ที่มา: ^aRichard and Brien, 1988 ^b KIC Chemicals Inc., 2006 ^cAtkinson, M., 2006 และ ^d Razali and Badri, 2003

Quiles *et al.* (2001) ได้ศึกษาประสิทธิภาพของสารต้านออกซิเดชันตามธรรมชาติในน้ำมันเมล็ดทานตะวัน น้ำมันมะกอกบริสุทธิ์และน้ำมันมะกอกด้วยการทดสอบมันฝรั่งแห้งทดสอบอนที่อุณหภูมิ 180 องศาเซลเซียส เป็นเวลา 15–30–45 และ 60 นาที พบร่วงวิตามินอีในน้ำมันเมล็ดทานตะวัน น้ำมันมะกอกบริสุทธิ์และน้ำมันมะกอกที่มีสูงถึง 1,400–400 และ 200 มิลลิกรัม/กิโลกรัม ตามลำดับ ลดลงเหลือเพียง 201–127 และ 77.1 มิลลิกรัม/กิโลกรัม ตามลำดับ เมื่อผ่านการทดสอบนาน 60 นาที แสดงให้เห็นว่าความร้อนสามารถทำลายวิตามินอีในน้ำมันที่ใช้ในการทดสอบได้โดยถาวรเมื่อระยะเวลาในการทดสอบให้นานขึ้นวิตามินอีในน้ำมันจะยังคงลดลง

การทอดอาหารประเภทที่ต้องใช้น้ำมันท่วม ที่เรียกว่า deep-fat frying หากใช้ความร้อนสูงมาก หรือใช้น้ำมันทอดอาหารช้าๆ ครั้ง วิตามินอีจะถูกทำลายจนหมดทำให้กรดไขมันชนิดไม่อิ่มตัวถูกออกซิเดช์และเกิดปฏิกิริยาพอลีเมอไรเซชันได้ง่าย โดยเฉพาะการทอดอาหารที่มีความชื้นสูง เช่น การทอดไก่ ผลของปฏิกิริยาจะมีสารประกอบที่เป็นสารพิษต่อร่างกายเกิดขึ้น และบางชนิดก็เป็นสารก่อมะเร็งได้ด้วย อาหารทอดที่ใช้อุณหภูมิสูงจะสามารถลดระยะเวลาในการทอดให้น้อยลง แต่การใช้อุณหภูมิสูงในการทอดจะเร่งให้น้ำมันเสื่อมคุณภาพได้เร็วขึ้น โดยจะทำให้น้ำมันเกิดการเปลี่ยนแปลง เช่น ทำให้เกิดกรดไขมันอิสระ มีความหนืดเพิ่มขึ้น น้ำมันมีกลิ่นและสีที่เปลี่ยนไปทำให้ต้องเปลี่ยนน้ำมันบ่อย ๆ ซึ่งเป็นการสิ้นเปลือง นอกจากนี้น้ำมันยังถลวยตัวได้เป็นอะครีเลิน (acrolein) ที่อุณหภูมิสูง ทำให้เกิดควันสีน้ำเงินขึ้นบริเวณผิวน้ำมันน้ำมันจะระเหดหักทำให้เกิดคอมพลากัวต่อบรรยายกาศ อุณหภูมิที่ใช้ทอดยังผันแปรตามชนิดของอาหารด้วย น้ำมันที่เคยทอดอาหารมาแล้ว 2-3 ครั้ง หรือผ่านความร้อนสูง ๆ มาแล้ว หากเหลือใช้ครบทิ้งไม่ควรนำกลับมาใช้ทอดอาหารช้าแล้วช้าอีก เพราะจะก่อให้เกิดสารก่อมะเร็งปนอยู่ในอาหารที่ทอด ซึ่งจะทำให้ผู้บริโภคเสี่ยงต่อการเกิดมะเร็งได้ (นิธิยา, 2541)

ผลของการทอดอาหารที่มีผลกระทบต่ออาหารที่ทอดขึ้นอยู่กับชนิดและสมบัติของน้ำมันที่ใช้ คุณภาพของอาหาร และผลของความร้อนต่ออาหารที่ทอด (นิธิยา, 2543)

3.1 ผลของการร้อนต่อน้ำมัน

น้ำมันที่ได้รับความร้อนที่อุณหภูมิสูงเป็นเวลานานจะทำให้กรดไขมันออกซิเจนปลดออกมาราบต่ำต้นของอาหารจะทำให้น้ำมันเกิดออกซิเดชันเกิดสารประกอบที่ระเหดหัก เช่น สารคาร์บอนิล กรดไฮดรอกซี กรดคีโต และกรดอีปอกซี ทำให้อาหารมีกลิ่นผิดปกติและน้ำมันมีสีคล้ำ การเกิดโพลีเมอไรเซชันของโมเลกุลน้ำมันในภาวะที่ไม่มีออกซิเจนจะทำให้เกิดสารประกอบที่มีวงแหวน (cyclic compounds) และโพลีเมอร์ที่มีน้ำหนักโมเลกุลสูงจะทำให้น้ำมันมีความหนืดเพิ่มขึ้น ลดสัมประสิทธิ์การถ่ายเทความร้อนที่ผิวระหว่างทอดและเพิ่มปริมาณน้ำมันในอาหารทอดมากขึ้น สารประกอบที่เกิดจากการถลวยตัวของน้ำมันอาจเป็นพิษต่อร่างกายและทำให้น้ำมันมีคุณค่าทางโภชนาการลดลง เกิดออกซิเดชันของวิตามินที่ถูกทำลายได้ในไขมันทั้งวิตามินอี แกรโธนอยด์ และวิตามินอี กรดไขมันที่จำเป็น เช่น กรดลิโนเลอิกบัคกุทำลายได้ด้วยความร้อนและปฏิกิริยาออกซิเดชัน โดยกรดลิโนเลอิกจะสูญเสียพันธะคู่ทำให้อัตราส่วนของกรดไขมันชนิดอิ่มตัวและกรดไขมันชนิดไม่อิ่มตัวเปลี่ยนไป (Kilgore และ Bailey, 1970)

3.2 ผลของความร้อนต่ออาหารที่ทอด

การให้ความร้อนแก่น้ำมันที่อุณหภูมิสูงจะทำให้เกิดการเคลื่อนที่ของความชื้นและออกซิเจนออกจากอาหาร การเกิดปฏิกิริยาออกซิเดชันในน้ำมันหรือไขมันที่เป็นองค์ประกอบในอาหารทำให้เกิดสารต่างๆ เช่น สารประกอบคาร์บอนิล (carbonyl compound) กรดไฮดรอกซิล (hydroxyl acids) และกรดอีปอกซี (epoxy acids) ทำให้เกิดกลิ่นรสที่ไม่พึงประสงค์ กลิ่นเหม็นหืน สีของน้ำมันคล้ำขึ้นและเกิดการเปลี่ยนแปลงของน้ำมันไปเป็นไดเมอร์ (dimer) หรือโพลิเมอร์ (polymer) ที่อาจเป็นสารประกอบพวงแหวน (cyclic compound) ที่มีน้ำหนักโมเลกุลที่สูงทำให้ความหนืดของน้ำมันมีค่าเพิ่มขึ้น เช่นเดียวกันกับผลที่เกิดขึ้นในน้ำมันที่ใช้ทอด (Fellow, 1990) ปัจจัยสำคัญที่สามารถควบคุมกระบวนการการทอด ได้แก่

3.2.1 ชนิดของน้ำมันที่ใช้ทอด

3.2.2 อายุและความทันต่อความร้อนของน้ำมัน

3.2.3 อุณหภูมิและเวลาที่ใช้ทอด

3.2.4 ขนาดและลักษณะผิวนอกของอาหาร

3.2.5 การจัดการภายหลังการทอด (post – frying treatment)

ปัจจัยต่างๆ ดังที่กล่าวข้างต้นยังมีผลต่อน้ำมันที่เหลือค้างอยู่ในอาหารด้วย (วีไอล, 2543)

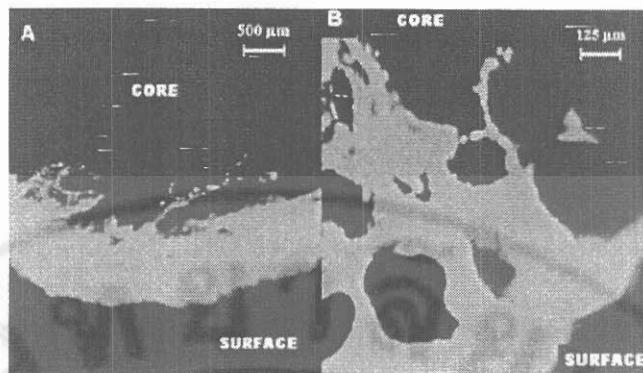
ตาราง 4 ตัวอย่างน้ำมันพืชสำหรับใช้ทอดหรือประกอบอาหารที่วางแผนน้ำมันพืช

ชื่อของน้ำมันพืช	ชนิดของน้ำมันพืช
อุรุ่น, กุ๊ก, หยก, ทิพ, ไอเดิน, เบสท์ฟู้ด	น้ำมันถั่วเหลือง 100%
ธงสิงห์, หยก, ทิพ, ไอเดิน, มรกต	น้ำมันปาล์ม ไอเดินจากเนื้อปาล์ม 100%
กุ๊ก, หยก, ทิพ, มรกต	น้ำมันเมล็ดดอกทานตะวัน 100%
ทิพ, Muzola, Golden drop	น้ำมันข้าวโพด 100%
คิง	น้ำมันรำข้าว 100%
ทิพ	น้ำมันถั่วเหลืองผสมน้ำมันเมล็ดฝ้าย 4:1
ทิพ	น้ำมันถั่วเหลืองผสมน้ำมันปาล์ม ไอเดินจากเนื้อปาล์ม 4:1

3.3 การดูดซับน้ำมัน

การดูดซับน้ำมัน (Oil uptake) คือ ปริมาณสารที่นำมันถูกดูดซับเข้าไปยังต้านในของชิ้นอาหาร โดยในระหว่างการทดสอบแบบน้ำมันทั่วไป น้ำที่ผิวเปลือกจะระเหยและเคลื่อนย้ายออกจากอาหาร อัตราการระเหยของไออกซิเจนก็อย่างต่อเนื่อง ปริมาณน้ำที่มากพอจะสามารถย้ายจากตระกลงของอาหาร ไปยังต้านผิวนอกและที่ผิวที่จะระเหยออกไปสู่บรรเทากาศได้ ในความเป็นจริงไออกซิเจนไม่สามารถระเหยออกไปได้หากมีชั้นของน้ำมันอยู่ ซึ่งเป็นเหตุผลที่ว่าทำไมการดูดซับน้ำมันจะหายใจ ปริมาณความชื้นของอาหารที่หายใจไปไม่ได้ในลักษณะที่เหมือนกัน ความชื้นที่หายใจของอาหาร จะแสดงให้เห็นถึงการดูดซับน้ำมัน และปริมาณน้ำมันทั้งหมดจะเท่ากันกับปริมาณน้ำทั้งหมดที่เคลื่อนที่ออกไปจากอาหาร ในการทดสอบการระเหยของน้ำที่เพิ่มขึ้น จะสร้างความเสียหายให้กับผิวอาหารคือ จะมีการดูดซับน้ำมันบริเวณที่เกิดรูพรุนและการดูดซับน้ำมันดังกล่าวจะชี้บ่งว่าจะชี้บ่งว่าจะมีการดูดซับน้ำมันที่เวลาต่างๆ ในระหว่างการทดสอบ

Bouchon *et al.* (2003) ได้ศึกษาความสัมพันธ์ขององค์ประกอบในการดูดซับน้ำมันระหว่างการทดสอบแบบน้ำมันลึก โดยทำการทดสอบร่วมแห่งด้วยการทดสอบแบบน้ำมันลึกและแบ่งการศึกษาถึงองค์ประกอบในการดูดซับน้ำมัน 3 ระดับ ได้แก่ การดูดซับน้ำมันระหว่างการทดสอบ การดูดซับน้ำมันบนผิวน้ำอาหารและการดูดซับน้ำมันระหว่างพักให้เย็น พนว่างการดูดซับน้ำมันมากที่สุดของมันร่วมแห่งทดสอบ กือ การดูดซับน้ำมันช่วงของการพักให้เย็นโดยร้อยละ 88 และ 89 ของปริมาณน้ำมันทั้งหมดที่อุณหภูมิ 170 และ 185 องศาเซลเซียส การดูดซับน้ำมันในระหว่างการทดสอบ มีเพียงไม่ถึงร้อยละ 5 ของปริมาณน้ำมันทั้งหมดเท่านั้น น้ำมันส่วนที่เหลือจึงเป็นน้ำมันบนผิวน้ำที่เป็นน้ำมันส่วนเกินซึ่งสามารถกำจัดออกได้ง่ายด้วยการใช้กระดาษซับมัน น้ำมันจะซึมผ่านรูพรุนของเซลล์อาหารที่เป็นเปลือกแข็งที่ห่อหุ้มน้ำหน้าอาหาร รูพรุนต่างๆ เหล่านี้ที่เกิดจากการปะทุออกจากผิวน้ำของอาหาร ไอ้น้ำซึ่งเป็นน้ำหรือความชื้นภายในชิ้นอาหารที่ได้รับความร้อนจะเกิดการเดือดและระเหยกลายเป็นไอดังกล่าว น้ำมันจะแทรกซึมและแทนที่อยู่ภายในรูพรุนนั้นเอง ซึ่งจะเกิดการอ่อนน้ำมันในช่วงพักให้เย็น เมื่ออุณหภูมิบนผิวน้ำของชิ้นอาหารลดลงจะทำให้น้ำมันที่เคลื่อนย้ายน้ำมันผิวน้ำของอาหารถูกแรงดันภายในชิ้นอาหารที่มีค่ามากกว่าผิวน้ำของชิ้นอาหาร ดูดซับเข้าสู่ภายในชิ้นอาหาร เนื่องจากภายในชิ้นอาหารยังคงระอุจากน้ำมันที่ได้รับความร้อนที่แทรกซึมอยู่ในรูพรุนของชิ้นอาหารดังกล่าว ดังภาพ 5 ภาพตัดบางของมันร่วมแห่งทดสอบจาก confocal laser scanning microscopy ที่ผ่านการทดสอบที่อุณหภูมิ 185 องศาเซลเซียส เป็นเวลา 5 นาที



ภาพ 5 ภาพตัดขวางของนัมฟรั่งแท่งทอดกรอบ จาก confocal laser scanning microscopy ที่ผ่านการทอดที่อุณหภูมิ 185 องศาเซลเซียส เป็นเวลา 5 นาที

A เป็นภาพของน้ำมัน (สีเทา) ซึ่งอยู่ภายในชั้นของเปลือกแข็งที่เป็นชั้นบาง ๆ อยู่บริเวณรอบนอกของชิ้นอาหาร

B เป็นภาพการซึมผ่านของน้ำมันเข้าสู่พรุนของเซลล์อาหาร

ที่มา: Bouchon *et al.*, 2003

จากการทดสอบ tortilla chip ของ Moreira และ Barrufet (1998) พบว่าการพองตัวในระหว่างทอดทำให้ tortilla chip บนน้ำมันได้ถึงร้อยละ 20 ของน้ำมันทั้งหมดที่มีในอาหาร แต่ภายหลังการทอดในช่วงที่อุณหภูมิลดลงการออมของน้ำมันกลับเพิ่มขึ้นถึงร้อยละ 80 ของน้ำมันทั้งหมดที่มีในอาหาร

Math *et al.* (2004) ได้ศึกษาผลของการดูดซับน้ำมันในผลิตภัณฑ์เบร์ริดจ์ papad (เป็นเบร์ริดจ์ที่ทำจากเบร์ริดจ์ black gram ร่วมกับเกลือและพริกป่น โดยมีรูปร่างเป็นวงกลมและหนาประมาณ 0.3-20 มิลลิเมตร พนักงานมีอุณหภูมิสูงขึ้น คือ 165-175 และ 180±1 องศาเซลเซียส มีการดูดซับน้ำมันร้อยละ 42.22-45.70 และ 50.6 ของน้ำหนักแห้งของอาหาร เมื่อทดสอบ 40 วินาที

Sun และ Moreira (1994) ได้ศึกษาการแทรกซึมของน้ำมันใน tortilla chip ทอดกรอบ โดยจะเหลือปริมาณน้ำมันอยู่ภายในของอาหารซึ่งจะทำการสกัดด้วยวิธี Soxhlet ทำให้ทราบถึงปริมาณน้ำมันบนผิวน้ำ tortilla chip ทอดกรอบในระหว่างการทอดซึ่งใช้เวลานาน 60 วินาที ก่อนการทอด tortilla chip จะต้องผ่านการอบแห้งและเหลือความชื้นในปริมาณที่แตกต่างกัน ได้แก่ ร้อยละ 27.2-44.1 และ 56.7 ตามลำดับ พนักงานมีอุณหภูมิในการทดสอบ ตัวอย่างเหล่านี้จะถูกนำไปวิเคราะห์ โดยปริมาณน้ำมันที่ถูกดูดซับบนผิวน้ำของตัวอย่างสูงร้อยละ 4.3-5.8 และ 7.8 ปริมาณน้ำมันที่ถูกดูดซับจะคงที่โดยตลอดเมื่อเข้าสู่ช่วงของการทอดแต่ยกเว้นตัวอย่างที่ไม่ผ่านการอบแห้งที่จะมีการดูดซับปริมาณน้ำมันเพิ่มขึ้นเดือนอยู่ในช่วง 20 วินาทีแรกของการทอด ปริมาณน้ำมันที่ถูกดูดซับจะสูง

ถึงร้อยละ 20-24 ในช่วงของการหด เมื่อเข้าสู่ช่วงของการพักให้เย็น tortilla chip ท่อกรอบจะดูดซับน้ำมันเพิ่มขึ้นอย่างรวดเร็วเมื่อยกลงจากเครื่องหด โดยจะมีค่าปริมาณน้ำมันที่ถูกดูดซับสูงที่สุดในช่วง 160 วินาทีหลังจากหด แสดงให้เห็นถึงเกือบร้อยละ 64 ของปริมาณน้ำมันทั้งหมดที่ถูกดูดซับของ tortilla chip ท่อกรอบถูกดูดซับในช่วงของการพักให้เย็น เนื่องมาจากความสัมพันธ์ระหว่างความดันที่ความแตกต่างกันของหลอด capillary ในเซลล์อาหารและแรงตึงผิวของน้ำมันและก๊าซที่เกิดภายในช่องว่างของรูพรุนที่เกิดขึ้นหลังจากการหดเสร็จสิ้นลง

ผลการทดลองของ Bouchon *et al.* (2003) ที่ศึกษาถึงการดูดซับน้ำมันในการหดมันฝรั่งแห่งท่อกรอบก็ได้ผลในลักษณะเดียวกัน คือ การดูดซับน้ำมันระหว่างการหดเป็นเพียงส่วนน้อย คือ ร้อยละ 26-27.5 น้ำมันที่เหลือจะถูกดูดซับสู่อาหารในช่วงของการพักให้เย็น

Sukumar *et al.* (2003) ได้ศึกษาขั้นตอนเคี้ยวที่ทำมาจากการเป็นถั่วเขียว โดยนำส่วนผสมทั้งหมดรวมกันและใส่ลง extruder จากนั้นทำการอบแห้งด้วยอากาศร้อนที่อุณหภูมิ 60 ± 2 องศาเซลเซียส เป็นเวลา 90 นาที จากนั้นทำให้เย็นที่อุณหภูมิห้องและเข้าสู่การทำหดด้วยน้ำมันที่อุณหภูมิ 175 องศาเซลเซียสนาน 45 วินาที ซึ่งการอบแห้งทำให้ความชื้นในผลิตภัณฑ์ลดลงจาก 0.39 กิโลกรัม/กิโลกรัมน้ำหนักแห้ง เหลือเพียง 0.1 กิโลกรัม/กิโลกรัมน้ำหนักแห้ง สามารถลดปริมาณน้ำมันในผลิตภัณฑ์ได้ถึงร้อยละ 54 จากการประเมินสัมประสิทธิ์การถ่ายเทน้ำของปริมาณความชื้นและน้ำมันระหว่างการทำหด

Krokida *et al.* (2001a) ได้ศึกษาถึงผลของการทำแห้งที่มีผลต่อมันฝรั่งแห่งท่อกรอบ โดยนำมันฝรั่งแห่งมาอบแห้งด้วยอากาศร้อนที่อุณหภูมิ 70 องศาเซลเซียส นาน 20 30 40 60 และ 120 นาที และนำมากอดในน้ำมันเมล็ดฝ้ายที่ผ่านกรรมวิธีและผ่านการเติมไอกอโรเจนในอัตราส่วน 1:1 โดยทำการเปลี่ยนน้ำมันทุก ๆ 1 ชั่วโมง ทุกวน 20 วินาที พนท.ว่าการอบแห้งโดยใช้เวลานาน 20 30 40 60 และ 120 นาที สามารถลดความชื้นลงได้โดยเหลือเพียง 0.4 0.32 0.28 0.2 และ 0.1 กิโลกรัม/กิโลกรัมน้ำหนักแห้ง ซึ่งเมื่อเทียบกับการทำหดโดยไม่ผ่านการอบแห้งทำให้เหลือปริมาณความชื้นถึง 0.6 กิโลกรัม/กิโลกรัมน้ำหนักแห้ง ปริมาณการดูดซับน้ำมันหลังการทำหดของแต่ละเวลาที่ใช้อบ คือ 0.19 0.17 0.16 0.14 และ 0.11 กิโลกรัม/กิโลกรัมน้ำหนักแห้ง ตามลำดับ ซึ่งเมื่อเทียบกับการทำหดโดยไม่ผ่านการอบแห้งทำให้เหลือปริมาณการดูดซับน้ำมันสูงถึง 0.25 กิโลกรัม/กิโลกรัมน้ำหนักแห้ง จากผลการทดลองดังกล่าวแสดงให้เห็นถึงการอบแห้งที่ใช้เวลานานก่อนการทำหด ยังคงปริมาณความชื้นในตัวอย่างก่อนหดให้น้อยลง การดูดซับน้ำมันหลังการทำหดลดลงด้วยเช่นเดียวกัน

ปัจจัยที่เกี่ยวข้องกับการอุดตันน้ำมันมีดังต่อไปนี้ (นิธิยา, 2543)

3.3.1 เวลาและอุณหภูมิที่ใช้ทดสอบ ควรเลือกใช้ภาชนะทดสอบที่เป็นโลหะชนิดที่นำความร้อนได้ดี ใช้อุณหภูมิปากกลาง และควรทดสอบอาหารในจำนวนที่ไม่มากเกินไป

3.3.2 พื้นที่ผิวของอาหารที่สัมผัสกับไขมันหรือน้ำมัน อาหารที่มีพื้นที่ผิวมากหลายและชุ่มฉ่ำจะอมน้ำมันมากกว่าอาหารที่มีพื้นที่ผิวน้อยและเรียบ

3.3.3 จุดเกิดควันของไขมันหรือน้ำมัน ไขมันหรือน้ำมัน หรือน้ำมันเก่าที่ใช้เดือดจะมีจุดเกิดควันต่ำ ทำให้อาหารอมน้ำมันมากขึ้น

3.3.4 ส่วนผสมของอาหาร อาหารที่มีส่วนผสมของไขมันหรือน้ำมันที่มากจะอมน้ำมันมากในขณะทดสอบ เช่น โคนัท

3.4 การเสื่อมคุณภาพของไขมันในอาหาร

Naz *et al.* (2005) กล่าวว่า น้ำมันพืชที่ใช้ปรงอาหารในแต่ละวันมีประโยชน์และเป็นที่นิยมเนื่องจากมีกรดไขมันอิมตัวและโคลे�สเตอรอลต่ำ ไขมันจากสัตว์ซึ่งมีกรดไขมันอิมตัวเป็นองค์ประกอบที่สำคัญ แต่กรดไขมันไม่อิมตัวที่มีในน้ำมันพืชจะทำปฏิกิริยาได้ช้ากว่าหากสัมผัสกับอากาศ ความร้อน แสง โลหะและความชื้น ปฏิกิริยาเคมีเหล่านี้จะทำให้เกิดการสูญเสียคุณค่าทางอาหารรวมทั้งการเสื่อมเสียอื่น ๆ ที่เกิดขึ้นในน้ำมันที่ใช้ทดสอบและเกี่ยวข้องกับการเปลี่ยนแปลงที่มีผลมาจากการทำปฏิกิริยากับออกซิเจนในบรรจุภัณฑ์ หรือมีผลมาจากการปฏิกิริยาไฮโดรไลซิส ซึ่งมีการเร่งปฏิกิริยาโดยเย็น ใชมีไซเพรสจากอาหารหรือจลินทรีย์ ผลกระทบจากปฏิกิริยาไฮโดรไลซิสจะเกิดได้น้อยหากเก็บในที่เย็น มีการขนส่งที่ดี มีความระมัดระวังต่อบรรจุภัณฑ์และมีการใช้กระบวนการสเตอโรไอลเซนซ์ (sterilization) อย่างไรก็ตาม การเหม็นหืนเนื่องจากออกซิเดชันหรือออกซิเดชัน (auto-oxidation) จะไม่สามารถหยุดลงได้โดยการเก็บในที่ที่มีอุณหภูมิต่ำ เมื่อออกจากยังมีปฏิกิริยาเคมีที่ใช้พลังงานต่ำอยู่

เกรศราภรณ์ (2545) ได้รวบรวมข้อมูลและกล่าวว่า การเหม็นหืนของน้ำมัน หมายถึง การที่ไขมันมีกลิ่นผิดปกติขณะเก็บ การที่ไขมันจะเหม็นหืนช้าหรือเร็วขึ้นอยู่กับการเก็บรักษา จึงควรเก็บไขมันและน้ำมันไว้ในที่ที่ปิดมิดชิด การเหม็นหืนของไขมัน เกิดจากการเปลี่ยนแปลงทางเคมี 2 แบบ คือ การเหม็นหืนเนื่องจากออกซิเจน (oxidative rancidity) และการเหม็นหืนเนื่องจากน้ำ (hydrolytic rancidity)

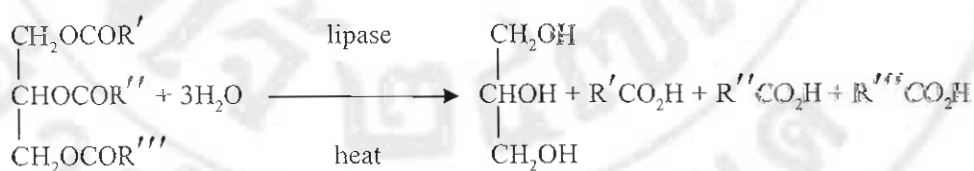
นิธิยา (2545) ได้กล่าวว่า hydrolytic rancidity เป็นปฏิกิริยาการไฮโดรไลซิสที่พันธะอ่อนไหวในไมเลกุลของไฮดรอกลีเชอ ไฮดรอกลีเชอ ไฮมัน ด้วยเย็น ใชมีไซเพรส ความร้อน กรด ด่าง และความชื้น ทำให้ไขมันและน้ำมันเกิดการสลายตัวได้เป็นกรดไขมันอิสระ โดยเฉพาะกรดไขมันอิสระ

ที่มีน้ำหนักไม่เลกูลต่ำ มีจำนวนการรับอน 4-12 อะตอน จะมีกลิ่นเหม็นหืนมาก เมื่อเกิดการหืนจะทำให้ไขมันและน้ำมันมีกลิ่นและรสชาติเปลี่ยนไป

ปฏิกิริยาไฮโดร ไลซิสเกิดที่พันธะเอสเตอเรอร์ในไมเลกูลของไตรกลีเซอไรด์ หรือไขมัน ดังภาพ 2.6 ด้วยเอนไซม์ไลเพส (lipase) ความร้อน กรด ค่าง และความชื้น โดยกรดและค่างอาจมาจากการทำความสะอาดที่ตกค้างจากการซั่งออกไม่หมด ปฏิกิริยาที่เกิดขึ้นนี้เรียกว่า “hydrolytic rancidity” หรือ “lipolytic rancidity” การเกิดไฮโดร ไลซิสจะเป็นปฏิกิริยาหลักที่เกิดขึ้นในขณะท่ออาหารที่มีน้ำหนารึมีความชื้นสูงและใช้อุณหภูมิสูงในการท่อ ปัจจุบันกรดไขมันอิสระที่เกิดขึ้นจากปฏิกิริยาไฮโดร ไลซิสยังมีผลทำให้อุณหภูมิที่เกิดครั้งแรกและแรงตึงผิวของน้ำมันลดต่ำลงด้วย น้ำมันจะเกิดครั้งใหม่ร้ายแรงหากอาหาร เช่น การท่อโคนักจะได้โคนักที่มีสีคล้ำ ผิวแตก และคุณน้ำมันไว้มาก ทำให้โคนักหรืออาหารที่หดตัวนั้นมีคุณภาพต่ำ กรดไขมันที่อยู่ในรูปอิสระยังมีความไวต่อการเกิดปฏิกิริยาออกซิเดชันมากกว่าชนิดที่อยู่ในรูปเอสเตอเรอร์กับกลีเซอโรล

- การเกิดฟองระหว่างการทำมีสาเหตุจากการลดแรงตึงผิวของน้ำมันมีเพิ่มขึ้นหลังจากน้ำมันผ่านความร้อนที่อุณหภูมิสูง น้ำมันจึงไม่สามารถระเหยความชื้นออกไปได้จึงเก็บกักไว้น้ำไว้จนกลายเป็นฟองอากาศที่มีลักษณะคล้ายยางไม้และสีของน้ำมันมีสีคล้ำ

สำหรับปัญหาการเสื่อมคุณภาพของน้ำมันเนื่องมาจากปฏิกิริยาไฮโดร ไลซิสเนื่องจากไม่สามารถแก้ไขได้ด้วยการใช้สารต้านออกซิเดชัน (antioxidant) แต่อาจแก้ไขได้ด้วยการใช้วัตถุดูบินที่มีคุณภาพและกระบวนการแปรรูปที่เหมาะสม



ภาพ 6 ปฏิกิริยาการเกิดไฮโดร ไลซิสของไตรกลีเซอโรล

ที่มา: Kristott, 2000

ส่วนการเหม็นหืนเนื่องจากออกซิเดชัน (oxidative rancidity) เป็นการหืนที่เกิดขึ้นเนื่องจากปฏิกิริยาออกซิเดชันที่พันธะคู่ของกรดไขมันชนิดไม่อิมตัวกับออกซิเจนในอากาศเกิดเป็น peroxide linkage ขึ้นระหว่างพันธะคู่ อาร์โอดอกซิเดชันจะเกิดขึ้นของแบบต่อเนื่องตลอดเวลาเมื่อไขมันและน้ำมันสัมผัสกับออกซิเจนในอากาศ ทำให้มีกลิ่นและรสชาติที่ผิดปกติ การหืนด้วยปฏิกิริยานี้จะเกิดขึ้นในอาหารที่มีไขมันและน้ำมันผสมอยู่ด้วย โดยเฉพาะในไขมันและน้ำมันที่ใช้

ปรุงอาหารจะเกิดขึ้นมากที่สุด การมีโลหะ เช่น ทองแดงและตะกั่ว จะเป็นตัวเร่งให้เกิดปฏิกิริยาได้เร็วขึ้น นอกจากนั้นความร้อนและแสงก็มีผลช่วยเร่งปฏิกิริยาออกซิเดชันด้วย

การเกิดการหันด้วยปฏิกิริยานี้ทำให้กรดไขมันชนิดไม่อิ่มตัว ซึ่งเป็นกรดไขมันที่จำเป็นต่อร่างกายถูกทำลาย มีผลทำให้คุณค่าทางโภชนาการของไขมันและน้ำมันลดลงด้วย และยังทำลายพวกลิมิตต่าง ๆ ที่ละลายในไขมันและน้ำมัน ได้อีกด้วย การหันที่เกิดขึ้น โดยปฏิกิริยาออกซิเดชันนี้ยังอาจเกิดขึ้นได้เมื่อมีอิเล็กตรอน ใช้มีไซเพลอกซิดase (lipoxidase) ช่วยเร่งปฏิกิริยาซึ่งจะเป็น enzymatic oxidation

Naz และคณะ (2005) กล่าวว่า การเกิดออกซิเดชันสามารถลดได้โดยการบรรจุแบบสูญญากาศ การบรรจุภายในไกซ์เพลี่อยที่ป้องกันออกซิเจน (modified atmosphere packaging) และการแช่เย็นหรือแช่เยือกแข็ง การใช้สารต้านออกซิเดชันเป็นทางเลือกที่นิยมใช้ในการลดการเกิดปฏิกิริยาออกซิเดชัน เพราะมีการใช้ออกซิเจนปริมาณเพียงเล็กน้อยในการเป็นสารเริ่มต้นและเป็นตัวหลักของกระบวนการเกิดปฏิกิริยาออกซิเดชัน จึงเป็นเรื่องยากที่จะกำจัดออกซิเจนตัวสุดท้ายให้ออกไปจากอาหารจนหมด

3.4.1 กลไกการเกิดออกซิเดชัน (Mechanism of oxidation)

นิธิยา (2545) กล่าวว่า การเกิดปฏิกิริยาออกซิเดชันเป็นปฏิกิริยาทางเคมีระหว่างออกซิเจน กับกรดไขมันชนิดไม่อิ่มตัวอิสระ ซึ่งเป็นองค์ประกอบในโมเลกุลของไตรกลีเซอไรด์ (triglycerides) ในไขมันที่มีอยู่ในอาหาร จึงทำให้อาหารดังกล่าวเกิดการเสื่อมคุณภาพ ปฏิกิริยาออกซิเดชันสามารถเกิดขึ้นได้อย่างต่อเนื่องเมื่อไขมันหรือไขมันที่เป็นองค์ประกอบในอาหารสัมผัสกับออกซิเจนในอากาศ อัตราเร็วของปฏิกิริยาออกซิเดชันจะค่อย ๆ เพิ่มขึ้นเรื่อย ๆ เนื่องจากเกิดปฏิกิริยาต่อเนื่องของอนุมูลอิสระ (free-radical chain reaction) ซึ่งมีกลไกในการเกิดปฏิกิริยาออกซิเดชันได้ 3 ขั้นตอน ดังนี้

3.4.1.1 Initiation เป็นขั้นตอนการเกิดอนุมูลอิสระ (free radical)

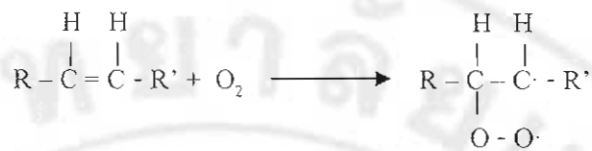
3.4.1.2 Propagation เป็นปฏิกิริยาต่อเนื่องของอนุมูลอิสระ

3.4.1.3 Termination เป็นปฏิกิริยาสุดท้ายที่ได้ผลิตภัณฑ์ที่ไม่ใช่อนุมูลอิสระ (non-radical product)

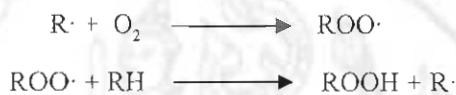
ผลิตภัณฑ์เริ่มต้นของการทำปฏิกิริยาระหว่างกรดไขมันชนิดไม่อิ่มตัวกับออกซิเจนจะทำให้เกิดไฮโดรperoxide ไซด์ (hydroperoxide, ROOH) โดยไฮโดรคาร์บอนตรงตำแหน่งพันธะคู่สูญเสียไฮโดรเจนจะต้องทำให้เกิดอนุมูลอิสระ



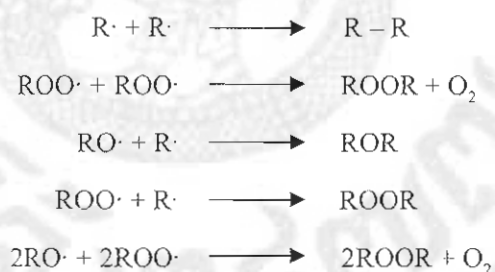
และออกซิเจนจะเข้าไปทำปฏิกิริยาที่พันธะคู่เกิดเป็น diradical ดังนี้



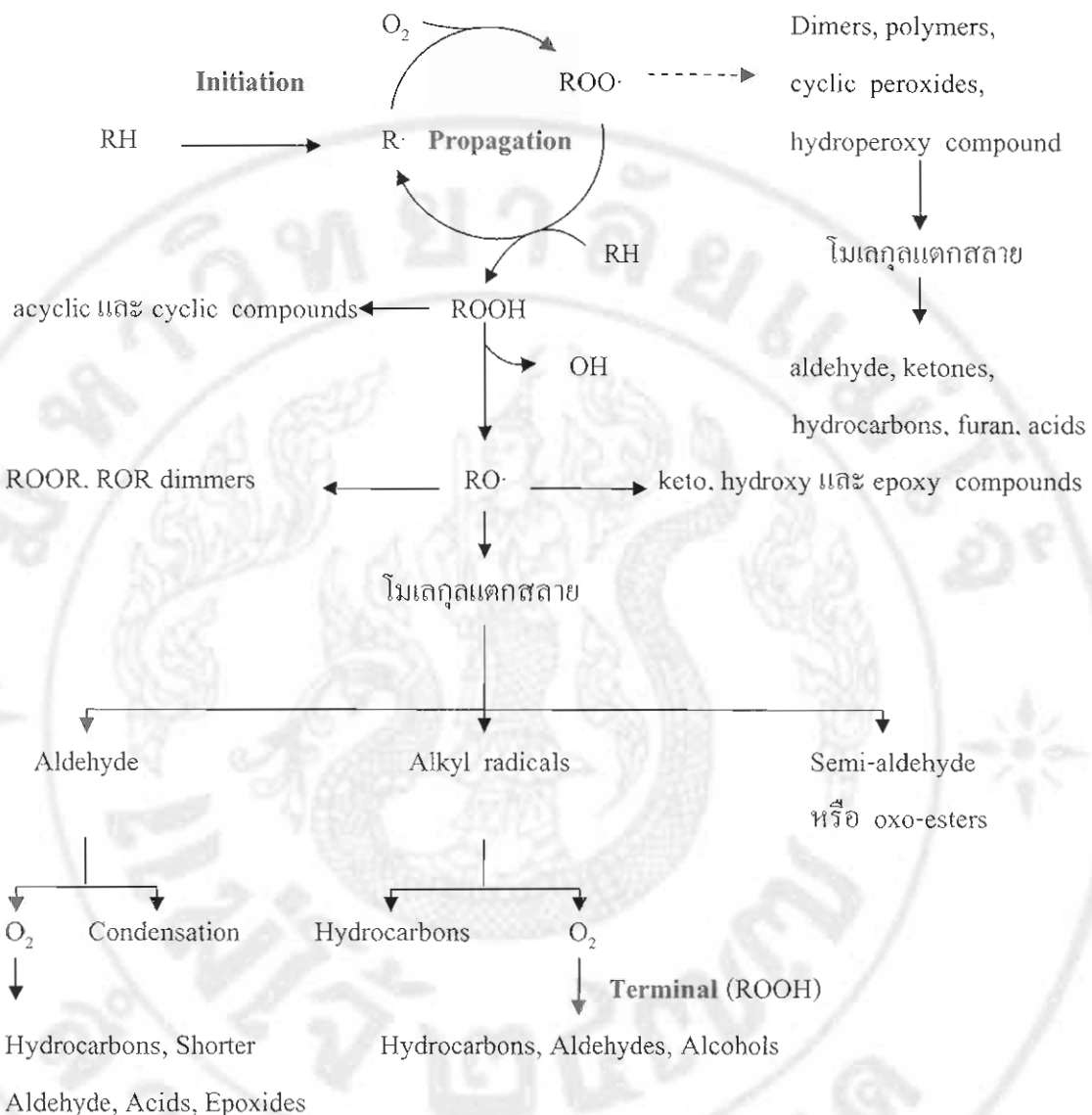
หลังจากนั้นอนุญลิสระบะทำปฎิกริยา กับอุกซีเจนต่อไปเรื่อยๆ อย่างต่อเนื่อง



ได้เป็นอนุมูลเพอร์ออกซี (ROO^{\cdot}) ไฮโดรเพอร์ออกไซด์ (ROOH) และอนุมูลไฮดรอการ์บอน (R^{\cdot}) อนุมูลที่เกิดขึ้นใหม่นี้ก็จะเกิดปฏิกิริยาต่อเนื่องกับออกซิเจนต่อไป และเมื่อได้ท่อนุมูลอิสระทำปฏิกิริยา กันเองสามารถทำให้เกิดสารประกอบใหม่ที่ไม่เป็นอนุมูลอิสระปฏิกิริยาออกซิเดชันจะหยุดลง ตัวอย่างเช่น



ด้านหากในปฏิกริยาไม่เหลืออนุญาติสระที่สามารถทำปฏิกริยาต่อเนื่องกับออกซิเจนได้นั้น ปฏิกริยาใดที่มีออกซิเจนในปริมาณมากจะทำให้เกิดปฏิกริยาในขั้นเริ่มต้นของการเกิดปฏิกริยา ออกซิเดชัน เพื่อช่วยให้เกิดอนุญาติสระได้ใหม่ ปฏิกริยาในขั้นตอนนี้เป็นปฏิกริยาที่สำคัญ เนื่องจากเป็นปฏิกริยาที่ต้องอาศัยพลังงานในการเข้าทำลายพันธะระหว่างคาร์บอนและไฮโดรเจน ซึ่งเป็นองค์ประกอบของกรดไขมัน โดยจะใช้พลังงานถึง 35 กิโลแคลอรีหรือ 146 กิโลจูล/โมล แต่ หากในปฏิกริยาไม่อนุญาตของไฮดรา แสง เอนไซม์และความร้อนจะช่วยกระตุ้นให้เกิดปฏิกริยา ออกซิเดชันได้เร็วขึ้นและช่วยลดการใช้พลังงานในการเข้าทำปฏิกริยาของออกซิเจนในพันธะคู่ของกรดไขมันชนิดไม่อิมตัวลงได้



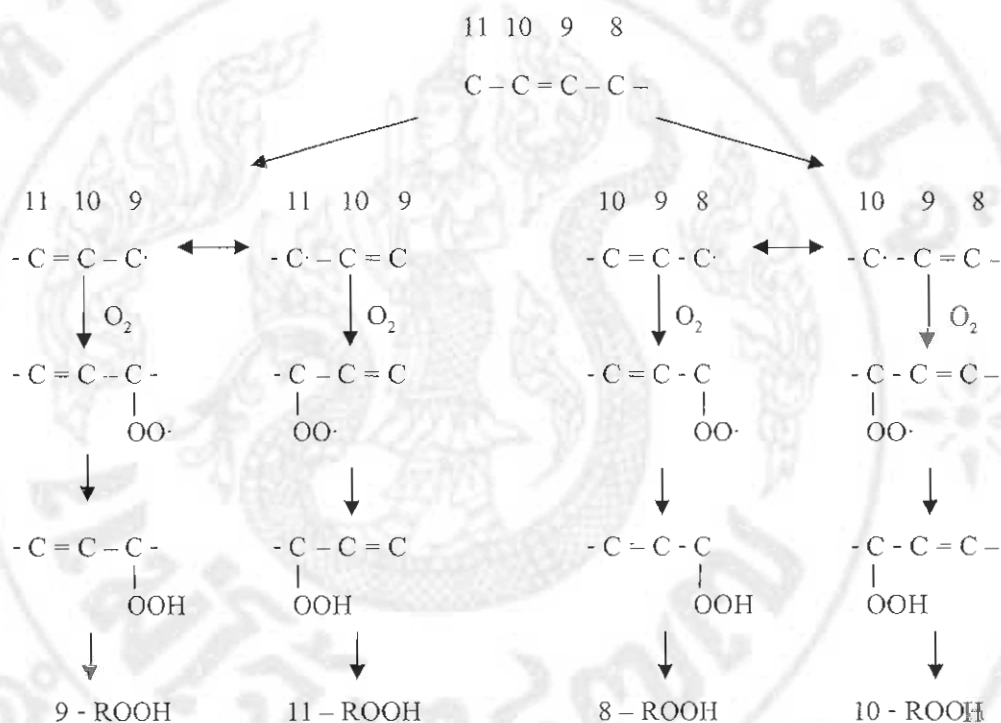
ภาพ 7 แผนภูมิการเปลี่ยนแปลงระหว่างการเกิดออกไซด์อัตโนมัติ (autoxidation) ของไขมัน
ที่มา: DeMan, 1990

3.4.2 การเกิดไฮโดรperออกไซด์ของกรดไขมันชนิดไม่อิ่มตัว

กรดไขมันชนิดไม่อิ่มตัวที่สามารถเกิดไฮโดรperออกไซด์ (hydroperoxides) ได้แก่ กรดโอลีอิค (oleic acid) กรดคลิโนเลอิค (linoleic acid) และกรดคลิโนเลนิค (linolenic acid) กรดไขมันเหล่านี้จะเกิดไฮโดรperออกไซด์ได้แล้วบ้างสามารถเกิดไฮโซเมอร์ (isomer) ซึ่งได้ด้วยดังต่อไปนี้ (DeMan, 1990)

3.4.2.1 กรดไฮเดรอกซิลิก

โนเมเลกุลของกรดไฮเดรอกซิลิกมีพันธะคู่ระหว่างคาร์บอนตำแหน่งที่ 9 และ 10 ดังนั้นไฮโดรเจนที่ตำแหน่ง 8 และ 11 จะถูกดึงออกจากโนเมเลกุลกล้ายเป็น allylic radical ที่สามารถดึงไฮโดรเจนข้างเคียงจากตำแหน่งที่ 9 และ 10 ซึ่งเป็นตำแหน่งของพันธะคู่ให้กล้ายเป็น allylic radical ได้ เช่นกัน จากการที่เปลี่ยนกลับไป-กลับมา จากนั้นออกซิเจนจะเข้าทำปฏิกิริยากับ allylic radical เกิดเป็นอนุพันธ์ allylic hydroperoxide



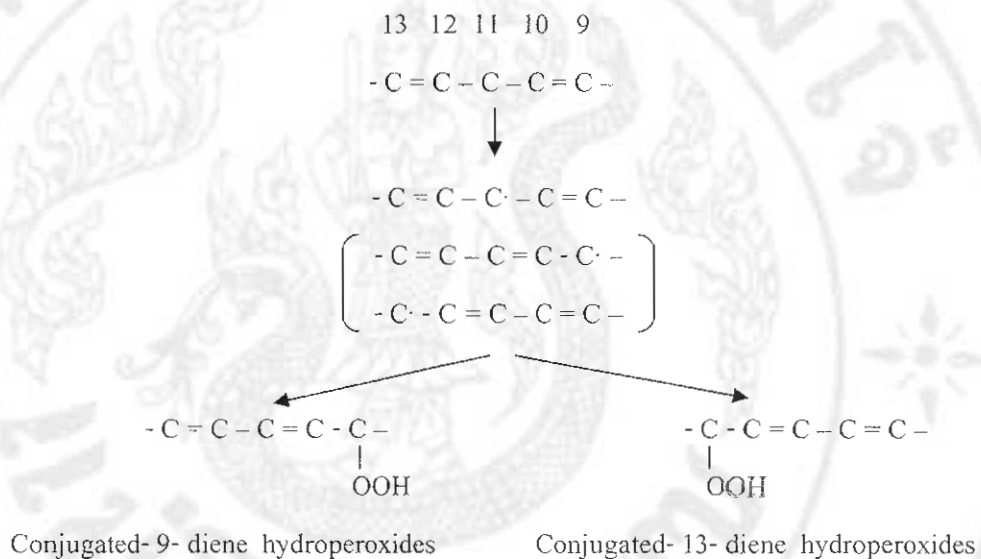
ภาพ 8 การเกิดไฮโดรเพอร์ออกไซด์ของกรดไฮเดรอกซิลิก

ที่มา: DeMan, 1990

ปริมาณของ 8 และ 11-ไฮโดรเพอร์ออกไซด์จะเกิดมากกว่า 9 และ 10-ไฮโดรเพอร์ออกไซด์เล็กน้อย ที่อุณหภูมิ 25 องศาเซลเซียส จะเกิดไฮโซเมอร์ในรูปทึ้งชีส (cis) และทรานส์ (trans) ของ 8 และ 11-ไฮโดรเพอร์ออกไซด์ในปริมาณเท่าๆ กัน ในขณะที่ 9 และ 10-ไฮโดรเพอร์ออกไซด์จะเกิดทรานส์เป็นส่วนใหญ่

3.4.2.2 กรณีใน例外

ในไมโเลกุลนี้พันธะคู่อู่ 2 ตำแหน่ง คือ ระหว่างคาร์บอนที่ตำแหน่ง 9 กับ 10 และระหว่าง
คาร์บอนที่ตำแหน่ง 12 กับ 13 ด้วยการกระตุ้นหมู่เมทธิลีน (methylene group) ที่ทำปฏิกิริยาได้ถึง 2
เท่า ที่ตำแหน่ง 11 เกิดเป็น pentadienyl radical ที่สามารถดึงไฮโดรเจนข้างเคียงจากคาร์บอนตำแหน่ง
ที่ 9 และ 13 ให้กลายเป็น pentadienyl radical ได้เช่นเดียวกันซึ่งเป็นตำแหน่งของพันธะคู่ จากนั้น²
ออกซิเจนจะเข้าทำปฏิกิริยากับ 9 และ 13-dieneperoxides ในปริมาณที่เท่ากันและสามารถเกิดไฮโซ
เมอร์ทั้งชิส-ทรานส์และทรานส์-ทรานส์ได้



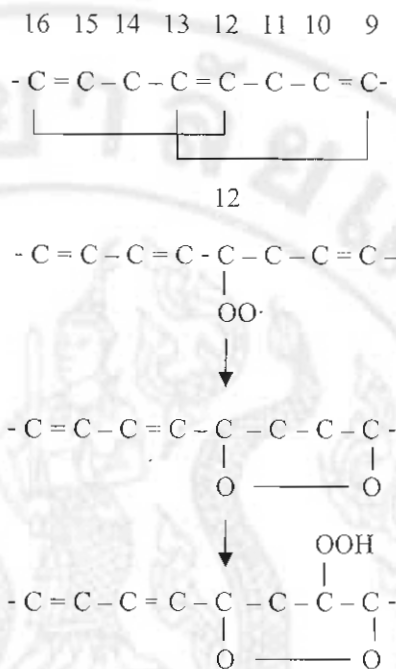
ภาพ 9 การเกิดไฮโดรเพอร์ออกไซด์ของกรดลิโนเลอิก

ที่มา: DeMan, 1990

3.4.2.3 กรณีในเลนิก

ในไมโเลกุลของกรดลิโนเลนิกมีพันธะคู่อู่ 3 ตำแหน่งทำให้เกิด pentadienyl ได้ 2 ตำแหน่ง
เนื่องจากมีหมู่เมทธิลีนถึง 2 หมู่ที่ตำแหน่ง 11 และ 14 ทำให้เกิด pentadienyl radical ได้ 2 อนุมูล
ออกซิเจนจะทำปฏิกิริยากับ pentadienyl radical ที่คาร์บอนตำแหน่งสุดท้ายของแต่ละอนุมูลทำให้
เกิดไฮโดรเพอร์ออกไซด์สมของ 9, 12, 13 และ 16 -ไฮโดรเพอร์ออกไซด์ โดยที่พันธะคู่ของลิ
โนเลนิกที่ 2 พันธะแรกทำให้ conjugated diene เรียงตัวแบบชิส-ทรานส์ และทรานส์-ทรานส์ แต่
ส่วนของพันธะคู่ที่ 3 จะเกิดเป็น isolated double bond ซึ่งอยู่ในรูปของชิสเท่านั้น ปริมาณของ
9 และ 16 -ไฮโดรเพอร์ออกไซด์จะเกิดมากกว่า 12 และ 13-ไฮโดรเพอร์ออกไซด์ เนื่องจาก 9 และ

16-dieneperoxides ทำปฏิกิริยากับออกซิเจนได้เร็วกว่า 12 และ 13-dieneperoxides โดยที่ 12 และ 13 -ไฮโดรเพอร์อوكไซด์อาจเปลี่ยนเป็น 1, 4-cyclization ได้



ภาพ 10 การเกิดไฮโดรเพอร์อوكไซด์ของกรดลิโนเลนิก

ที่มา: DeMan, 1990

3.4.3 ปัจจัยที่มีอิทธิพลต่ออัตราการเกิดปฏิกิริยาออกซิเดชันในอาหาร

3.4.3.1 ชนิดของกรดไขมันที่มีอยู่ในอาหาร

เนื่องจากชนิดของกรดไขมันในไม่เกลุ่มของไขมันและน้ำมันมีผลกระทบต่อการเกิดปฏิกิริยาออกซิเดชัน กรดไขมันชนิดไม่อิ่มตัวเท่านั้นที่ทำให้เกิดปฏิกิริยาออกซิเดชันและอัตราการเกิดปฏิกิริยาจะแตกต่างกัน โดยขึ้นอยู่กับพันธะคู่ในกรดไขมันชนิดไม่อิ่มตัวนั้น ๆ กรดไขมันที่ยังมีพันธะคู่มากการเกิดปฏิกิริยาออกซิเดชันจะเกิดขึ้นได้เร็ว เช่น อัตราการเกิดปฏิกิริยาออกซิเดชันของกรดอะราชิโนนิก : กรดลิโนเลนิก : กรดลิโนเลอิก : กรดไอโอลีค เท่ากับ 40 : 20 : 10 : 1 กรดไขมันที่อิ่มในรูปของซิส-ไอโซเมอร์จะเกิดออกซิไดส์ได้เร็วกว่าทรานส์-ไอโซเมอร์และตำแหน่งพันธะคู่ที่เป็นคอนจูเกต (conjugated double bond) จะเกิดได้เร็วกว่าพันธะคู่ที่ไม่เป็นคอนจูเกต (non conjugated double bond)

3.4.3.2 กรดไขมันอิสระ

กรดไขมันที่อยู่ในรูปอิสระจะถูกออกซิได้ยากกว่าที่อยู่ในรูปของเอสเทอร์ (ester) กับกลีเซอรอล (glycerol)

3.4.3.3 ความเข้มข้นของออกซิเจน

ในการวัดมีออกซิเจนในปริมาณน้อยอัตราการเกิดปฏิกิริยาออกซิเดชันจะขึ้นอยู่กับความเข้มข้นของออกซิเจน อย่างไรก็ได้ผลของออกซิเจนยังขึ้นอยู่กับปัจจัยอื่น ๆ ด้วย เช่น อุณหภูมิและพื้นที่ผิวที่สัมผัสกับออกซิเจน

3.4.3.4 อุณหภูมิ

อัตราเร็วของการเกิดออกซิเดชันจะเพิ่มขึ้นเมื่ออุณหภูมิเพิ่มขึ้น เมื่ออุณหภูมิเพิ่มขึ้นทำให้กรดไขมันชนิดอื่นตัวเกิดการแตกสลายด้วยความร้อนซึ่งมีผลทำให้เกิดปฏิกิริยาออกซิเดชันเพิ่มขึ้นจากเดิมที่เกิดเฉพาะในกรดไขมันชนิดไม่อิมตัวเท่านั้น

3.4.3.5 พื้นที่ผิว

อัตราการเกิดปฏิกิริยาออกซิเดชันจะเพิ่มขึ้นเป็นสัดส่วนโดยตรงกับพื้นที่ผิวของอาหารไขมันที่สัมผัสกับอากาศ ดังนั้นอัตราส่วนของพื้นที่ผิวต่อปริมาณเพิ่มขึ้นการเกิดปฏิกิริยาออกซิเดชันจะเกิดได้เร็วขึ้น

3.4.3.6 ความชื้น

อัตราเร็วของการเกิดปฏิกิริยาออกซิเดชันจะขึ้นอยู่กับค่า a_w (Water activity) อาหารแห้งที่มีความชื้นต่ำมาก ๆ ($a_w \sim 0.1$) ปฏิกิริยาออกซิเดชันจะเกิดขึ้นได้อย่างรวดเร็ว เมื่อค่า a_w เพิ่มขึ้นถึงประมาณ 0.3 จะขับยั้งการเกิดปฏิกิริยาออกซิเดชันของไขมัน แต่เมื่อค่า a_w เพิ่มขึ้นในช่วง 0.55-0.85 อัตราการเกิดออกซิเดชันจะเพิ่มขึ้นอีกครั้ง เนื่องจากมีปริมาณน้ำที่มากพอสำหรับการเคลื่อนที่ของคละติสต์ (catalyst) และออกซิเจน

3.4.3.7 การเกิดอิมัชัน (Emulsion)

ในอาหารที่เป็นอิมัลชันประเภทน้ำมันในน้ำ (oil in water) หยดน้ำมันจะกระจายอยู่ในตัวกลางที่เป็นน้ำ ทำให้เกิดการแพร่กระจายของออกซิเจนผ่านตัวกลางที่เป็นน้ำเข้าไปยังส่วนของชั้นน้ำมัน แต่อัตราการเกิดปฏิกิริยาออกซิเดชันในอิมัลชันขึ้นอยู่กับปัจจัยอื่น ๆ ร่วมด้วย เช่น ชนิดและความเข้มข้นของอิมัลชันไฟอิงເອເຈນດ (emulsifying agent) ขนาดของอนุภาค หยดน้ำมันพื้นที่ผิว ความหนืดของตัวกลางที่เป็นน้ำ ค่าพีอีช (pH) ส่วนประกอบของตัวกลาง

3.4.3.8 Pro – oxidants

แร่ธาตุหรือโลหะบางชนิด เช่น โคบอลต์ (cobalt) ทองแดง (copper) เหล็ก (iron) แมงกานีส (manganese) และนิกเกิล (nickel) ที่มีคุณสมบัติในการกระตุ้นให้เกิดการปฏิกิริยา

ออกซิเดชัน ไดร์วิ่งขึ้น ที่ระดับความเข้มข้นเพียง 0.1 ppm อนุมูลโลหะเหล่านี้อาจปนเปื้อนจาก อุปกรณ์โลหะที่ใช้ในกระบวนการแปรรูปและการเก็บรักษา

3.4.3.9 Radiant energy

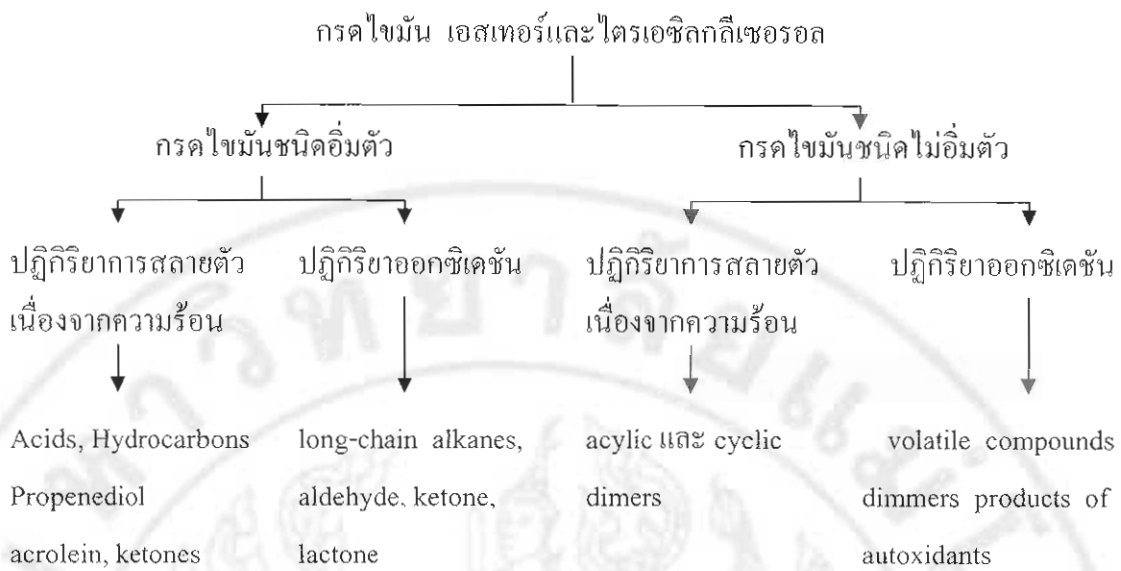
แสงและรังสีต่าง ๆ เช่น แสงอัลตราไวโอเลต (ultraviolet) และแกมมาเรดิโอชั้น (gamma radiation) มีผลช่วยเร่งการเกิดปฏิกิริยาออกซิเดชัน ไดร์วิ่งขึ้น

3.4.3.10 antioxidant

แอนต์ออกซิเดนท์เป็นสารต้านออกซิเดชัน โดยช่วยบั้งหรือชะลอการเกิดปฏิกิริยา ออกซิเดชันที่มีทั้งสารต้านออกซิเดชันในธรรมชาติ เช่น วิตามินอีในน้ำมันพืช และสารต้าน ออกซิเดชันที่เป็นสารสังเคราะห์ที่ได้รับการอนุญาตให้เติมลงในอาหาร ได้ เช่น โพรพิลแกลเลต (propyl gallate) BHT (butylated hydroxytoluene) หรือ BHA (butylated hydroxy anisole)

3.4.4 การถ่ายตัวของไขมันหรือน้ำมันเนื้องจากความร้อน

เมื่ออาหารได้รับความร้อนจะมีการเปลี่ยนแปลงทางเคมีเกิดขึ้น ซึ่งมีความสำคัญต่อกลิ่น รสชาติ ศีลักษณ์ประภัย คุณค่าทางโภชนาการและเกิดสารพิษ ปฏิกิริยาทางเคมีที่เกิดขึ้นเมื่อ ไขมันหรือน้ำมันเกิดออกซิเดชันที่อุณหภูมิค่อนข้างซับซ้อน ดังภาพ 11 แผนภูมิการถ่ายตัวของ ไขมันหรือน้ำมันเนื้องจากความร้อน เนื่องจากปฏิกิริยาจะเกิดทั้งการถ่ายตัวด้วยความร้อนร่วมกับ การเกิดออกซิเดชันเนื่องจากออกซิเจนในอากาศซึ่งเกิดพร้อม ๆ กัน โดยสามารถเกิดได้ในกรด ไขมันทึ้งชนิดอิมตัวและไม่อิมตัว กลไกการถ่ายตัวเนื่องจากความร้อน (thermolytic reaction) และการเกิดปฏิกิริยาออกซิเดชัน (oxidative reaction) ของไขมันหรือน้ำมันเมื่อได้รับความร้อนที่ อุณหภูมิสูง



ภาพ 11 แผนภูมิการสลายตัวของไขมันหรือน้ำมันเนื่องจากความร้อน

ที่มา: DeMan, 1990

4. การแก้ไขปัญหาการเหน็บหินของน้ำมันโดยใช้สารต้านออกซิเดชัน

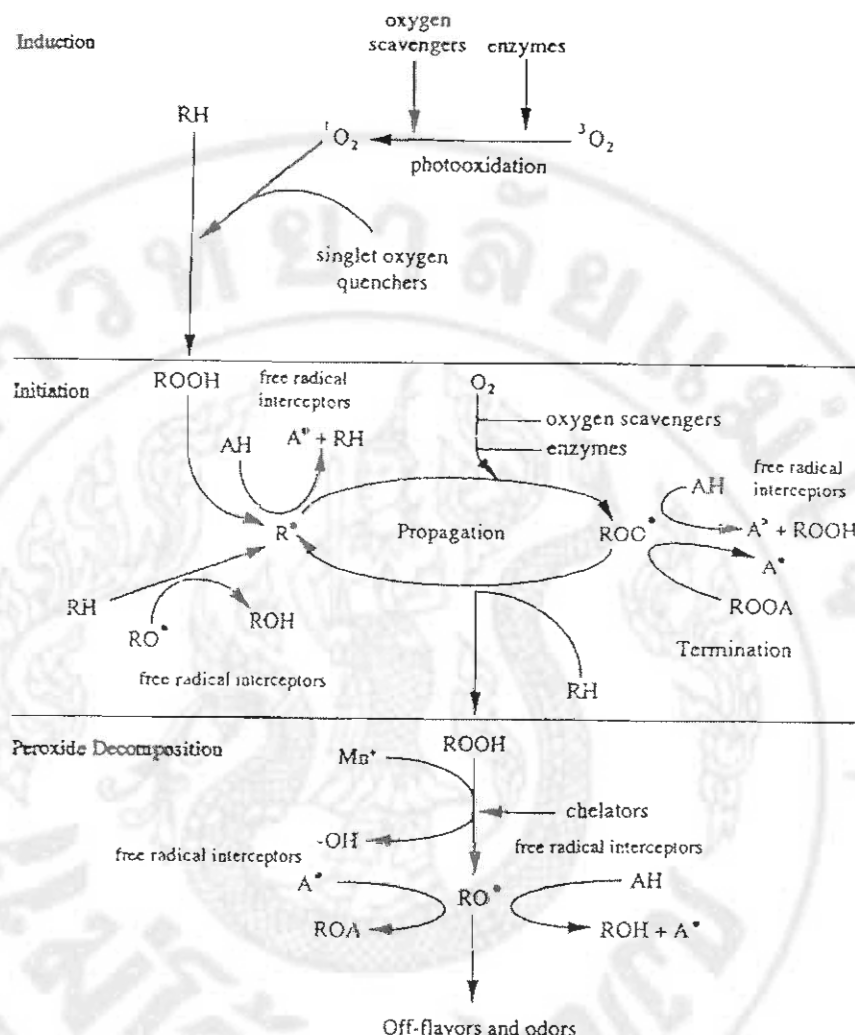
ปฏิกิริยาออกซิเดชันเป็นปฏิกิริยาแบบผันกลับได้ซึ่งไม่สามารถป้องกันไม่ให้เกิดได้แต่สามารถชะลอให้เกิดช้าลงได้ ซึ่งเป็นการแสดงถึงการเกิดปฏิกิริยาออกซิเดชันในขั้นเริ่มต้นและขั้นต่อเนื่อง รวมถึงวิธีชลประทานปฏิกิริยาให้เกิดช้าลง จากปฏิกิริยาที่เกิดขึ้นดังภาพ 12 สามารถชะลอปฏิกิริยาให้เกิดช้าลงโดยวิธีเหล่านี้

4.1 ลดปริมาณความร้อนและแสงลงโดยการเก็บผลิตภัณฑ์ไว้ในที่เย็นและมืด

4.2 อย่าให้มีการปะปื้อนของอนุมูลของโลหะ เช่น ทองแดงและเหล็ก เนื่องจากการปะปื้อนอนุมูลของโลหะแม้เพียง 0.1-1 มิลลิกรัม/กิโลกรัม ก็สามารถเร่งให้เกิดปฏิกิริยาออกซิเดชันได้

4.3 ป้องกันมิให้สัมผัสนับออกซิเจนโดยการเก็บในภาชนะที่ปิดสนิท

4.4 ใช้สารต้านออกซิเดชันทำปฏิกิริยากับอนุมูลอิสระเพื่อหยุดปฏิกิริยาออกซิเดชันที่จะเกิดขึ้น



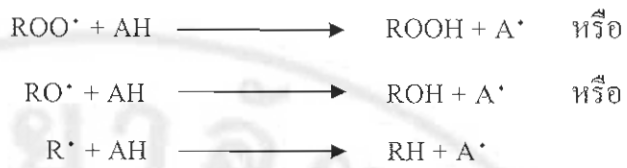
ภาพ 12 ภาพโดยรวมของการเกิดปฏิกิริยาออกซิเดชันในน้ำมันและปฏิกิริยาของสารต้านออกซิเดชัน

ที่มา: Reische *et al.* (2002)

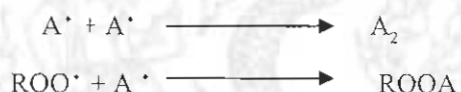
4.5 กลไกของสารต้านออกซิเดชันในผลิตภัณฑ์อาหาร

ปฏิกิริยาออกซิเดชันที่เกิดขึ้นในไขมันหรือน้ำมันอาจหล่อให้เกิดช้าลงได้ด้วยการใช้สารต้านออกซิเดชันซึ่งเป็นวัตถุเจือปนในอาหารอีกชนิดหนึ่งที่มีการใช้อย่างแพร่หลายในอุตสาหกรรมอาหาร เพื่อป้องกันการเปลี่ยนแปลงที่เกิดขึ้นเนื่องจากปฏิกิริยาออกซิเดชันของอาหารซึ่งเป็นสาเหตุของการเหม็นหืนหรือกลิ่นรสที่พิคป็อกติ การที่สารต้านออกซิเดชันสามารถยับยั้งการเกิดปฏิกิริยา

ออกซิเดชันได้เนื่องจากสารต้านออกซิเดชันที่เติมลงไปทำปฏิกิริยา กับอนุมูลอิสระที่เกิดขึ้น ทำให้ปฏิกิริยาออกซิเดชันที่เกิดขึ้นแบบลูกโซ่หยุดชะงักไป ดังสมการ



เมื่อสารต้านออกซิเดชันที่เติมลงไปทำปฏิกิริยา กับอนุมูลอิสระที่เกิดขึ้นเนื่องจากปฏิกิริยา ออกซิเดชัน จะเหลืออนุมูลของสารต้านออกซิเดชันซึ่งเกิดปฏิกิริยา ได้มากกว่าอนุมูลอิสระมากและสามารถเปลี่ยนเป็นสารประกอบที่คงตัว ดังสมการ

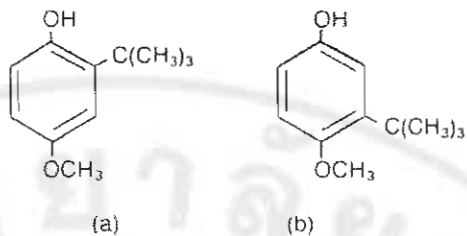


ดังนั้นปฏิกิริยาที่เกิดขึ้นข้างต้นสามารถอธิบายถึงวิธีการป้องกันการเกิดปฏิกิริยา ออกซิเดชันจากการใช้สารต้านออกซิเดชันในอาหารที่มีน้ำมันหรือไขมันเป็นส่วนประกอบ นอกจานนี้ยังพบว่าสารต้านออกซิเดชันบางชนิดสามารถถูกออกซิไดไซด์ได้ง่ายกว่าน้ำมัน จึงอาจสบคุณสมบัติตั้งกล่าวของสารต้านออกซิเดชันช่วยชะลอการเกิดปฏิกิริยาออกซิเดชันของน้ำมันหรือไขมัน

4.6 ชนิดของสารต้านออกซิเดชันที่นิยมใช้ในผลิตภัณฑ์ทอดกรอบ

การเลือกซื้อผลิตภัณฑ์อาหารผู้บริโภคจะตระหนักถึงความสดและกลิ่นรสเป็นปัจจัยหลัก ปฏิกิริยาออกซิเดชันในไขมันและน้ำมันมีอิทธิพลต่อคุณภาพของผลิตภัณฑ์อาหาร ทำให้เกิดกลิ่น-รสที่ไม่ดี ลดคุณค่าทางโภชนาการ บางครั้งเกิดเป็นสารพิษหรือสารก่อมะเร็ง นักวิจัยส่วนใหญ่ใช้พยายามในการหาวิธีป้องกันการเกิดปฏิกิริยาออกซิเดชันขึ้น แต่มีราคาค่อนข้างแพงเมื่อเทียบกับ การเติมสารต้านออกซิเดชันลงในอาหาร โดยตรงเพื่อป้องกันการเกิดปฏิกิริยาออกซิเดชัน สารต้านออกซิเดชันส่วนใหญ่เป็นพาก phenolic aromatic หรือบางครั้งเรียกว่า phenolic antioxidant มีทั้งอยู่ในรูปของแข็งและของเหลว สารต้านออกซิเดชันที่นิยมใช้ในผลิตภัณฑ์ทอดกรอบหรือน้ำมันที่ใช้หยอด ได้แก่ บีเอชเอ (butylated hydroxyanisole :BHA) บีเอชที (butylated hydroxytoluene :BHT) ทีบีเอชคิว (tertiary butyl hydroquinone :TBHQ) และ โพรพิลแกลเลต (propyl gallate)

4.6.1 บีเอชเอ (butylated hydroxy anisole :BHA)



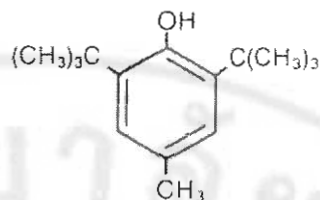
ภาพ 13 โครงสร้างของ BHA

(a) 3-tert-butyl-4-hydroxyanisole (b) 2-tert-butyl-4-hydroxyanisole

ที่มา: Sherwin, 1985

บีอีชเอเป็นสารต้านออกซิเดชันที่มีการนิยมใช้ทั่วไปในอุตสาหกรรมอาหาร เป็นสารประกอบที่เป็นผลลัพธ์ของไขมัน ไมกลินจุน ไม่ละลายในน้ำแต่ละลายได้ดีในไพรพี-ลีนิกลีบโคอล (propylene glycol) ที่เข้มข้นร้อยละ 70 หรือเอธิลแอลกอฮอล์ (ethyl alcohol) ที่เข้มข้นมากกว่าร้อยละ 50 กลีเซอริลโมโนโอลีอีต (glyceryl monooleate) ที่เข้มข้นร้อยละ 50 และในน้ำมันทุกชนิดที่เข้มข้นร้อยละ 30-50 มีจุดเดือดที่ 264-270 องศาเซลเซียส และจุดหลอมเหลวที่ 48-65 องศาเซลเซียส (Sims และ Fioriti, 1980)

4.6.2 บีเอชที (butylated hydroxytoluene :BHT)



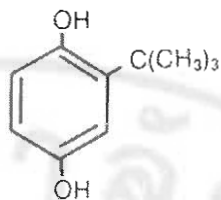
ภาพ 14 โครงสร้างของ BHT (2,6-ditertiary-butyl-p-cresol)

ที่มา: Sherwin, 1985

บีเอชทีเป็นสารป้องกันที่เป็นผลิตภัณฑ์สีขาวหรือเกล็ดสีขาว มีกลิ่นฉุน ไม่ละลายในน้ำและแอลกอฮอล์แต่ละลายได้ในน้ำมันในอัตราส่วนร้อยละ 25-40 หรือเอธิลแอลกอฮอล์เข้มข้นร้อยละ 25 และกลีเซอริลโวนิโอลเอตที่เข้มข้นร้อยละ 15 มีจุดเดือดที่ 265 องศาเซลเซียสและจุดหลอมเหลวที่ 69.7 องศาเซลเซียส (Sims และ Fioriti, 1980)

บีเอชทีที่มีจำนวนตามท้องตลาดมักอยู่ในรูปสารผสมของบีเอชทีในโพร์พีลินกลัคอลและโมโนกลีเซอไรด์ (monoglycerides) หรือบีเอชเอ บีเอชที และกรดซิตริกในโมโนกลีเซอไรด์ การใช้บีเอชทีร่วมกับบีเอชเอ โพร์พิดแกลเลตหรือทีบีเอชคิว และกรดซิตริก (citric acid) จะช่วยให้มีประสิทธิภาพดีขึ้นเนื่องจากโดยทั่วไปมีการปนเปื้อนในอาหารจะเป็นตัวเร่งให้เกิดปฏิกิริยาออกซิเดชัน จึงต้องใช้กรดซิตริกซึ่งเป็นสารเสริมฤทธิ์สารต้านออกซิเดชันไปช่วยทำปฏิกิริยา กับโลหะตังกล่า โดยที่บีเอชทีชนิดเดี่ยมักทำปฏิกิริยา กับโลหะเกิดเป็นสารประกอบ stibenequinone ซึ่งมีสีเหลือง ทำให้ผลิตภัณฑ์มีสีเหลืองได้ บีเอชทีอาจมีการถ่ายทอดกระแสไฟฟ้าโดยการระเหยหรือการกลั่นในระหว่างกระบวนการแปรรูป เช่น การหด บีเอชทีนิยมใช้ในผลิตภัณฑ์อาหารประเภทน้ำมันหรือไขมันสัตว์ ผลิตภัณฑ์นมอ่อน ในการศึกษาความคงตัวในช่วงของการเก็บรักษาของ Dugan และคณะ (1954) พบร่วงจากการใช้บีเอชเอและบีเอชทีในระดับร้อยละ 0.01 ใน pastry cracker และมันฝรั่งแผ่นหดกรอบ ความคงตัวในการใช้บีเอชเอและบีเอชที pastry อยู่ในช่วง 55 และ 40 วัน ส่วน cracker คงตัวในช่วง 42 และ 38 วัน และมันฝรั่งแผ่นหดกรอบคงตัวในช่วง 36 และ 29 วัน ตามลำดับ ประสิทธิภาพของบีเอชเอดีกว่าบีเอชที

4.6.3 ทีบีอีชคิว (tertiary butyl hydroquinone :TBHQ)



ภาพ 15 โครงสร้างของ TBHQ

ที่มา: Sherwin และ Thompson, 1967

ทีบีอีชคิวเป็นสารประกอบที่เป็นผลึกสีขาว มีกลิ่นเฉพาะตัว ละลายได้ในเอธิล แอลกอฮอล์เข้มข้นร้อยละ 60 หรือโพรพิลนิกลิคอลเข้มข้นร้อยละ 30 กลิ่เซอริลโนโนโนเลอต เข้มข้นร้อยละ 10 และในน้ำมันทุกชนิดที่เข้มข้น 5-10 และในน้ำได้เล็กน้อย (น้อยกว่าร้อยละ 1) มีจุดเดือดที่ 295 องศาเซลเซียส และจุดหลอมเหลวที่ 126.5-128.5 องศาเซลเซียส (Sherwin และ Thompson, 1967)

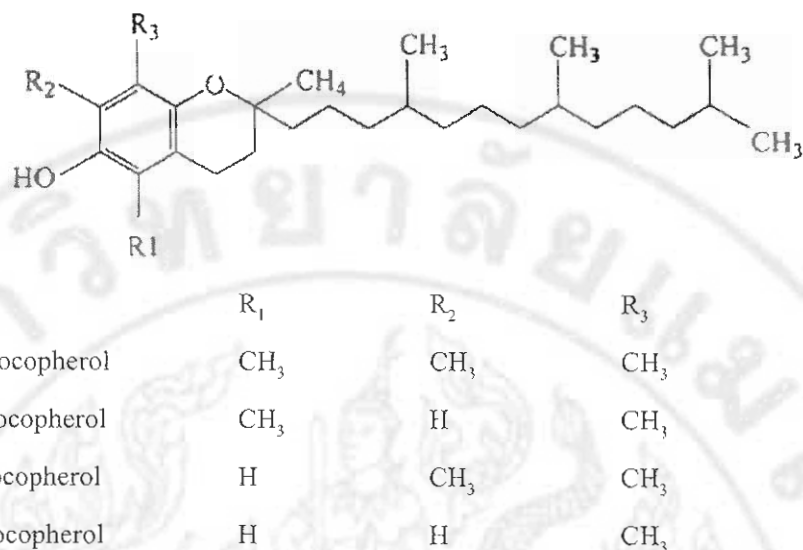
ทีบีอีชคิวเป็นสารต้านออกซิเดชันที่มีประสิทธิภาพดีที่สุดสำหรับน้ำมันพืช ในการศึกษาของ Sherwin และ Thompson (1967) พบว่าทีบีอีชคิวมีประสิทธิภาพดีที่สุดในการช่วยให้น้ำมันพืชคงตัวในระหว่างการให้ความร้อน โดยการทดสอบได้ดีกว่าโพรพิลแกลเลต บีอีชและบีอีชเอ โดยใช้สารต้านออกซิเดชันแต่ละชนิดในระดับร้อยละ 0.02

Razali *et al.* (2003) ได้ศึกษาถึงผลกระทบของสารต้านออกซิเดชันที่มีต่อคุณภาพของน้ำมันปาล์มชูปเปอร์โอลีอิน (plam superolein oil) โดยทำการทดสอบนักเกตไก่ (chicken nuggets) ที่อุณหภูมิ 117 ± 2 องศาเซลเซียส ในเวลา 3.5 นาที และทำการพักให้เย็น 30 นาที เวลาทั้งหมดที่ให้ความร้อนแก่น้ำมันปาล์มชูปเปอร์โอลีอิน คือ 40 ชั่วโมง ซึ่งทำการทดสอบ 8 ชั่วโมง/วัน เป็นเวลา 5 วัน ติดต่อกัน ทำการเก็บตัวอย่างน้ำมันที่ผ่านการทดสอบและผ่านการกรองอาเศษอาหารออกจากน้ำมันจนหมดของแต่ละวันในปริมาณ 400 มิลลิลิตร เพื่อทำการตรวจสอบคุณภาพทางเคมีและกายภาพ จากนั้นทำการเติมน้ำมันใหม่ลงไปผสมในปริมาณร้อยละ 20 ของน้ำมันที่ใช้ในแต่ละวัน ส่วนตัวอย่างนักเกตไก่ที่ผ่านการทดสอบนำมาเก็บรักษาภายใต้สภาพสูญญากาศที่มีการเติมก๊าซในไตรเจนที่อุณหภูมิ -18 องศาเซลเซียส เพื่อทำการตรวจสอบคุณลักษณะทางประสานพัสดุวิธี 9-Point Hedonic Scale โดยคะแนนตั้งแต่ 1-9 คือความกรอบน้อยที่สุดจนถึงกรอบมากที่สุด และทดสอบนักเกตที่ผ่านการทดสอบในน้ำมันปาล์มชูปเปอร์โอลีอินที่เติมสารต้านออกซิเดชัน คือ TBHQ 200 มิลลิกรัม/กิโลกรัม และ silicone 2 มิลลิกรัม/กิโลกรัม เปรียบเทียบกับนักเกตที่ผ่านการ

ทดสอบชิม จากการตรวจสอบทางเคมีและกายภาพของน้ำมันที่ผ่านการทอดทั้งที่ไม่เติมและเติมสารต้านออกซิเดชันเป็นเวลา 5 วัน พบว่าค่ากรดไขมันอิสระเริ่มต้นที่ร้อยละ 0.04 เป็น 0.76 และ 0.48 ตามลำดับ ค่าสารประกอบมีขั้วเริ่มต้นที่ร้อยละ 6.7 เป็น 20.8 และ 11.6 ตามลำดับ ปริมาณสารประกอบโพลิเมอร์เริ่มต้นที่ร้อยละ 0.45 เป็น 3.8 และ 2.4 ตามลำดับ ค่าจุดเกิดควัน (smoke point) เริ่มต้นที่ 228 เป็น 182 และ 190 องศาเซลเซียส ตามลำดับ ปริมาณสารโทกิฟอรอลและโทโคไตรอีนอลเริ่มต้นที่ 745 มิลลิกรัม/กิโลกรัม ลดลงเหลือ 214 และ 450 มิลลิกรัม/กิโลกรัม ตามลำดับ ค่าเพอร์ออกไซด์ (Peroxide Value: PV) จากเริ่มต้นที่ 0.99 มิลลิสมูลย์ของออกซิเจนต่อ กิโลกรัม น้ำมันควบคุมมีค่า PV เท่ากับ 7.17 มิลลิสมูลย์ของออกซิเจนต่อ กิโลกรัม ส่วนน้ำมันที่เติมสารต้านออกซิเดชันมีค่า PV เริ่มต้นที่ 0.90 มิลลิสมูลย์ของออกซิเจนต่อ กิโลกรัม เป็น 2.14 มิลลิสมูลย์ของออกซิเจนต่อ กิโลกรัม และค่าแอกซิด (Acid Value: AV) เริ่มต้นที่ 1.87 มิลลิกรัม/กรัมของน้ำมันควบคุมเป็น 66.15 มิลลิกรัม/กรัม ส่วนน้ำมันที่เติมแอนต์ออกซิเดนท์มีค่า AV เริ่มต้น 1.80 เป็น 20.27 เมื่อทำการทดสอบทางคุณลักษณะทางประสาทสัมผัสพบว่า ค่าสี กลิ่นรส ความกรอบนกและนุ่มนิ่มในของนักเกต ไม่มีความแตกต่างอย่างมีนัยสำคัญทางสถิติ แสดงว่าผู้ทดสอบชิมสามารถยอมรับอาหารที่ผ่านการทอดในน้ำมันที่ผ่านการเติมสาร TBHQ ในระดับดังกล่าวได้

โดยทั่วไปการอนุญาตให้ใช้สารต้านออกซิเดชันชนิดเดียวได้ไม่เกินร้อยละ 0.02 หรือใช้ร่วมกับสารต้านออกซิเดชันชนิดอื่นอนุญาตให้ใช้แต่ละชนิดได้ไม่เกินร้อยละ 0.01 และรวมกันไม่เกินร้อยละ 0.02 ตามประกาศกระทรวงสาธารณสุข ฉบับที่ 84 เพื่อใช้ในการป้องกันการเกิดปฏิกิริยาออกซิเดชันในระหว่างการทอดและต้องสามารถป้องกันการเกิดอนุมูลอิสระได้ตลอดในช่วงของการเก็บรักษา

4.6.4 โทโคเฟอรอล (tocopherol)



ภาพ 16 โครงสร้างของ tocopherol

ที่มา: Madhavi *et al.*, 1995

โทโคเฟอรอลจัดเป็นสารต้านออกซิเดชันที่พบตามธรรมชาติโดยเฉพาะในน้ำมันพืช ซึ่งในน้ำมันมะพร้าวมีร้อยละ 0.003-0.009 และน้ำมันปาล์มมีถึงร้อยละ 0.002-0.05 (Madhavi *et al.*, 1996) โทโคเฟอรอลที่มีประสิทธิภาพใช้เป็นสารต้านออกซิเดชันได้มี 4 รูปแบบ ได้แก่ α, β, γ และ δ-โทโคเฟอรอล แต่ละโครงสร้างแตกต่างกันที่ตำแหน่งของกลุ่มเมธิลที่ aromatic ring จะมี phenolic hydroxy ซึ่งเป็นส่วนสำคัญของการต่อต้านเกิดปฏิกิริยาออกซิเดชันของน้ำมัน โดยหยุดปฏิกิริยาลูกโซ่ของอนุนูลอิสระด้วยการให้ไฮโดรเจนอะตอมแก่อนุนูลของ hydroperoxy ซึ่งอนุนูลของโทโคเฟอรอลมีความคงตัวและสามารถหยุดปฏิกิริยาลูกโซ่ได้ (สันติ, 2535) Jung และ David (1990) ได้ศึกษาถึงการใช้โทโคเฟอรอลในการคงตัวต่อปฏิกิริยาออกซิเดชันในน้ำมันถั่วเหลืองโดยใช้ α, γ และ δ- โทโคเฟอรอล ที่ความเข้มข้น 100 250 500 และ 1,000 มิลลิกรัม/กิโลกรัม ตามลำดับ ซึ่งใช้เครื่อง Rancimat ที่อุณหภูมิ 55 องศาเซลเซียส พบว่าการใช้ α, γ และ δ- โทโคเฟอรอลที่ความเข้มข้น 1,000 มิลลิกรัม/กิโลกรัม มีประสิทธิภาพดีที่สุด คือ มีค่าการเหนี่ยวนำสู่การเกิดปฏิกิริยาออกซิเดชันที่ 57.8 49.9 และ 45.1 ชั่วโมง ตามลำดับ เมื่อเทียบกับตัวอย่างควบคุมมีค่าการเหนี่ยวนำสู่การเกิดปฏิกิริยาออกซิเดชันที่ 42.3 ชั่วโมง โดยที่ Evan (2002) ได้ศึกษาถึงการใช้ α, γ และ δ- โทโคเฟอรอล ผสมกันในน้ำมันถั่วเหลืองที่อุณหภูมิ 60 องศาเซลเซียส โดยใช้ความเข้มข้นที่ 340-660 มิลลิกรัม/กิโลกรัม จะมีประสิทธิภาพดีที่สุด แต่เมื่อใช้โทโคเฟอรอลผสมที่ความ

เข้มข้น 720-1,090 มิลลิกรัม/กิโลกรัม กลับทำให้ประสิทธิภาพการใช้งานลดลง โดยทำให้เพิ่มการเกิดคอนจูเกตไคอีน (conjugated diene) ให้สูงขึ้น แสดงให้เห็นถึงการใช้โทโคเฟอรอลเป็นสารต้านออกซิเดชันจะใช้ได้ในปริมาณที่พอเหมาะสม หากใช้ในปริมาณที่สูงเกินไปอาจช่วยเร่งให้เกิดปฏิกิริยาออกซิเดชันขึ้นได้

การตรวจสอบการเกิดปฏิกิริยาออกซิเดชันของไขมันในอาหาร

ไขมันหรือน้ำมันในอาหารมีความว่องไวต่อการเกิดปฏิกิริยาออกซิเดชัน การตรวจสอบทางเคมีจึงเป็นวิธีหนึ่งในการทดสอบคุณภาพของไขมันในอาหาร การเกิดปฏิกิริยาออกซิเดชันของไขมันเป็นปฏิกิริยาทางเคมีที่ซับซ้อนและมีความสำคัญต่อการเสื่อมคุณภาพของไขมัน มีผลทำให้เกิดการเปลี่ยนแปลงทั้งทางกายภาพ และทางเคมีของไขมัน การตรวจสอบเพื่อวัดการเกิดออกซิเดชันของไขมันทำได้หลายวิธี (Pegg, 2005) ได้แก่

1. การวิเคราะห์ค่าแอกซิด (Acid Value, AV) หรือปริมาณกรดไขมันอิสระ (Free Fatty Acid, FFA)

เป็นการตรวจสอบการถลายตัวและการหืนของไขมันและน้ำมัน ค่าแอกซิดของไขมันหรือน้ำมัน คือ จำนวนมิลลิกรัมของโพแทสเซียมไฮดรอกไซด์ที่ใช้ในการทำให้กรดไขมันอิสระที่มีอยู่ในไขมันหรือน้ำมัน 1 กรัมเป็นกลางพอดี

ค่าแอกซิดหรือปริมาณกรดไขมันอิสระที่วิเคราะห์ได้ใช้เป็นตัวบ่งชี้ว่าไตรอีซิลกเลิเซอรอลที่มีอยู่ในไขมันหรือน้ำมันถูกทำลายด้วยเย็น ไขม์ไลเพสเป็นกรดไขมันอิสระมากน้อยเพียงใด ถ้าค่าแอกซิดสูง แสดงว่าไม่ถูกทำลายโดยไตรอีซิลกเลิเซอรอลถูกถลายตัวได้เป็นกรดไขมันอิสระมาก แสดงว่ามี hydrolytic rancidity เกิดขึ้นที่ไขมันหรือน้ำมันนั้น ความร้อนและแสงช่วยเร่งการหืนได้เร็วขึ้น

2. การวิเคราะห์ปริมาณคอนจูเกตไคอีน (Conjugated Diene, CD)

ปริมาณ คอนจูเกตไคอีนเป็นปริมาณที่ใช้อ้างถึงพันธะคู่ที่มีอยู่ในโครงสร้างทางเคมี ซึ่งมีหมู่เมทิล (methyl group) แทรกอยู่ระหว่างพันธะคู่ สารประกอบพวกคอนจูเกตไคอีนเป็นสารที่ไม่พบในธรรมชาติตั้งแต่จะเกิดขึ้นเมื่อน้ำมันเกิดการออกซิเดชัน สามารถตรวจสอบได้โดยการวัดค่าการคูคกเลินแสงที่ความยาวคลื่น 233 นาโนเมตร (A_{233}) หากค่าการคูคกเลินแสงมากแสดงว่ามีปริมาณคอนจูเกตไคอีนสูง

3. การหาค่าเพอร์อ็อกไซด์ (Peroxide value, PV)

เพอร์อ็อกไซด์เป็นผลิตภัณฑ์แรกของการเกิดปฏิกิริยาออกซิเดชัน ซึ่งวัดปริมาณที่เกิดขึ้นโดยใช้ความสามารถของเพอร์อ็อกไซด์ที่จะทำปฏิกิริยาร่วมกับ iron (II) และ iron (III)

โดยเกิดสารประกอบของ ferric ion ร่วมกับ xylenol orange และสามารถตรวจสอบปริมาณความเสี่ยงด้วยการใช้ spectrophotometer และสามารถตรวจสอบได้โดยการวัดค่าการคูณกลืนแสงที่ความยาวคลื่น 560 นาโนเมตร (A_{560}) วิธีการหา ferrous oxidation/xylenol orange (FOX) เป็นวิธีที่รวดเร็ว ใช้ตัวอย่างน้ำมันน้ำมันน้ำมันและสามารถหาค่าเพอร์ออกไซด์ได้ต่ำถึง 0.1 มิลลิสัมมูลย์ของออกซิเจนต่อกรัมของไขมันหรือน้ำมัน ระหว่างการเกิดออกซิเดชันค่าเพอร์ออกไซด์จะเพิ่มสูงขึ้นจนถึงจุดสูงสุดและลดต่ำลงตามลำดับ

4. การวิเคราะห์ค่าทีบาร์ส (Triobarbituric acid reactive substances, TBARS)

การวิเคราะห์ TBARS เป็นการตรวจหาปริมาณ malonaldehyde ซึ่งเป็น secondary oxidation products ที่เกิดจากการแตกตัวของ hydroperoxides ที่เป็น primary oxidation products เกิดเป็นสารทอมะหะตามธรรมชาติและเกิดมากขึ้นเมื่ออุณหภูมิสูงขึ้น (Gillant, 2001) โดยใช้เทคนิคทาง spectrophotometer โดยการสกัดน้ำมันในตัวอย่าง และนำมันดังกล่าวทำปฏิกิริยากับ 2 โมลกุลของ TBA (2-triobarbituric acid) จะทำปฏิกิริยากับหนึ่งโมลกุลของ malonaldehyde เกิดเป็นสารประกอบสีส้มที่คูณกลืนแสงในช่วงคลื่น 532 นาโนเมตร โดยรายงานในหน่วย mg. malonaldehyde/kg. sample

5. การวิเคราะห์ค่าพารา-อะนิซิดิน (p-Anisidine, p-AV)

การวิเคราะห์ค่าพารา-อะนิซิดินเป็นการตรวจหาอนุพันธ์ของอัลดีไฮด์ (aldehydes) ในรูปของ 2-alkenals และ 2,4-dienals ที่มีอยู่ในน้ำมันพืชหรือน้ำมันสัตว์ โดยการเกิดปฏิกิริยาในกรดอะซิติกของสารประกอบอัลดีไฮด์ในน้ำมันและหาค่าพารา-อะนิซิดิน โดยการวัดค่าการคูณกลืนแสงที่ความยาวคลื่น 350 นาโนเมตร (A_{350})

6. การวิเคราะห์ปริมาณสารประกอบคาร์บอนิล (Carbonyl compounds, CC)

การวิเคราะห์ปริมาณสารประกอบคาร์บอนิลเป็นการตรวจสอบหาปริมาณ saturated carbonyl และ unsaturated carbonyl โดยการทำปฏิกิริยาของน้ำมันที่สกัดจากตัวอย่างร่วมกับ 2,4-dinitrophenylhydrozine (DNP) กับ trichloroacetic acid (TCA) ที่เป็นตัวเร่งปฏิกิริยา และ potassium hydroxide เกิดเป็นสารประกอบ hydrazone สีแดง (quinoidal ion) และสามารถวัดปริมาณความเสี่ยงได้โดยการวัดค่าการคูณกลืนแสงที่ความยาวคลื่น 430 (A_{430}) และ 460 (A_{460}) นาโนเมตร

Moreno *et al.* (1998) ได้ศึกษาถึงการเกิดสารประกอบคาร์บอนิลในน้ำมันที่ใช้ทอด ความร้อนกระตุ้นให้เกิดปฏิกิริยาออกซิเดชันในน้ำมันและเกิดสารประกอบคาร์บอนิล เช่น อัลดีไฮด์ คีโโนนและไฮโคลิคในระดับสูงซึ่งเป็นอันตรายต่อสุขภาพของมนุษย์ การสีลมลายของน้ำมันเริ่มเกิดขึ้นที่อุณหภูมิ 150 องศาเซลเซียส และเมื่อน้ำมันตัวอย่างถูกให้ความร้อนที่อุณหภูมิ 300

องศาเซลเซียสนาน 40 นาที จะพบสารประกอบคาร์บอนิลในน้ำมันเมล็ดดอกทานตะวันร้อยละ 11.3 น้ำมันมะกอกมีร้อยละ 10.5 น้ำมันข้าวโพดมีร้อยละ 3.0 น้ำมันพรมะหว่างเมล็ดดอกทานตะวัน ดอกคำฝอยและเมล็ดคานาโนลา (canola seed) มีร้อยละ 6.6 และน้ำมันหมูสูงถึงร้อยละ 3.5 แสดงให้เห็นว่าการทอดที่อุณหภูมิ 200 องศาเซลเซียส ซึ่งเป็นอุณหภูมิปกติสำหรับการทอดทำให้เกิดการเสื่อมเสียของน้ำมันโดยได้สารประกอบคาร์บอนิลเกิดขึ้นในระหว่างการทอด

Johari *et al.* (2003) ได้ศึกษาถึงการเกิดปริมาณกรดไขมันอิสระในการทอดมันฟรั่งเท่งทอดกรอบ โดยใช้น้ำมัน 2 ชนิดได้แก่ ชนิดที่ 1 คือ น้ำมันเมล็ดทานตะวันและน้ำมันข้าวโพดในอัตราส่วน 90:10 และน้ำมันชนิดที่ 2 คือ น้ำมันปาล์ม โอลีвинและน้ำมันเมล็ดทานตะวันในอัตราส่วน 70:30 ทำการเติมน้ำมันใหม่ทุก ๆ 4 ชั่วโมง ทอดที่อุณหภูมิ 180 องศาเซลเซียส ได้ 14 ครั้ง ทอดนาน 156 ชั่วโมง พนว่าการทอดนาน 156 ชั่วโมงทำให้น้ำมันที่ใช้ทอดชนิดที่ 1 มีค่าปริมาณกรดอิสระเพิ่มขึ้นร้อยละ 2 ส่วนในมันฟรั่งเท่งทอดกรอบมีค่าปริมาณกรดอิสระร้อยละ 0.33 ในขณะที่น้ำมันทอดชนิดที่ 2 เพิ่มขึ้นเพียงร้อยละ 0.8 และในมันฟรั่งเท่งทอดกรอบมีค่าปริมาณกรดไขมันอิสระเพียงร้อยละ 0.28 แสดงให้เห็นว่าการทอดโดยการใช้น้ำมันปาล์ม โอลีvin เป็นส่วนผสมสามารถลดการเกิดปริมาณกรดอิสระได้ดีกว่าการใช้น้ำมันเมล็ดทานตะวันเพียงอย่างเดียว

Chamber (2000) กล่าวถึงข้อแนะนำสำหรับโรงงานอุตสาหกรรมภัตตาหารและร้านอาหารงานค่วนต่างๆ ในการตรวจสอบคุณภาพของน้ำมันที่ใช้ทอด เพื่อสรุปค่าที่ประเมินในการเสื่อมคุณภาพของน้ำมันที่ใช้ทอด ได้แก่ น้ำมันจะเกิดตะกอนและมีกรดไขมันอิสระเกินร้อยละ 5 หรือมีสารประกอบที่มีชีวเกินร้อยละ 27 หรือกรดไขมันที่ถูกออกซิไดซ์ (oxidized fatty acid) มากกว่าร้อยละ 6-8 มีกรดไขมันที่ไม่ละลายในปีโตรเลียมอีเทอร์ไดสูงกว่าร้อยละ 2 มีกลิ่นรสที่ผิดปกติหรือมีลักษณะปรากฏที่ไม่ยอมรับ เช่น มีสีคล้ำ เกิดฟองหรือมีสารคาร์บอนิลเหลืออยู่ระดับสูงและน้ำมันทอดมีจุดเกิดควันต่ำกว่า 170 องศาเซลเซียส มีกรดลิโนเลอิกไม่เกินร้อยละ 2

Pegg (2005) กล่าวถึง การตรวจวิเคราะห์ความเสื่อมเสียของไขมันและน้ำมันว่าสามารถตรวจหาปริมาณสารที่สลายตัวจากไขมันและเกิดในขั้นต้นของปฏิกิริยาคือ ปริมาณกรดไขมันอิสระ ค่าเพอร์ออกไซด์ หรือปริมาณอนุจगเกตไคอินหรืออนุจูเกตไตรอิน และสารคังก์ล่าเวจ สายตัวต่อไป ซึ่งสามารถตรวจหา secondary oxidation products คือ สารประกอบพวงคาร์บอนิล หรือตรวจหาค่า 1,2 thiobarbituric acid reactive substances (TBARS) และ Rossell (1994) กล่าวว่า secondary oxidation products ที่สามารถตรวจได้อาจเป็นค่าพารา-อะนิซิดิน (p-anisidine value)

ข้อแนะนำสำหรับการทดสอบอาหารโดยทั่วไป

การนำน้ำมันที่ผ่านการทดสอบแล้วมาใช้ใหม่ซึ่งเป็นเหตุให้น้ำมันเสื่อมสภาพและทำให้คุณภาพของอาหารด้อยลงไปนั้นได้มีการวิเคราะห์และศึกษาถึงการทำอาหารค่ากรดไขมันอิสระ (free fatty acid) การหาจุดเกิดควัน (smoke point) และการยอมน้ำมัน (oil pick up) ในการตรวจคุณภาพอาหารและน้ำมันที่ใช้ทดสอบปัจจุบันมีการศึกษาถึงการลดการเสื่อมสภาพของน้ำมันโดยควบคุมการเกิดสารตึงผิวเพื่อนำมาปรับปรุงถึงคุณภาพของน้ำมันและอาหารทดสอบ ซึ่งสามารถลดการยอมน้ำมันและการเปลี่ยนสีของน้ำมันได้ เนื่องจากสารตึงผิวเป็นตัวเร่งปฏิกิริยาการแตกตัวให้เพิ่มขึ้น (Blumenthal, 1991) ดังนั้นในทางการค้าควรจะเลิกใช้น้ำมันเก่าเมื่อน้ำมันที่ใช้แล้วเริ่มเกิดควันหรือฟองมากขึ้น หรือน้ำมันมีสีคล้ำขึ้น หรือมีกลิ่นผิดปกติ นอกจากนี้ยังมีข้อเสนอแนะสำหรับการทดสอบน้ำมันทั่ว (McGill, 1980) ดังนี้

1. เลิกใช้น้ำมันเก่าทดสอบก่อนที่จะเกิดควันและฟอง โดยใช้ oxyfrit test (เป็นการทดสอบเบื้องต้นของน้ำมันที่นำกลับมาใช้ใหม่โดยการเปรียบเทียบสีด้วยการหยด indicator ซึ่งจะทำปฏิกิริยากับสารประกอบของกรดไขมันที่ถูกออกซิเดชัน) เพื่อหาราคาที่สมควรจะเปลี่ยนน้ำมัน
2. กรองน้ำมันและถังกระยะทุกวัน
3. ควรใช้อุณหภูมิทดสอบในช่วง 160-180 องศาเซลเซียส เนื่องจากการทดสอบที่อุณหภูมิที่มากกว่า 191 องศาเซลเซียส สามารถเร่งให้เกิดปฏิกิริยาออกซิเดชันและไฮโดรไลซิส
4. ออย่าใส่เกลือหรือเครื่องเทศในอาหารขณะทดสอบ
5. ใช้น้ำมันในปริมาณที่เหมาะสมกับอาหารในอัตราส่วนระหว่างอาหารต่อน้ำมัน 1:6 ควรเติมน้ำมันก่อนให้ความร้อนและรักษาระดับน้ำมันที่ใช้ทดสอบให้คงที่
6. เมื่อเลิกใช้น้ำมันทดสอบควรลดอุณหภูมิและปิดฝามิให้น้ำมันได้รับแสงสว่าง
7. เลือกวัสดุที่ใช้ทำอุปกรณ์อุปกรณ์การทดสอบที่เหมาะสม ควรหลีกเลี่ยงอุปกรณ์ที่ทำจากเหล็ก ทองแดง สังกะสี เนื่องจากโลหะเหล่านี้มีส่วนเร่งให้เกิดปฏิกิริยาออกซิเดชันเพิ่มขึ้น
8. อาหารที่จะนำมาทดสอบควรระเหยน้ำออกก่อนหรือระเหยน้ำออกบางส่วนเพื่อป้องกันการเร่งให้เกิดปฏิกิริยาไฮโดรไลซิส

กฎหมายและข้อบังคับในประเทศต่างๆ (Firstone *et al.*, 1991) โดยทั่วไปแล้วประเทศไทยต่างๆ เช่น สาธารณรัฐอเมริกา ฝรั่งเศส เยอรมัน สเปนและกลุ่มสแกนดิเนเวียไม่มีพระราชบัญญัติและข้อบังคับเกี่ยวกับน้ำมันทดสอบ แต่มีข้อแนะนำสำหรับโรงงานอุตสาหกรรมและภัตตาคารในการใช้น้ำมันทดสอบถึงวิธีการตรวจสอบคุณภาพของน้ำมันทดสอบ โดยควรให้อัญญาติที่ก่อตัวแล้วใน Chamber (2000)

การเสื่อมเสียคุณภาพของผลิตภัณฑ์ข้าวແຕນ

ปัจจัยหลัก 2 ประการที่ทำให้เกิดความเสื่อมเสียในผลิตภัณฑ์ข้าวແຕນ ได้แก่

1. การเหม็นหืน

โดยทั่วไปอาหารว่างหรือขนมชนิดเดียวทั้งหมดจะเป็นอาหารที่มีไขมันสูงและจัดเป็นอาหารแห้ง จากการศึกษาความชื้นของจากผลิตภัณฑ์ก่อนทดสอบทำให้มีเวลาดำเนินไปทดสอบผลิตภัณฑ์ซึ่ง เกิดการพองกรองจาก การที่นำมันປะทุผ่านช่องว่างภายในชิ้นอาหาร ซึ่งมีผลต่อคุณลักษณะทางเนื้อสัมผัส แต่ผลสุดท้ายอาจข้องการเก็บรักษาผลิตภัณฑ์ซึ่งชื้นอยู่กับไขมันที่มีอยู่ในอาหารที่มีส่วนเกินปฏิกิริยาออกซิเดชันกับออกซิเจนในอากาศจนเกิดการเหม็นหืนตามมา

ไขมันในผลิตภัณฑ์เป็นปัจจัยหลักที่ทำให้ผลิตภัณฑ์เกิดการเสื่อมเสียคุณภาพจากการที่ไขมันเกิดปฏิกิริยาออกซิเดชันกับออกซิเจนในอากาศทำให้เกิดการเหม็นหืน หรือกลิ่นรสที่ไม่พึงประสงค์ จึงทำให้ผลิตภัณฑ์เกิดการเสื่อมเสียจากการที่ไขมันเสื่อมคุณภาพทำให้กลิ่นฉุนที่รุนแรงซึ่งไม่เป็นที่ยอมรับของผู้บริโภค (Robertson, 1993)

ความร่วงไวหรือความรวดเร็วในการเกิดการเหม็นหืนจากปฏิกิริยาออกซิเดชันของไขมันชื้นอยู่กับชนิดของไขมันหรือน้ำมันที่ใช้โดยเฉพาะไขมันที่มีจำนวนพันธุ์ของกรดไขมันที่ไม่อิ่มตัวมากจะเกิดปฏิกิริยาออกซิเดชันได้สูง (Hine, 1987)

2. การสูญเสียความกรอบ

คุณลักษณะที่สำคัญเด่นทางด้านลักษณะเนื้อสัมผัส คือ ความกรอบของผลิตภัณฑ์อาหารว่างซึ่งอาจสูญเสียไปเนื่องจากสามารถดูดความชื้นได้จากบรรเทาความชื้นของอาหารที่มีความชื้นเพิ่มขึ้นในเวลาต่อมา การจำกัดความชื้นซึ่งมีผลต่อคุณภาพทางคุณลักษณะทางเนื้อสัมผัสของผลิตภัณฑ์ โดยคุณลักษณะทางประสานสัมผัสที่ยอมรับได้ถ้าปริมาณความชื้นของผลิตภัณฑ์มีอยู่ในช่วง 3-3.5 เปอร์เซ็นต์ อย่างไรก็ได้การจำกัดปริมาณความชื้นที่มีประสิทธิภาพดีจะต้องอาศัยวิธีการลดความชื้นอย่างได้ผล จากตัวอย่างมันฝรั่งแผ่นทดสอบที่มีปริมาณความชื้นที่ร้อยละ 1-1.5 ซึ่งอยู่ในช่วงที่ยอมรับได้ของผู้บริโภค แต่ถ้าปริมาณความชื้นเพิ่มขึ้นเป็นร้อยละ 4-5 ผลิตภัณฑ์อาจเสื่อมต่อการเกิดการเหม็นหืน ความน่าเชื่อถือที่เห็นได้ชัดถึงสภาวะความชื้นของผลิตภัณฑ์สามารถวัดจากค่ากิจกรรมของน้ำในอาหาร (Water activity; A_w) โดยจุดควบคุมที่ต้องพิจารณาค่า A_w ของมันฝรั่งแผ่นทดสอบต้องอยู่ที่ 0.40 ซึ่งเป็นค่าเดียวกันกับข้าวโพดแผ่นทดสอบ ในส่วนของมันฝรั่งทดสอบที่มีคุณลักษณะทางประสานสัมผัสที่ไม่พึงประสงค์จะมีค่า A_w ที่ 0.51 (Katz และ Labuza, 1981)

บทที่ 3

วิธีการดำเนินการวิจัย

วัสดุอุปกรณ์

1. วัสดุที่ต้องใช้และสารเคมี

- 1.1 ข้าวเหนียวพันธุ์กอก 6
- 1.2 แตงโมพันธุ์กินรี
- 1.3 เกลือ
- 1.4 จาคำและจากา
- 1.5 น้ำมันพืชชนิดต่าง ๆ ได้แก่
 - 1.5.1 น้ำมันปาล์มจากเมล็ดปาล์มผสมน้ำมันมะพร้าวในอัตรา 2:1 (ตราผักกาดคู่)
 - 1.5.2 น้ำมันปาล์ม โอลีโอลิน (ตราดอกไม้)
- 1.6 ใบเตยสด
- 1.7 Butylated hydroxytoluene (BHT) (Fluka : Sigma-aldrich, USA)
- 1.8 Butylated hydroxyanisole (BHA) (Fluka : Sigma-aldrich, USA)
- 1.9 Tertiary butylhydroquinone (TBHQ) (Fluka : Sigma-aldrich, USA)

2. อุปกรณ์ที่ใช้ในการผลิตข้าวแทน

- 2.1 อุปกรณ์งานครัว
- 2.2 ตู้อบลมร้อนที่สามารถควบคุมอุณหภูมิได้ (Termaks: TS 7472 model, Norway)
- 2.3 ตะแกรงมุ้ง漉คบขนาด 15.5×18.5 เซนติเมตร
- 2.4 เครื่องชั่งที่ชั่งน้ำหนักได้ละเอียดถึง 0.01 กรัม (Sartorius: BP 610 model, Geramany)
- 2.5 ถุงอลูมิเนียม
- 2.6 แม่พิมพ์แผ่นพลาสติกอะคริลิกขนาดเล็ก $24.5 \times 6.5 \times 0.4$, $24.5 \times 6.5 \times 0.5$ และ $24.5 \times 6.5 \times 0.6$ เซนติเมตร ฉลุกลม 16 ช่อง โดยแต่ละช่องมีเส้นผ่าศูนย์กลาง 2.5 เซนติเมตร และ แม่พิมพ์แผ่นพลาสติกอะคริลิกขนาดใหญ่ $26 \times 11 \times 0.6$, $26 \times 11 \times 0.8$ และ $26 \times 11 \times 1.0$ เซนติเมตร ฉลุกลมจำนวน 10 ช่อง โดยแต่ละช่องมีเส้นผ่าศูนย์กลาง 4.0 เซนติเมตร

- 2.7 นาฬิกาจับเวลา
- 2.8 เทอร์โมคอปเปอร์ (Thermocouple: Yokogawa 2455 model, Japan)
- 2.9 เครื่องผนึกถุงพลาสติก (Sealer: Santo, Thailand)
- 2.10 ถุงพลาสติกไส้ชนิดหนา (Polypropylene)
- 2.11 เครื่องซั่งขนาด 1 กิโลกรัม และ 15 กิโลกรัม

3. อุปกรณ์ที่ใช้ในเคราะห์คุณภาพข้าวแทน

- 3.1 อุปกรณ์ที่ใช้ในเคราะห์คุณภาพทางด้านกายภาพ
 - 3.1.1 เวอร์เนียคลิปเปอร์ (Vernier calipers: Mitutoyo, Japan)
 - 3.1.2 เครื่องวัดสีด้วยระบบ Hunter (Tristimulus colorimeter: JC 801 model, Japan)
 - 3.1.3 เครื่องวัดแอคติวิตี้ของน้ำ (Novarsina: MIK 3000 model, Switzerland)
 - 3.1.4 เครื่องวิเคราะห์ไขมัน (Soxhlet apparatus: Soxtex system HT6 1043 Extraction Unit model, Foss Tecator Co. Ltd, Sweden)
 - 3.1.5 เครื่องวัดลักษณะเนื้อสัมผัส (Texture analyzer: TA.XT plus model, Charpentier Co. Ltd, UK)
- 3.2 อุปกรณ์ที่ใช้ในเคราะห์คุณภาพทางด้านเคมี
 - 3.2.1 เครื่องซั่งที่ซั่งน้ำหนักได้ละเอียดถึง 0.0001 กรัม (Sartorius: AC 211S model, Germany)
 - 3.2.2 กระป๋องอลูมิเนียมขนาด 45-65 มิลลิเมตร สูง 20-25 มิลลิเมตร พร้อมฝาปิด (Moisture can)
 - 3.2.3 โถดูดความชื้น (Duran vakuumfest: DN 250 model, Germany)
 - 3.2.4 เครื่องปั่น-บดอาหาร (Moulinex)
 - 3.2.5 ไมโครปิเพ็ต (Micropipette) ขนาด 0.2-1 และ 5 มิลลิลิตร
 - 3.2.6 อะลูมิเนียมฟอยล์ (Aluminum foil)
 - 3.2.7 ช้อนตักสาร
 - 3.2.8 กรวยกรองแก้ว
 - 3.2.9 ขวดสีชา ปริมาตร 5 และ 500 มิลลิลิตร
 - 3.2.10 ขวดน้ำกลั่น
 - 3.2.11 กระดาษกรองเบอร์ 1 (Whatman No. 1)

- 3.2.11 บีวารेट ขนาด 50 มิลลิลิตร
- 3.2.12 กรวยแยกขนาด 250 มิลลิลิตร
- 3.2.13 แท่งความแม่เหล็ก (Magnetic bar)
- 3.2.14 ที่วางหลอดทดลอง
- 3.2.15 หลอดทดลอง ขนาด 16×150 มิลลิเมตร
- 3.2.16 ขวดดักปริมาตร ขนาด 5 10 25 50 100 250 500 และ 1,000 มิลลิลิตร
- 3.2.17 บีกเกอร์ ขนาด 50 100 250 และ 600 มิลลิลิตร
- 3.2.18 กระบอกตวง ขนาด 50 100 และ 500 มิลลิลิตร
- 3.2.19 ขวดแก้วรูปชنمพู่ ขนาด 250 มิลลิลิตร
- 3.2.20 อ่างน้ำควบคุมอุณหภูมิ (Poly Science: Standard controller model, Australia)
- 3.2.21 ตู้ดูดความชื้นระบบอัตโนมัติ (Sanplatec: D-Box model, Japan)
- 3.2.22 ตู้แข็งเยือกแข็ง (Sanyo: SFC 992 NG model, Thailand)
- 3.2.23 ตู้เย็น (Sanyo: SR-NF 139 model, Thailand)
- 3.2.24 ตู้อบสูญญากาศ (WTB binder: VD model, Germany)
- 3.2.25 ตู้อบลมร้อน (Termaks: RS 8000 model, Norway)
- 3.2.26 เครื่องให้ความร้อนพร้อมระบบกวาน (Corning: PC-351 model, Italy)
- 3.2.27 เครื่องเขย่า (Orbital mixer: OM8 model, Australia)
- 3.2.28 เครื่องปั่นเหวี่ยง (IKA: Eurostar model, Germany)
- 3.2.29 เครื่องถังแก้วด้าวคลินเตียง (Branson: 8210 model, UK)
- 3.2.30 เครื่องวัดการดูดกลืนแสง (Perkin Elmer: Lambda 2S model, Germany)

4. สารเคมีที่ใช้ในกระบวนการคุณภาพข้าวแทน

- 4.1 เอทานอลบริสุทธิ์ (Absolute ethanol, Analytical grade, Merck, Germany)
- 4.2 แบบเรียมคลอไรด์ (Barium chloride, Analytical grade, Merck, Germany)
- 4.3 เมนซีน (Benzene, Analytical grade, VWR International Ltd., UK)
- 4.4 3,3'-bis(*N,N*-di(carboxymethyl)aminomethyl)-*o*- cresolsulfonephthalein (Xylenol orange, AR., Sigma-aldrich, Germany)
- 4.5 1-บิวตานอล (1-butanol, Analytical grade, Lab-scan, Thailand)
- 4.6 กาแฟ (Caffeine, food grade, J.T. Baker, Thailand)

- 4.7 คลอโรฟอร์ม (Chloroform, Analytical grade, Lab-scan, Thailand)
- 4.8 กรดซิตริก (Citric acid, food grade, J.T. Baker, Thailand)
- 4.9 ไดเอтиลเอเทอร์ (Diethyl ether, Analytical grade, Lab-scan, Thailand)
- 4.10 2,4-ไดไนโตรฟีนิลไฮดรაซีน (2,4-dinitrophenylhydrazine, Analytical grade, Merck, Germany)
- 4.11 เอทานอล 95% (95% ethanol, Commercial grade, O.V. chemical and supply Co. Ltd, Thailand)
- 4.12 กรดอะซิติกเข้มข้น (Glacial acetic acid, Analytical grade, Merck, Germany)
- 4.13 เฮกแซน (Hexane, Analytical grade, J.T.Baker Chemical Co., USA)
- 4.14 ไฮโดร Peroxide 30% (30% Hydrogen peroxides, Analytical grade, Merck, Germany)
- 4.15 กรดไฮド록ลอริก (Hydrochloric acid, Analytical grade, Merck, Germany)
- 4.16 เฟอร์ริก (III) คลอไรด์ (Iron (III) chloride, Analytical grade, Fisher scientific, UK)
- 4.17 เฟอร์รัส (II) ซัลเฟต (Iron (II) sulfate, Analytical grade, Fisher scientific, UK)
- 4.18 เมthanol (Methanol, Analytical grade, J.T. Baker Chemical Co., USA)
- 4.19 พารา-อะนิซิดิน (p-anisidine, Analytical grade, Fluka : Sigma-aldrich, USA)
- 4.20 ฟีโนลฟ์ฟลัลีน (Phenolphthalein, Analytical grade, Lab-scan, Thailand)
- 4.21 โพแทสเซียมไฮโดรเจนพชาเดต (Potassium hydrogenphthalate, Analytical grade, Merck, Germany)
- 4.22 โพแทสเซียมไฮดรอกไซด์ (Potassium hydroxide, Analytical grade, Merck, Germany)
- 4.23 โซเดียมคลอไรด์ (Sodium chloride, Analytical grade, Merck, Germany)
- 4.24 โซเดียมไฮดรอกไซด์ (Sodium hydroxide, Analytical grade, Lab-scan, Thailand)
- 4.25 โซเดียมซัลเฟต แอนไฮดรัส (Sodium sulphate anhydrous, Analytical grade, Merck, Germany)
- 4.26 กรดไตรคลอโรอะซิติก (Trichloroacetic acid (TCA), Analytical grade, Merck, Germany)
- 4.27 1,1,3,3-เตตระเมธอโรกซิฟอร์เพน (1,1,3,3-tetramethoxypropane (TMP), Analytical grade, Sigma-aldrich, USA)
- 4.28 2,2,4-ไตรเมทิลเพนเทน (2,2,4-trimethylpentane (iso-octane), Analytical grade, Asia Pacific Specially Chemical Ltd., Australia)

4.29 2-ไธโอบาร์บิทูริก (2-thiobarbituric acid (TBA), Analytical grade, Fluka: Sigma-aldrich, Germany)

5. อุปกรณ์ที่ใช้ในการวิเคราะห์คุณภาพทางประสาทสัมผัส

5.1 อุปกรณ์ทดสอบ (ถาดพลาสติก ฉลากติดรหัส ถัวน้ำจิ้น แก้วน้ำ)

5.2 แบบสอบถาม

6. การวิเคราะห์ทางสถิติ

ทำการวิเคราะห์ข้อมูลทางสถิติด้วยการวิเคราะห์ความแปรปรวน โดยใช้โปรแกรมสำเร็จรูป SPSS Version 11.0 for Windows และเปรียบเทียบค่าเฉลี่ยด้วยวิธี New Duncan's Multiple Range Test (DMRT) ที่ระดับความเชื่อมั่นร้อยละ 95

วิธีการ

1. การศึกษาคุณภาพของแม่พิมพ์แผ่นพลาสติกอะคริลิคเมื่อเทียบกับแม่พิมพ์ของกลุ่มแม่บ้าน

ทำการศึกษาคุณภาพของแม่พิมพ์แผ่นพลาสติกอะคริลิคที่ใช้ในการขึ้นรูปข้าวแทน เปรียบเทียบกับแม่พิมพ์เดิมของกลุ่มแม่บ้าน ดังนี้

1.1 การเตรียมข้าวเพื่อการขึ้นรูป

นำข้าวสารเหงี่ยวน้ำเป็นเวลาอย่างน้อย 8-12 ชั่วโมง แล้วเทข้าวลงบนผ้าขาวบางที่กรุน้ำในรังสีอย่างน้อย 45-60 นาที นำข้าวที่นึ่งสุกมาคลุกเคล้าด้วยน้ำแตงโม เกลือ ฯลฯ และจะดำเนินการใช้ข้าวสุก:น้ำแตงโม:ชา:เกลือ ในสัดส่วน 195:45:10:1 (น้ำแตงโมที่ได้มาจากแตงโมที่ถูกหันให้เป็นชิ้นเล็ก ๆ ผ่านการปั่นและกรองด้วยผ้าขาวบาง)

1.2 วิธีการขึ้นรูป

นำข้าวที่คลุกเสร็จแล้วมาขึ้นรูปด้วยการวางลงบนแม่พิมพ์วงกลม เกลี่ยข้าวให้เต็มช่องและกดให้เรียบ นำข้าวที่ได้ถอดออกจากพิมพ์แล้ววางบนถาดสำหรับใช้อบ นำมาอบแห้งที่อุณหภูมิทั้ง 3 ระดับ ได้แก่ 60 65 และ 70 องศาเซลเซียส โดยให้เหลือความชื้นหลังการอบแห้ง 3 ระดับ ได้แก่ ร้อยละ 5 10 และ 15

1.3 การศึกษาประสิทธิภาพกระบวนการขึ้นรูปข้าวแต่น

โดยการทดลองออกแบบแม่พิมพ์ในการขึ้นรูปข้าวแต่นด้วยการใช้แผ่นพลาสติกอะคริลิค 2 ขนาด ได้แก่ ขนาด 24.5×6.5 เซนติเมตร แม่พิมพ์ขนาดเล็กจะเป็นช่องกลม 16 ช่อง โดยแต่ละช่องมีเส้นผ่าศูนย์กลาง 2.5 เซนติเมตร ซึ่งมีความหนา (ความสูงของแม่พิมพ์) แตกต่างกัน 3 ระดับ คือ 0.4 , 0.5 และ 0.6 เซนติเมตร สามารถขึ้นรูปข้าวแต่นได้ครั้งละ 16 ชิ้น และแม่พิมพ์ขนาดใหญ่ ขนาด 26×11 เซนติเมตร จะเป็นช่องกลมจำนวน 10 ช่อง โดยแต่ละช่องมีเส้นผ่าศูนย์กลาง 4 เซนติเมตร ซึ่งมีความหนาแตกต่างกัน 3 ระดับคือ 0.6, 0.8 และ 1 เซนติเมตร ขึ้นรูปข้าวแต่นได้ครั้งละ 10 ชิ้น เปรียบเทียบกับแม่พิมพ์ของแม่บ้านที่ทำจากแผ่นสังกะสีคงให้เป็นวงที่มี 2 ขนาด คือ แม่พิมพ์ขนาดใหญ่ที่มีความสูง 1.0 เซนติเมตร เส้นผ่าศูนย์กลางขนาด 4.0 เซนติเมตร และ แม่พิมพ์ขนาดเล็กที่มีความสูง 0.5 เซนติเมตร เส้นผ่าศูนย์กลางขนาด 2.5 เซนติเมตร จากการพัฒนาด้วยชีอกในลอนเพื่อทดสอบความคงของแผ่นสังกะสี โดยสามารถผลิตได้ทีละชิ้น นำแม่พิมพ์ที่ได้ออกแบบมาให้แม่บ้านขึ้นรูปข้าวแต่นเพื่อเปรียบเทียบกับแม่พิมพ์ของแม่บ้านและทำการตรวจสอบคุณภาพห้องทางด้านการขึ้นรูปข้าวแต่นเป็นกและทางกายภาพภายหลังการทดสอบข้าวแต่น ดังต่อไปนี้

1.3.1 อัตราเร็วในการผลิต

ในส่วนของอัตราเร็วในการผลิตจะทำการจับเวลาในการขึ้นรูปข้าวแต่นโดยจับเวลาตั้งแต่นำข้าวแต่นมากดลงพิมพ์จนสำเร็จออกมานเป็นแผ่นวงกลมของแม่พิมพ์แต่ละขนาด จำนวน 3 ชิ้น แล้วคำนวนหาเวลาเฉลี่ยที่ใช้ในการขึ้นรูปเป็นจำนวนชิ้นของการผลิตข้าวแต่นต่อชั่วโมง

1.3.2 ปริมาณข้าวแทนที่คงรูปเมื่อถอดออกจากการพิมพ์ของข้าวแทน

ทำการทดสอบปริมาณข้าวแทนที่คงรูปเมื่อถอดออกออกจากแม่พิมพ์โดยนับจำนวนข้าวแทนเป็นชิ้นที่ไม่มีรอยแห่งใน 1 รอบของการขึ้นรูป จำนวน 3 ชิ้น แล้วคำนวณเป็นร้อยละของจำนวนชิ้นทั้งหมด

1.4 การตรวจสอบคุณภาพภายหลังการหด

1.4.1 ปริมาณการแตกหักหลังหด

ทำการนับจำนวนชิ้นที่แตกหักภายหลังการหด โดยดูจากการแตกหักร้อยละ 25 เมื่อเทียบกับชิ้นที่สมบูรณ์ (ร้อยละ 100) ในแต่ละรอบของการหด โดยเลือกตัวอย่างข้าวแทน้างที่มีลักษณะสมบูรณ์ของวงกลมและไม่มีรอยแห่งก่อนการหด

1.4.2 ปริมาตรที่ขยายภายหลังการหดข้าวแทน

วัดปริมาตรหักก่อนและหลังการหด โดยการใช้เวอร์เนียคลิปเบล เพื่อวัดความสูงและเส้นผ่าศูนย์กลางของข้าวแทน้าง แล้วนำมาคำนวณหาปริมาตรของข้าวแทน แล้วหารร้อยละการขยายปริมาตรจากสูตร

$$\text{การขยายปริมาตร} = \frac{\text{ปริมาตรหลังการหด} - \text{ปริมาตรก่อนหด}}{\text{ปริมาตรก่อนหด}} \times 100$$

1.4.3 จำนวนชิ้นข้าวแทนที่พอคืบสำหรับการบรรจุ

ทำการนับจำนวนชิ้นที่พอคืบกับขนาดถุงที่เคยใช้ในการบรรจุ ได้แก่ ข้าวแทนแผ่นเล็กสำหรับบรรจุถุงขนาด 8×12 นิ้ว และข้าวแทนแผ่นใหญ่สำหรับบรรจุถุงขนาด 8.75×6 นิ้ว

1.5 นำข้อมูลที่ได้จากข้อ 1.3.1-1.3.2 และ 1.4.1-1.4.3 มาวิเคราะห์ข้อมูลทางสถิติด้วยการวิเคราะห์ความแปรปรวนทางสถิติ (F-test) โดยวางแผนการทดลองแบบสุ่มตัดอุด (Completely Randomized Design, CRD) ทดลองแต่ละสิ่งทดลองจำนวน 3 ชั้้ และเปรียบเทียบค่าเฉลี่ยด้วยวิธี DMRT ที่ระดับความเชื่อมั่นร้อยละ 95

2. การศึกษาปริมาณความชื้นของข้าวแทนแห้งของกลุ่มแม่บ้าน

ทำการศึกษาปริมาณความชื้นของข้าวแทนแห้งของกลุ่มแม่บ้านที่ใช้วิธีทำแห้งโดยการผึ่งแดด โดยใช้ตัวอย่างข้าวแทนแห้งจำนวน 30 ตัวอย่าง ซึ่งผลิตในเดือนเมษายน-พฤษจิกายน ปี 2547 เพื่อใช้กำหนดความชื้นที่เหลือหลังการอบแห้งโดยใช้ตู้อบลมร้อนแทนการผึ่งแดด

2.1 การวิเคราะห์คุณภาพของข้าวแทนแห้งก่อนทดสอบ

2.1.1 ปริมาณความชื้น โดยใช้ตัวอย่างจำนวน 2 กรัม อบที่อุณหภูมิ 130 องศาเซลเซียส ประมาณ 1 ชั่วโมง (AOAC, 2000)

2.1.2 ค่าแอคติวิตี้ของน้ำ โดยใช้เครื่อง Thermoconstanter (Novasina, Swizerland) ที่อุณหภูมิ 25 องศาเซลเซียส โดยทำการปรับเทียบเครื่องมือก่อนการวัดด้วยสารละลายเกลือมาตรฐาน คือ SAL-90, SAL-75, SAL-53, SAL-11

2.2 จัดแบ่งความชื้นของข้าวแทนเป็นช่วง ๆ เพื่อศึกษาในหัวข้อต่อไป

3. การศึกษาระหว่างการทำแห้งข้าวแทนโดยใช้ตู้อบลมร้อน

ข้าวแทนที่ผ่านการขึ้นรูปแล้วจะถูกนำมาอบแห้งด้วยตู้อบลมร้อน แล้วจึงทำการศึกษาดังต่อไปนี้ คือ

3.1 การหาอัตราการทำแห้งข้าวแทนด้วยตู้อบลมร้อน

นำข้าวแทนที่ขึ้นรูปแล้วที่มีเส้นผ่าศูนย์กลางขนาด 4 เซนติเมตร หนา 0.8 เซนติเมตร จำนวน 4 ชิ้น ที่ทราบความชื้นเริ่มต้นแล้ววางบนตะกรงมุ้ง漉ค นำไปอบแห้งด้วยตู้อบลมร้อนโดยใช้อุณหภูมิในการอบแห้ง 3 ระดับ คือ 60, 65 และ 70 องศาเซลเซียส โดยใน 5 ชั่วโมงแรกชั่งนำหนักทุก ๆ 30 นาที และตรวจหาค่าแอคติวิตี้ของน้ำในตัวอย่าง จากนั้นชั่งน้ำหนักและหา

ค่าแอกติวิตี้ของน้ำในตัวอย่างทุก ๆ 2 ชั่วโมงจนได้นำหนักคงที่ คำนวณหาปริมาณความชื้นแล้วทำการเขียนกราฟ โดยให้ปริมาณความชื้นอยู่บนแกน y และเวลาในการอบแห้งมีหน่วยเป็นชั่วโมงอยู่แกน x

3.1.1 วิเคราะห์หาปริมาณความชื้น (AOAC, 2000)

3.1.2 ค่าแอกติวิตี้ของน้ำ

3.1.2 นำข้อมูลที่ได้มาวิเคราะห์หาค่าเฉลี่ย

3.2 การศึกษาอุณหภูมิในการอบแห้งและปริมาณความชื้นที่มีผลต่อคุณภาพข้าวแทนที่ผ่านการทอด

อบแห้งข้าวแทนที่มีเส้นผ่าศูนย์กลางขนาด 4 เซนติเมตร หนา 0.8 เซนติเมตร ที่อุณหภูมิ 60 65 และ 70 องศาเซลเซียส จนเหลือปริมาณความชื้นร้อยละ 5 10 และ 15 นำข้าวแทนแห้งที่เหลือระดับความชื้นทั้ง 3 ระดับ ที่ผ่านการอบแห้งด้วยตู้อบลมร้อนทั้ง 3 อุณหภูมิมาทดสอบ โดยทำการอุ่นกระทะให้ร้อนพร้อมทั้งเติมน้ำมันในอัตราส่วน 1.200 มิลลิลิตร ต่อ ข้าวแทนแห้ง 225 กรัม (ประมาณ 45 ชั่วโมง) ทำการทดสอบที่อุณหภูมิ 200 องศาเซลเซียส เป็นเวลา 45 วินาที และทดสอบต่อเนื่องกันเป็นเวลา 2 ชั่วโมง โดยใช้น้ำมันเมล็ดปาล์มผสมร่วมกับน้ำมันมะพร้าวในสัดส่วน 2:1 ตั้งไฟจนน้ำมันร้อนพร้อมตรวจสอบอุณหภูมิด้วยเทอร์โมคอปเปอร์ เมื่อได้อุณหภูมิที่ต้องการจึงทำการทดสอบ โดยกดข้าวแทนแห้งให้เข้มน้ำมันพร้อมทั้งจับเวลาในการทดสอบตั้งแต่ลงสู่กระทะจนถึงตักขึ้นจากนั้นทำการสะเด็จน้ำมันนาน 8-10 วินาที แล้วนำมาวางบนกระดาษซับมันนาน 15 นาที ทำการตรวจสอบคุณภาพทางค้านต่าง ๆ ดังต่อไปนี้

3.2.1 การวิเคราะห์คุณภาพทางกายภาพของข้าวแทนหลังทดสอบ

3.2.1.1 ค่าสีด้วยระบบ CIE โดยใช้เครื่อง Tristimulus colorimeter

โดยปรับเทียบเครื่องมือก่อนการวัดด้วยแผ่นมาตรฐานสีดำและสีขาว

3.2.1.2 ค่าความแข็ง โดยใช้เครื่อง Texture analyzer ดังวิธีทำในภาคผนวก ก

3.2.1.3 การขยายปริมาตร โดยใช้ Vernier Calipers

3.2.1.4 ค่าจำนวนชิ้นที่แตกหัก

3.2.1.5 ค่าปริมาณการคุณซับน้ำมันโดยใช้ชีวิช Soxtec (ดัดแปลงจาก AOAC, 2000) ดังแสดงในภาคผนวก ก

- 3.2.2 การวิเคราะห์การเปลี่ยนแปลงคุณภาพทางเคมีของน้ำมันที่ใช้ทอด
- 3.2.2.1 ปริมาณกรดไขมันอิสระ (Free fatty acid) (AOCS, 1998)
 - 3.2.2.2 ค่าคอนจูเกตไดอีน (Conjugated dienes) (AOCS, 1998)
 - 3.2.2.3 ค่าเพอร์ออกไซด์ (Peroxide value) (Pegg, 2005)
 - 3.2.2.4 ค่าทีบาร์ส (Thiobarbituric acid reactive substances: TBARS) (Pegg, 2005)
 - 3.2.2.5 ค่าพารา-อะนิซิดีน (p-Anisidine) (AOCS, 1998)
 - 3.2.2.6 ค่าสารประกอบคาร์บอนิล (Carbonyl compounds) (Pegg, 2005)
- 3.2.3 นำข้อมูลที่ได้จากข้อ 3.2.1 และ 3.2.2 มาวิเคราะห์ข้อมูลทางสถิติด้วยการวิเคราะห์ความแปรปรวนทางสถิติ (F-test) โดยวางแผนการทดลองแบบ 3×3 factorial in completely randomized design ทดลองแต่ละสิ่งทดลองจำนวน 2 ชั้้า และเปรียบเทียบค่าเฉลี่ยด้วยวิธี DMRT ที่ระดับความเชื่อมั่นร้อยละ 95 ปัจจัยในการทดลองมีดังนี้
- ปัจจัยที่ 1 อุณหภูมิในการอบแห้ง (T) ประกอบด้วยอุณหภูมิในการอบแห้ง 3 ระดับได้แก่
- T_1 หมายถึง อุณหภูมิในการอบแห้งที่ 60 องศาเซลเซียส
 - T_2 หมายถึง อุณหภูมิในการอบแห้งที่ 65 องศาเซลเซียส
 - T_3 หมายถึง อุณหภูมิในการอบแห้งที่ 70 องศาเซลเซียส
- ปัจจัยที่ 2 ปริมาณความชื้นสุดท้ายที่เหลือภายหลังการอบแห้ง (M) ประกอบด้วยปริมาณความชื้น 3 ระดับ ได้แก่
- M_1 หมายถึง ปริมาณความชื้นร้อยละ 15
 - M_2 หมายถึง ปริมาณความชื้นร้อยละ 10
 - M_3 หมายถึง ปริมาณความชื้นร้อยละ 5

4. การศึกษานิodicของน้ำมันที่ใช้ในการทอด เวลาและอุณหภูมิในการทอดที่มีผลต่อข้าวแทน

ทำการศึกษาคุณภาพของข้าวแทนที่มีเส้นผ่าศูนย์กลางขนาด 4 เซนติเมตร หนา 0.8 เซนติเมตร โดยใช้ข้าวแทนแห้งที่ได้จากการอบแห้งด้วยตู้อบลมร้อนที่อุณหภูมิในการอบแห้งและเหลือความชื้นสุดท้ายที่เหมาะสมตามการทดลองในข้อ 3 และใช้ข้าวแทนที่ได้จากการจากการผึ้งแครคโดยวิธีของกลุ่มแม่บ้านทดลองควบคู่ เพื่อเป็นตัวอย่างควบคุมในกรณีหากจะใช้น้ำมันปาล์มโอเลอินและทอดในน้ำมันพสมโดยใช้อุณหภูมิ 200 องศาเซลเซียส เป็นเวลานาน 45 วินาที (ซึ่งเป็น

อุณหภูมิและเวลาในการทดสอบเดิมของกลุ่มแม่บ้าน) จะมีผลต่อคุณภาพข้าวแทนหลังทดสอบและคุณภาพน้ำมันหลังทดสอบ ทำการทดสอบโดยใช้น้ำมันต่างกัน 2 ชนิด คือ น้ำมันปาล์มจากเมล็ดปาล์ม ผสมร่วมกับน้ำมันมะพร้าว และน้ำมันปาล์มโอลีฟ

จากนั้นทำการทดสอบโดยใช้น้ำมันในอัตราส่วน 1,200 มิลลิลิตร ต่อ ข้าวแทนแห้ง 225 กรัม (ประมาณ 45 ช้อน) ทดสอบที่อุณหภูมิ 200 210 และ 220 องศาเซลเซียส เป็นเวลา 30 40 และ 50 วินาที โดยตั้งไฟให้น้ำมันในกระทะได้อุณหภูมิที่ต้องการ ซึ่งตรวจสอบได้ด้วยเทอร์โมคอปเปอร์จิ้งทำการทดสอบโดยกดข้าวแทนแห้งให้เข้มน้ำมันพรมลงทั้งข้าวแทนในการทดสอบตั้งแต่ลงสู่กระทะจนถึงตักขึ้น และทำการสะเด็จน้ำมันด้วยกระชอนนาน 8-10 วินาที แล้วนำมาวางบนกระดาษซับน้ำมันนาน 15 นาที บรรจุ

หลังกระบวนการทดสอบเก็บผลิตภัณฑ์ข้าวแทนในถุงพลาสติกไสชนิดหนา (PP) ปิดผนึกถุงด้วยความร้อนและเก็บในตู้เย็นแห้งที่อุณหภูมิห้อง โดยเก็บที่อุณหภูมิห้อง และเก็บน้ำมันภายหลังการทดสอบแต่ละอย่างที่ไว้ให้เข็น ใช้กระชอนตาถี่ ๆ เก็บเศษข้าวแทนที่หลุดออกเป็นชิ้น ๆ จากนั้นเก็บน้ำมันลงในขวดสีชาและทำการพ่นก๊าซในไตรเจนแล้วจึงปิดฝาให้สนิท เก็บไว้ในตู้แช่เยือกแข็งที่อุณหภูมิ -20 องศาเซลเซียส และเก็บน้ำมันไม่เกิน 2 สัปดาห์ ก่อนนำมาวิเคราะห์คุณภาพ

4.1 การวิเคราะห์ทางกายภาพของข้าวแทนหลังทดสอบ

4.1.1 ค่าสี

4.1.2 ค่าความแข็ง

4.1.3 การขยายปริมาตร

4.1.4 ค่าจำนวนชิ้นที่แตกหัก

4.1.5 ค่าปริมาณการคุณซับน้ำมัน

4.2 การวิเคราะห์การเปลี่ยนแปลงคุณภาพทางเคมีของน้ำมันที่ใช้ทดสอบ

4.2.1 ปริมาณกรดไขมันอิสระ

4.2.2 ค่าค่อนขุนทดไดอีน

4.2.3 ค่าเพอร์ออกไซด์

4.2.4 ค่าทีบาร์ส

4.2.5 ค่าพารา-อะนิชีดิน

4.3 นำข้อมูลที่ได้จากข้อ 4.1 และ 4.2 มาวิเคราะห์ข้อมูลทางสถิติด้วยการวิเคราะห์ความแปรปรวนทางสถิติ (F-test) โดยวางแผนการทดลองแบบ $2 \times 3 \times 3$ factorial in completely randomized design + control ทดลองแต่ละสิ่งทดลองจำนวน 2 ชั้น และเปรียบเทียบค่าเฉลี่ยด้วยวิธี DMRT ที่ระดับความเชื่อมั่นร้อยละ 95

ปัจจัยในการทดสอบมีดังนี้

ปัจจัยที่ 1 ชนิดของน้ำมันที่ใช้ทดสอบ (O) ประกอบด้วยน้ำมัน 2 ชนิด ได้แก่
 O_1 หมายถึง น้ำมันพาราфинหัวง้นน้ำมันปาล์มจากเมล็ดปาล์มและน้ำมันมะพร้าว
 O_2 หมายถึง น้ำมันปาล์มโอลิอิน

ปัจจัยที่ 2 อุณหภูมิในการทดสอบ (T) ประกอบด้วยอุณหภูมิ 3 ระดับ ได้แก่
 T_1 หมายถึง อุณหภูมิความคุณใน การทดสอบที่ 200 องศาเซลเซียส
(อุณหภูมิในการทดสอบข้าวแทนของกลุ่มแม่บ้าน)

T_2 หมายถึง อุณหภูมิในการทดสอบที่ 200 องศาเซลเซียส
 T_3 หมายถึง อุณหภูมิในการทดสอบที่ 210 องศาเซลเซียส
 T_4 หมายถึง อุณหภูมิในการทดสอบที่ 220 องศาเซลเซียส

ปัจจัยที่ 3 เวลาในการทดสอบ (t) ประกอบด้วยเวลา 3 ระดับ ได้แก่
 t_1 หมายถึง เวลาความคุณในการทดสอบที่ 45 วินาที
(เวลาในการทดสอบข้าวแทนของกลุ่มแม่บ้าน)

t_2 หมายถึง เวลาในการทดสอบที่ 30 วินาที
 t_3 หมายถึง เวลาในการทดสอบที่ 40 วินาที
 t_4 หมายถึง เวลาในการทดสอบที่ 50 วินาที

5. การศึกษานิodicของสารต้านออกซิเดชันที่ใช้ในกระบวนการทดสอบที่มีผลต่ออายุการเก็บรักษาข้าวแทนในช่วงระยะเวลาต่างๆ

5.1 ใช้ข้าวแทนที่มีเส้นผ่าศูนย์กลางขนาด 4 เซนติเมตร หนา 0.8 เซนติเมตร ที่ผ่านการอบแห้งด้วยตู้อบลมร้อนที่อุณหภูมิและปริมาณความชื้นที่เหมาะสม ซึ่งได้จากการทดสอบในข้อ 3

5.2 เลือกชนิดของน้ำมันที่ใช้ทดสอบ อุณหภูมิและเวลาในการทดสอบที่ดีที่สุดที่ได้จากการทดสอบในข้อ 4 โดยการใช้สารต้านออกซิเดชัน 3 ชนิด ได้แก่ BHA ผสมรวมกับ BHT อัตราละ 100 มิลลิกรัม/กิโลกรัม สาร TBHQ ปริมาณ 200 มิลลิกรัม/กิโลกรัม และสารจากธรรมชาติ คือ ในเตยปริมาณ 20 กรัม/น้ำมัน 6 ลิตร โดยสัดส่วนของสารต้านออกซิเดชันนี้ ได้ทำการผสมร่วมกับน้ำมันที่ใช้ทดสอบด้วยการคนให้เข้ากันเป็นเนื้อเดียว ส่วนสัดส่วนของสารต้านออกซิเดชันที่ใช้ทดสอบในเตยในน้ำมันที่ใช้ทดสอบให้กรอบก่อนจึงทำการทดสอบข้าวแทนในลำดับต่อไป ในอัตราส่วนของน้ำมัน 1,200 มิลลิลิตร ต่อ ข้าวแทนแห้ง 225 กรัม (ปริมาณ 45 ชั่วโมง)

5.3 การวิเคราะห์คุณภาพภายหลังการทดสอบ

5.3.1 คุณภาพทางกายภาพของข้าวแทนหลังทดสอบ

5.3.1.1 ค่าสีด้วยตา

5.3.1.2 ค่าความแข็ง

5.3.1.3 การขยายปริมาตร

5.3.1.4 ค่าจำนวนชิ้นที่แตกหัก

5.3.1.5 ค่าปริมาณการคุณภาพขั้นนำมัน

5.3.2 การวิเคราะห์การเปลี่ยนแปลงคุณภาพทางเคมีของน้ำมันที่ใช้ทดสอบ

5.3.2.1 ปริมาณกรดไขมันอิสระ

5.3.2.2 ค่าค่อนขูเกตไอดีน

5.3.2.3 ค่าเพอร์ออกไซด์

5.3.2.4 ค่าทีบาร์ส

5.3.2.5 ค่าพารา-อะนิซิดิน

5.3.2.6 ค่าสารประกอบคาร์บอนอลิล

5.4 การวิเคราะห์คุณภาพของข้าวแทนภายหลังการเก็บรักษา โดยตรวจสอบคุณภาพทุก ๆ 15 วัน เป็นเวลา 3 เดือน ประกอบด้วย

5.4.1 คุณภาพทางกายภาพของข้าวแทนภายหลังการเก็บรักษาในช่วงระยะเวลาต่าง ๆ

5.4.1.1 ค่าความแข็ง

5.4.1.2 ค่าแอคติวิตี้ของน้ำมัน

5.4.2 คุณภาพทางเคมีของน้ำมันที่ได้จากการสกัดน้ำมันจากข้าวแทนที่เก็บรักษาในช่วงระยะเวลาต่าง ๆ

5.4.2.1 การสกัดน้ำมันจากข้าวแทน (ดัดแปลงจาก Rafecas *et al.*, 1998)

นำตัวอย่างข้าวแทนที่ทดสอบในน้ำมันที่เติมสารต้านออกซิเดชันชนิดต่าง ๆ ภายหลังการเก็บรักษาข้าวแทนในช่วงระยะเวลาสามารถสกัดน้ำมันออกจากตัวอย่างวิเคราะห์หาค่าทางเคมีต่าง ๆ ต่อไปนี้ ต่อไปนี้

5.4.2.2 ปริมาณกรดไขมันอิสระ

5.4.2.3 ค่าค่อนขูเกตไอดีน

5.4.2.4 ค่าเพอร์ออกไซด์

5.4.2.5 ค่าทีบาร์ส

5.4.2.6 ค่าพารา-อะนิชีดิน

5.4.2.7 ค่าสารประกอบการรื้บอนิล

5.4.3 การวิเคราะห์คุณลักษณะทางประสานสัมผัสของข้าวแทนภายหลังการเก็บรักษาในช่วงระยะเวลาต่าง ๆ

ทำการประเมินคุณภาพทางประสานสัมผัสด้วยวิธี Quantitative Descriptive Analysis (QDA) ซึ่งพัฒนาจากวิธี Texture Profile การทดสอบในเชิงพรรณนาโดยประมาณนี้ วิธีการแรกต้องทำการคัดเลือกผู้ทดสอบจำนวน 25 คน และทำการฝึกฝนและคัดเลือกให้เหลือ 10 คน ดังวิธีการคัดเลือกในภาคผนวก ค เมื่อทำการเลือกและฝึกฝนผู้ทดสอบแล้ว ผู้ทดสอบจะต้องเขียนคำที่คิดว่าสุดในการอธิบายลักษณะปรากวูของผลิตภัณฑ์ตามแนวความคิดของตนที่มีต่อผลิตภัณฑ์ เช่น ลักษณะปรากวูและกลิ่นของผลิตภัณฑ์ การทำงานช่วงนี้ผู้ทดสอบซึ่งจะต้องทำงานเป็นกลุ่ม ทำการปรึกษาหรือวิเคราะห์ วิจารณ์ลักษณะต่าง ๆ ของผลิตภัณฑ์ จากนั้นกำหนดคำอธิบายลักษณะของผลิตภัณฑ์ ทำการทดสอบ และสรุปผลการทดสอบร่วมกันทั้งกลุ่มที่มีต่อความหมายและความเข้มของผลิตภัณฑ์ที่ทำการทดสอบ ในช่วงนี้ค่าความเข้มของสเกลที่ทำการทดสอบจะถูกกำหนดขึ้น คุณลักษณะในการทดสอบทางประสานสัมผัส ได้แก่ การพองตัวของเม็ดข้าว สีและความสว่าง ความกรอบ กลิ่นหืน กลิ่นรสของผลิตภัณฑ์ โดยใช้ผู้ทดสอบที่ผ่านการฝึกฝนจำนวน 10 คน จากนั้นเป็นการทดสอบผลิตภัณฑ์จริงซึ่งผู้ทดสอบจะต้องทำการทดสอบแยกออกจากกลุ่มแบบที่ใช้การทดสอบมีลักษณะเป็นเส้นตรง (Line scale) ที่มีความยาว 6 นิ้ว หรือ 15 เซนติเมตร ที่มีการกำหนดความเข้มและอ่อนของแต่ละนิยามของผลิตภัณฑ์ที่ใช้ในการทดสอบ (Stone and Slide, 1993) ทำการประเมินผลิตภัณฑ์ข้าวแทนทุก ๆ 15 วัน เป็นเวลา 90 วัน

5.5 นำข้อมูลที่ได้จากข้อ 5.3.1-5.3.2 มาวิเคราะห์ข้อมูลทางสถิติด้วยการวิเคราะห์ความแปรปรวนทางสถิติ (F-test) โดยวางแผนการทดสอบแบบ completely randomized design ทดลองแต่ละสิ่งทดสอบจำนวน 3 ชั้้า และเปรียบเทียบค่าเฉลี่ยด้วยวิธี DMRT ที่ระดับความเชื่อมั่นร้อยละ 95 ส่วนข้อมูลที่ได้จากข้อ 5.4 นำมาวิเคราะห์ข้อมูลทางสถิติด้วยการวิเคราะห์ความแปรปรวนทางสถิติ (F-test) โดยวางแผนการทดลองแบบ 4×7 factorial in completely randomized design ทดลองแต่ละสิ่งทดสอบจำนวน 3 ชั้้า และเปรียบเทียบค่าเฉลี่ยด้วยวิธี DMRT ที่ระดับความเชื่อมั่นร้อยละ 95

ปัจจัยในการทดลองมีดังนี้

ปัจจัยที่ 1 ชนิดของสารกันหืนที่ใช้ (A) ประกอบด้วยสารกันหืน 4 ชนิด ได้แก่

A₁ หมายถึง การไม่ใช้สารกันหืน (ชุดควบคุม)

A₂ หมายถึง การเติมสาร BHA ผสมรวมกับ BHT

A₃ หมายถึง การเติมสาร TBHQ

A₄ หมายถึง การเติมสารจากธรรมชาติ (ใบเตย)

ปัจจัยที่ 2 ระยะเวลาเก็บรักษา (T) ประกอบด้วยระยะเวลาเก็บรักษา 7 ระยะ ได้แก่

T₁ หมายถึง ระยะเวลาเก็บรักษา 0 สัปดาห์

T₂ หมายถึง ระยะเวลาเก็บรักษา 2 สัปดาห์

T₃ หมายถึง ระยะเวลาเก็บรักษา 4 สัปดาห์

T₄ หมายถึง ระยะเวลาเก็บรักษา 6 สัปดาห์

T₅ หมายถึง ระยะเวลาเก็บรักษา 8 สัปดาห์

T₆ หมายถึง ระยะเวลาเก็บรักษา 10 สัปดาห์

T₇ หมายถึง ระยะเวลาเก็บรักษา 12 สัปดาห์

6. สถานที่ทำการวิจัย

1. ห้องปฏิบัติการ ภาควิชาเทคโนโลยีทางอาหาร คณะวิศวกรรมและอุตสาหกรรมเกษตร
มหาวิทยาลัยแม่โจ้

2. แหล่งผลิตผลิตภัณฑ์ข้าวแต่น้ำแข็ง โน้มของถุ่มแม่บ้านเกษตรกรสันทรายหลวง ตำบล
สันทรายหลวง อําเภอสันทราย จังหวัดเชียงใหม่

7. ระยะเวลาการทำการวิจัย

เริ่มตั้งแต่เดือนพฤษภาคม 2547 ถึงสิงหาคม 2549

บทที่ 4

ผลการวิจัยและวิจารณ์

1. การศึกษาคุณภาพของแม่พิมพ์แผ่นพลาสติกอะคริลิกเมื่อเทียบกับแม่พิมพ์ของกลุ่มแม่บ้าน

1.1 ประสิทธิภาพในการขึ้นรูป

ประสิทธิภาพในการขึ้นรูปวัสดุจากเวลาที่ใช้ในการขึ้นรูปและปริมาณข้าวแตนที่คงรูปหลังจากเอาพิมพ์ออก จากการเปรียบเทียบแม่พิมพ์ชนิดใหม่ 2 ขนาด คือ ขนาดเล็กใช้แม่พิมพ์ขนาดกว้าง × ยาว เท่ากับ 24.5×6.5 เซนติเมตร ซึ่งมีความหนาแตกต่างกัน 3 ระดับ คือ 0.4 0.5 และ 0.6 เซนติเมตร เจาะฉลุเป็นช่องกลมขนาดเส้นผ่าศูนย์กลาง 2.5 เซนติเมตร ได้ 16 ช่อง จึงขึ้นรูปได้ครั้งละ 16 ชิ้น เปรียบเทียบกับแม่พิมพ์เดิมขนาดเส้นผ่าศูนย์กลาง 2.5 เซนติเมตร หนา 0.5 เซนติเมตร ขึ้นรูปได้ครั้งละ 1 ชิ้น ส่วนแม่พิมพ์ขนาดใหญ่มีขนาดกว้าง × ยาว เท่ากับ 26×11 เซนติเมตร ซึ่งมีความหนาแตกต่างกัน 3 ระดับ คือ 0.6 0.8 และ 1.0 เซนติเมตร เจาะฉลุเป็นช่องกลมขนาดเส้นผ่าศูนย์กลาง 4.0 เซนติเมตร ได้ 10 ช่อง จึงสามารถขึ้นรูปได้ครั้งละ 10 ชิ้น เปรียบเทียบกับแม่พิมพ์เดิมที่มีขนาดเส้นผ่าศูนย์กลาง 4.0 เซนติเมตร หนา 1.0 เซนติเมตร ขึ้นรูปได้ครั้งละ 1 ชิ้น ดังภาพ 17

1.1.1 อัตราเร็วในการผลิต

อัตราเร็วในการขึ้นรูปของแม่พิมพ์ขนาดเล็กที่มีความหนา 0.4 0.5 และ 0.6 เซนติเมตร มีค่าเท่ากับ 614.45 ± 10.55 555.13 ± 58.33 และ 656.89 ± 50.46 ชิ้น/ชั่วโมง ตามลำดับ ขณะที่แม่พิมพ์ของกลุ่มแม่บ้านผลิตได้ 384.11 ± 13.42 ชิ้น/ชั่วโมง ซึ่งแตกต่างกันอย่างมีนัยสำคัญ ($p \leq 0.05$) ดังตาราง 5 ขณะที่แม่พิมพ์ขนาดใหญ่ที่มีความหนา 0.6 0.8 และ 1.0 เซนติเมตร มีอัตราเร็วในการขึ้นรูป 425.71 ± 21.99 424.51 ± 7.29 และ 429.45 ± 6.15 ชิ้น/ชั่วโมง ตามลำดับ โดยที่แม่พิมพ์ของกลุ่มแม่บ้านผลิตได้ 297.10 ± 8.70 ชิ้น/ชั่วโมง ซึ่งแตกต่างกันอย่างมีนัยสำคัญ ($p \leq 0.05$) ดังตารางที่ 5 จากข้อมูลเบื้องต้นสามารถถลกระยะเวลาในการขึ้นรูปได้ เนื่องจากสามารถผลิตได้ 16 ชิ้น/ครั้ง สำหรับแม่พิมพ์ขนาดเล็ก และสามารถผลิต 10 ชิ้น/ครั้ง สำหรับแม่พิมพ์ขนาดใหญ่ ในขณะที่แม่พิมพ์ของกลุ่มแม่บ้านสามารถขึ้นรูปได้ครั้งละ 1 ชิ้น

1.1.2 ค่าการคงรูปเมื่อถอดออกจากรูปพิมพ์

สำหรับค่าการคงรูปเมื่อถอดข้าวแทนเปียกออกจากแม่พิมพ์นั้นมีค่าดังต่อไปนี้ ในส่วนของแม่พิมพ์ขนาดเล็กทั้ง 3 ขนาด คือ ร้อยละ 98.75 ± 1.25 98.33 ± 1.91 และ 95.83 ± 3.61 ตามลำดับ โดยที่แม่พิมพ์ของกลุ่มแม่บ้านขนาดเล็กเท่ากับร้อยละ 100 และแม่พิมพ์ขนาดใหญ่ทั้ง 3 ขนาดมีค่าการคงรูปเมื่อถอดออกจากรูปพิมพ์เท่ากับร้อยละ 99.33 ± 1.15 100 และ 99.33 ± 1.15 ตามลำดับ ในขณะแม่พิมพ์ของกลุ่มแม่บ้านขนาดใหญ่เท่ากับร้อยละ 100 จากการวิเคราะห์ค่าทางสถิติพบว่าค่าการคงรูปของข้าวแทนเมื่อถอดออกจากรูปพิมพ์ของแม่พิมพ์ทั้งสองเล็กและใหญ่ทั้ง 6 ขนาดแตกต่างแม่พิมพ์ของกลุ่มแม่บ้านทั้งขนาดเล็กและใหญ่ไม่มีค่าความแตกต่างอย่างมีนัยสำคัญทางสถิติ ($p > 0.05$) ดังตาราง 5 แม่พิมพ์พลาสติกอะคริลิกทั้งขนาดเล็กและใหญ่มีขนาดไม่ใหญ่เกินไปและมีความหนาเพียงพอที่ทำให้มีการคงรูปได้ดี ส่วนแม่พิมพ์สังกะสีของกลุ่มแม่บ้านทั้งขนาดเล็กและใหญ่นั้นรูปครึ่งล้อ 1 ชิ้น จึงคงรูปได้ดีร้อยละ 100

1.2 การตรวจสอบคุณภาพภายหลังการทอด

1.1.2 ปริมาณการแตกหักหลังทอด

ในส่วนของปริมาณการแตกหักหลังการทอดข้าวแทนในส่วนของแม่พิมพ์ขนาดเล็กทั้ง 3 ขนาดมีค่าดังนี้ คือ ร้อยละ 4.68 ± 0.75 3.95 ± 1.06 และ 4.55 ± 0.32 ตามลำดับ ในขณะที่แม่พิมพ์ขนาดเล็กของกลุ่มแม่บ้านมีค่าเท่ากับร้อยละ 4.94 ± 0.32 ซึ่งไม่มีค่าความแตกต่างอย่างมีนัยสำคัญทางสถิติ ($p > 0.05$) ในส่วนแม่พิมพ์ขนาดใหญ่ทั้ง 3 ขนาดมีค่าปริมาณการแตกหักหลังการทอดเท่ากับร้อยละ 3.60 ± 0.05 3.63 ± 0.18 และ 2.49 ± 0.66 ตามลำดับ โดยแม่พิมพ์ขนาดใหญ่ที่มีความหนา 0.60 และ 0.80 เซนติเมตร มีค่าปริมาณการแตกหักหลังการทอดอยู่ในช่วงเดียวกัน คือ ร้อยละ 3.60 ± 0.05 และ 3.63 ± 0.18 ในขณะที่แม่พิมพ์ขนาดใหญ่ของกลุ่มแม่บ้านมีค่ามากที่สุดถึงร้อยละ 5.01 ± 0.05 และมีค่าความแตกต่างกันอย่างมีนัยสำคัญทางสถิติ ($p \leq 0.05$) ดังตาราง 5 การแตกหักของข้าวแทนที่ได้จากแม่พิมพ์ขนาดใหญ่มีน้อยกว่าเนื่องจากมีความหนานากกว่า ข้าวจึงเกาะตัวกันได้ดีกว่า

1.1.3 ปริมาตรที่ขยายหลังการหด

เมื่อตรวจสอบปริมาตรที่ขยายภายหลังการหดในส่วนของแม่พิมพ์ขนาดเล็กไม่มีความแตกต่างกันอย่างมีนัยสำคัญทางสถิติ ($p \leq 0.05$) กล่าวคือค่าปริมาตรที่ขยายของข้าวแทนในส่วนของแม่พิมพ์เดิมขนาดเล็กของกลุ่มแม่บ้านและแม่พิมพ์ใหม่ขนาดเล็กที่มีความหนาทั้ง 3 ระดับ ได้แก่ 0.40 0.50 และ 0.60 เซนติเมตร มีค่าเท่ากับร้อยละ 345.39 ± 67.86 348.60 ± 39.02 366.31 ± 9.42 และ 363.45 ± 11.30 ตามลำดับ ซึ่งมีค่าที่ใกล้เคียงกัน แต่ในส่วนของแม่พิมพ์ขนาดใหญ่ทั้งของกลุ่มแม่บ้านและแม่พิมพ์ใหม่ขนาดใหญ่ที่มีความหนาทั้ง 3 ระดับ ได้แก่ ความหนาที่ 0.60 0.80 และ 1.00 เซนติเมตร มีความแตกต่างอย่างมีนัยสำคัญทางสถิติ ($p \leq 0.05$) กล่าวคือค่าปริมาตรที่ขยายของข้าวแทนในส่วนของแม่พิมพ์เดิมขนาดใหญ่ของกลุ่มแม่บ้านมีค่าเท่ากับร้อยละ 298.92 ± 11.20 ซึ่งสามารถขยายปริมาตรได้มากที่สุดเมื่อเทียบกับแม่พิมพ์ใหม่ขนาดใหญ่ รองลงมาคือ แม่พิมพ์ใหม่ขนาดใหญ่ความสูง 0.60 เซนติเมตร มีค่าปริมาตรที่ขยายเท่ากับร้อยละ 251.52 ± 30.08 และกลุ่มนี้มีการขยายปริมาตรต่ำที่สุด ได้แก่ แม่พิมพ์ใหม่ขนาดใหญ่ความสูง 0.80 และ 1.00 เซนติเมตร มีค่าเท่ากับร้อยละ 245.06 ± 39.24 และ 226.42 ± 11.20 ตามลำดับ ดังตาราง 5 ทั้งนี้เนื่องจากแม่พิมพ์ที่มีความหนานามากกว่าอาจมีการกดให้แน่นได้มากกว่าจึงขยายปริมาตรได้น้อย แต่ขัดแย้งกับแม่พิมพ์เดิมของกลุ่มแม่บ้าน ซึ่งหนา 1.00 เซนติเมตร แต่ขยายปริมาตรได้สูงอาจเป็นเพราะมีการขึ้นรูปครั้งละซึ้นและมีความเกย์ชินของแรงกดไม่แรง จึงขยายปริมาตรได้ดีกว่า

1.1.4 จำนวนชิ้นข้าวแทนที่พอดีสำหรับการบรรจุ

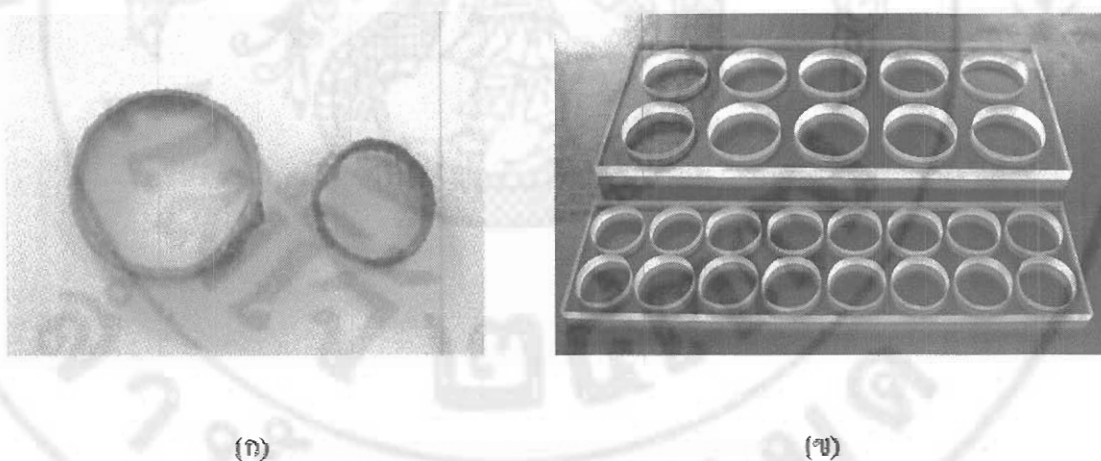
การตรวจสอบจำนวนชิ้นข้าวแทนขนาดเล็กที่พอดีกับถุงบรรจุขนาด 8.75×6 นิ้ว มีค่าความแตกต่างอย่างมีนัยสำคัญทางสถิติ ($p \leq 0.05$) กล่าวคือสามารถแบ่งกลุ่มได้ 3 กลุ่ม ดังต่อไปนี้ กลุ่มที่สามารถบรรจุข้าวแทนขนาดเล็กได้มากที่สุดคือ กลุ่มของแม่พิมพ์ใหม่ขนาดเล็กที่ความสูง 0.4 เซนติเมตร มีค่าเท่ากับ 34.67 ± 0.50 ชิ้น รองลงมาคือ กลุ่มของแม่พิมพ์ขนาดเล็กของกลุ่มแม่บ้านและแม่พิมพ์ใหม่ขนาดเล็กที่ความสูง 0.5 เซนติเมตร ซึ่งมีค่าเท่ากันคือ 29 ชิ้น และ กลุ่มของแม่พิมพ์ใหม่ขนาดเล็กที่ความสูง 0.6 เซนติเมตร มีค่าเท่ากับ 25.78 ± 0.44 ชิ้น

ส่วนของจำนวนชิ้นข้าวแทนขนาดใหญ่พอดีกับถุงขนาด 8×12 นิ้ว มีค่าความแตกต่างอย่างมีนัยสำคัญทางสถิติ ($p \leq 0.05$) กล่าวคือสามารถแบ่งกลุ่มได้ 3 กลุ่ม เช่นเดียวกับแม่พิมพ์ขนาดเล็ก ได้แก่ กลุ่มที่สามารถบรรจุข้าวแทนขนาดใหญ่ได้มากที่สุดคือ กลุ่มของแม่พิมพ์ใหม่ขนาดใหญ่ที่ความสูง 0.6 เซนติเมตร มีค่าเท่ากับ 33.78 ± 0.44 ชิ้น รองลงมาคือ กลุ่มของแม่พิมพ์ขนาดใหญ่ของ

กลุ่มแม่บ้านและแม่พิมพ์ใหม่ขนาดใหญ่ที่ความสูง 0.8 เซนติเมตร ซึ่งมีค่าเท่ากับ 29.22 ± 0.44 และ 28.56 ± 0.53 ชิ้น ตามลำดับ และกลุ่มของแม่พิมพ์ใหม่ขนาดใหญ่ที่ความสูง 1.00 เซนติเมตร มีค่าเท่ากับ 24.78 ± 0.44 ชิ้น ดังตาราง 5

สำหรับค่าจำนวนชิ้นที่พอดีสำหรับการบรรจุขวดขนาดต่าง ๆ ดังข้อมูลข้างต้นนั้นมีความสำคัญที่ช่วยในการพิจารณาในเบื้องต้นของการค้า กล่าวคือ ถ้าบรรจุจำนวนชิ้นในปริมาณมาก จะต้องใช้กำลังการผลิตที่เพิ่มขึ้นและข้าวแทนที่ใช้จำนวนชิ้นมากแสดงถึงการไม่ขยายปริมาตรเท่าที่ควร ความกรอบที่ได้จะน้อยลง ในการนี้ที่ข้าวแทนมีความกรอบมากซึ่งอาจทำให้การบรรจุข้าวแทนมีปริมาณน้อยลงอาจเกิดการแตกหักได้ง่าย จึงน่าจะใช้เกณฑ์การบรรจุที่พอดีโดยใช้ข้าวแทนที่ทำการแม่พิมพ์ขนาดเล็กที่ความหนา 0.50 เซนติเมตร เท่ากับขนาดบรรจุข้าวแทนที่ผลิตจากแม่พิมพ์ขนาดเล็กของกลุ่มแม่บ้านและแม่พิมพ์ขนาดใหญ่ที่ความหนา 0.80 เซนติเมตร เท่ากับขนาดบรรจุข้าวแทนที่ผลิตจากแม่พิมพ์ขนาดใหญ่ที่ความหนา 0.80 เซนติเมตร ใช้ได้ดีที่สุด ในขณะที่

ดังนั้นจึงสรุปได้ว่าแม่พิมพ์ขนาดเล็กที่ความหนา 0.50 เซนติเมตร ใช้ได้ดีที่สุด ในขณะที่แม่พิมพ์ขนาดใหญ่ที่ความหนา 0.80 เซนติเมตร ใช้ได้ดีที่สุด



ภาพ 17 แม่พิมพ์ที่ใช้ขึ้นรูปข้าวแทน: แม่พิมพ์ขนาดของกลุ่มแม่บ้าน (ก) และแม่พิมพ์พลาสติกอะคริลิก (ข)

ตาราง 5 ประสิทธิภาพในการขึ้นรูปและสมบัติของข้าวแทนจากแม่พิมพ์ขนาดต่างๆ

รายการทดสอบ	ควบคุม (0.50)	ความหนาของแม่พิมพ์ (ซม.)		
		0.40	0.50	0.60
1. แม่พิมพ์เล็ก				
1.1 อัตราเร็วในการผลิต (ชิ้น/ชั่วโมง)	$384.11^c \pm 13.42$	$614.45^{ab} \pm 10.55$	$555.13^b \pm 58.33$	$656.89^a \pm 50.46$
1.2 ค่าการคงรูปเมื่อถอดออก จากพิมพ์ (%) ^{ns}	100.00	95.83 ± 3.61	98.33 ± 1.81	98.75 ± 1.25
1.3 ปริมาณการแตกหักหลังทอต (%) ^{ns}	4.94 ± 0.32	4.68 ± 0.75	3.95 ± 1.06	4.55 ± 0.32
1.4 ปริมาตรที่ขยายหลังการทอต (%) ^{ns}	345.39 ± 67.86	348.60 ± 39.02	366.31 ± 9.42	363.35 ± 11.30
1.5 จำนวนชิ้นที่พอดีกับถุง ขนาด 8.75×6 นิ้ว ² (ชิ้น)	29.00 ^b	$34.67^a \pm 0.50$	29.00 ^b	$25.78^c \pm 0.44$
2. แม่พิมพ์ใหญ่				
ความหนาของแม่พิมพ์ (cm)	ควบคุม (1.00)	0.60	0.80	1.00
2.1 อัตราเร็วในการผลิต (ชิ้น/ชั่วโมง)	$297.10^b \pm 8.70$	$425.71^a \pm 21.99$	$424.51^a \pm 7.29$	$429.45^a \pm 6.15$
2.2 ค่าการคงรูปเมื่อถอดออก จากพิมพ์ (%) ^{ns}	100.00	99.33 ± 1.15	100.00	99.33 ± 1.15
2.3 ปริมาณการแตกหักหลังทอต (%)	$5.01^a \pm 0.05$	$3.60^b \pm 0.05$	$3.63^b \pm 0.18$	$2.49^c \pm 0.66$
2.4 ปริมาตรที่ขยายหลังการทอต (%)	$298.92^a \pm 11.20$	$251.52^{ab} \pm 30.08$	$245.06^{ab} \pm 39.24$	$226.42^b \pm 11.20$
2.5 จำนวนชิ้นที่พอดีกับถุง ขนาด 8×12 นิ้ว ² (ชิ้น)	$29.22^b \pm 0.44$	$33.78^a \pm 0.44$	$28.56^b \pm 0.53$	$24.78^c \pm 0.44$

หมายเหตุ: แม่พิมพ์พลาสติกขนาดเล็กมีเส้นผ่าศูนย์กลางขนาด 2.50 เซนติเมตร โดยมีความสูงแตกต่างกัน ได้แก่ 0.40, 0.50 และ 0.60 เซนติเมตร และแม่พิมพ์พลาสติกขนาดใหญ่มีเส้นผ่าศูนย์กลางขนาด 4.00 เซนติเมตร โดยมีความสูงแตกต่างกัน ได้แก่ 0.40, 0.50 และ 0.60 เซนติเมตร ตัวเลขใน括弧เดียวกันที่กำกับด้วยตัวอักษรต่างกันนี้ความแตกต่างกันอย่างมีนัยสำคัญทางสถิติ ($p \leq 0.05$) แต่หากกำกับด้วย ns ไม่มีความแตกต่างกันอย่างมีนัยสำคัญทางสถิติ ($p > 0.05$)

2. การสำรวจปริมาณความชื้นและค่ากิจกรรมของน้ำในข้าวแทนแห้งของกลุ่มแม่บ้าน

2.1 การศึกษาปริมาณความชื้นและค่ากิจกรรมของน้ำของตัวอย่างข้าวแทนแห้งจากกลุ่มแม่บ้านที่ผ่านการผึ่งแดด

2.1.1 ค่าปริมาณความชื้นภายหลังการผึ่งแดด

จากการสุ่มตรวจปริมาณความชื้นของข้าวแทนที่ผลิตโดยกลุ่มแม่บ้านจำนวน 30 ตัวอย่างที่ได้การผลิตจำนวน 30 ครั้ง (ตัวอย่างข้าวแทนแห้งผลิตในเดือนเมษายน-พฤษภาคม พ.ศ. 2547) โดยวิธีการผึ่งแดดเพียงอย่างเดียว พบว่าข้าวแทนของกลุ่มแม่บ้านมีความชื้นอยู่ในช่วงร้อยละ 8.27-12.10 ดังตาราง 6 มีค่าเฉลี่ยเท่ากับร้อยละ 9.92 ± 1.11 และ จึงนำค่าปริมาณความชื้นดังกล่าวมาตั้งเป็นค่ามาตรฐานในการกำหนดช่วงความชื้นสุดท้ายหลังจากผ่านการอบแห้งข้าวแทนโดยใช้ตู้อบลมร้อน ค่าที่ได้กำหนดไว้คือ ค่าปริมาณความชื้น 3 ระดับ ได้แก่ ร้อยละ 5, 10 และ 15

2.1.2 ค่าแอคติวิตี้ของน้ำภายหลังการผึ่งแดด

ตัวอย่างข้าวแทนแห้งของกลุ่มแม่บ้านมีค่าแอคติวิตี้ของน้ำ (A_w) อยู่ในช่วง 0.56-0.67 มีค่าเฉลี่ยเท่ากับ 0.61 ± 0.04 ดังตาราง 6 แสดงถึงผลการสำรวจปริมาณความชื้นและค่า A_w ของข้าวแทนแห้งของกลุ่มแม่บ้านเกย์ตระรัตนทรัพย์จำนวน 30 ตัวอย่างที่ได้การผลิตจำนวน 30 ครั้ง

จากข้อมูลเบื้องต้นของข้าวแทนแห้งทำให้ทราบถึงปริมาณความชื้นและค่าแอคติวิตี้ของน้ำโดยปกติอาหารแห้งจะมีค่าแอคติวิตี้ของน้ำต่ำกว่า 0.70 จึงจะปลอดภัยจากเชื้อจุลินทรีย์ (สุคนธ์ชื่น, 2546) ซึ่งข้าวแทนแห้งของกลุ่มแม่บ้านมีปริมาณน้ำอิสระเพียง 0.56-0.67 แต่การเก็บรักษาไม่ให้ข้าวแทนแห้งมีค่าแอคติวิตี้ของน้ำเพิ่มขึ้นนั้นเป็นสิ่งที่จำเป็นยิ่งกว่า โดยแม่บ้านเก็บในถุงพลาสติกโพลีเอธิลีน (polyethylene) ชนิดที่มีหูหิ้ว 2 ข้าง จำนวน 2 ชั้น และมัดปากถุงแบบหลวม ๆ ซึ่งอาจเป็นที่อยู่ของแมลงต่าง ๆ ได้ง่ายโดยเนพะมอดที่คือยกดกินเม็ดข้าวพร้อมกับวางแผนไปร่วมถึงข้าวแทนแห้งมีสีที่ซีดลงเนื่องจากเก็บบนชั้นวางของที่แสงแดดสามารถส่องถึง การแก้ไขสามารถทำได้ด้วยการเก็บรักษาในถุงโพลีไพรีลีนชนิดหนาและปิดผนึกปากถุงด้วยความร้อน เก็บในตู้ทึบแสงเพื่อป้องกันแมลงที่อาจเข้ามารบกวนและป้องกันการเกิดสีซีดของข้าวแทนแห้ง เนื่องจากส่วนประกอบของข้าวแทนมีน้ำแตกโฉมซึ่งประกอบด้วยแอนโซไซตานินที่ให้สีแดงและอาจซีดได้เนื่องจากปฏิกิริยาออกซิเคชัน (นิธิยา, 2545)

ตาราง 6 ปริมาณความชื้นและค่า A_w ของข้าวแทนแห้งของกลุ่มแม่บ้านเกษตรกรสันทรายหลวง

ตัวอย่างที่	ปริมาณ ความชื้น (%)	ค่าเอกติวิตี้ ของน้ำ	ตัวอย่างที่	ปริมาณ ความชื้น (%)	ค่าเอกติวิตี้ ของน้ำ
1	10.12	0.64	16	9.13	0.58
2	10.28	0.65	17	9.07	0.56
3	10.08	0.64	18	9.13	0.56
4	9.9	0.65	19	9.67	0.58
5	10.2	0.64	20	9.25	0.56
6	9.67	0.64	21	9.17	0.56
7	8.27	0.64	22	9.93	0.57
8	8.8	0.60	23	9.09	0.56
9	9.87	0.61	24	11.57	0.66
10	8.96	0.60	25	11.38	0.66
11	8.78	0.57	26	11.25	0.61
12	9.12	0.57	27	11.48	0.67
13	9.20	0.58	28	11.89	0.67
14	9.19	0.58	29	11.87	0.67
15	9.05	0.58	30	12.10	0.67

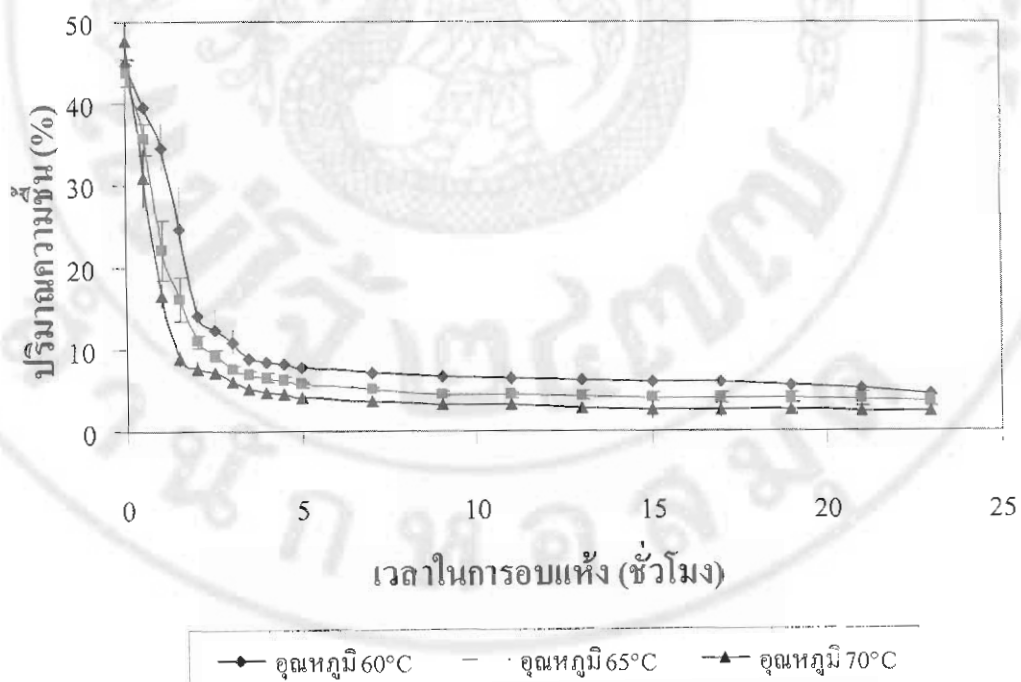
3. การศึกษาระยะเวลาราคาการทำแห้งข้าวแทนด้วยตู้อบลมร้อน

3.1 การหาอัตราเร็วในการทำแห้งข้าวแทนด้วยตู้อบลมร้อน

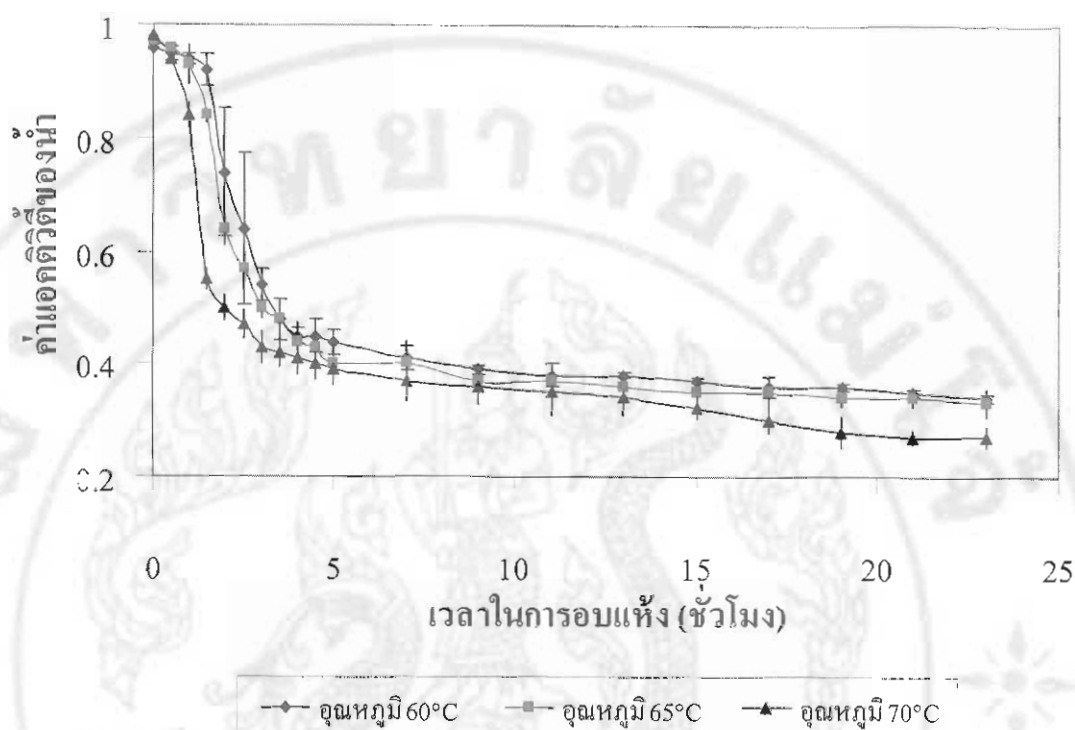
ในการศึกษาอัตราการทำแห้งข้าวแทนจำนวน 4 ชิ้น โดยใช้ตู้อบลมร้อนที่มีขนาดความสูง×ความกว้าง×ความยาว เท่ากับ $2 \times 1.5 \times 1.5$ เมตร ใช้กระถางไฟเป็นตัวให้พลังงาน มีแรงดันไฟฟ้า 220 โวลต์ ที่ความถี่ 50 เฮิรตซ์ มีตะแกรงสำหรับอบจำนวน 8 ชั้น ความสามารถในการผลิต 1,152 ชิ้น สำหรับข้าวแทนขนาดใหญ่ที่ความหนา 0.8 เซนติเมตร ที่ระดับความเร็วลม 7.36 ± 0.20 เมตร/วินาที ความชื้นสัมพัทธ์ของอากาศอยู่ในช่วงร้อยละ 27-34 ที่อุณหภูมิ 3 ระดับ ได้แก่ 60 65 และ 70 องศาเซลเซียส จนได้น้ำหนักคงที่ จะได้อัตราเร็วในการทำแห้งของการอบที่อุณหภูมิต่าง ๆ

ดังภาพ 18 และ 19 ชั้งอุณหภูมิ 70 องศาเซลเซียส จะให้อัตราเร็วในการทำแห้งสูงที่สุด และที่อุณหภูมิ 60 และ 65 องศาเซลเซียส จะให้อัตราเร็วในการทำแห้งลดลงตามลำดับ เนื่องจากอุณหภูมิสูงจะทำให้เกิดการถ่ายเทความชื้นออกจากอาหาร ได้ดีกว่า อุณหภูมิที่สูงขึ้นทำให้เกิดการกระจายของน้ำดีขึ้น จึงมีผลต่อการอบแห้ง ช่วงอัตราการทำแห้งจึงลดลงด้วย (สุคนธ์ชื่น, 2540) จากภาพ 18 หากต้องการอบนานเหลือปริมาณความชื้นสุดท้ายของข้าวแทนแห้ง 3 ระดับ คือ ร้อยละ 5 10 และ 15 พนว่าที่ระดับการอบแห้งที่อุณหภูมิ 60 องศาเซลเซียส ใช้เวลาในการอบแห้ง 20.32 4.00 และ 2.50 ชั่วโมง ตามลำดับ ในขณะที่ระดับการอบแห้งที่อุณหภูมิ 65 องศาเซลเซียส ใช้เวลาในการอบแห้ง 7.30 2.18 และ 1.37 ชั่วโมง ตามลำดับ และระดับการอบแห้งที่อุณหภูมิ 70 องศาเซลเซียส ใช้เวลาในการอบแห้ง 4.22 1.40 และ 1.03 ชั่วโมง ตามลำดับ แต่ทั้งนั้นทั้งนี้ค่าดังกล่าว ขึ้นอยู่กับจำนวนวัตถุดิบที่ใช้อบและความชื้นสัมพัทธ์ในวันที่อบแห้งเป็นประการสำคัญด้วย

ภาพ 18 ความสัมพันธ์ระหว่างเวลาที่ใช้ในการอบแห้งและปริมาณความชื้นของข้าวแทนภายหลังการอบแห้ง



ภาพ 19 ความสัมพันธ์ระหว่างเวลาที่ใช้ในการอบแห้งและค่ากิจกรรมของน้ำของข้าวแทนภายหลังการอบแห้ง



3.2 การศึกษาอิทธิพลของการอบแห้งและความชื้นที่เหลือก่อนทodorที่มีผลต่อคุณภาพของข้าวแทนหลังทodor

หลังการอบแห้งที่อุณหภูมิ 3 ระดับ คือ 60 65 และ 70 องศาเซลเซียส แต่ละอุณหภูมิให้ผลิตภัณฑ์เหลือความชื้น 3 ระดับ คือ ร้อยละ 5 10 และ 15 พบว่าการอบแห้งที่อุณหภูมิ 60 องศาเซลเซียส จะได้ผลิตภัณฑ์ที่มีความชื้นร้อยละ 15.08 ± 0.36 10.54 ± 0.26 และ 5.56 ± 0.38 โดยมีค่า A_w เท่ากับ 0.84 ± 0.0201 0.63 ± 0.0314 และ 0.40 ± 0.0078 ตามลำดับ ส่วนการอบแห้งที่อุณหภูมิ 65 องศาเซลเซียส จะได้ผลิตภัณฑ์ที่มีความชื้นร้อยละ 15.47 ± 0.26 10.36 ± 0.28 และ 5.53 ± 0.15 โดยมีค่า A_w เท่ากับ 0.84 ± 0.0144 0.58 ± 0.0179 และ 0.35 ± 0.0083 ตามลำดับ และการอบแห้งที่อุณหภูมิ 70 องศาเซลเซียส จะได้ผลิตภัณฑ์ที่มีความชื้นร้อยละ 15.18 ± 0.16 9.98 ± 0.24 และ 5.33 ± 0.28 โดยมีค่า A_w เท่ากับ 0.85 ± 0.0116 0.57 ± 0.0212 และ 0.37 ± 0.0065 ตามลำดับ

จากนั้นนำข้าวแทนที่อบที่อุณหภูมิทั้ง 3 ระดับ โดยเหลือความชื้นทั้ง 3 ระดับ ไปทดสอบด้วยน้ำมันพาราфинระหว่างน้ำมันมะพร้าวและน้ำมันเมล็ดปาล์มที่อุณหภูมิ 200 องศาเซลเซียส เป็นเวลานาน 45 วินาที พบร่วาได้สมบัติต่างๆ ดังนี้

3.2.1 สมบัติทางกายภาพของข้าวแทนหลังการทอด

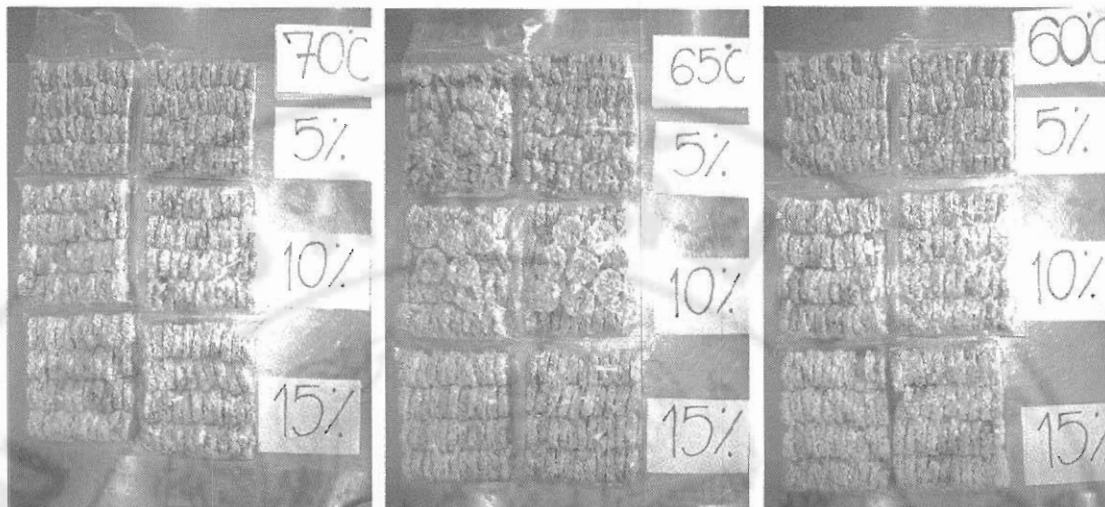
3.2.1.1 ค่าสี

ค่าสี คือ ค่า L* a* และ b* โดยค่าสีในผลิตภัณฑ์ขั้นมะเขือเทศที่ผ่านการทอดเป็นปัจจัยที่มีผลต่อการยอมรับของผู้บริโภค (Moreia *et al.*, 1999) ค่า L* เป็นค่าความสว่างที่มีค่าตั้งแต่ 0-100 โดยค่า 0 แสดงว่าเป็นสีดำ และค่า 100 แสดงว่าเป็นสีขาว ค่า a* เป็นค่าที่บ่งบอกความเป็นสีเขียว-สีแดง ค่า a* มีค่าลบแสดงว่าเป็นสีเขียวและค่า a* มีค่าบวกแสดงว่าเป็นแดง ค่า b* เป็นค่าที่บ่งบอกความเป็นสีน้ำเงิน-สีเหลือง ค่า b* มีค่าลบแสดงว่าเป็นสีน้ำเงิน และค่า b* มีค่าบวกแสดงว่าเป็นเหลือง (สุคนธ์ชื่นและวรรณวิบูลย์, 2546)

อุณหภูมิที่ใช้ในการอบแห้งข้าวแทนก่อนทอดมีผลต่อความแตกต่างของค่า L* และค่า a* ของข้าวแทนอย่างมีนัยสำคัญทางสถิติ ($P \leq 0.05$) โดยอุณหภูมิในการอบแห้งสูงขึ้นจะทำให้ค่า L* สูงขึ้น ขณะที่ค่า a* ลดลง แต่ค่า b* คงที่ และปริมาณความชื้นก่อนทอดมีผลต่อค่าความแตกต่างกันของค่า L* ค่า a* และค่า b* ของข้าวแทนอย่างมีนัยสำคัญทางสถิติ ($P \leq 0.05$) โดยความชื้นลดลงทำให้ค่า L* และค่า b* ลดลงแต่ค่า a* เพิ่มขึ้น ดังตาราง 7 ทั้งนี้ เพราะทั้งอุณหภูมิและปริมาณความชื้นมีผลต่อการเกิดสีน้ำตาลเนื่องจากปฏิกิริยาเมลลาร์ด

เมื่อพิจารณาปัจจัยร่วมระหว่างอุณหภูมิในการอบแห้งและปริมาณความชื้นหลังการอบแห้งที่มีผลต่อค่าสีที่แสดงให้เห็นถึงความแตกต่างอย่างชัดเจนคือค่า L* และค่า b* โดยค่า L* ของตัวอย่างข้าวแทนที่ผ่านการอบแห้งทั้ง 3 อุณหภูมิ เมื่อมีความชื้นลดลงค่า L* จะลดลงอย่างมีนัยสำคัญทางสถิติ ($P \leq 0.05$) ในขณะที่ค่า b* มีแนวโน้มลดลงในทำนองเดียวกับค่า L* ทั้งนี้เนื่องจากปฏิกิริยาเมลลาร์ด ส่งผลให้ตัวอย่างข้าวแทนมีสีคล้ำนึ่งจากค่า L* และค่า b* ลดลงตัวอย่างข้าวแทนที่ผ่านการอบแห้งที่อุณหภูมิ 65 องศาเซลเซียส และเหลือปริมาณความชื้นร้อยละ 10 และตัวอย่างข้าวแทนที่ผ่านการอบแห้งที่อุณหภูมิ 70 องศาเซลเซียส จนเหลือปริมาณความชื้นร้อยละ 10 พบร่วาค่า L* เท่ากับ 27.10 ± 0.56 และ 28.04 ± 1.86 ตามลำดับ ซึ่งเป็นค่าที่อยู่ในช่วงปานกลางและ มีค่า b* เท่ากับ 4.98 ± 0.44 และ 4.92 ± 1.08 ตามลำดับ ซึ่งเป็นค่าสูงสุด มีค่า a* อยู่ในช่วง 4.46-5.91 พบร่วาตัวอย่างข้าวแทนมีความใกล้เคียงกันมากที่สุด ดังตาราง 8 และภาพ 20

ภาพ 20 สีของข้าวแทนที่ผ่านการอบแห้งทั้ง 3 ระดับ จนเหลือความชื้น 3 ระดับ



3.2.1.2 จำนวนชิ้นที่แตกหัก

เป็นค่าจากการสังเกตและการตรวจนับจำนวนชิ้นข้าวแทนภายหลังการหยอด โดยดูจากการแตกหักของข้าวแทน มีการแตกหักมากกว่าร้อยละ 25 ของพื้นที่ทั้งหมดของแผ่นข้าวแทน มีนัยสำคัญทางสถิติ ($P \leq 0.05$) ดังตาราง 7 ค่าจำนวนชิ้นที่แตกหักมีผลมาจากการปริมาณความชื้น เริ่มต้นก่อนหยอด ยิ่งเหลือปริมาณความชื้นก่อนหยอดต่ำยิ่งเพิ่มการแตกหักของข้าวแทนให้เพิ่มขึ้นคือ ข้าวแทนที่เหลือความชื้นร้อยละ 15, 10 และ 5 จะมีจำนวนชิ้นที่แตกหักหลังหยอดเท่ากับร้อยละ 4.74±1.44, 7.41±1.69 และ 12.98±1.58 ตามลำดับ เนื่องจากความชื้นในข้าวแทนเหลือน้อยทำให้ การเกาะตัวของเม็ดข้าวติด

3.2.1.3 ค่าความแข็ง

ปริมาณความชื้นหลังการอบแห้งมีผลต่อค่าความแตกต่างกันของค่าความแข็งของข้าวแทน อย่างมีนัยสำคัญทางสถิติ ($P \leq 0.05$) กือ เมื่อปริมาณความชื้นที่เหลือหลังการอบแห้งลดลงมีผลต่อค่าความแข็งลดลง เนื่องจากความชื้นทำให้ความกรอบในตัวอย่างข้าวแทนลดลงค่าความแข็งจึงเพิ่มขึ้น ดังตาราง 7

อิทธิพลร่วมกันระหว่างอุณหภูมิในการอบแห้งและปริมาณความชื้นหลังการอบแห้งมีผลต่อค่าความแตกต่างกันของค่าความแข็งของข้าวแทนอย่างมีนัยสำคัญทางสถิติ ($P \leq 0.05$) โดยอุณหภูมิในการอบแห้งสูงขึ้นร่วมกับปริมาณความชื้นที่ลดลงส่งผลต่อค่าความแข็งของข้าวแทนลดลง เนื่องจากอุณหภูมิในการอบแห้งที่สูงขึ้นส่งผลต่อการลดความชื้นในตัวอย่างให้ลดลงยิ่งตัวอย่างเหลือความชื้นน้อยเท่าไรส่งผลต่อการระเหยความชื้นออกจากตัวอย่างได้ง่ายทำให้ตัวอย่างตัวอย่างข้าวแทนที่มีค่าแรงคดน้อยที่สุดคือ ข้าวแทนที่ผ่านการอบแห้งที่อุณหภูมิ 60-65 และ 70 องศาเซลเซียส จนเหลือปริมาณความชื้นร้อยละ 5 มีค่าเท่ากับ 4.58 ± 1.20 4.00 ± 1.39 และ 5.29 ± 1.22 นิวตัน ตามลำดับ ดังตาราง 8 เนื่องจากข้าวเม็ดข้าวมีลักษณะไม่ค่อยพอง มีการเกาะตัวของเม็ดข้าวน้อย ตัวอย่างข้าวแทนนี้จึงใช้แรงคดค่อนข้างน้อย ข้าวแทนที่มีลักษณะกรอบพองดีที่สุดคือ ข้าวแทนที่ผ่านการอบแห้งที่อุณหภูมิ 65 องศาเซลเซียส จนเหลือปริมาณความชื้นร้อยละ 10 มีค่าความแข็งเท่ากับ 6.85 ± 1.07 นิวตัน อย่างไรก็ตามค่าแรงคดที่ได้พบว่ามีความผันผวน เนื่องจากเม็ดข้าวในแต่ละชิ้นมีการพองตัวไม่เท่ากันและตัวอย่างยังมีเนื้อสัมผัสที่ไม่เรียบ

3.2.1.4 ปริมาณน้ำมันที่ถูกคุกซับ

ในการทดสอบอาหารสิ่งที่ควรระวังคือ การอ่อนน้ำมันของอาหาร ซึ่งจะทำให้ผู้บริโภคเกิดอาการเลื่อน ย่อยยากและได้รับพลังงานเกินกว่าที่ร่างกายต้องการ เนื่องจากไขมันให้พลังงานสูงมากถึง 9 กิโลแคลอรี่/กรัม ปัจจุบันผู้บริโภคมากหลีกเลี่ยงการบริโภคอาหารที่มีไขมันสูง เนื่องจากมีผลต่อต่อการเกิดโรคอ้วนและโรคอื่น ๆ ที่เสี่ยงต่อการเกิดโรคหัวใจล้มเหลว แต่ในอาหารทอดโดยทั่วไปมักหลีกเลี่ยงให้เกิดการอ่อนน้ำมันไม่ได้แต่สามารถลดการอ่อนน้ำมันในผลิตภัณฑ์อาหารได้เท่านั้น

อุณหภูมิในการอบแห้งและปริมาณความชื้นหลังการอบแห้งมีผลต่อค่าความแตกต่างกันของปริมาณน้ำมันที่ถูกคุกซับของข้าวแทนอย่างมีนัยสำคัญทางสถิติ ($P \leq 0.05$) ดังตาราง 7 โดยเมื่ออุณหภูมิในการอบแห้งเพิ่มขึ้นการคุกซับน้ำมันจะลดลง เพราะอุณหภูมิที่เพิ่มขึ้นในระหว่างการอบแห้งส่งผลต่อการเกิด case hardening เพิ่มขึ้นจึงคุกซับน้ำมันໄค์ลดลง ขณะที่ความชื้นหลังการอบแห้งส่งผลต่อการคุกซับน้ำมันลดลง เนื่องจากการระเหยความชื้นออกจากตัวอย่างข้าวแทนยิ่งเหลือความชื้นในปริมาณน้อยส่งผลต่อการเกิดรูพรุนภายในเนื้อข้าวแทนได้น้อยลง ทำให้เกิดการแทนที่ของน้ำมันในโพรงอากาศในเนื้อข้าวแทนในระหว่างการทอดได้น้อยลง การคุกซับน้ำมันจึงลดลง

อิทธิพลร่วมกันระหว่างอุณหภูมิในการอบแห้งและปริมาณความชื้นหลังการอบแห้งมีผลต่อค่าความแตกต่างกันของปริมาณน้ำมันที่ถูกดูดซับของข้าวแทนอย่างมีนัยสำคัญทางสถิติ ($P \leq 0.05$) โดยปริมาณความชื้นเป็นปัจจัยหลักที่ส่งผลต่อการดูดซับน้ำมัน กล่าวคือเมื่อความชื้นในตัวอย่างข้าวแทนลดลงในทุกอุณหภูมิของการอบแห้ง การดูดซับน้ำมันของข้าวแทนจะลดลงเนื่องจากเหตุผลดังที่กล่าวมาแล้ว ซึ่งสอดคล้องกับผลการทดลองของ Gamble และ Rice (1987) ที่ทำการศึกษาระบวนการทำแห้งที่มีผลต่อการดูดซับน้ำมันพบว่าอาหารที่ไม่ผ่านการทำแห้งจะดูดซับน้ำมันได้มากกว่าอาหารที่ผ่านการทำแห้งก่อนการทำ และปริมาณการดูดซับน้ำมันไนน์อยที่สุด คือ ตัวอย่างข้าวแทนที่ผ่านการทำแห้งที่อุณหภูมิ 60, 65 และ 70 องศาเซลเซียส จนเหลือปริมาณความชื้นร้อยละ 5 ซึ่งมีค่าเท่ากับร้อยละ 7.14 ± 0.90 , 7.16 ± 1.00 และ 7.17 ± 0.79 ตามลำดับ ดังตาราง 8

3.2.1.5 ปริมาตรที่ขยาย

ในการขยายปริมาตรของตัวอย่างข้าวแทนเกิดขึ้นจากการร้อนในกระบวนการการทำให้ความชื้นภายในตัวอย่างระเหยกลายเป็นไอน้ำอย่างรวดเร็วซึ่งดันโครงสร้างทำให้เกิดช่องว่างภายในเกิดรูพรุนภายในเซลล์อาหารและทำให้มีการขยายตัวเพิ่มขึ้น

อุณหภูมิในการอบแห้งและปริมาณความชื้นหลังการอบแห้งมีผลทำให้เกิดความแตกต่างกันของการขยายปริมาตรของข้าวแทนอย่างมีนัยสำคัญทางสถิติ ($P \leq 0.05$) ดังตาราง 7 โดยปริมาณความชื้นที่เหลือหลังการอบแห้งลดลงมีผลต่อการขยายปริมาตรลดลง เนื่องจากขณะที่ความชื้นระเหยออกจากตัวอย่างจะดันโครงสร้างให้มีขนาดใหญ่ขึ้น ดังนั้nmีผลต่อความชื้นในตัวอย่างก่อนการทำน้ำอย่างส่งผลต่อการขยายปริมาตรได้น้อยลง ขณะที่อุณหภูมิในการอบแห้งมีผลต่อการขยายปริมาตรคือ ที่อุณหภูมิการอบแห้ง 60 และ 70 องศาเซลเซียส สามารถขยายปริมาตรได้มากกว่า อุณหภูมิ 65 องศาเซลเซียส ซึ่งอธิบายได้ยากเนื่องจากตัวอย่างข้าวแทนมีลักษณะเนื้อสัมผัสที่ไม่เรียบและมีความชรุบรอบของเม็ดข้าวที่เกาะกันเป็นก้อนและลักษณะของเม็ดข้าวแต่ละเม็ดมีปริมาณความชื้นที่เหลืออยู่ไม่เท่ากันจึงส่งผลต่อการขยายปริมาตรที่แตกต่างกัน

อิทธิพลร่วมกันระหว่างอุณหภูมิในการอบแห้งและปริมาณความชื้นหลังการอบแห้งมีผลต่อค่าความแตกต่างกันของค่าปริมาตรที่ขยายของข้าวแทนอย่างมีนัยสำคัญทางสถิติ ($P \leq 0.05$) พบว่า การขยายปริมาตรของข้าวแทนลดลงตามปริมาณความชื้นที่ลดลงในทุกอุณหภูมิของการอบแห้ง เหตุผลเช่นเดียวกับที่กล่าวแล้วข้างต้น ค่าปริมาตรที่ขยายสูงที่สุดคือ ตัวอย่างข้าวแทนที่ผ่านการทำแห้งที่อุณหภูมิ 70 องศาเซลเซียส จนเหลือปริมาณความชื้นร้อยละ 15 มีค่าเท่ากับร้อยละ

548 ± 16 สามารถพองตัวได้ดีที่สุดนี้ของจากเหลือความชื้นในตัวอย่างค่อนข้างสูงพบว่า ปริมาตรจะขยายได้สูงสุดถึง $4-5$ เท่า ของปริมาตรเดิมเป็นข้าวแทนที่มีความชื้นก่อนทดสอบร้อยละ 15 ในขณะที่ตัวอย่างข้าวแทนที่มีปริมาณความชื้นก่อนทดสอบต่ำสุดถึงร้อยละ 5 พนว่าปริมาตรที่ขยายได้ต่ำสุดเพียง $0.5-1$ เท่า ส่วนข้าวแทนที่เหลือความชื้นก่อนทดสอบร้อยละ 10 มีการขยายปริมาตรปานกลาง แต่การขยายตัวก็ได้มากเท่าไรยิ่งทำให้เกิดการดูดซับน้ำมันได้สูงขึ้น

หากพิจารณาสมบัติทางกายภาพจะพบว่าระดับอุณหภูมิในการอบแห้งและระดับความชื้นที่เหลือในข้าวแทนพบว่าตัวอย่างข้าวแทนที่ผ่านการอบแห้งที่อุณหภูมิ 65 องศาเซลเซียสและเหลือปริมาณความชื้นหลังการอบแห้งร้อยละ 10 อยู่ในช่วงที่ระดับต่ำจึงปลดปล่อยจากเชื้อจุลินทรีย์ (ศุคนธ์ชื่น, 2546) ค่า L^* มีค่าเท่ากับ 27.10 ± 0.56 และค่า b^* เท่ากับ 4.98 ± 0.44 มีลักษณะเป็นสีเหลืองทอง ในขณะที่ค่าแรงกดแตกออกยูร์รัคัน 6.85 ± 1.07 นิวตัน ซึ่งเป็นค่าที่ค่อนข้างต่ำ แสดงให้เห็นว่าตัวอย่างในสิ่งที่คล่องนิ่มความกรอบ ไม่เหนียว และมีปริมาณน้ำมันที่ถูกดูดซับเท่ากับร้อยละ 15.19 ± 0.71 ซึ่งอยู่ในระดับที่ค่อนข้างต่ำ ขณะที่การขยายปริมาตรมีค่าเท่ากับร้อยละ 266 ± 18 ดังตาราง 8 เป็นตัวที่คล่องที่มีลักษณะทางกายภาพเหมาะสมที่สุด

ປະຈຸບ ຄວາມ ສ່ວາງ	ຄໍາເຕີ		ຈຳນວນຫຼັນ ພແຕກກຳ		ປົກມາຜົນນັ້ນ ທີ່ໂຄດຕູນ		ປົກມາຜົນນັ້ນ ທີ່ໂຄດຕູນ	
	(L*)	(a*)	ຄໍາເສີເຊື່ອງ (b*)	(N)	(%)	(%)	(%)	(%)
ຄູ່ຫຼັນກົມມືອນເຫັນ (T)								
60°C (T ₁)	24.84 ^b ±4.76	6.42 ^a ±2.15	3.58 ^{ns} ±0.76	7.30 ^{ns} ±3.48	8.40 ^{ns} ±3.33	14.67 ^a ±7.12	297.68 ^a ±175.16	
65°C (T ₂)	24.44 ^b ±4.05	6.55 ^a ±2.17	3.87 ^{ns} ±1.57	8.72 ^{ns} ±4.37	7.75 ^{ns} ±3.78	14.82 ^a ±6.37	283.07 ^b ±171.51	
70°C (T ₃)	25.93 ^a ±4.74	5.97 ^b ±2.25	3.87 ^{ns} ±1.04	9.10 ^{ns} ±4.00	8.01 ^{ns} ±2.30	13.42 ^b ±4.70	296.91 ^b ±184.17	
ປົກມາຜົນກາມຫຼັນ (M)								
15% (M ₁)	29.12 ^a ±1.59	3.97 ^c ±0.68	3.94 ^b ±0.59	4.74 ^c ±1.44	10.47 ^a ±2.09	21.15 ^a ±3.85	498.12 ^a ±43.85	
10% (M ₂)	26.90 ^b ±1.75	6.00 ^b ±0.77	4.74 ^a ±0.75	7.41 ^b ±1.69	9.06 ^b ±2.34	14.60 ^b ±1.39	288.88 ^b ±74.05	
5 % (M ₃)	19.19 ^c ±0.97	8.97 ^a ±0.67	2.63 ^c ±0.95	12.98 ^a ±1.58	4.63 ^c ±1.34	7.16 ^c ±0.79	90.67 ^c ±31.38	

หมายเหตุ: ค่าในกรอบแสดงค่าเฉลี่ยทั่วไปที่ผ่านการทดสอบทางสถิติ ($p \leq 0.05$)

การศึกษาในครั้งนี้ได้ดำเนินการที่โรงพยาบาลจุฬาลงกรณ์ จังหวัดเชียงใหม่ ประเทศไทย ที่มีผู้ป่วยติดเชื้อไวรัสโคโรนา 2019 จำนวน 1,000 คน ที่ได้รับการรักษาและยังคงอยู่ในช่วงของการเฝ้าระวัง ผลการศึกษาพบว่า ผู้ป่วยที่ติดเชื้อไวรัสโคโรนา 2019 ที่มีอาการทางเดินหายใจซึ่งต้องรักษาในโรงพยาบาล มีความเสี่ยงต่อการติดเชื้อไวรัสโคโรนา 2019 มากกว่าผู้ป่วยที่ไม่มีอาการทางเดินหายใจ แต่ก็ยังมีความเสี่ยงต่อการติดเชื้อไวรัสโคโรนา 2019 อยู่ด้วย

ตาราง 8 ฤทธิ์ทางเคมีของยาพุ่งเข้าวานเพนเดลิงทอตที่แสดงอัตราพอลิเมร์ของยาพุ่งเข้าวานเพนเดลิงทอต 3 ระดับ ชนิดต่อความชื้นก่อนการอบแห้ง 3 ระดับ 3 ระดับ

ชุด	ค่าใช้		จำนวนชนิด		ปริมาณหนึ่งหน่วย		ปริมาณที่	
	L*	a*	b*	ที่แบ่งออก (%)	ค่าความแข็ง (N)	ถูกต้อง (%)	เบบาย (%)	
T ₁ × M ₁	30.01 ^a ±0.92	4.06 ^{ns} ±0.51	4.21 ^b ±0.47	5.88 ^{ns} ±0.77	9.74 ^{bc} ±1.80	23.69 ^a ±1.35	450 ^c ±19	
T ₁ × M ₂	25.55 ^c ±1.61	6.19 ^{ns} ±0.63	4.33 ^b ±0.43	7.28 ^{ns} ±1.49	10.86 ^b ±2.48	13.17 ^e ±1.26	385 ^d ±16	
T ₁ × M ₃	18.96 ^d ±0.84	9.01 ^{ns} ±0.68	3.06 ^e ±0.60	13.02 ^{ns} ±1.77	4.58 ^e ±1.20	7.14 ^f ±0.90	58 ⁱ ±14	
T ₂ × M ₁	27.34 ^b ±0.73	4.46 ^{ns} ±0.67	4.24 ^b ±0.57	4.73 ^{ns} ±1.13	12.40 ^a ±1.54	22.12 ^b ±1.35	497 ^b ±17	
T ₂ × M ₂	27.10 ^b ±0.56	5.89 ^{ns} ±0.68	4.98 ^a ±0.44	5.67 ^{ns} ±2.01	6.85 ^d ±1.07	15.19 ^d ±7.16	266 ^c ±18	
T ₂ × M ₃	18.88 ^d ±0.77	9.30 ^{ns} ±0.74	1.52 ^d ±0.30	13.58 ^{ns} ±1.74	4.00 ^{ns} ±1.39	7.16 ^f ±1.00	87 ^j ±7	
T ₃ × M ₁	30.02 ^a ±1.24	3.40 ^{ns} ±0.36	3.38 ^e ±0.20	3.61 ^{ns} ±1.46	9.27 ^e ±1.44	17.63 ^e ±0.83	548 ⁱ ±16	
T ₃ × M ₂	28.04 ^b ±1.86	5.91 ^{ns} ±1.00	4.92 ^b ±1.08	5.95 ^{ns} ±1.32	9.46 ^{bc} ±1.08	15.45 ^d ±0.85	216 ^f ±14	
T ₃ × M ₃	19.74 ^d ±1.10	8.60 ^{ns} ±0.38	3.32 ^e ±0.66	12.35 ^{ns} ±1.20	5.29 ^c ±1.22	7.17 ^f ±0.79	128 ^g ±12	

หมายเหตุ: ตัวเลขในช่องต่อหมุนคือค่าเฉลี่ยกับบดวัสดุต่อหน่วยต่อความแข็งต่อหน่วยต่อความชื้นของยาพุ่งเข้าวานเพนเดลิงทอต (p≤0.05) แต่หากสำหรับทวาย ณ ไม่มีความแตกต่างในกรณีของยาพุ่งเข้าวานเพนเดลิงทอต

ทางสถิติ ($p>0.05$)

T₁= อุณหภูมิในการอบแห้ง 60 °C

M₁= ปริมาณความชื้นที่ห้ามรักษา 15

T₂= อุณหภูมิในการอบแห้ง 65 °C

M₂= ปริมาณความชื้นที่ห้ามรักษา 10

T₃= อุณหภูมิในการอบแห้ง 70 °C

M₃= ปริมาณความชื้นที่ห้ามรักษา 5

3.2.2 การวิเคราะห์การเปลี่ยนแปลงคุณภาพทางเคมีของน้ำมันที่เกิดขึ้นหลังการทอดที่เป็นผลเนื่องจากอุณหภูมิที่ใช้ในการอบแห้งข้าวแทนและความชื้นของข้าวแทนก่อนทอด

3.2.2.1 ปริมาณกรดไขมันอิสระ (Free fatty acid, FFA)

ในการตรวจสอบหาปริมาณ FFA เป็นการตรวจสอบหาการสลายตัวของไตรเอชีลกลีเซอรอลซึ่งเป็นตัวบ่งชี้ว่าไตรเอชีลกลีเซอรอลที่มีอยู่ในน้ำมันชนิดนั้นสลายตัวจากปฏิกิริยา hydrolytic rancidity ที่พันธะเอสเตอร์ในไขมันเลกุลของไตรเอชีลกลีเซอรอลด้วยความร้อนและความชื้นที่อยู่ในตัวอาหาร หากมีค่าสูงแสดงว่าไม่เลกุลของไตรเอชีลกลีเซอรอลถูกสลายตัวได้เป็นกรดไขมันอิสระมากทำให้น้ำมันง่ายต่อการเกิดฟองบนผิวน้ำมันในขณะทอดและทำให้จุดเกิดควันและจุดดับไฟมีค่าลดลงและมีความว่องไวต่อปฏิกิริยาออกซิเดชันเพิ่มขึ้น ในการทอดไม่ควรมีปริมาณ FFA สูงเกินร้อยละ 2 (Chamber, 2000)

อุณหภูมิในการอบแห้งและปริมาณความชื้นหลังการอบแห้งมีผลทำให้การเพิ่มขึ้นของปริมาณ FFA ของน้ำมันหลังการทอดแตกต่างกันอย่างมีนัยสำคัญทางสถิติ ($P \leq 0.05$) โดยอุณหภูมิในการอบแห้งที่เพิ่มขึ้นจะมีผลต่อการเพิ่มขึ้นของปริมาณ FFA ลดลง ทั้งนี้เนื่องจากเมื่อใช้อุณหภูมิในการอบแห้งที่สูงขึ้นความชื้นที่เหลือในตัวอย่างข้าวแทนก่อนทอดลดลง เนื่องจากอุณหภูมิในการอบแห้งส่งผลต่อการระเหยความชื้นออกไประดีมาก เหลือความชื้นในตัวอย่างน้อยขึ้นส่งผลต่อการเกิดกรดไขมันอิสระได้น้อยลง ขณะที่ปริมาณความชื้นหลังการอบแห้งที่เพิ่มขึ้นจะทำให้เกิดปริมาณกรดไขมันอิสระเพิ่มขึ้น เนื่องจากปฏิกิริยาไฮโดรไลซิส ซึ่งความชื้นที่อยู่ในตัวอาหารจะถูกทำให้เกิดการแตกพันธะของไตรเอชีลกลีเซอรอลโดยเป็นกรดไขมันอิสระได้มากขึ้น ยิ่งเหลือความชื้นก่อนทอดมากเท่าไรส่งผลต่อการเกิด FFA ได้มากเท่านั้น ดังตาราง 9

อิทธิพลร่วมกันระหว่างอุณหภูมิในการอบแห้งและปริมาณความชื้นหลังการอบแห้งมีผลต่อความแตกต่างกันในการเพิ่มขึ้นของปริมาณ FFA ของน้ำมันที่ใช้หลังการทอดอย่างมีนัยสำคัญทางสถิติ ($P \leq 0.05$) โดยปริมาณความชื้นหลังการอบแห้งที่ลดลงในทุกอุณหภูมิของการอบแห้งส่งผลต่อการเกิดปริมาณ FFA ลดลง เนื่องจากเหตุผลดังที่กล่าวมาแล้ว ตัวอย่างข้าวแทนที่อบแห้งอุณหภูมิ 60 องศาเซลเซียส จนเหลือความชื้นร้อยละ 15 จะมีการเพิ่มขึ้นของปริมาณ FFA ในน้ำมันที่ใช้ทอดมากที่สุด เนื่องจากน้ำในข้าวแทนมีมากจึงถูกปลดปล่อยมาทำให้เกิดปฏิกิริยาไฮโดรไลซิสได้ดีกว่าตัวอย่างอื่น ๆ ขณะที่ตัวอย่างข้าวแทนที่อบแห้งอุณหภูมิ 70 องศาเซลเซียส จนเหลือความชื้นร้อยละ 5 จะมีการเพิ่มขึ้นของปริมาณ FFA ในน้ำมันที่ใช้ทอดต่ำที่สุด ดังตาราง 10 แต่ทุกตัวอย่างก็ยังมีค่าต่ำมาก คือ อยู่ในช่วงร้อยละ 0.0071-0.0024 เมื่อผ่านการทดสอบนา 2

ข้าวโไม่ โดยทดสอบติดต่อ กันและไม่เติมน้ำมันใหม่ในขณะทดสอบ เพราะโดยปกติในน้ำมันพืชเมื่อผ่านการทำให้บริสุทธิ์จะมี FFA ไม่เกินร้อยละ 0.05 (Chamber, 2000) มาตรฐานของน้ำมันที่ใช้แล้วมีค่า FFA ไม่เกินร้อยละ 5 (Chamber, 2000) และในที่นี้ได้รายงานในรูปของกรดคลอริก เพราะน้ำมันที่ใช้ทดสอบเป็นน้ำมันพสมะระห่วงน้ำมันจากเมล็ดปาล์มและน้ำมันมะพร้าว ซึ่งปกติในน้ำมันเมล็ดปาล์มน้ำกรดคลอริกสูงถึงร้อยละ 41.0-55.0 ในขณะที่ในน้ำมันมะพร้าว มีกรดคลอริกถึงร้อยละ 40.0-54.0 (Richard และ Brien, 1988)

3.2.2.2 ปริมาณค่อนjugated ไดอีน (Conjugated diene, CD)

สารประกอบพาก CD เป็นสารที่ไม่พบในธรรมชาติต่อจะเกิดขึ้นเมื่อน้ำมันเกิดการออกซิไดซ์ โดยเป็นสาร intermediate ของปฏิกิริยาการเกิดเพอร์ออกไซด์ (Wrolstad *et al.*, 1998)

อุณหภูมิในการอบแห้งมีความแตกต่างกันอย่างมีนัยสำคัญทางสถิติ ($P \leq 0.05$) ของการเพิ่มปริมาณ CD ในน้ำมันหลังการทดสอบ โดยอุณหภูมิในการอบแห้งสูงขึ้นส่งผลต่อการเพิ่มขึ้นของค่า CD ลดลง เนื่องจากอุณหภูมิในการอบในระดับสูงส่งผลต่อการเกิดปฏิกิริยาเมล็ดลาร์ด ได้มากขึ้น สารจากปฏิกิริยาเมล็ดลาร์ดเป็นสารต้านออกซิเดชันจึงทำให้ปริมาณ CD ที่เกิดขึ้นมีแนวโน้มลดลงในข้าวแทน รวมถึงการเปลี่ยนรูปแบบของ oxidation product ไปเป็นรูปแบบอื่น ค่า CD จึงมีแนวโน้มลดลง

อิทธิพลร่วมกันระหว่างอุณหภูมิในการอบแห้งและปริมาณความชื้นหลังการอบแห้งมีความแตกต่างกันอย่างมีนัยสำคัญทางสถิติ ($P \leq 0.05$) ของการเพิ่มปริมาณ CD ในน้ำมันที่เพิ่มขึ้นหลังการทดสอบ ดังตาราง 10 โดยค่า CD ในน้ำมันหลังทดสอบที่เกิดขึ้นของทุกอุณหภูมิในการอบแห้ง และทุกระดับความชื้นก่อนทดสอบมีแนวโน้มที่ผันผวน เนื่องจากการเปลี่ยนรูปแบบของปฏิกิริยาออกซิเดชันไปเป็นรูปแบบอื่น ๆ ซึ่งการเพิ่มขึ้นของค่า CD ในน้ำมันหลังทดสอบอยู่ในช่วง 3.54-15.03 ในโครโนมิล/กรัม โดยการเพิ่มขึ้นของปริมาณ CD ในน้ำมันที่ใช้ทดสอบในส่วนของข้าวแทนที่ผ่านการอบแห้งที่อุณหภูมิ 60 องศาเซลเซียส จะเหลือความชื้นร้อยละ 5 มีการเพิ่มขึ้นของปริมาณ CD ในน้ำมันหลังทดสอบสูงที่สุด มีผลต่อการเกิดไฮโดรเพอร์ออกไซด์ได้มากที่สุด ในขณะที่น้ำมันที่ผ่านการทดสอบข้าวแทนที่ผ่านการอบแห้งที่อุณหภูมิ 65 และ 70 องศาเซลเซียส จะเหลือความชื้นร้อยละ 5 และน้ำมันที่ผ่านการทดสอบข้าวแทนที่ผ่านการอบแห้งที่อุณหภูมิ 60 องศาเซลเซียส จะเหลือความชื้นร้อยละ 10 ให้ค่า CD ในน้ำมันหลังทดสอบต่ำที่สุด เนื่องจากการอบแห้งข้าวแทนจะเหลือความชื้นต่ำที่เป็นต้องใช้ระยะเวลาในการอบนานสามารถทำให้เกิดปฏิกิริยาเมล็ดลาร์ดได้มาก เช่นเดียวกัน

3.2.2.3 ค่าเพอร์ออกไซด์ (Peroxide value, PV)

ปริมาณความชื้นสุดท้ายหลังการอบแห้งมีผลต่อค่าความแตกต่างกันอย่างมีนัยสำคัญทางสถิติ ($P \leq 0.05$) ของการเพิ่มขึ้นของค่า PV ในน้ำมันที่เพิ่มขึ้นหลังการทอด โดยปริมาณความชื้นที่ลดลงส่งผลต่อการเพิ่มขึ้นของการเพิ่มขึ้นของค่า PV ในน้ำมันที่เพิ่มขึ้นหลังการทอด สูงขึ้น ดังข้อมูลในตาราง 9 ซึ่งบัดແยังกับที่กล่าวไว้ใน Fenmena (1996) อาจเนื่องจากเพอร์ออกไซด์ที่เกิดขึ้นสามารถเป็นสารอันตรายกว่าในสภาพที่มีความชื้นต่ำ โดยการทดสอบนี้เป็นการทดสอบตัวติดต่อภัณฑ์ 2 ชั้วโมง

อิทธิพลร่วมกันระหว่างอุณหภูมิในการอบแห้งและปริมาณความชื้นหลังการอบแห้งมีความแตกต่างกันของการเพิ่มขึ้นของค่า PV ในน้ำมันหลังทอดอย่างมีนัยสำคัญทางสถิติ ($P \leq 0.05$) ดังตาราง 10 โดยการเพิ่มขึ้นของค่า PV ในน้ำมันหลังทอดที่เกิดขึ้นของทุกอุณหภูมิในการอบแห้ง และทุกระดับความชื้นก่อนทดสอบมีแนวโน้มที่ผันผวน เพราะปริมาณไฮโดรเพอร์ออกไซด์ซึ่งเป็น primary oxidation product ที่ไม่มีสีและกลิ่นแต่สามารถถลายน้ำไปเป็นสารให้เกิดกลิ่นหืนอื่น ๆ ได้อย่างรวดเร็วและยากต่อการตรวจสอบ อัตราการเกิดไฮโดรเพอร์ออกไซด์จะมีค่าสูงขึ้นเรื่อย ๆ จนถึงจุดสูงสุดและค่อย ๆ ลดลงตามลำดับในระหว่างการเกิดปฏิกิริยาออกซิเดชัน การทดสอบเป็นเวลานานยิ่งทำให้ปริมาณไฮโดรเพอร์ออกไซด์เปลี่ยนเป็นสารอื่นได้มากยิ่งขึ้น และในการตรวจสอบอาจจะทำในช่วงที่ผ่านจุดสูงสุดและลดลงแล้ว ตัวอย่างน้ำมันที่ใช้ทดสอบข้าวแทนที่ผ่านการอบแห้งที่อุณหภูมิ 65 องศาเซลเซียส จะเหลือความชื้นร้อยละ 10 มีการเพิ่มขึ้นของค่า PV ในน้ำมันหลังทอดสูงที่สุดถึง 60.26 ± 8.82 มิลลิสมูลต์ต่อกรัม ในขณะที่น้ำมันที่ผ่านการทดสอบข้าวแทนที่ผ่านการอบแห้งที่อุณหภูมิ 65 องศาเซลเซียส โดยเหลือความชื้นร้อยละ 15 กลับให้ค่าต่ำสุดเพียง 32.48 ± 1.13 มิลลิสมูลต์ต่อกรัม เมื่อเทียบกับอุณหภูมิในการอบแห้งเดียวกัน การกำหนดค่า PV ในน้ำมันใหม่ที่ใช้ปรงอาหาร ควรมีค่าน้อยกว่า 10 มิลลิสมูลต์ต่อกรัม ในขณะที่น้ำมันที่มีกลิ่นหืนจะมีค่า PV ประมาณ 20-40 มิลลิสมูลต์ต่อกรัม (ปราณี, 2542)

3.2.2.4 ค่าพารา-อะนิซิดิน (p-Anisidine value, p-AV)

ในการตรวจสอบค่า p-AV เป็นการหาปริมาณอัลเดียร์ทั้งชนิด 2-alkenals และ 2, 4-dienals ที่เพิ่มขึ้น (AOCS, 1997) ซึ่งเป็น secondary oxidation product

อุณหภูมิในการอบแห้งและปริมาณความชื้นสุดท้ายหลังการอบแห้งมีความแตกต่างกันอย่างมีนัยสำคัญทางสถิติ ($P \leq 0.05$) ของการเพิ่มขึ้นของค่า p-AV ในน้ำมันหลังการทอด ดังข้อมูล

ในตาราง 9 โดยอุณหภูมิการอบแห้งที่สูงขึ้นจะเร่งปฏิกิริยาออกซิเดชันของไขมันได้มากขึ้นส่งผลต่อการเพิ่มขึ้นของค่า p-AV ในน้ำมันหลังทอดสูงขึ้น ขณะที่ปริมาณความชื้นหลังการอบแห้งที่ลดลงส่งผลต่อการเพิ่มค่า p-AV ในน้ำมันหลังทอดสูงขึ้น เนื่องจากขณะที่ความชื้นในตัวอย่างลดลงจะมีการเพิ่มค่า PV ในน้ำมันหลังทอดสูงขึ้น จึงสามารถแตกตัวเป็นอัลดีไฮด์ได้เพิ่มขึ้น

อิทธิพลร่วมกันระหว่างอุณหภูมิในการอบแห้งและปริมาณความชื้นหลังการอบแห้งมีความแตกต่างกันของการเพิ่มขึ้นของค่า p-AV ในน้ำมันหลังทอดที่เพิ่มขึ้นหลังการทอดอย่างมีนัยสำคัญทางสถิติ ($P \leq 0.05$) ดังตาราง 10 โดยการเพิ่มขึ้นของค่า p-AV ในน้ำมันหลังทอดที่เกิดขึ้นของทุกอุณหภูมิในการอบแห้งและทุกระดับความชื้นก่อนทอดมีแนวโน้มที่ผันผวน เนื่องจากเหตุผลดังได้กล่าวมาแล้วข้างต้น แนวโน้มการเพิ่มขึ้นของค่า p-AV ในน้ำมันที่ผ่านการทอดข้าวแทนที่ผ่านการอบแห้งที่อุณหภูมิ 60 และ 65 องศาเซลเซียส จนเหลือความชื้นร้อยละ 10 จะมีการเพิ่มขึ้นของค่า p-AV ต่ำกว่าข้าวแทนที่มีความชื้นร้อยละ 5 และ 15 ที่ระดับอุณหภูมิการอบแห้งเดียวกัน โดยมีค่าเท่ากับ 29.40 ± 3.33 และ 38.07 ± 1.09 ในขณะที่การเพิ่มขึ้นของค่า p-AV ที่ในระดับขี้นสูงสุดเป็นของน้ำมันที่ผ่านการทอดข้าวแทนที่ผ่านการอบแห้ง 60 องศาเซลเซียส จนเหลือความชื้นร้อยละ 15 ซึ่งมีค่าเท่ากับ 45.89 ± 1.78

3.2.2.5 ค่าทีบาร์ส (Thiobarbituric acid reactive substances, TBARS)

การวิเคราะห์การเพิ่มขึ้นของค่า TBARS เป็นการหาปริมาณอัลดีไฮด์ที่เพิ่มขึ้นเนื่องจากการแตกตัวของเพอร์ออกไซด์ที่ทำปฏิกิริยาเชิงซ้อนกับ Thiobarbituric acid (TBA)

อุณหภูมิในการอบแห้งและปริมาณความชื้นสูดท้าบทั้งการอบแห้งมีผลต่อความแตกต่างกันของค่า TBARS ของน้ำมันที่เพิ่มขึ้นหลังการทอดอย่างมีนัยสำคัญทางสถิติ ($P \leq 0.05$) โดยการอบแห้งที่อุณหภูมิ 65 องศาเซลเซียสมีผลต่อการเพิ่มขึ้นของค่า TBARS ของน้ำมันหลังทอดน้อยที่สุด เนื่องจากอุณหภูมิที่สูงขึ้นจะมีการระเหยอัลดีไฮด์ออกจากน้ำมัน และปริมาณความชื้นที่เหลือในข้าวแทนก่อนทอดร้อยละ 10 มีการเพิ่มขึ้นของค่า TBARS ในน้ำมันหลังทอดน้อยที่สุด เนื่องมาจากผลของการแตกตัวของเพอร์ออกไซด์และการเปลี่ยนรูปแบบของ oxidation product นี้ปัจจัยต่าง ๆ หลายปัจจัย เช่น สารที่เกิดขึ้นในขณะที่การอบแห้ง บางชนิดเป็นสารต้านออกซิเดชัน ความหนืดของน้ำมันจะสูงขึ้นหากทอดตัวอย่างที่มีความชื้นสูงและใช้น้ำมันในการทอดซ้ำ ซึ่งทำให้อัลดีไฮด์ระเหยได้ลดลง การเพิ่มขึ้นของค่า TBARS ในน้ำมันที่ทอดข้าวแทนที่มีความชื้นร้อยละ 15 มีค่าสูงกว่าชนิดที่มีความชื้นร้อยละ 10 ส่วนน้ำมันที่ผ่านการทอดข้าวแทนที่มีความชื้นร้อยละ 5

จะมีการเพิ่มขึ้นของค่า TBARS สูงกว่าชนิดที่มีความชันร้อยละ 10 เพราะแตกตัวจากไฮโดรเพอร์ออกไซด์

อิทธิพลร่วมกันระหว่างอุณหภูมิในการอบแห้งและปริมาณความชื้นหลังการอบแห้งมีผลต่อค่าความแตกต่างกันของค่า TBARS ของน้ำมันที่เพิ่มขึ้นหลังการหยอดย่างมีนัยสำคัญทางสถิติ ($P \leq 0.05$) ดังตาราง 10 โดยตัวอย่างน้ำมันที่ผ่านการหยอดข้าวแทนทุกอุณหภูมิในการอบแห้งจนเหลือความชันร้อยละ 10 มีการเพิ่มขึ้นของค่า TBARS ต่ำสุด เนื่องจากเหตุผลดังที่กล่าวมาแล้ว

3.2.2.6 ปริมาณสารคาร์บอนิล (Carbonyl Compounds, CC)

คุณลักษณะทางประสาทสัมผัสที่ไม่พึงประสงค์ของน้ำมันมีความสัมพันธ์กับสารประกอบ carcinogen ที่มาจากการเกิดปฏิกิริยาอําถือออกซิเดชันและเทอร์มอล็อกซิเดชันของน้ำมันที่ใช้หยอดอาหาร สารประกอบ carcinogen มีผลกระแทกอย่างมากต่อกลืนของอาหารเมื่อต้องทำการเปรียบเทียบกับสิ่งที่ดองรับรู้ได้ในอาหาร โดยมากมาจากไฮโดรคาร์บอน พูเรน แอลกอฮอล์ และอัลดีไฮด์ซึ่งเป็นสารหลักที่ทำให้สารที่ระเหยได้ซึ่งทำให้กลืนสิ่งที่ดองในอาหารสูญเสียไป ดังนั้นการตรวจสอบการเกิดออกซิเดชันของน้ำมันหรือไขมันในอาหารจะกัดขาดจากค่า CC

อุณหภูมิในการอบแห้งและปริมาณความชื้นสูดท้ายหลังการอบแห้งมีผลต่อค่าความแตกต่างกันของปริมาณ CC ของน้ำมันที่เพิ่มขึ้นหลังการหยอดย่างมีนัยสำคัญทางสถิติ ($P \leq 0.05$) โดยอุณหภูมิในการอบแห้งสูงขึ้นส่งผลต่อการเพิ่มขึ้นของปริมาณ CC ในน้ำมันหลังหยอดต่ำลงเนื่องจากผลของการอบแห้งตัวอย่างที่อุณหภูมิสูงขึ้นทำให้เกิดปฏิกิริยาเมตคาร์ดเพิ่มขึ้น ซึ่งเป็นสารต้านออกซิเดชันเกิดเพิ่มขึ้นจึงทำให้กรเพิ่มขึ้นของปริมาณ CC ที่อุณหภูมิสูงขึ้นมีค่าต่ำลง และปริมาณความชื้นที่เหลือร้อยละ 10 มีการเพิ่มขึ้นของปริมาณ CC ของน้ำมันหลังหยอดน้อยที่สุด ดังเหตุผลที่ค่าลักษณะที่อธิบายในค่า TBARS

อิทธิพลร่วมกันระหว่างอุณหภูมิในการอบแห้งและปริมาณความชื้นหลังการอบแห้งมีผลต่อค่าความแตกต่างกันของการเพิ่มขึ้นของปริมาณ CC ของน้ำมันหลังการหยอดย่างมีนัยสำคัญทางสถิติ ($P \leq 0.05$) ดังตาราง 10 โดยพบว่าเมื่ออุณหภูมิการอบแห้งข้าวแทนสูงขึ้นการเพิ่มขึ้นของค่า CC ในน้ำมันหลังหยอดสูงขึ้น และความชื้นข้าวแทนก่อนหยอดสูงขึ้นมีผลทำให้การเพิ่มขึ้นของค่า CC ในน้ำมันหลังหยอดสูงขึ้นด้วย

ดังนั้นในการคัดเลือกอุณหภูมิในการอบแห้งและปริมาณความชื้นที่เหมาะสมต่อผลิตภัณฑ์ข้าวแทนนั้นสามารถเลือกได้ที่ระดับความชันร้อยละ 10 เนื่องจากที่ระดับความชันร้อยละ 15 เมื่อผ่านระยะเวลาในการเก็บรักษาเพียง 2 วันที่ระดับอุณหภูมิห้อง ถังเกตได้ว่ามีเชื้อรานเจริญอยู่บนหน้า

ข้าวแทนแห้งเป็นจำนวนมาก ด้วยเหตุนี้จึงไม่สามารถเก็บข้าวแทนแห้งที่ระดับความชื้นร้อยละ 15 ที่อุณหภูมิห้องได้ เนื่องจากปริมาณความชื้นที่มีมากเกินไปในข้าวแทนแห้งจึงเป็นเหตุให้เชื้อราเจริญได้อย่างรวดเร็ว มีปริมาณการดูดซับน้ำมันมากที่สุดถึง 23.69 ± 1.35 เปอร์เซ็นต์ มีสีเหลืองซีดโดยมีค่า L* สูงถึง 30.02 ± 1.24 มีค่า a* เท่ากับ 3.40 ± 0.36 และมีค่า b* เท่ากับ 3.38 ± 0.20 และมีค่าความแข็งสูงถึง 12.40 ± 1.54 นิวตัน ซึ่งค่อนข้างแข็งเนื่องจากต้องใช้แรงมากที่สุดในการทำให้ผลิตภัณฑ์แตกออก ส่วนข้าวแทนที่มีความชื้นร้อยละ 5 นั้นมีสีค่อนข้างคล้ำออกสีแดงอิฐ โดยมีค่า L* เพียง 18.88 ± 0.77 มีค่า a* สูงถึง 9.30 ± 0.74 และมีค่า b* เพียง 1.52 ± 0.30 มีปริมาณชื้นที่แตกหักสูงถึง 13.58 ± 1.74 เปอร์เซ็นต์ ซึ่งเป็นค่าที่ชั้นข้าวแทนแตกหักมากที่สุด ส่วนระดับอุณหภูมิในการอบแห้งทั้ง 3 ระดับนั้นที่อุณหภูมิ 65 องศาเซลเซียส มีแนวโน้มในการใช้แรงลดลงที่ทำให้ผลิตภัณฑ์แตกน้อยที่สุด (กรอบมากที่สุด) ซึ่งเมื่อพิจารณาจากอุณหภูมิปัจจัยเดียวจะมีค่าไม่แตกต่างกันอย่างเห็นได้ชัด แต่หากพิจารณาปัจจัยร่วมระหว่างอุณหภูมิและปริมาณความชื้น ที่อุณหภูมิในการอบแห้ง 65 องศาเซลเซียส โดยเหลือความชื้นร้อยละ 10 จะพบว่าข้าวแทนมีความกรอบคี ดูดซับน้ำมันได้น้อยและมีสีไม่คล้ำ มีค่าความแข็ง 6.85 ± 1.07 นิวตัน และมีค่า L* เท่ากับ 27.10 ± 0.56 ซึ่งผลิตภัณฑ์ที่ได้มีสีที่ดี ส่วนข้าวแทนอบแห้งที่อุณหภูมิ 65 และ 70 มีค่าสมมูลของออกซิเจนต่อกิโลกรัมของไขมัน ที่ความชื้นร้อยละ 5 มีค่าความแข็ง 4.00 ± 1.39 และ 5.29 ± 1.22 นิวตัน ตามลำดับ ซึ่งเป็นค่าความกรอบที่น้อยที่สุด โดยที่ค่า L* อยู่ที่ 18.88 ± 0.77 และ 19.74 ± 1.10 ซึ่งผลิตภัณฑ์ที่ได้มีสีคล้ำ

ส่วนสมบัติทางเคมีที่ได้เป็นการตรวจสอบน้ำมันที่ใช้ทดสอบข้าวแทนหลังจากผ่านการทอดนาน 2 ชั่วโมงคิดต่อกัน เพื่อตรวจสอบถึงการเสื่อมคุณภาพของน้ำมันที่ใช้ทดสอบ ในกรณีนี้น้ำมันที่ใช้ทดสอบข้าวแทนที่ผ่านการอบแห้งอุณหภูมิ 65 องศาเซลเซียส โดยเหลือปริมาณความชื้นร้อยละ 10 พ布ว่ามีปริมาณกรดไขมันอิสระต่ำ มีค่าค่อนขุเกตต์ไดอินต์ต่ำซึ่งเป็นสารเริ่มต้นจากการเกิดปฏิกิริยาออกซิเดชันต่ำ รวมทั้งค่าพารา-อะนิชีตินและค่าทีบาร์สต์ต่ำ

ตาราง 9 ค่าเฉลี่ยของสารเพิ่มชุมชนของค่าต่าง ๆ ทางเคมีของน้ำมันหลักรสการทดสอบด้วยเทคนิคอิทธิพลบนไข่เจียวที่ถูก

รูปแบบ FFA (กรดสกัดริบิก) (%)	ปริมาณ CD (μmol/g)	ค่า PV (meq/kg)	ค่า p-AV	ค่า TBARS (mg/g)	ปริมาณ CC (μmol/g)
อัณหะนิยมอ่อนแหล่ง (T)					
60°C (T ₁)	0.0051 ^a ±0.0017	11.10 ^a ±7.55	42.85 ^{ns} ±9.71	38.58 ^b ±7.37	23.62 ^a ±9.81
65°C (T ₂)	0.0038 ^b ±0.0015	6.88 ^b ±1.99	46.09 ^{ns} ±13.79	36.99 ^b ±4.05	13.55 ^c ±7.69
70°C (T ₃)	0.0035 ^c ±0.0013	6.28 ^b ±2.50	40.95 ^{ns} ±4.84	42.31 ^a ±5.53	16.85 ^b ±5.00
ปริมาณความชื้น (M)					
15% (M ₁)	0.0059 ^a ±0.0010	8.68 ^{ns} ±4.30	37.26 ^b ±7.87	39.37 ^b ±5.87	21.40 ^a ±9.32
10% (M ₂)	0.0040 ^b ±0.0008	7.98 ^{ns} ±1.80	46.55 ^{ns} ±12.14	36.92 ^c ±6.21	9.90 ^b ±4.38
5 % (M ₃)	0.0025 ^c ±0.0006	7.60 ^{ns} ±7.71	46.09 ^a ±7.38	41.61 ^a ±5.69	22.71 ^a ±5.02

หมายเหตุ: ค่าในช่องตัวเลขเป็นค่าเฉลี่ยทั่วไปที่เป็นผลรวมจากอุณหภูมิของไข่เจียวที่ถูกทดสอบต่อไปนี้คือความแตกต่าง ๆ ที่เกิดขึ้นตามอย่างมีนัยสำคัญทางสถิติ ($p \leq 0.05$)
และค่าในช่องตัวเลขเป็นค่าเฉลี่ยที่ถูกทดสอบตามช่วงเวลาที่รีบูนห้องครัวไว้และความซ้ำซ้อนจะถูกรีบูนห้องครัวและทดสอบต่อไปนี้คือความแตกต่าง ๆ ที่เกิดขึ้นตามอย่างมีนัยสำคัญทางสถิติ ($p \leq 0.05$)
แต่หากกินครัวทั้ง 3 แบบความแตกต่างนี้ยังไม่ได้แสดงทางสถิติ ($p > 0.05$)

ตาราง 10 การเพิ่มสูญเสียของค่าต่าง ๆ ทางเคมีของน้ำมันหลักสิ่งการทดสอบที่อุณหภูมิคงที่ 3 ระดับ บนเหตุผลความชื้นก่อนทดสอบ 3 ระดับ

群组	ปริมาณ FFA (กรดไขมันรั่ว)	ปริมาณ CD (μmol/g)	ค่า PV (meq/kg)	ค่า p-AV	ค่า TBARS (mg/g)	ปริมาณ CC (μmol/g)
T ₁ × M ₁	0.0071 ^a ±0.0005	12.06 ^{ab} ±1.27	41.80 ^{bc} ±10.78	40.47 ^{bc} ±0.78	32.30 ^a ±2.12	1.34±0.37
T ₁ × M ₂	0.0050 ^b ±0.0004	6.20 ^c ±0.86	36.30 ^{cd} ±7.20	29.40 ^d ±3.33	11.45 ^e ±2.16	0.40 ^f ±0.07
T ₁ × M ₃	0.0032 ^g ±0.0002	15.03 ^a ±1.26	50.47 ^b ±5.45	45.89 ^a ±1.78	27.11 ^b ±5.96	1.97 ^a ±0.30
T ₂ × M ₁	0.0058 ^b ±0.0003	6.73 ^{bc} ±0.87	32.48 ^d ±1.13	32.18 ^d ±2.69	13.74 ^{de} ±2.69	1.20 ^{bc} ±0.64
T ₂ × M ₂	0.0033 ^{de} ±0.0003	8.54 ^{bc} ±2.21	60.26 ^a ±8.82	38.07 ^f ±1.09	4.65 ^f ±1.50	1.87 ^a ±0.06
T ₂ × M ₃	0.0024 ^f ±0.0003	5.37 ^e ±1.36	45.17 ^{bc} ±10.69	40.73 ^{bc} ±1.23	22.25 ^c ±2.42	0.94 ^{cd} ±0.09
T ₃ × M ₁	0.0050 ^c ±0.0004	7.24 ^{bc} ±1.39	37.14 ^{cd} ±6.71	45.45 ^a ±1.18	18.15 ^{cd} ±7.61	1.24 ^{bc} ±0.02
T ₃ × M ₂	0.0037 ^d ±0.0003	8.07 ^{bc} ±1.33	43.09 ^{bc} ±2.30	43.28 ^{ab} ±0.97	13.62 ^{de} ±2.43	0.59 ^{ef} ±0.06
T ₃ × M ₃	0.0020 ^g ±0.0003	3.54 ^c ±1.88	42.63 ^{bc} ±1.69	38.21 ^c ±8.28	18.78 ^c ±1.44	0.83 ^{de} ±0.17

หมายเหตุ: ค่าเฉลี่ยของต่อหน่วยที่ใช้วัดน้ำมันคงที่ตามแต่ละภาระกับน้ำมันสำหรับคุณภาพและต่อ ($p \leq 0.05$)

T₁ = อุณหภูมิในการอบแห้ง 60 °C

T₂ = อุณหภูมิในการอบแห้ง 65 °C

M₁ = ปริมาณความชื้นที่ทดสอบ 15

T₃ = อุณหภูมิในการอบแห้ง 70 °C

M₂ = ปริมาณความชื้นที่ทดสอบ 10

M₃ = ปริมาณความชื้นที่ทดสอบ 5

4. การศึกษานิคของน้ำมันที่ใช้ในการทดสอบ เวลาและอุณหภูมิในการทดสอบที่มีผลต่อข้าวแทน

4.1 การวิเคราะห์คุณภาพของข้าวแทนแห้งก่อนทดสอบ

4.1.1 ค่าปริมาณความชื้นและปริมาณน้ำอิสระ

ปริมาณความชื้นของตัวอย่างข้าวแทนแห้งของกลุ่มแม่น้ำบ้านฯ ที่ผ่านการผึ่งแดด 2 วันเป็นตัวอย่างควบคุมจำนวน 2 ตัวอย่างมีค่าเท่ากับร้อยละ 10.00 และ 10.12 โดยมีค่าแอกติวิตี้ของน้ำเท่ากับ 0.64 และ 0.65 ตามลำดับ ส่วนตัวอย่างข้าวแทนแห้งที่ได้จากการอบแห้งที่อุณหภูมิ 65องศาเซลเซียสเป็นเวลา 3.5-4 ชั่วโมงจำนวน 2 ตัวอย่าง เช่นเดียวกันมีค่าเท่ากับร้อยละ 9.67 และ 10.84 โดยมีค่าแอกติวิตี้ของน้ำเท่ากับ 0.59 และ 0.68 ตามลำดับ เพื่อเปรียบเทียบคุณภาพระหว่างตัวอย่างข้าวแทนที่ได้จากกลุ่มแม่น้ำบ้านและข้าวแทนที่อบแห้งด้วยตู้อบลมร้อนตามวิธีที่เหมาะสมในตอนที่ 3

4.2 การวิเคราะห์คุณภาพทางกายภาพของข้าวแทนหลังทดสอบ

4.2.1 ค่าสี

ชนิดของน้ำมันที่ใช้ทดสอบ เวลาและอุณหภูมิในการทดสอบมีผลต่อความแตกต่างกันของค่า L* a* และ b* ของข้าวแทนอย่างมีนัยสำคัญทางสถิติ ($P \leq 0.05$) ดังตาราง 11 โดยน้ำมันพรมทำให้ค่า L* a* และ b* ของข้าวแทนสูงกว่าชนิดที่ทดสอบค่าวัฒน้ำมันปาล์ม โอเลอิน เนื่องจากในน้ำมันปาล์ม โอเลอินมีสารคาโรทีโนยด์ (carotenoids) ซึ่งเป็นสารสีส้มอยู่ค่อนข้างสูงแม่น้ำมันปาล์ม โอเลอิน ได้ผ่านกรรมการทำให้บริสุทธิ์มาแล้วก็ตาม ขณะที่ค่า L* และ b* ของข้าวแทนจะลดลงตามเวลาในการทดสอบที่เพิ่มขึ้น แต่ค่า a* ของข้าวแทนจะเพิ่มขึ้นตามเวลาในการทดสอบที่เพิ่มขึ้น ในขณะที่อุณหภูมิการทดสอบ 200 องศาเซลเซียสมีผลทำให้ได้ค่า L* a* และ b* ของข้าวแทนสูงที่สุด เนื่องจากการทดสอบที่ใช้อุณหภูมิสูงและเวลาในการทดสอบนานส่งผลต่อการเกิดสีคล้ำในข้าวแทน โดยเกิดจากปฏิกิริยาเอนไซม์ตัวเร่งการออกฤทธิ์ที่อุณหภูมิสูงขึ้นและมีความชื้นลดลง

อิทธิพลร่วมระหว่าง 2 ปัจจัย ได้แก่ ชนิดของน้ำมันที่ใช้ทดสอบและอุณหภูมิในการทดสอบ ชนิดของน้ำมันที่ใช้ทดสอบและเวลาในการทดสอบ และอุณหภูมิและเวลาในการทดสอบมีผลต่อค่าความแตกต่างกันของค่า L* a* และ b* ของข้าวแทนอย่างมีนัยสำคัญทางสถิติ ($P \leq 0.05$) ดังตาราง 12 โดยชนิด

ของน้ำมันที่ใช้ทดสอบและอุณหภูมิในการทดสอบพบว่าการใช้น้ำมันผสมในการทดสอบที่อุณหภูมิสูงขึ้นมีผลทำให้ค่า L* ของข้าวแทนลดลง เมื่อใช้น้ำมันปาล์มโอลิเยอินทดสอบอุณหภูมิสูงขึ้น แนวโน้มของค่า L* ในข้าวแทนก็ลดลงเช่นกัน นอกจากนี้เมื่อเพิ่มเวลาในการทดสอบในน้ำมันทั้ง 2 ชนิด มีผลทำให้ค่า L* ลดลง เมื่อใช้อุณหภูมิในการทดสอบเพิ่มขึ้นและเวลาในการทดสอบเพิ่มขึ้นค่า L* จะลดลง เมื่ออุณหภูมิและเวลาในการทดสอบเพิ่มขึ้นจะเกิดปฏิกิริยาเมลาร์คในข้าวแทนเพิ่มขึ้น ส่วนน้ำมันปาล์มโอลิเยอินมีจุดเกิดควันสูงกว่าน้ำมันผสมซึ่งมีค่า L* ของข้าวแทนลดลงน้อยกว่าชนิดที่ใช้น้ำมันผสมทดสอบ

เมื่อพิจารณาอิทธิพลระหว่าง 2 ปัจจัยที่ผลต่อค่า a* พบร่วมกันที่ทดสอบโดยใช้น้ำมันผสม เมื่อทดสอบที่อุณหภูมิสูงขึ้นจะมีแนวโน้มของค่า a* ลดลง และเมื่อใช้อุณหภูมิเดียวกันค่า a* จะมีแนวโน้มต่ำลงเมื่อเปลี่ยนจากน้ำมันผสมเป็นน้ำมันปาล์มโอลิเยอิน และพบว่าเมื่อทดสอบเป็นเวลานานขึ้นในน้ำมันทั้ง 2 ชนิดจะทำให้ค่า a* ของข้าวแทนเพิ่มขึ้น ขณะที่ทำการทดสอบในเวลาเดียวกันแต่หากเปลี่ยนน้ำมันผสมเป็นน้ำมันปาล์มโอลิเยอินจะทำให้ค่า a* ของข้าวแทนลดลง

หากพิจารณาอิทธิพลร่วมระหว่าง 2 ปัจจัยที่มีต่อค่า b* พบร่วมกันที่อุณหภูมิสูงขึ้นของน้ำมันทั้ง 2 ชนิดจะทำให้ค่า b* ลดลง แต่ทุกอุณหภูมน้ำมันผสมจะให้ค่า b* สูงกว่าเมื่อใช้น้ำมันปาล์มโอลิเยอิน และพบว่าในน้ำมันทั้ง 2 ชนิดเมื่อทดสอบเป็นเวลานานขึ้นจะทำให้ได้ค่า b* ลดลง นอกจากนี้พบว่าทุกเวลาที่ใช้ในการทดสอบข้าวแทนน้ำมันผสมจะให้ค่า b* สูงกว่าเมื่อใช้น้ำมันปาล์มโอลิเยอิน

อิทธิพลร่วมระหว่าง 3 ปัจจัย ทั้งชนิดน้ำมันที่ใช้ทดสอบ อุณหภูมิและเวลา มีผลต่อค่าความแตกต่างกันของค่า L* a* และ b* ของข้าวแทนอย่างมีนัยสำคัญทางสถิติ ($P \leq 0.05$) ดังตาราง 13 เมื่อเปลี่ยนจากน้ำมันผสมเป็นน้ำมันปาล์มโอลิเยอินและทดสอบโดยใช้อุณหภูมิสูงขึ้น เวลาในการทดสอบเพิ่มขึ้นจะทำให้ได้ค่า L* ลดลง โดยค่า L* ที่เหมาะสมควรอยู่ในช่วง 24-26 ถ้าต่ำกว่า 24 ตีข้าวแทนจะออกโtonสีน้ำตาลซึ่งมีสีคล้ำเกินไป แต่ถ้าหากสูงกว่า 26 ตีจะซีดเกินไป ส่วนค่า a* ควรอยู่ในช่วง 4-5 และค่า b* ควรอยู่ในช่วง 3-4 ซึ่งจะทำให้ค่าสีของข้าวแทนมีสีเหลืองทองค่อนข้างสดใส ไม่晦องคล้ำและมีสีดีกว่าตัวอย่างควบคุม

4.2.2 จำนวนชิ้นที่แตกหัก

เวลาและอุณหภูมิในการทดสอบมีผลทำให้จำนวนชิ้นที่แตกหักแตกต่างกันอย่างมีนัยสำคัญทางสถิติ ($P \leq 0.05$) ดังตาราง 11 โดยอุณหภูมิในการทดสอบสูงขึ้นทำให้จำนวนชิ้นที่แตกหักของข้าวแทนเพิ่มขึ้น และเวลา ในการทดสอบเพิ่มขึ้นส่งผลต่อจำนวนชิ้นที่แตกหักของข้าวแทนเพิ่มขึ้น

เช่นเดียวกัน เนื่องจากการทดสอบที่อุณหภูมิสูงและเวลาในการทดสอบนานมีผลทำให้ข้าวแทนพองตัวได้เพิ่มขึ้น เนื่องจากความแห้งกร้านของข้าวแทนมีความเปราะจึงง่ายต่อการแตกหัก แต่พบว่าส่วนใหญ่มีการแตกหักน้อยกว่าตัวอย่างควบคุม

เมื่อพิจารณาปัจจัยร่วมระหว่าง 2 และ 3 ปัจจัยที่มีอิทธิพลต่อจำนวนชิ้นที่แตกหักพบว่าไม่มีความแตกต่างของย่างมีน้ำยำสำคัญทางสถิติ ($P>0.05$) แสดงว่าอิทธิพลของแต่ละปัจจัยหลังซึ่งกันและกันจนไม่เกิดความแตกต่างของย่างมีน้ำยำสำคัญทางสถิติ โดยปริมาณการแตกหักหลังการทดสอบมีตัวตั้งแต่ร้อยละ 2.22-17.78 โดยแนวโน้มของการแตกหักจะเพิ่มขึ้นเรื่อยๆ ตามอุณหภูมิและเวลาที่เพิ่มขึ้น

4.2.3 ค่าความแข็ง

ชนิดของน้ำมันที่ใช้ทดสอบ เวลาและอุณหภูมิในการทดสอบมีผลต่อค่าความแข็งต่างกันของค่าความแข็งของข้าวแทนอย่างมีน้ำยำสำคัญทางสถิติ ($P\leq0.05$) โดยน้ำมันปาล์ม โอลิอินทำให้ค่าความแข็งของข้าวแทนได้สูงกว่าชนิดที่ทดสอบด้วยน้ำมันพืช เนื่องจากน้ำมันพืชมีส่วนผสมของน้ำมันจากเมล็ดปาล์มและน้ำมันมะพร้าว มีสัดส่วนต่ำกว่าน้ำมันปาล์ม โอลิอินจึงทำให้ข้าวแทนขยายตัวน้อยกว่า เมื่อใช้น้ำมันปาล์ม โอลิอิน ข้าวแทนที่ขยายปริมาตรได้เพิ่มขึ้นจะคุ้มความชื้นได้สูงกว่าจึงมีความแข็งสูงขึ้น ขณะที่อุณหภูมิในการทดสอบสูงขึ้นทำให้การเกิดค่าความแข็งของข้าวแทนลดลงรวมทั้งเวลาในการทดสอบขึ้นทำให้ค่าความแข็งของข้าวแทนลดลง เนื่องจากการทดสอบที่อุณหภูมิสูงและใช้วลามานานส่งผลต่อการได้ความชื้นออกจากตัวอย่าง ได้อย่างรวดเร็ว ดังนั้น โครงสร้างของข้าวแทนให้มีลักษณะพองและกลวง จึงทำให้ข้าวแทนมีค่าความแข็งลดลง ดังตาราง 11

นอกจากนี้อิทธิพลร่วมระหว่าง 2 ปัจจัย คือ ชนิดของน้ำมันที่ใช้ทดสอบและอุณหภูมิในการทดสอบมีผลต่อค่าความแข็งต่างกันของค่าความแข็งของข้าวแทนอย่างมีน้ำยำสำคัญทางสถิติ ($P\leq0.05$) ดังตาราง 12 โดยการทดสอบในน้ำมันทั้ง 2 ชนิด ที่อุณหภูมิในการทดสอบที่สูงขึ้นส่งผลทำให้ค่าความแข็งของข้าวแทนลดลง เนื่องจากการทดสอบที่อุณหภูมิสูงขึ้นสามารถไล่ความชื้นออกจากข้าวแทนอย่างรวดเร็วได้มากขึ้น จึงดันโครงสร้างข้าวแทนให้เกิดรูพรุนในเนื้อข้าวแทน ได้ดีกว่า ค่าความแข็งที่ได้จึงลดลง

ส่วนอิทธิพลร่วมระหว่าง 2 ปัจจัยอื่นๆ ไม่มีความแตกต่างของย่างมีน้ำยำสำคัญทางสถิติ ($P>0.05$) เพราะแต่ละปัจจัยมีอิทธิพลหักล้างซึ่งกันและกันจนไม่เกิดความแตกต่างของย่างมีน้ำยำสำคัญทางสถิติ ค่าความแข็งของข้าวแทนมีค่าตั้งแต่ 1.67-4.89 นิวตัน การทดสอบที่อุณหภูมิต่ำและใช้เวลาอย่างน้อย ทำให้ข้าวแทนมีความแข็งสูงเนื่องจากการพองตัวของข้าวแทนขยายได้น้อย การเกะตัวของเม็ดข้าวค่อนข้างแน่น แต่การทดสอบที่อุณหภูมิสูงและเวลานานจะทำให้ข้าวแทนขยายตัวได้มากขึ้น

การเกาด์ตัวของเม็ดข้าวมีการคล้ายตัว ซึ่งมีความเบี้ยงเบ็ด นั่นคือข้าวแทนกรอบดี ดังข้อมูลในตาราง 13

4.2.4 ปริมาณน้ำมันที่ถูกคุกคัป

ชนิดของน้ำมันที่ใช้ทดสอบ เวลาและอุณหภูมิในการทดสอบไม่มีผลทำให้เกิดความแตกต่างกันอย่างมีนัยสำคัญทางสถิติ ($P>0.05$) ของปริมาณน้ำมันที่ถูกคุกคัปโดยข้าวแทน ดังตาราง 11

อิทธิพลร่วมกันระหว่าง 2 ปัจจัย คือ ชนิดของน้ำมันที่ใช้ทดสอบและเวลาในการทดสอบไม่มีทำให้เกิดความแตกต่างกันของปริมาณน้ำมันที่ถูกคุกคัปอย่างมีนัยสำคัญทางสถิติ ($P\leq0.05$) แต่ทุกชนิดมีปริมาณน้ำมันที่ถูกคุกคัปน้อยกว่าตัวอย่างควบคุม ซึ่งคือตัวอย่างของกลุ่มแม่บ้านที่ทดสอบที่อุณหภูมิ 200 องศาเซลเซียส เป็นเวลา 45 วินาที ดังตาราง 12

เมื่อพิจารณาอิทธิพลร่วมกันระหว่าง 3 ปัจจัยทั้งชนิดน้ำมันที่ใช้ทดสอบ อุณหภูมิและเวลาในการทดสอบพบว่า เมื่อเปลี่ยนจากน้ำมันพสมเป็นน้ำมันปาล์ม โอลิเยอินที่อุณหภูมิและเวลาทดสอบเดียวกัน ทุกช่วงจะมีผลทำให้ปริมาณน้ำมันที่ถูกคุกคัปโดยข้าวแทนมีแนวโน้มลดลง เพราะน้ำมันปาล์ม โอลิเยอินมีจุดเดือดสูงกว่าน้ำมันพสม ซึ่งมีการระเหยและถูกคุกคัปโดยข้าวแทนน้อยกว่า

ปริมาณน้ำมันที่ถูกคุกคัปของตัวอย่างควบคุมที่ผ่านการทดสอบด้วยน้ำมันพสมระหว่างน้ำมันเมล็ดปาล์มและน้ำมันมะพร้าวน้ำมีค่าสูงถึงร้อยละ 27.46 ± 1.91 และตัวอย่างควบคุมที่ผ่านการทดสอบด้วยน้ำมันปาล์ม โอลิเยอินมีปริมาณการคุกคัปน้ำมันสูงถึงร้อยละ 27.72 ± 3.55 โดยตัวอย่างทั้ง 2 มีค่าสูงกว่าตัวอย่างอื่น ๆ ดังตาราง 13

4.2.5 ปริมาตรที่ขยาย

ชนิดของน้ำมันที่ใช้ทดสอบ เวลาและอุณหภูมิในการทดสอบมีผลทำให้เกิดความแตกต่างกันอย่างมีนัยสำคัญทางสถิติ ($P\leq0.05$) ของการขยายปริมาตรข้าวแทน ดังตาราง 11 โดยการทดสอบในน้ำมันปาล์ม โอลิเยอินส่งผลต่อการเกิดขยายปริมาตรได้สูงกว่าการใช้น้ำมันพสมในการทดสอบข้าวแทน เนื่องจากน้ำมันปาล์ม โอลิเยอินมีจุดเดือดที่สูงกว่าน้ำมันพสม จึงคงตัวต่อความร้อนได้ดีกว่า ส่งผลต่อการได้ความร้อนออกจากการตัวอย่าง ได้ดีกว่าน้ำมันพสม ดันโครงสร้างของข้าวแทนให้มีขนาดใหญ่ขึ้น ส่วนอุณหภูมิและเวลาในการทดสอบที่สูงขึ้นส่งผลต่อการขยายปริมาตรของข้าวแทนได้สูงขึ้น เนื่องจากการทดสอบที่อุณหภูมิสูงและใช้เวลาในการทดสอบนานส่งผลต่อการระเหยความชื้นออกจากตัวอย่าง ได้มากขึ้น ทำให้เกิดช่องว่างในเนื้อข้าวแทน ได้มากขึ้นปริมาตรจึงขยายได้มากขึ้น

อิทธิพลร่วมระหว่าง 2 ปัจจัยทุกรูปแบบและ 3 ปัจจัย ไม่มีความแตกต่างกันอย่างมีนัยสำคัญทางสถิติ ($P>0.05$) เป็นผลมาจากการอิทธิพลของแต่ละปัจจัยหักล้างซึ่งกันและกัน

เมื่อเปรียบเทียบสิ่งทดลองต่าง ๆ กับตัวอย่างควบคุมพบว่า ตัวอย่างควบคุมมีการดูดซับน้ำมันสูงกว่าสิ่งทดลองอื่น ๆ และมีสีคล้ำ โดยการทดสอบที่อุณหภูมิ 220 องศาเซลเซียส ทั้ง 3 เวลา ข้าวแทนที่ได้มีสีคล้ำเนื่องจากเกิดการใหมม์ค่า L* และ b* ลดลง ในขณะที่การทดสอบที่อุณหภูมิ 200 องศาเซลเซียส กับทำให้มีค่า L* และ b* เพิ่มขึ้น แต่ค่า L* ที่มีมากเกินไปกับทำให้ตัวอย่างข้าวแทนมีสีเหลืองซีดดังการทดสอบที่อุณหภูมิ 200 องศาเซลเซียส ที่ผู้บริโภคไม่ยอมรับ อุณหภูมิที่เหมาะสมจึงเป็นอุณหภูมิ 210 องศาเซลเซียส ที่ตัวอย่างข้าวแทนที่ได้ออกสีเหลืองทองจนถึงเหลืองน้ำตาล และเวลาที่เหมาะสมคือ ทดสอบ 30 วินาที เพราะมีค่า L* เท่ากับ 24.00 ± 1.10 มีค่ามากที่สุดเมื่อเทียบกับการทดสอบที่อุณหภูมิเดียวกันแต่เป็นเวลา 40 และ 50 วินาที มีค่า b* เท่ากับ 4.31 ± 1.82 เท่ากันกับการทดสอบที่อุณหภูมิ 210 องศาเซลเซียส นาน 40 วินาที ที่มีค่า b* เท่ากับ 4.27 ± 0.89 ปริมาณการดูดซับน้ำมันของการทดสอบที่อุณหภูมิ 210 องศาเซลเซียส นาน 40 วินาที มีค่าสูงถึงร้อยละ 24.44 ± 2.52 ในขณะที่การทดสอบที่อุณหภูมิ 210 องศาเซลเซียส นาน 30 วินาที มีค่าเพียงร้อยละ 23.45 ± 1.51 ซึ่งมีค่าน้อยกว่า

ตาราง 11 ค่าผลต่างคุณสมบัติทางกายภาพของห้องเผาเมล็ดข้าวตามต่อไปนี้ของจากอิฐพิเศษและก้อนหินทราย

ปัจจัย	ค่าเสีย			จำนวนชนิดแตกหัก (%)	ค่าความแข็ง (N)	ปริมาณผ้าม่านที่บูรณาด้วย (%)	ปริมาณหินทราย (%)
	L*	a*	b*				
ผู้บ่มเมล็ดข้าวหยอด (O)							
น้ำบ่มผัดสน (O_1)	25.38 ^a ±1.83	5.20 ^a ±0.87	5.93 ^a ±2.30	8.65 ^{ns} ±5.81	2.77 ^b ±1.01	23.81 ^{ns} ±2.92	328 ^{±60}
น้ำบ่มปลาส์เมล็ดอิน (O_2)	26.46 ^b ±3.25	4.27 ^b ±1.03	4.47 ^b ±1.22	8.48 ^{ns} ±8.42	3.37 ^a ±1.08	23.55 ^{ns} ±3.35	406 ^a ±106
อุณหภูมิหยอด (T)							
Control 200 °C (T_c)	26.21 ^b ±0.87	4.77 ^a ±1.19	5.77 ^b ±2.16	7.50 ^b ±6.53	2.39 ^c ±0.37	27.72 ^{ns} ±2.73	310 ^c ±63
200°C (T_1)	28.36 ^a ±2.51	4.80 ^a ±1.19	7.05 ^a ±1.54	5.37 ^b ±3.59	3.98 ^a ±0.88	22.66 ^{ns} ±3.45	326 ^c ±95
210°C (T_2)	24.07 ^d ±1.91	4.95 ^a ±1.05	4.88 ^a ±1.32	7.00 ^b ±5.39	2.94 ^b ±1.01	23.34 ^{ns} ±2.04	354 ^b ±72
220°C (T_3)	25.23 ^c ±2.02	4.44 ^b ±0.84	3.48 ^d ±0.91	13.67 ^a ±9.00	2.52 ^f ±0.92	23.70 ^{ns} ±2.85	440 ^a ±79
เวลาหยอด (t)							
Control 45 sec (t_c)	26.21 ^a ±0.87	4.77 ^{ab} ±1.19	5.77 ^a ±2.16	7.50 ^b ±6.53	2.39 ^c ±0.37	27.72 ^{ns} ±2.73	310 ^c ±63
30 sec (t_1)	26.68 ^a ±3.20	4.45 ^b ±1.07	5.79 ^a ±2.03	6.65 ^b ±5.83	3.95 ^a ±0.87	23.27 ^{ns} ±2.77	344 ^b ±82
40 sec (t_2)	26.18 ^a ±2.30	4.87 ^a ±0.96	5.07 ^b ±1.80	8.80 ^b ±6.18	3.03 ^b ±0.99	22.93 ^{ns} ±2.66	381 ^a ±96
50 sec (t_3)	24.80 ^b ±2.57	4.86 ^a ±1.08	4.54 ^c ±1.83	10.58 ^a ±9.08	2.46 ^f ±0.94	23.49 ^{ns} ±3.13	395 ^a ±101

หมายเหตุ: ค่าในช่องส่วนนี้คือค่าของหินทรายที่บ่มด้วยสาลีและก้อนหินทรายที่บ่มด้วยสาลีที่มีความแข็งต่ำกว่าหินทรายที่บ่มด้วยสาลีที่มีความแข็งต่ำ ($p \leq 0.05$)

ค่าในช่องส่วนนี้คือค่าของหินทรายที่บ่มด้วยสาลีที่มีความแข็งต่ำ ($p \leq 0.05$)

ค่าในช่องส่วนนี้คือค่าของหินทรายที่บ่มด้วยสาลีที่มีความแข็งต่ำ ($p \leq 0.05$)

แต่หากกำกับด้วยกร ไม่มีความแตกต่างอย่างมีนัยสำคัญทางสถิติ ($p > 0.05$)

ตาราง 12 ค่าเฉลี่ยคุณสมบัติทางกายภาพทางชลศาสตร์ของชาติพิชตรัตนธรรมระหว่าง 2 ปีงวด

ปีงวด	ค่าตัวอย่าง		จำนวนชนิด		ค่าความเร่ง		ปริมาณน้ำหนัก		ปริมาณที่หาย	
	L*	a*	b*	ที่แสดงหัก (%)	(N)	ที่ยกเว้น (%)	ที่ยกเว้น (%)	ที่ยกเว้น (%)	ที่ยกเว้น (%)	ที่ยกเว้น (%)
$O \times T$										
$O_1 \times T_c$	26.39 ^b ±1.09	5.54 ^{ab} ±1.18	7.82 ^a ±0.55	10.00 ^{ns} ±7.60	2.44 ^{el} ±0.38	24.46 ^{ns} ±1.91	365 ^{ns} ±29			
$O_1 \times T_1$	26.80 ^b ±1.64	5.77 ^a ±0.61	8.31 ^a ±0.47	5.18 ^{ns} ±2.35	3.74 ^{ab} ±0.84	22.81 ^{ns} ±3.38	287 ^{ns} ±51			
$O_1 \times T_2$	25.22 ^c ±1.57	4.77 ^c ±0.75	5.78 ^b ±0.94	7.82 ^{ns} ±6.77	2.66 ^{de} ±0.86	23.20 ^{ns} ±2.14	301 ^{ns} ±42			
$O_1 \times T_3$	23.77 ^d ±0.90	4.93 ^c ±0.77	3.06 ^d ±1.02	12.48 ^{ns} ±4.39	2.03 ⁱ ±0.67	24.20 ^{ns} ±2.49	383 ^{ns} ±38			
$O_2 \times T_c$	26.03 ^{bc} ±0.60	4.00 ^d ±0.50	3.72 ^c ±0.60	5.00 ^{ns} ±4.59	2.34 ^{cf} ±0.38	27.99 ^{ns} ±3.55	255 ^{ns} ±29			
$O_2 \times T_1$	29.92 ^a ±2.26	3.82 ^d ±0.72	5.78 ^b ±0.81	5.56 ^{ns} ±4.57	4.22 ^g ±0.88	22.50 ^{ns} ±3.61	365 ^{ns} ±113			
$O_2 \times T_2$	22.91 ^d ±1.47	5.12 ^{bc} ±1.27	3.98 ^e ±0.90	6.18 ^{ns} ±3.54	3.22 ^{bc} ±1.07	23.47 ^{ns} ±1.98	408 ^{ns} ±54			
$O_2 \times T_3$	26.69 ^b ±1.75	3.94 ^d ±0.56	3.89 ^c ±0.98	14.86 ^{ns} ±12.02	3.02 ^{cd} ±0.87	23.21 ^{ns} ±3.17	496 ^{ns} ±68			
$O \times t$										
$O_1 \times t_c$	26.39 ^{ab} ±1.09	5.54 ^a ±1.18	7.82 ^a ±0.55	10.00 ^{ns} ±7.60	2.44 ^{ns} ±0.38	27.46 ^a ±1.91	365 ^{ns} ±29			
$O_1 \times t_1$	25.39 ^{bc} ±0.60	4.59 ^b ±0.87	6.57 ^b ±2.42	7.18 ^{ns} ±5.47	3.63 ^{ns} ±0.88	22.23 ^b ±2.40	303 ^{ns} ±56			
$O_1 \times t_2$	25.83 ^{bc} ±2.49	5.24 ^a ±0.56	5.50 ^c ±2.24	8.50 ^{ns} ±5.29	2.74 ^{ns} ±0.99	23.31 ^b ±2.33	325 ^{ns} ±64			
$O_1 \times t_3$	24.57 ^c ±1.52	5.66 ^a ±0.67	5.07 ^{cd} ±2.10	9.80 ^{ns} ±6.17	2.06 ^{ns} ±0.62	24.66 ^b ±2.99	343 ^{ns} ±58			
$O_2 \times t_c$	26.03 ^{bc} ±1.18	4.00 ^b ±0.50	3.72 ^c ±0.47	5.00 ^{ns} ±4.59	2.34 ^{ns} ±0.38	27.99 ^a ±3.55	255 ^{ns} ±29			
$O_2 \times t_1$	27.97 ^a ±3.34	4.32 ^b ±1.24	5.01 ^{cd} ±1.13	6.13 ^{ns} ±6.29	4.27 ^{ns} ±0.75	24.31 ^b ±2.79	386 ^{ns} ±85			
$O_2 \times t_2$	26.53 ^{ab} ±2.87	4.51 ^b ±1.13	4.64 ^{cde} ±1.07	9.10 ^{ns} ±7.12	3.32 ^{ns} ±0.91	22.55 ^b ±2.98	438 ^{ns} ±89			
$O_2 \times t_3$	25.02 ^{bc} ±3.45	4.06 ^b ±0.77	4.00 ^{de} ±1.35	11.37 ^{ns} ±11.42	2.86 ^{ns} ±1.04	22.32 ^b ±2.90	446 ^{ns} ±109			

1871:12 (90)

ក្រុង	$\Gamma \times t$	តាត់		ចំណាំនិង ព័ត៌មានអង្គភាព (%)		ការរាយប្រើប្រាស់ (N)		បរិនាយកដំណឹង ទៅការទូទៅ (%)		បរិមាណទីតាំង (%)				
		L*	a*	b*	ព័ត៌មានអង្គភាព (%)	ការរាយប្រើប្រាស់ (N)	ព័ត៌មានអង្គភាព (%)	បរិនាយកដំណឹង ទៅការទូទៅ (%)						
T _c	26.21 ^{sd}	0.87	4.77 ^{ns}	±1.19	5.77 ^{ns}	±2.16	7.50 ^{ns}	±6.53	2.39 ^{ns}	±0.37	27.72 ^{ns}	±2.74	310 ^{ns}	±63
T ₁ × t ₁	29.90 ^a	±2.04	4.39 ^{ns}	±1.05	7.60 ^{ns}	±1.84	3.06 ^{ns}	±3.32	4.71 ^{ns}	±0.51	23.29 ^{ns}	±4.06	314 ^{ns}	±100
T ₁ × t ₂	28.17 ^b	±1.92	4.78 ^{ns}	±1.07	6.91 ^{ns}	±1.45	5.83 ^{ns}	±3.52	4.00 ^{ns}	±0.75	21.90 ^{ns}	±2.50	324 ^{ns}	±72
T ₁ × t ₃	27.02 ^{bc}	±2.71	5.22 ^{ns}	±1.33	6.62 ^{ns}	±1.16	7.22 ^{ns}	±2.78	3.22 ^{ns}	±0.65	22.78 ^{ns}	±3.74	341 ^{ns}	±112
T ₂ × t ₁	23.98 ^{fg}	±1.20	4.73 ^{ns}	±1.21	5.63 ^{ns}	±1.51	5.34 ^{ns}	±4.93	3.89 ^{ns}	±0.43	23.22 ^{ns}	±2.30	326 ^{ns}	±60
T ₂ × t ₂	24.99 ^{def}	±1.97	5.29 ^{ns}	±0.92	4.83 ^{ns}	±0.96	7.24 ^{ns}	±5.12	2.79 ^{ns}	±0.47	23.74 ^{ns}	±2.18	361 ^{ns}	±85
T ₂ × t ₃	23.23 ^g	±2.08	4.83 ^{ns}	±0.95	4.16 ^{ns}	±1.02	8.42 ^{ns}	±6.05	2.15 ^{ns}	±1.05	23.05 ^{ns}	±1.70	376 ^{ns}	±63
T ₃ × t ₁	26.17 ^{cd}	±2.70	4.24 ^{ns}	±0.91	4.15 ^{ns}	±0.92	11.57 ^{ns}	±5.53	3.25 ^{ns}	±0.89	23.30 ^{ns}	±1.64	394 ^{ns}	±60
T ₃ × t ₂	25.39 ^{dc}	±1.62	4.55 ^{ns}	±0.75	3.45 ^{ns}	±0.76	13.33 ^{ns}	±6.96	2.30 ^{ns}	±0.81	23.15 ^{ns}	±3.11	458 ^{ns}	±77
T ₃ × t ₃	24.14 ^{eg}	±0.75	4.52 ^{ns}	±0.84	2.83 ^{ns}	±0.44	16.11 ^{ns}	±12.94	2.02 ^{ns}	±0.53	24.66 ^{ns}	±3.48	467 ^{ns}	±80

卷之三

$$O_2 = \text{H}_2\text{O} + \text{H}_2$$

1 = ចាប់ពីថ្ងៃទី ៤៥ ក្នុងខែ មិថុនា ឆ្នាំ ២០០១
1 = ចាប់ពីថ្ងៃទី ៣០ ក្នុងខែ មិថុនា ឆ្នាំ ២០០១
1 = ចាប់ពីថ្ងៃទី ២០ ក្នុងខែ មិថុនា ឆ្នាំ ២០០១
1 = ចាប់ពីថ្ងៃទី ១០ ក្នុងខែ មិថុនា ឆ្នាំ ២០០១
1 = ចាប់ពីថ្ងៃទី ០១ ក្នុងខែ មិថុនា ឆ្នាំ ២០០១

ตาราง 13 คุณสมบัติทางกายภาพของถังกรองน้ำที่ได้รับการทดสอบแล้วแต่ต้นอิฐพลาสติกชนิดของน้ำที่ใช้ทดสอบ ถังกรองน้ำที่ได้รับการทดสอบ

ปัจจัย	ค่าตัวอย่าง			จำนวนชิ้น ที่ตรวจหัก (%)	ค่าความแข็ง (N)	ปริมาณน้ำหนัก ที่ถูกดูดซึม (%)	ปริมาณที่หาย (%)
	L*	a*	b*				
O ₁ × T _C × t _c	26.39 ^c ± 1.09	5.54 ^{bc} ± 1.18	7.82 ^b ± 0.55	10.00 ^{ns} ± 7.60	2.44 ^{ns} ± 0.38	27.46 ^{ab} ± 1.91	365 ^{ns} ± 29
O ₁ × T ₁ × t ₁	28.53 ^b ± 0.53	5.35 ^{bc} ± 0.40	9.21 ^a ± 0.70	3.89 ^{ns} ± 3.28	4.54 ^{ns} ± 0.39	20.64 ^c ± 1.29	273 ^{ns} ± 68
O ₁ × T ₁ × t ₂	26.80 ^c ± 0.69	5.67 ^{ab} ± 0.46	8.11 ^b ± 0.91	5.56 ^{ns} ± 1.72	3.86 ^{ns} ± 0.46	22.96 ^{cde} ± 3.02	284 ^{ns} ± 42
O ₁ × T ₁ × t ₃	25.07 ^{de} ± 1.11	6.31 ^a ± 0.56	7.61 ^b ± 0.22	6.11 ^{ns} ± 1.36	2.81 ^{ns} ± 0.44	24.82 ^{abc} ± 4.18	303 ^{ns} ± 37
O ₁ × T ₂ × t ₁	23.96 ^{cfs} ± 1.35	4.03 ^{ef} ± 0.40	6.96 ^c ± 0.50	6.86 ^{ns} ± 5.75	3.67 ^{ns} ± 0.31	23.00 ^{cde} ± 3.03	285 ^{ns} ± 33
O ₁ × T ₂ × t ₂	26.69 ^c ± 0.74	4.84 ^{cd} ± 0.54	5.40 ^{de} ± 0.67	7.73 ^{ns} ± 7.25	2.62 ^{ns} ± 0.31	23.03 ^{cde} ± 1.71	299 ^{ns} ± 58
O ₁ × T ₂ × t ₃	25.02 ^{dc} ± 1.15	5.46 ^{bc} ± 0.47	4.97 ^{ef} ± 0.49	8.85 ^{ns} ± 8.25	1.70 ^{ns} ± 0.25	23.56 ^{cde} ± 1.78	318 ^{ns} ± 23
O ₁ × T ₃ × t ₁	23.69 ^{fs} ± 1.16	4.39 ^{de} ± 1.03	3.56 ^{ij} ± 0.47	10.78 ^{ns} ± 5.40	2.69 ^{ns} ± 0.60	23.07 ^{cde} ± 2.04	351 ^{ns} ± 19
O ₁ × T ₃ × t ₂	23.99 ^{cgs} ± 0.89	5.20 ^{bc} ± 0.37	2.99 ^k ± 0.59	12.22 ^{ns} ± 3.44	1.73 ^{ns} ± 0.56	23.93 ^{cde} ± 2.40	391 ^{ns} ± 25
O ₁ × T ₃ × t ₃	23.64 ^{fg} ± 0.65	5.23 ^{hc} ± 0.43	2.64 ^k ± 0.36	14.44 ^{ns} ± 4.04	1.67 ^{ns} ± 0.18	25.61 ^{abc} ± 2.68	407 ^{ns} ± 43
O ₂ × T _C × t _c	26.03 ^{cd} ± 0.60	4.00 ^{ef} ± 0.50	3.72 ^{hi} ± 0.47	5.00 ^{ns} ± 4.59	2.34 ^{ns} ± 0.38	27.72 ^a ± 3.55	255 ^{ns} ± 29
O ₂ × T ₁ × t ₁	31.26 ^a ± 2.10	3.44 ^f ± 0.38	6.00 ^d ± 0.97	2.22 ^{ns} ± 1.72	4.89 ^{ns} ± 0.58	25.94 ^{abc} ± 4.22	355 ^{ns} ± 113
O ₂ × T ₁ × t ₂	29.53 ^b ± 1.77	3.88 ^{ef} ± 0.66	5.72 ^d ± 0.69	6.11 ^{ns} ± 1.36	4.13 ^{ns} ± 0.96	20.84 ^{de} ± 1.37	363 ^{ns} ± 76
O ₂ × T ₁ × t ₃	28.98 ^b ± 2.40	4.14 ^{cf} ± 0.91	5.63 ^d ± 0.78	8.33 ^{ns} ± 3.90	3.63 ^{ns} ± 0.60	20.73 ^{de} ± 1.83	379 ^{ns} ± 148

ପ୍ରକାଶନ ୧୩ (୭୦)

ชื่อปัจจัย	ค่าเฉลี่ย		จำนวนผู้ที่สนใจ (%)		ค่าความเสี่ยง (N)		ปริมาณน้ำฝนที่ถูกคาดคะเน (%)		ปริมาณรากที่เข้ามา (%)					
	L*	a*	b*	ที่แสดงหัก (%)	ที่แสดงหัก (%)	ที่แสดงหัก (%)	ที่แสดงหัก (%)	ที่แสดงหัก (%)	ที่แสดงหัก (%)	ที่แสดงหัก (%)				
O ₂ × T ₂ × t ₁	24.00 ^{ns}	±1.10	5.43 ^{bc}	±1.36	4.31 ^{sh}	±1.82	3.81 ^{ss}	±4.55	4.11 ^{ns}	±0.43	23.45 ^{cde}	±1.51	367 ^{ns}	±34
O ₂ × T ₂ × t ₂	23.29 ^s	±1.08	5.74 ^{ab}	±1.03	4.27 ^{gh}	±0.89	6.75 ^{ns}	±2.11	2.96 ^{ns}	±0.54	24.44 ^{bcd}	±2.52	424 ^{ns}	±55
O ₂ × T ₂ × t ₃	21.45 ^h	±0.84	4.21 ^{dc}	±0.89	3.35 ^{ij}	±0.72	7.99 ^{ns}	±4.91	2.60 ^{ns}	±1.35	22.53 ^{cde}	±1.59	434 ^{ns}	±22
O ₂ × T ₃ × t ₁	28.65 ^b	±0.66	4.09 ^{ef}	±0.81	4.73 ^{fg}	±0.89	12.35 ^{ns}	±5.87	3.81 ^{ns}	±0.78	23.53 ^{cde}	±1.26	436 ^{ns}	±56
O ₂ × T ₃ × t ₂	26.78 ^c	±0.64	3.91 ^{ef}	±0.34	3.92 ^{hi}	±0.63	14.44 ^{ns}	±7.72	2.88 ^{ns}	±0.59	23.38 ^{cde}	±3.75	526 ^{ns}	±44
O ₂ × T ₃ × t ₃	24.65 ^{ef}	±0.43	3.82 ^{ef}	±0.46	3.01 ^{jk}	±0.46	17.78 ^{ns}	±13.44	2.36 ^{ns}	±0.55	22.72 ^{cde}	±4.16	526 ^{ns}	±61

សាខាតិ (p>0.05)

$$\text{If } \lim_{n \rightarrow \infty} f_n(x) = 0 \text{ for all } x \in E, \text{ then } f(x) = 0 \text{ for all } x \in E.$$

$T_c = \text{อุณหภูมิควบคุมในการทดสอบ } 200^\circ\text{C}$ $T_1 = \text{อุณหภูมิในการทดสอบ } 200^\circ\text{C}$ $T_2 = \text{อุณหภูมิในการทดสอบ } 210^\circ\text{C}$ $T_3 = \text{อุณหภูมิในการทดสอบ } 220^\circ\text{C}$
 $t = \text{เวลาควบคุมในการทดสอบ } 45 \text{ วินาที}$ $t_1 = \text{เวลาในการทดสอบ } 30 \text{ วินาที}$ $t_2 = \text{เวลาในการทดสอบ } 40 \text{ วินาที}$ $t_3 = \text{เวลาในการทดสอบ } 50 \text{ วินาที}$

4.3 การวิเคราะห์การเปลี่ยนแปลงคุณภาพทางเคมีของน้ำมันที่เกิดขึ้นหลังการทอด

4.3.1 ปริมาณกรดไขมันอิสระ (FFA)

ชนิดของน้ำมันที่ใช้ทอด เวลาและอุณหภูมิในการทอดมีผลทำให้เกิดความแตกต่างกันอย่างมีนัยสำคัญทางสถิติ ($P \leq 0.05$) ของการเพิ่มขึ้นของปริมาณ FFA ในน้ำมันหลังการทอด ดังตาราง 14 โดยการทอดในน้ำมันพรมทำให้การเพิ่มขึ้นของปริมาณ FFA ในน้ำมันหลังการทอดสูงกว่าน้ำมันปาล์ม โอลิเยน เนื่องจากน้ำมันปาล์ม โอลิเยนมีจุดเกิดควันสูงกว่าดังกล่าวในตาราง 3 ซึ่งเกิดการแตกตัวโดย thermal hydrolysis ได้น้อยกว่าน้ำมันพรมและกรดไขมันอิสระเปลี่ยนรูปแบบของ oxidation product เป็นรูปแบบอื่น ๆ ปริมาณ FFA ที่ได้จัดคละ ในขณะที่อุณหภูมิในการทอดสูงขึ้นส่งผลต่อการเพิ่มขึ้นของปริมาณ FFA ของน้ำมันหลังการทอดสูงขึ้น เนื่องจากการทอดที่อุณหภูมิสูงขึ้นจะทำให้เกิดปฏิกิริยาไฮโดรไลซิสเนื่องจากความร้อนได้เพิ่มขึ้น ส่วนเวลาในการทอดข้าวแทนที่เพิ่มขึ้นทำให้การเพิ่มขึ้นของปริมาณ FFA ลดลง เพราะกรดไขมันส่วนหนึ่งจะหายไปอีกส่วนหนึ่งเกิดปฏิกิริยาต่อเนื่องซึ่งให้มีการเพิ่มขึ้นในช่วงต้นและลดลง

อิทธิพลร่วมระหว่าง 2 ปัจจัย ได้แก่ ชนิดของน้ำมันที่ใช้ทอดและอุณหภูมิในการทอด ชนิดของน้ำมันที่ใช้ทอดและเวลาในการทอด และอุณหภูมิและเวลาในการทอดมีผลต่อค่าความแตกต่างกันของการเพิ่มขึ้นปริมาณ FFA ในน้ำมันหลังการทอดอย่างมีนัยสำคัญทางสถิติ ($P \leq 0.05$) ดังตาราง 15 โดยอิทธิพลลดระหว่างชนิดของน้ำมันที่ใช้ทอดและอุณหภูมิในการทอดพบว่า การเพิ่มขึ้นของปริมาณ FFA ในน้ำมันหลังทอดจะสูงขึ้นตามอุณหภูมิที่สูงขึ้น และอุณหภูมิเดียวกันแต่เปลี่ยนจากน้ำมันพรมเปลี่ยนเป็นน้ำมันปาล์ม โอลิเยนพบว่า การเพิ่มขึ้นของปริมาณ FFA ในน้ำมันหลังทอดต่ำลงซึ่งสอดคล้องกับเหตุผลที่อิทธิพลของปัจจัยเดียวกันข้างต้น อิทธิพลร่วมระหว่างชนิดของน้ำมันที่ใช้ทอดและเวลาในการทอดพบว่า ในน้ำมันชนิดเดียวกันแต่หากใช้เวลาในการทอดข้าวแทนนานขึ้นจะมีผลทำให้การเพิ่มขึ้นของปริมาณ FFA ในน้ำมันหลังการทอดต่ำลง และหากเปลี่ยนจากน้ำมันพรมมาเป็นน้ำมันปาล์ม โอลิเยนเมื่อเทียบเวลาในการทอดเท่ากันพบว่า การเพิ่มขึ้นของปริมาณ FFA ต่ำลง ซึ่งสอดคล้องกับเหตุผลคล้ายคลึงกับที่กล่าวมาแล้วข้างต้นในอิทธิพลของปัจจัยเดียว นอกจากนี้อิทธิพลร่วมระหว่างอุณหภูมิและเวลาในการทอดพบว่า เมื่อใช้เวลาในการทอดเพิ่มขึ้นในทุกอุณหภูมิของการทอดมีแนวโน้มการเพิ่มขึ้นของปริมาณ FFA ในน้ำมันหลังการทอดต่ำลง ขณะที่ทุกเวลาของการทอดเมื่อมีอุณหภูมิในการทอดข้าวแทนสูงขึ้นการเพิ่มขึ้นของปริมาณ FFA จะสูงขึ้น

อิทธิพลร่วม 3 ปีจัย ชนิดของน้ำมันที่ใช้ทดสอบ เวลาและอุณหภูมิในการทดสอบมีผลต่อค่าความแตกต่างกันของปริมาณ FFA ของน้ำมันหลังการทดสอบย่างมีนัยสำคัญทางสถิติ ($P \leq 0.05$) ดังตาราง 16 โดยพบว่าน้ำมันทั้ง 2 ชนิด เมื่อมีอุณหภูมิการทดสอบเดียวกันแต่เวลาทดสอบเพิ่มขึ้นจะมีการเพิ่มขึ้นของปริมาณ FFA ในน้ำมันหลังการทดสอบต่างๆ ขณะที่น้ำมันทั้ง 2 ชนิดเมื่อทดสอบที่เวลาเดียวกันแต่อุณหภูมิเพิ่มขึ้นจะมีการเพิ่มขึ้นของปริมาณ FFA ในน้ำมันหลังการทดสอบสูงขึ้น ขณะที่เมื่อทดสอบที่อุณหภูมิและเวลาในการทดสอบเดียวกันแต่เปลี่ยนจากน้ำมันผสมเป็นน้ำมันปาล์มโอลีอินพบว่า การเพิ่มขึ้นของปริมาณ FFA ในน้ำมันหลังการทดสอบต่างๆ ทั้งนี้อิทธิพลร่วมระหว่าง 3 ปีจัย สอดคล้องกับอิทธิพลของปัจจัยเดียวและอิทธิพลร่วมระหว่าง 2 ปีจัย

4.3.2 ปริมาณคอนจูเกต ไคอิน (CD)

ชนิดของน้ำมันที่ใช้ทดสอบและอุณหภูมิในการทดสอบมีผลต่อค่าความแตกต่างกันของการเพิ่มขึ้นของปริมาณ CD ในน้ำมันหลังการทดสอบย่างมีนัยสำคัญทางสถิติ ($P \leq 0.05$) ดังตาราง 14 โดยการทดสอบในน้ำมันปาล์ม โอลีอินมีผลต่อการเพิ่มขึ้นของปริมาณ CD ในน้ำมันหลังการทดสอบสูงกว่า น้ำมันผสมเนื่องจากน้ำมันปาล์ม โอลีอินมีกรดไขมันชนิดไม่อิ่มตัวอยู่สูงมากกว่าร้อยละ 50 ซึ่งสามารถเกิดการข่ายพันธะคู่ของไตรกลีเซอโรลได้ง่ายกว่าน้ำมันผสมที่มีกรดไขมันชนิดอิ่มตัวอยู่สูงในขณะที่อุณหภูมิการทดสอบสูงขึ้นจาก 200 เป็น 210 และ 220 องศาเซลเซียส จะทำให้การเพิ่มขึ้นของปริมาณ CD ในน้ำมันหลังการทดสอบสูงขึ้นเมื่อเพิ่มอุณหภูมิทดสอบจาก 200 องศาเซลเซียส เป็น อุณหภูมิ 210 องศาเซลเซียส และลดลงเมื่อทดสอบที่อุณหภูมิ 220 องศาเซลเซียส เพราะสาร CD เมื่อมีปริมาณเพิ่มขึ้นในระดับหนึ่งจะเกิดปฏิกิริยาต่อเนื่องเป็นสารอื่นปริมาณ CD ที่ได้จึงลดลง

อิทธิพลร่วมระหว่าง 2 ปีจัย ได้แก่ ชนิดของน้ำมันที่ใช้ทดสอบและอุณหภูมิในการทดสอบ อุณหภูมิและเวลาในการทดสอบมีผลต่อค่าความแตกต่างกันอย่างมีนัยสำคัญทางสถิติ ($P \leq 0.05$) ของ การเพิ่มขึ้นของปริมาณ CD ในน้ำมันหลังการทดสอบ ดังตาราง 15 โดยอิทธิพลร่วมระหว่างชนิดของน้ำมันที่ใช้ทดสอบและอุณหภูมิในการทดสอบพบว่า เมื่อเปลี่ยนจากน้ำมันผสมเป็นน้ำมันปาล์ม โอลีอิน การเพิ่มขึ้นของปริมาณ CD ในน้ำมันหลังการทดสอบจะสูงขึ้น เมื่อใช้อุณหภูมิในการทดสอบเดียวกันและ เมื่อใช้น้ำมันทดสอบชนิดเดียวกันแต่ทดสอบที่อุณหภูมิสูงขึ้นหรือทดสอบที่เวลานานขึ้นก็จะทำให้เกิดการเพิ่มขึ้นของค่า CD ในน้ำมันหลังทดสอบสูงขึ้นด้วย ในขณะอิทธิพลร่วมระหว่างอุณหภูมิและเวลาในการทดสอบที่มีต่อการเพิ่มขึ้นของปริมาณ CD พบว่า มีการเพิ่มขึ้นและลดลงอย่างแปรปรวนทั้งนี้อาจเนื่องมาจากการเกิดสาร CD ขึ้นในปริมาณหนึ่งจะเกิดปฏิกิริยาออกซิเดชันต่อเนื่องไปเป็นสารอื่น

อิทธิพลร่วม 3 ปัจจัยทั้งชนิดของน้ำมันที่ใช้ทดสอบ เวลาและอุณหภูมิในการทดสอบมีผลต่อค่าความแตกต่างกันอย่างมีนัยสำคัญทางสถิติ ($P \leq 0.05$) ของการเพิ่มขึ้นของปริมาณ CD ในน้ำมันหลังการทดสอบ ดังตาราง 16 พบว่ามีการเสริมอิทธิพลเพิ่มขึ้นระหว่างชนิดของน้ำมันที่ใช้ทดสอบโดยการเพิ่มขึ้นของปริมาณ CD จะสูงขึ้นมากในน้ำมันปาล์ม โอลิอินที่อุณหภูมิและเวลาในการทดสอบทุก ๆ ช่วง

4.3.3 ค่าเพอร์ออกไซด์ (PV)

ชนิดของน้ำมันที่ใช้ทดสอบ เวลาและอุณหภูมิในการทดสอบมีผลต่อค่าความแตกต่างกันอย่างมีนัยสำคัญทางสถิติ ($P \leq 0.05$) ของการเพิ่มขึ้นของค่า PV ในน้ำมันหลังการทดสอบ ดังตาราง 14 โดยการทดสอบในน้ำมันปาล์ม โอลิอินจะทำให้การเพิ่มขึ้นของค่า PV ในน้ำมันหลังการทดสอบสูงกว่าน้ำมันพสมเนื่องจากน้ำมันปาล์ม โอลิอินมีกรดไขมันชนิดไม่อิ่มตัวอยู่สูงมากกว่าร้อยละ 50 จึงง่ายต่อการเกิดปฏิกิริยาออกซิเดชัน ในขณะที่อุณหภูมิการทดสอบ 210 องศาเซลเซียส ส่งผลต่อการเกิดค่า PV ในน้ำมันหลังการทดสอบต่ำที่สุด เมื่อจากมีอัตราการถลายตัวไปเป็นสารอื่นสูงสุดที่อุณหภูมนี้ ส่วนเวลาในการทดสอบที่ 30 วินาที ส่งผลต่อการเพิ่มขึ้นของค่า PV ในน้ำมันหลังการทดสอบต่ำที่สุด เมื่อจากเป็นเวลาในการทดสอบที่ต่ำกว่าอีก 2 เวลาที่เหลือ จึงมีโอกาสในการเกิดค่า PV ในน้ำมันหลังการทดสอบลง

อิทธิพลร่วมกันระหว่าง 2 ปัจจัย ได้แก่ ชนิดของน้ำมันที่ใช้ทดสอบและอุณหภูมิในการทดสอบ อุณหภูมิและเวลาในการทดสอบมีผลต่อค่าความแตกต่างกันอย่างมีนัยสำคัญทางสถิติ ($P \leq 0.05$) ของการเพิ่มขึ้นของค่า PV ในน้ำมันหลังการทดสอบ ดังตาราง 15 โดยอิทธิพลร่วมระหว่างชนิดของน้ำมันที่ใช้ทดสอบและอุณหภูมิในการทดสอบพบว่า การใช้น้ำมันปาล์ม โอลิอินในการทดสอบที่อุณหภูมิสูงขึ้นจะทำให้การเพิ่มขึ้นของค่า PV ในน้ำมันหลังการทดสอบสูงขึ้น เช่นเดียวกับการใช้อุณหภูมิในการทดสอบสูงขึ้นในทุก ๆ เวลาของทดสอบมีแนวโน้มที่ทำให้การเพิ่มขึ้นของค่า PV ในน้ำมันหลังการทดสอบสูงขึ้นด้วย เมื่อจากการสัมผัสรู้สึกที่อุณหภูมิสูงขึ้นจึงเกิดปฏิกิริยาออกซิเดชันได้มากขึ้น ขณะที่อิทธิพลระหว่างอุณหภูมิและเวลาในการทดสอบพบว่า เวลาในการทดสอบเพิ่มขึ้นในทุกอุณหภูมิ ส่งผลต่อการเกิดค่า PV ในน้ำมันหลังการทดสอบลง เมื่อจากการเกิดสารเพอร์ออกไซด์จะเพิ่มขึ้นจนถึงระดับที่มีความเข้มข้นเพียงพอจึงเกิดการแตกตัวเป็นสารใหม่จึงลดลงในเวลาต่อมาอย่างรวดเร็ว โดยการกระตุ้นจากอุณหภูมิในการทดสอบที่สูงขึ้นและเวลาในการทดสอบที่เพิ่มขึ้นส่งผลต่อการเปลี่ยนรูปแบบของ oxidation product เป็นสารชนิดอื่นได้ง่าย

อิทธิพลร่วมกันระหว่าง 3 ปัจจัย ชนิดของน้ำมันที่ใช้ทดสอบ อุณหภูมิและเวลาในการทดสอบ มีความแตกต่างกันอย่างมีนัยสำคัญทางสถิติ ($P \leq 0.05$) ของการเพิ่มขึ้นของค่า PV ในน้ำมันหลังการทดสอบ ดังตาราง 16 โดยการทดสอบที่อุณหภูมิและเวลาเดียวกันของทุกช่วงจะพบว่า การเพิ่มขึ้นของค่า PV ในน้ำมันหลังการทดสอบมีค่าสูงขึ้นเมื่อใช้น้ำมันปาล์ม โอลิเยน ซึ่งสอดคล้องกับการเพิ่มขึ้นของปริมาณ CD ดังเหตุผลเช่นเดียวกับที่กล่าวไว้แล้วในการเพิ่มขึ้นของค่า CD

4.3.4 ค่าพารา-อะนิชีน (p-AV)

ชนิดของน้ำมันที่ใช้ทดสอบ เวลาและอุณหภูมิในการทดสอบมีความแตกต่างกันอย่างมีนัยสำคัญทางสถิติ ($P \leq 0.05$) ของการเพิ่มขึ้นของค่า p-AV ในน้ำมันหลังการทดสอบ ดังตาราง 14 โดยการทดสอบในน้ำมันปาล์ม โอลิเยนมีผลต่อการเกิดค่า p-AV ของน้ำมันหลังการทดสอบสูงกว่าน้ำมันผสมมาก เนื่องจากน้ำมันปาล์ม โอลิเยนมีกรดไขมันชนิดไม่อิ่มตัวอยู่สูงมากกว่าร้อยละ 50 จึงมีโอกาสเกิดปฏิกิริยาออกซิเดชันได้่ายกกว่าน้ำมันผสมอีกด้วย ผลต่อการเกิดปริมาณอัลดีไฮด์ ในขณะที่อุณหภูมิและเวลาในการทดสอบสูงขึ้นส่งผลต่อการเพิ่มขึ้นของค่า p-AV ในน้ำมันหลังการทดสอบสูงขึ้น เนื่องจากการทดสอบที่อุณหภูมิสูงและใช้เวลาในการทดสอบนานส่งผลต่อการเกิดเทอร์มอ็อกซิเดชัน และออกไซด์ชันสูงขึ้น

อิทธิพลร่วมระหว่าง 2 ปัจจัย ได้แก่ ชนิดของน้ำมันที่ใช้ทดสอบและอุณหภูมิในการทดสอบ ชนิดของน้ำมันที่ใช้ทดสอบและเวลาในการทดสอบ และอุณหภูมิและเวลาในการทดสอบมีความแตกต่างกันอย่างมีนัยสำคัญทางสถิติ ($P \leq 0.05$) ของการเพิ่มขึ้นของค่า p-AV ในน้ำมันหลังการทดสอบ ดังตาราง 15 โดยอิทธิพลระหว่างชนิดของน้ำมันที่ใช้ทดสอบและอุณหภูมิในการทดสอบพบว่า การใช้ทดสอบในน้ำมันปาล์ม โอลิเยนมีการเพิ่มขึ้นของค่า p-AV สูงกว่าเมื่อทดสอบในน้ำมันผสม เช่นเดียวกับอุณหภูมิในการทดสอบซึ่งน้ำมันชนิดเดียวกันแต่ใช้อุณหภูมิในการทดสอบข้าวแทนสูงขึ้นจะทำให้การเพิ่มขึ้นของค่า p-AV สูงขึ้น นอกจากนี้อิทธิพลระหว่างชนิดน้ำมันที่ใช้ทดสอบและเวลาในการทดสอบพบว่า ในน้ำมันชนิดเดียวกันแต่ทดสอบในเวลาเพิ่มขึ้นจะทำให้การเพิ่มขึ้นของค่า p-AV สูงขึ้น เนื่องจากน้ำมันผสมมีกรดไขมันชนิดอิ่มตัวอยู่สูงถึงร้อยละ 70 จึงเกิดปฏิกิริยาออกไซด์ชันได้ช้ากว่าน้ำมันปาล์ม โอลิเยน และอิทธิพลระหว่างอุณหภูมิและเวลาในการทดสอบพบว่า การทดสอบที่อุณหภูมิสูงขึ้น และใช้เวลาในการทดสอบเพิ่มขึ้นส่งผลต่อการเพิ่มขึ้นของค่า p-AV ในน้ำมันหลังการทดสอบเพิ่มขึ้น เนื่องจากการทดสอบที่อุณหภูมิและใช้เวลาในการทดสอบนานมีผลกระทบตื้นๆ ให้เกิดปฏิกิริยาออกซิเดชัน เนื่องจากความร้อนที่เพิ่มขึ้น

อิทธิพลร่วมกันระหว่าง 3 ปัจจัย ชนิดของน้ำมันที่ใช้ทดสอบ อุณหภูมิและเวลาในการทดสอบมีความแตกต่างกันอย่างมีนัยสำคัญทางสถิติ ($P \leq 0.05$) ของการเพิ่มขึ้นของค่า p-AV ในน้ำมันหลังการทดสอบ ดังตาราง 16 โดยพบว่าใช้น้ำมันชนิดเดียวกัน อุณหภูมิในการทดสอบเดียวกันแต่ใช้เวลาในการทดสอบข้าวแทนเพิ่มขึ้นมีผลต่อการเพิ่มขึ้นของค่า p-AV ในน้ำมันหลังการทดสอบโดยมีแนวโน้มเพิ่มขึ้น และพบว่าเมื่อทดสอบข้าวแทน โดยเปลี่ยนจากน้ำมันพาราфинเป็นน้ำมันปาล์ม โอเลอินที่อุณหภูมิเดียวกันและเวลาในการทดสอบเดียวกันจะทำให้การเพิ่มขึ้นของค่า p-AV ในน้ำมันหลังการทดสอบสูงขึ้นซึ่งสอดคล้องกับที่เกิดขึ้นในปัจจัยเดียว

4.3.5 ค่าทีบาร์ส (TBARS)

ชนิดของน้ำมันที่ใช้ทดสอบ อุณหภูมิและเวลาในการทดสอบมีผลต่อค่าความแตกต่างกันอย่างมีนัยสำคัญทางสถิติ ($P \leq 0.05$) ของการเพิ่มขึ้นของค่า TBARS ในน้ำมันหลังการทดสอบ ดังตาราง 14 โดยการทดสอบในน้ำมันปาล์ม โอเลอินมีผลต่อการเพิ่มขึ้นของค่า TBARS ในน้ำมันหลังการทดสอบสูงกว่าน้ำมันพาราфин เมื่อจากน้ำมันปาล์ม โอเลอินมีกรดไขมันชนิดไม่อิ่มตัวอยู่สูงมากกว่าร้อยละ 50 จึงมีโอกาสเกิดปฏิกิริยาออกซิเดชันได้ง่ายกว่าน้ำมันพาราфин จึงส่งผลต่อการเกิดอัลดีไฮด์ได้มากกว่าในขณะที่อุณหภูมิและเวลาในการทดสอบเพิ่มขึ้นส่งผลต่อการเพิ่มขึ้นของค่า TBARS ในน้ำมันหลังการทดสอบต่ำลง เนื่องจากผลของความร้อนจากการกระบวนการทดสอบสูงมากกว่าถึง 200 องศาเซลเซียส ใช้เวลาทดสอบนานมีผลต่อการระเหยสารอัลดีไฮด์ที่เกิดขึ้นในระหว่างการทดสอบบางส่วน การเพิ่มขึ้นของค่า TBARS ที่เกิดขึ้นจึงต่ำลง

อิทธิพลร่วมกันระหว่าง 2 ปัจจัย ได้แก่ ชนิดของน้ำมันที่ใช้ทดสอบและอุณหภูมิในการทดสอบ ชนิดของน้ำมันที่ใช้ทดสอบและเวลาในการทดสอบ และอุณหภูมิและเวลาในการทดสอบมีความแตกต่างกันอย่างมีนัยสำคัญทางสถิติ ($P \leq 0.05$) ของการเพิ่มขึ้นของค่า TBARS ในน้ำมันหลังการทดสอบ ดังตาราง 15 โดยชนิดของน้ำมันที่ใช้ทดสอบและอุณหภูมิในการทดสอบพบว่า การใช้น้ำมันพาราฟินที่อุณหภูมิเพิ่มขึ้นมีผลต่อการเพิ่มขึ้นของค่า TBARS ในน้ำมันหลังการทดสอบต่ำลง เนื่องจากน้ำมันพาราฟินมีกรดไขมันชนิดอิ่มตัวสูงถึงร้อยละ 70 จึงทำปฏิกิริยาออกซิเดชันได้ช้ากว่าน้ำมันปาล์ม โอเลอิน ส่งผลต่อการเพิ่มขึ้นของสารอัลดีไฮด์ได้ต่ำกว่า ส่วนอิทธิพลระหว่างชนิดของน้ำมันที่ใช้ทดสอบและเวลาในการทดสอบพบว่า การทดสอบในน้ำมันพาราฟินในเวลาที่เพิ่มขึ้นส่งผลต่อการเพิ่มขึ้นของค่า TBARS ในน้ำมันหลังทดสอบต่ำลง ดังเหตุผลที่ได้กล่าวมาแล้วข้างต้น ส่วนอุณหภูมิและเวลาในการทดสอบพบว่า การทดสอบที่อุณหภูมิเพิ่มขึ้นและใช้เวลาในการทดสอบเพิ่มขึ้นมีผลต่อเพิ่มขึ้นของค่า TBARS ในน้ำมันหลังทดสอบต่ำลง เนื่องจากการทดสอบที่อุณหภูมิสูงขึ้นและใช้เวลานานมีผลในการกระตุ้นใน

การระเหยสารอัลกีไฮด์ที่เกิดขึ้นในระหว่างการทดสอบไปรบกวนส่วน การเพิ่มขึ้นของค่า TBARS จึงต่ำลง

อิทธิพลร่วมกันระหว่าง 3 ปัจจัย ชนิดของน้ำมันที่ใช้ทดสอบ อุณหภูมิและเวลาในการทดสอบผลต่อค่าความแตกต่างกันของการเพิ่มขึ้นของค่า TBARS อย่างมีนัยสำคัญทางสถิติ ($P \leq 0.05$) ดังตาราง 16 โดยน้ำมันปาล์ม โอลีвинมีผลต่อการเพิ่มค่า TBARS ในน้ำมันหลังการทดสอบสูงกว่าก่อนว่าน้ำมันผสมที่อุณหภูมิและเวลาในการทดสอบเดียวกัน ขณะที่การใช้น้ำมันชนิดเดียวกัน เวลาในการทดสอบเดียวกันแต่อุณหภูมิในการทดสอบเพิ่มขึ้นทำให้การเพิ่มขึ้นของค่า TBARS ต่ำลง นอกจากนี้ที่อุณหภูมิเดียวกัน น้ำมันชนิดเดียวกันแต่ทดสอบข้าวแทนนานขึ้นทำให้การเพิ่มขึ้นของค่า TBARS ในน้ำมันหลังการทดสอบมีแนวโน้มต่ำลง การใช้อุณหภูมิและเวลาในการทดสอบทุก ๆ ระดับมีผลต่อการเพิ่มขึ้นของค่า TBARS ในน้ำมันหลังการทดสอบ เนื่องจากการตรวจหาค่า TBARS เป็นการหารปริมาณมาลอนอัลกีไฮด์ซึ่งเกิดขึ้นในช่วงของการทดสอบที่เกิดปฏิกิริยาออกโตออกซิเดชัน ค่า TBARS จะยิ่งสูงแสดงถึงการเหมือนกันในน้ำมันยิ่งเกิดขึ้นได้มาก

เมื่อเปรียบเทียบการเปลี่ยนแปลงคุณภาพของน้ำมันหลังการทดสอบระหว่างสิ่งทดลองต่าง ๆ และตัวอย่างควบคุมพบว่า คุณภาพของน้ำมันที่ได้จากตัวอย่างควบคุมมีการเพิ่มขึ้นของค่า CD PV p-AV และค่า TBARS ก่อนข้างสูง เมื่อเทียบกับสิ่งทดลองอื่น ๆ

การคัดเลือกชนิดของน้ำมันที่ใช้ทดสอบ อุณหภูมิและเวลาในการทดสอบที่เหมาะสมของข้าวแทน โดยอาศัยสมบัติทางกายภาพของข้าวแทนในการคัดสิน สามารถเลือกชนิดของน้ำมันที่ใช้ทดสอบ คือ น้ำมันปาล์ม โอลีvin เนื่องจากไม่เป็นไข่ที่อุณหภูมิห้องและไม่ต้องเสียเวลาในการอุ่นน้ำมันก่อน การทดสอบ เหมือนในน้ำมันผสมระหว่างน้ำมันเมล็ดปาล์มและน้ำมันมะพร้าวที่มีกรดไขมันอิมตัวอยู่สูง จึงเป็นไข่ที่อุณหภูมิห้องรวมทั้งน้ำมันผสมระหว่างไข่เจียวที่มีการสูญเสียระหว่างการทดสอบ เนื่องจากมีจุดเดือดต่ำกว่าน้ำมันปาล์ม โอลีvin จึงระยะเวลาได้สูงกว่า นอกจากนี้น้ำมันผสมมีราคาแพงกว่าแม้ว่าน้ำมันปาล์ม โอลีvin จะถูกกว่า น้ำมันผสม อุณหภูมิที่เหมาะสมสำหรับการทดสอบข้าวแทนที่อุณหภูมิ 210 องศาเซลเซียส และเวลาที่เหมาะสม ก็อ ทดสอบนาน 30 วินาที ตัวอย่างข้าวแทนที่ได้ออกสีเหลืองทองจนถึงเหลืองน้ำตาล และปริมาณการดูดซับน้ำมันก่อนข้างต่ำ ส่วนการเปลี่ยนแปลงสมบัติของน้ำมันหลังการทดสอบพบว่า น้ำมันปาล์ม โอลีvin ทำให้การเพิ่มขึ้นของกรดไขมันอิสระหลังการทดสอบต่ำกว่าน้ำมันผสม เนื่องจากมีจุดเดือดกว่า 210 องศาเซลเซียส มีการเพิ่มขึ้นของค่า CD และ PV ต่ำกว่าอุณหภูมิอื่นเมื่อใช้น้ำมันชนิดเดียวกัน ส่วนเวลาในการทดสอบ 30 วินาที มีการเพิ่มขึ้นของค่า PV และ TBARS ต่ำที่สุด ซึ่งทั้งชนิดของน้ำมัน อุณหภูมิและเวลาที่ใช้ในการทดสอบเหมาะสมสอดคล้องกันทั้งผลทางกายภาพของข้าวแทน และผลทางเคมีของการเปลี่ยนแปลงคุณภาพน้ำมันที่ใช้ทดสอบ

ตาราง 14 ค่าผลลัพธ์การเพิ่มชนวนของค่าต่างๆ ทางเคมีของน้ำมันหลัจฉาการทดสอบที่วัดบนน้ำมันเครื่องของเครื่องจักรซึ่งผลของน้ำมันจะถูกหลัก

ปั๊บชัย	ปริมาณ FFA (กรดไขมันอิสระ)(%)	ปริมาณ CD (μmol/g)	ค่า PV (meq/kg)	ค่า p-AV	ค่า TBARS (mg/g)
น้ำมันที่ใช้ทดสอบ (O ₂)	0.028 ^a ±0.012	3.75 ^b ±2.06	3.20 ^b ±0.57	8.53 ^b ±2.84	17.79 ^b ±4.48
น้ำมันปาล์มน้ำมัน (O ₂)	0.015 ^b ±0.009	6.40 ^a ±3.75	5.60 ^a ±1.51	25.10 ^a ±6.72	22.17 ^a ±9.04
อุณหภูมิทดสอบ (T)					
Control 200 °C (T _c)	0.013 ^a ±0.011	4.85 ^b ±1.99	4.12 ^{bc} ±0.72	17.25 ^b ±8.11	15.59 ^b ±6.51
200°C (T ₁)	0.019 ^b ±0.013	4.55 ^b ±2.18	4.75 ^a ±2.06	14.81 ^c ±9.83	22.74 ^a ±6.72
210°C (T ₂)	0.023 ^{ab} ±0.009	6.02 ^a ±4.99	4.04 ^c ±1.11	19.91 ^a ±12.63	24.26 ^a ±7.28
220°C (T ₃)	0.025 ^a ±0.014	4.73 ^b ±2.16	4.49 ^{ab} ±1.84	16.08 ^{bc} ±6.51	14.41 ^b ±3.35
เวลาทดสอบ (t)					
Control 45 sec (t _c)	0.013 ^a ±0.011	4.85 ^{ns} ±1.99	4.12 ^{bc} ±0.72	17.25 ^a ±8.11	15.59 ^c ±6.51
30 sec (t ₁)	0.026 ^a ±0.015	5.07 ^{ns} ±4.69	3.91 ^c ±1.43	15.20 ^b ±8.16	21.37 ^a ±7.75
40 sec (t ₂)	0.021 ^b ±0.010	5.53 ^{ns} ±2.87	4.90 ^a ±1.87	16.91 ^a ±10.18	20.89 ^{ab} ±8.97
50 sec (t ₃)	0.019 ^b ±0.011	4.69 ^{ns} ±2.25	4.47 ^b ±1.75	18.68 ^a ±11.68	19.15 ^b ±4.88

หมายเหตุ: ค่าในช่องทดสอบมีค่าที่สูงกว่าน้ำมันที่เป็นน้ำมันเดือนตามปกติ ทำให้เก็บตัวอย่างต้องหันน้ำมันเข้าสู่ท่อส่งตัวอย่างต่อไป แต่ในช่องทดสอบที่ต่อไปน้ำมันมีความเสียหายมากกว่าปกติ ($p \leq 0.05$)
 ค่าในช่องทดสอบมีค่าที่สูงกว่าน้ำมันที่เป็นน้ำมันเดือนตามปกติ ทำให้เก็บตัวอย่างต้องหันน้ำมันเข้าสู่ท่อส่งตัวอย่างต่อไป ($p \leq 0.05$)
 ค่าในช่องทดสอบมีค่าที่สูงกว่าน้ำมันที่เป็นน้ำมันเดือนตามปกติ ทำให้เก็บตัวอย่างต้องหันน้ำมันเข้าสู่ท่อส่งตัวอย่างต่อไป ($p \leq 0.05$)
 แต่หากกํากันค่าที่สูงกว่าน้ำมันที่เป็นน้ำมันเดือนตามปกติ ($p \geq 0.05$)

ตาราง 15 ค่าและถี่ยการเพิ่มชนบลดลงตาม ๓ ทางคืนของน้ำมันหลักในการทดสอบความต้านทานของพืชพืชใน 2 ปั๊มน้ำ

ปั๊มน้ำ	ปริมาณ FFA (กรัมโคลีด%)	ปริมาณ CD ($\mu\text{mol/g}$)	ค่า PV (meq/kg)	ค่า p-AV	ค่า TBARS (mg/g)
O \times T					
O ₁ \times T _c	0.022 ^b _a ± 0.009	5.47 ^{bcd} ± 2.77	3.49 ^c ± 0.12	9.74 ^{ab} ± 2.97	21.65 ^b ± 0.79
O ₁ \times T ₁	0.024 ^b ± 0.014	3.16 ^d ± 1.69	2.80 ^{bc} ± 0.74	6.24 ^d ± 1.88	19.50 ^b ± 5.39
O ₁ \times T ₂	0.026 ^b ± 0.006	3.09 ^{cd} ± 1.21	3.40 ^d ± 0.74	8.48 ^{cd} ± 2.59	17.81 ^c ± 1.84
O ₁ \times T ₃	0.035 ^a ± 0.011	4.41 ^{bc} ± 2.42	3.29 ^d ± 0.42	10.46 ^e ± 2.25	14.81 ^c ± 4.41
O ₂ \times T _c	0.005 ^a ± 0.003	4.23 ^{bcd} ± 0.35	4.75 ^c ± 0.44	24.76 ^b ± 0.85	9.53 ^d ± 2.11
O ₂ \times T ₁	0.013 ^d ± 0.010	5.94 ^b ± 1.71	6.70 ^a ± 0.71	23.38 ^b ± 6.32	26.01 ^b ± 6.42
O ₂ \times T ₂	0.019 ^{bcd} ± 0.010	8.94 ^a ± 5.64	4.67 ^d ± 1.07	31.35 ^a ± 6.69	30.70 ^a ± 4.24
O ₂ \times T ₃	0.015 ^{cd} ± 0.006	5.05 ^{bc} ± 1.88	5.69 ^b ± 1.93	21.69 ^b ± 3.92	14.01 ^c ± 1.83
O \times t					
O ₁ \times t _c	0.022 ^b _a ± 0.009	5.47 ^{ab} ± 2.77	3.49 ^{ab} ± 0.12	9.74 ^{ab} ± 2.97	21.65 ^a ± 0.79
O ₁ \times t ₁	0.036 ^a ± 0.012	3.23 ^{ns} ± 1.83	2.69 ^{ns} ± 0.34	8.36 ^a ± 2.27	19.55 ^a ± 5.97
O ₁ \times t ₂	0.026 ^b ± 0.011	4.04 ^{ns} ± 2.34	3.53 ^{ns} ± 0.62	7.22 ^c ± 2.73	15.92 ^{cd} ± 3.48
O ₁ \times t ₃	0.022 ^{bc} ± 0.007	3.39 ^{ns} ± 1.47	3.27 ^{ns} ± 0.46	9.60 ^c ± 3.03	16.62 ^{bcd} ± 2.85
O ₂ \times t _c	0.005 ^d ± 0.003	4.23 ^{ns} ± 0.35	4.75 ^{ns} ± 0.44	24.76 ^{ab} ± 0.85	9.53 ^c ± 2.11
O ₂ \times t ₁	0.015 ^c ± 0.008	6.92 ^{ns} ± 5.90	5.13 ^{ns} ± 0.98	22.04 ^b ± 5.73	23.18 ^{ab} ± 9.01
O ₂ \times t ₂	0.016 ^c ± 0.005	7.01 ^{ns} ± 2.62	6.27 ^{ns} ± 1.69	26.61 ^a ± 2.62	25.85 ^a ± 10.07
O ₂ \times t ₃	0.017 ^c ± 0.013	5.99 ^{ns} ± 2.16	5.68 ^{ns} ± 1.74	27.76 ^a ± 9.87	21.68 ^{abc} ± 5.23

ပေါင်းစဉ် ၁၅

ชั้นปัจจัย	ปริมาณ FFA (กิโลโมลต่อกรัม) (%)	ปริมาณ CD (μmol/g)	ค่า PV (meq/kg)	ค่า p-AV	ค่า TBARS (mg/g)
T × t					
T _c × t _c	0.013 ^{de} ± 0.011	4.85 ^{ab} ± 1.99	4.12 ^c ± 0.72	17.25 ^{ab} ± 8.11	15.59 ^{bcd} ± 6.51
T ₁ × t ₁	0.030 ^a ± 0.016	4.61 ^{ab} ± 2.06	4.28 ^{ab} ± 2.01	14.06 ^b ± 10.33	25.28 ^{ab} ± 6.22
T ₁ × t ₂	0.016 ^{cde} ± 0.005	5.33 ^{ab} ± 2.51	4.72 ^{abc} ± 1.65	16.30 ^{ab} ± 12.05	24.28 ^{ab} ± 7.47
T ₁ × t ₃	0.010 ^e ± 0.007	3.72 ^b ± 1.79	5.26 ^{ab} ± 2.49	14.06 ^b ± 7.21	18.66 ^{bcd} ± 4.62
T ₂ × t ₁	0.020 ^{bcd} ± 0.011	7.15 ^a ± 3.53	3.32 ^{bc} ± 0.65	17.98 ^{ab} ± 7.95	24.87 ^{ab} ± 7.24
T ₂ × t ₂	0.023 ^{abc} ± 0.006	4.82 ^{ab} ± 3.64	4.42 ^{abc} ± 0.82	17.66 ^{ab} ± 11.34	25.24 ^a ± 9.49
T ₂ × t ₃	0.025 ^{abc} ± 0.009	6.08 ^{ab} ± 2.54	4.36 ^{bc} ± 1.42	24.01 ^a ± 16.94	22.66 ^{abc} ± 4.68
T ₃ × t ₁	0.027 ^{ab} ± 0.017	3.46 ^{ab} ± 1.20	4.13 ^{abc} ± 1.22	13.56 ^b ± 5.41	13.95 ^d ± 3.18
T ₃ × t ₂	0.024 ^{abc} ± 0.015	6.44 ^{ab} ± 2.30	5.55 ^a ± 2.64	16.79 ^{ab} ± 7.42	13.14 ^{cd} ± 3.38
T ₃ × t ₃	0.024 ^{abc} ± 0.009	4.29 ^{ab} ± 1.75	3.79 ^{bc} ± 0.57	17.88 ^{ab} ± 6.27	16.13 ^{bcd} ± 3.00

หมายเหตุ: ตัวแปรในช่องสถิติเดียวที่ไม่เปรียบเทียบอัตราพิเศษของชนิดน้ำมันที่ใช้ห้องและอุณหภูมิในการทดสอบที่กับค่าเฉลี่ยของร่างกายแต่ละคนของน้ำมันที่เปลี่ยนเดือนน้ำหนึ่งต่อเดือนน้ำหนึ่งที่ห้องเดียวลดลงในกราฟทดสอบที่กำกับด้วยตัวอักษรต่างกันเมื่อความแตกต่างกันอยู่ $p < 0.05$ แต่ไม่สำหรับตัวแปรที่เปรียบเทียบอัตราพิเศษของชนิดน้ำมันที่ใช้ห้องเดียวลดลงในกราฟทดสอบที่กำกับด้วยตัวอักษรต่างกันเมื่อความแตกต่างกันอยู่ $p > 0.05$ ตัวเลขในช่องสถิตินี้คือค่าทางสถิติ ($p \leq 0.05$) และหากไม่ใช่ตัวแปรที่เปลี่ยนเดือนน้ำหนึ่งต่อเดือนน้ำหนึ่งที่ห้องเดียวลดลงในกราฟทดสอบที่กำกับด้วยตัวอักษรต่างกันเมื่อความแตกต่างกันอยู่ $p > 0.05$ ค่าทางสถิติ ($p > 0.05$) ค่าทางสถิติ ($p \leq 0.05$) ค่าทางสถิติ ($p > 0.05$)

ପାତାରେ କିମ୍ବା କିମ୍ବା କିମ୍ବା କିମ୍ବା କିମ୍ବା କିମ୍ବା

T_c = อุณหภูมิความคุณในการทดสอบ 200 °C T_1 = อุณหภูมิในการทดสอบ 200 °C T_2 = อุณหภูมิในการทดสอบ 210 °C T_3 = อุณหภูมิในการทดสอบ 220 °C
 t_1 = เวลาทดสอบในกรอบทดสอบ 45 วันที่ t_1 = เวลาในการทดสอบ 30 วันที่ t_2 = เวลาในการทดสอบ 40 วันที่ t_3 = เวลาในการทดสอบ 50 วันที่

ตารางที่ 16 การพิมพ์ข้อมูลองค์กร่างกายทางเดินหายใจและการทดสอบที่ไม่สามารถเข้าใจพอด้วยการนับชั้นในแต่ละชั้น ที่ต้องการทดสอบตามน้ำหนักตัวที่ใช้ทดสอบ คุณภาพน้ำหนักตัวในการทดสอบ

ปัจจัย	ปริมาณ FFAG โภคภัยเดลี (%)	ปริมาณ CD (μmol/g)	ค่า PV (meq/kg)	ค่า p-AV	ค่า TBARS (mg/g)
O ₁ × T _C × t _c	0.022 ^{def} ± 0.009	5.47 ^{bef} ± 2.78	3.49 ^{fb} ± 0.12	9.74 ^{fb} ± 2.97	21.65 ^{de} ± 0.79
O ₁ × T _t × t _t	0.041 ^a ± 0.012	4.14 ^{cde} ± 2.43	2.36 ^d ± 0.09	5.91 ^{hi} ± 0.32	25.97 ^e ± 3.13
O ₁ × T ₁ × t ₂	0.016 ^{gh} ± 0.006	3.14 ^{cl} ± 0.69	3.15 ^{gh} ± 0.36	4.90 ⁱ ± 0.94	18.14 ^{gh} ± 1.93
O ₁ × T _t × t ₃	0.016 ^{gh} ± 0.003	2.21 ⁱ ± 1.01	2.88 ^{hi} ± 0.13	7.90 ^{gh} ± 2.33	14.30 ^{gh} ± 0.68
O ₁ × T ₂ × t _t	0.030 ^{bc} ± 0.002	2.29 ^f ± 1.03	2.73 ^{hi} ± 0.29	10.47 ^g ± 1.23	18.78 ^c ± 1.35
O ₁ × T ₂ × t ₂	0.027 ^{cde} ± 0.007	2.83 ^{cl} ± 1.24	3.97 ^{fg} ± 0.88	6.99 ^{gh} ± 2.91	16.29 ^{gh} ± 1.58
O ₁ × T ₂ × t ₃	0.002 ^f ± 0.006	4.16 ^{cdef} ± 0.35	3.49 ^{fb} ± 0.25	7.98 ^{gh} ± 2.24	18.39 ^{fg} ± 1.70
O ₁ × T ₃ × t _t	0.039 ^a ± 0.016	3.25 ^{def} ± 1.51	2.99 ^{hi} ± 0.24	8.69 ^{gh} ± 1.80	13.91 ^{hi} ± 4.6
O ₁ × T ₃ × t ₂	0.037 ^{ab} ± 0.010	6.16 ^{bcd} ± 2.90	3.46 ^{gb} ± 0.08	9.77 ^{gh} ± 1.25	13.35 ⁱ ± 4.57
O ₁ × T ₃ × t ₃	0.030 ^{bc} ± 0.004	3.82 ^{def} ± 1.89	3.42 ^{fg} ± 0.61	12.93 ^f ± 0.88	16.62 ^{gh} ± 2.85
O ₂ × T _C × t _c	0.005 ⁱ ± 0.003	24.76 ^{bc} ± 0.85	4.23 ^{cdef} ± 0.35	24.76 ^{bc} ± 0.85	9.53 ^j ± 2.11
O ₂ × T _t × t _t	0.019 ^{bcdef} ± 0.011	22.22 ^{cd} ± 2.67	5.08 ^{bcdef} ± 1.69	22.22 ^{cd} ± 8.67	24.59 ^{cd} ± 8.61
O ₂ × T ₁ × t ₂	0.017 ^{efgh} ± 0.005	27.70 ^b ± 2.59	7.51 ^{bc} ± 1.40	27.70 ^b ± 2.59	30.43 ^{ab} ± 5.32
O ₂ × T ₁ × t ₃	0.004 ^a ± 0.002	20.22 ^{de} ± 2.24	5.22 ^{bcdef} ± 0.77	20.22 ^{de} ± 4.24	23.01 ^{cd} ± 0.99
O ₂ × T ₂ × t _t	0.010 ^{hi} ± 0.005	25.48 ^b ± 1.51	12.01 ⁱ ± 1.17	25.48 ^b ± 1.50	30.97 ^{ab} ± 4.95
O ₂ × T ₂ × t ₂	0.020 ^{cdef} ± 0.003	28.33 ^b ± 0.97	6.80 ^{bcd} ± 2.24	28.33 ^b ± 0.97	34.18 ^a ± 1.91
O ₂ × T ₂ × t ₃	0.029 ^{bcd} ± 0.010	40.23 ^a ± 1.42	8.00 ^b ± 2.28	40.22 ^a ± 1.42	26.94 ^{bc} ± 1.22

ตาราง 16 (ต่อ)

ปั๊บถุง	ปริมาณ FFA (กรัมโดยอิสระ) (%)	ปริมาณ CD ($\mu\text{mol/g}$)	ค่า PV (meq/kg)	ค่า p-AV	ค่า TBARS (mg/g)
$O_2 \times T_1 \times t_1$	0.015 ^{bph} ± 0.005	18.43 ^c ± 2.08	3.66 ^{def} ± 0.90	18.43° ± 2.08	13.99 ^{bph} ± 0.96
$O_2 \times T_1 \times t_2$	0.011 ± 0.003 ^{bph}	23.81 ^{cd} ± 1.13	6.73 ± 1.6 ^{bed}	23.81 ^{cd} ± 1.13	12.93 ^{cd} ± 2.04
$O_2 \times T_1 \times t_3$	0.018 ^{bph} ± 0.009	22.82 ^{cd} ± 2.21	4.76 ^{bedst} ± 1.63	22.82 ^{cd} ± 2.21	15.10 ^{bph} ± 1.86

หมายเหตุ: ช่วงเวลาในช่องทดสอบได้ยกเว้นที่กันดูดซึ่งตัวอย่างต่างกันนั้นความแตกต่างกันอย่างน้อยสักครึ่งทางสถิติ ($p \leq 0.05$) เต่าห้ากันดูดทั้งนี้ ไม่รวมทดสอบต่างกันของแต่ละกลุ่มที่ ($p \geq 0.05$)
 ทางสถิติ ($p \geq 0.05$)

$O_1 =$ ผื่นผ่านลม $O_2 =$ ผื่นผ่านลม ผสมเครื่อง
 $T_1 =$ อุณหภูมิคงที่ในการทดสอบ 200 °C $T_2 =$ อุณหภูมิในการรอมไฟ 210 °C $T_3 =$ อุณหภูมิในการรอมไฟ 220 °C
 $t_1 =$ 试验ความคงทนการทดสอบ 45 วินาที $t_2 =$ เวลาในการทดสอบ 30 วินาที $t_3 =$ เวลาในการทดสอบ 40 วินาที
 $t_j =$ เวลาในการทดสอบ 50 วินาที

5. การศึกษานิดของสารต้านออกซิเดชันที่ใช้ในกระบวนการกรองด้วยผลต่ออายุการเก็บรักษาข้าวแทนในช่วงระยะเวลาต่าง ๆ

5.1 สมบัติทางกายภาพของข้าวแทนหลังการกรอง

5.1.1 ค่าสี

การตรวจสอบค่าสีของตัวอย่างข้าวแทนหลังการกรองที่ในน้ำมันปาล์มโอลิอินที่เติมสารต้านออกซิเดชันชนิดต่าง ๆ น้ำหนักว่ามีค่า L* อยู่ในช่วง 25.05-30.00 ซึ่งมีความแตกต่างกันอย่างมีนัยสำคัญทางสถิติ ($p \leq 0.05$) โดยการเติมสาร TBHQ ลงในน้ำมันจะให้ค่า L* ของข้าวแทนสูงกว่าชนิดที่เติมสารต้านออกซิเดชันอื่น ๆ ส่วนค่า a* และค่า b* มีความแตกต่างกันอย่างมีนัยสำคัญทางสถิติ ($p \leq 0.05$) โดยข้าวแทนที่กรองในน้ำมันที่เติมสาร TBHQ จะมีค่า a* และค่า b* ต่ำกว่าชนิดที่เติมสารต้านออกซิเดชันอื่น ๆ ดังตาราง 17 ซึ่งแสดงว่าข้าวแทนที่กรองในน้ำมันที่เติมสาร TBHQ มีค่าความสว่างมากกว่าและมีค่าสีแดงและสีเหลืองน้อยกว่าข้าวแทนที่กรองในน้ำมันที่เติมสารต้านออกซิเดชันอื่น ๆ เพราะ TBHQ สามารถต้านปฏิกิริยาออกซิเดชันในข้าวแทนได้ดีกว่าชนิดอื่นเนื่องจากโครงสร้างของ TBHQ มีความเสถียรภาพภายใต้อุณหภูมิสูงที่ดีกว่า

5.1.2 จำนวนชิ้นที่แตกหัก

จำนวนชิ้นที่แตกหักของข้าวแทนที่กรองในน้ำมันที่เติมสารต้านออกซิเดชันทั้ง 3 ชนิดมีค่าไม่แตกต่างกันอย่างมีนัยสำคัญทางสถิติ ($p > 0.05$) โดยอยู่ในช่วงร้อยละ 5.43-10.86 เนื่องจากสารต้านออกซิเดชันไม่เกี่ยวข้องกับการพองตัวและการแตกหักของข้าวแทน

5.1.3 ค่าความแข็ง

ค่าความแข็งของข้าวแทนที่กรองในน้ำมันที่เติมสารต้านออกซิเดชันพบว่า ตัวอย่างข้าวแทนที่กรองในน้ำมันที่เติมสาร BHA ร่วมกับ BHT มีค่าเท่ากับร้อยละ 5.29 ± 1.11 รองลงมาคือ ตัวอย่างทุบคุณมีค่าเท่ากับร้อยละ 4.94 ± 0.61 และสุดท้ายคือ ตัวอย่างข้าวแทนที่กรองในน้ำมันที่เติมสาร TBHQ มีค่าเท่ากับร้อยละ 4.46 ± 0.39 และตัวอย่างข้าวแทนที่กรองในน้ำมันที่เติมสารจากธรรมชาติ มีค่าเท่ากับร้อยละ 4.44 ± 0.40 และแตกต่างกันอย่างมีนัยสำคัญทางสถิติ ($p \leq 0.05$) ดังตาราง 17

แต่แตกต่างกันเพียงเล็กน้อยเนื่องจากค่าความแข็งในข้าวแทนสัมพันธ์กับสารต้านออกซิเดชันในระดับต่ำ

5.1.4 ปริมาณน้ำมันที่ถูกดูดซับ

ปริมาณน้ำมันที่ถูกดูดซับภายหลังการทดสอบตัวอย่างข้าวแทนในน้ำมันที่เติมสารต้านออกซิเดชันพบว่า ไม่มีความแตกต่างกันอย่างมีนัยสำคัญทางสถิติ ($p>0.05$) โดยอยู่ในช่วงร้อยละ 22.98-27.87 ดังตาราง 17 เนื่องจากปริมาตรที่ขยายมีค่าไกส์เดียวกัน และปริมาณน้ำมันที่ถูกดูดซับเกี่ยวข้องกับปริมาณความชื้นที่มีอยู่ในตัวอย่างก่อนทดสอบ แต่ไม่เกี่ยวข้องกับสารต้านออกซิเดชันแต่อย่างใด

5.1.5 ปริมาตรที่ขยาย

ปริมาตรที่ขยายภายหลังการทดสอบตัวอย่างข้าวแทนในน้ำมันที่เติมสารต้านออกซิเดชันพบว่า ไม่มีความแตกต่างกันอย่างมีนัยสำคัญทางสถิติ ($p>0.05$) โดยอยู่ในช่วงร้อยละ 312-328 ดังตาราง 17 เนื่องจากอยู่ในช่วงของปริมาณความชื้นเดียวกัน การขยายปริมาตรจึงมีค่าไกส์เดียวกันและฤทธิ์ของสารต้านออกซิเดชันเกี่ยวข้องกับปฏิกิริยาทางเคมีเป็นหลักจึงมีผลต่อการเปลี่ยนแปลงทางกายภาพน้อย

5.2 การวิเคราะห์การเปลี่ยนแปลงคุณภาพทางเคมีของน้ำมันหลังการทดสอบ

5.2.1 ปริมาณกรดไขมันอิสระ

ปริมาณกรดไขมันอิสระที่เพิ่มขึ้นในรูปของกรดไขมันอิสระในตัวอย่างน้ำมันที่เติมสารต้านออกซิเดชันทั้ง 3 ชนิด พบว่าไม่มีความแตกต่างกันอย่างมีนัยสำคัญทางสถิติ ($p>0.05$) โดยปริมาณกรดไขมันอิสระในรูปของกรดไขมันอิสระมีค่าอยู่ในช่วงร้อยละ 0.033-0.044 ดังตาราง 17 เนื่องจาก การเกิดกรดไขมันอิสระเป็นผลมาจากการปฏิกิริยาไฮโดรไลซิส ซึ่งสารต้านออกซิเดชันมีผลต่อการเกิดปฏิกิริยาไฮโดรไลซิสน้อยมาก

5.2.2 ปริมาณคอนจูเกต ไคลอีน

ปริมาณคอนจูเกต ไคลอีนที่เพิ่มขึ้นของน้ำมันที่เติมสารต้านออกซิเดชันทั้ง 3 ชนิด พบว่า ตัวอย่างน้ำมันชนิดที่เติมสาร BHA ผสมร่วมกับ BHT และชนิดที่เติมสาร TBHQ ให้ปริมาณ CD ต่ำที่สุด และคงว่าสารต้านออกซิเดชันทั้ง 2 แบบให้ผลที่ดีกว่าชนิดที่ใช้สารจากธรรมชาติและชนิดที่ไม่เติมสารต้านออกซิเดชัน

5.2.3 ค่าเพอร์ออกไซด์

ค่าเพอร์ออกไซด์ของตัวอย่างน้ำมันที่เติมสารต้านออกซิเดชันทั้ง 3 ชนิด ไม่มีความแตกต่าง กันอย่างมีนัยสำคัญทางสถิติ ($p>0.05$) โดยมีค่าอยู่ในช่วง 1.12-1.75 มิลลิสมนูดล์/กิโลกรัม ดังตาราง 17 อาจเป็นเพาะเพอร์ออกไซด์ที่เกิดขึ้นอยู่ในระดับต่ำหรือเพอร์ออกไซด์ที่เกิดขึ้นเมื่อมี ความเข้มข้นสูง ๆ จะแตกตัวไปเป็นสารอื่นเนื่องจากปฏิกิริยาออกซิเดชัน

5.2.4 ค่าพารา-อะนิชีดิน

การเพิ่มขึ้นของค่าพารา-อะนิชีดินในตัวอย่างน้ำมันที่เติมสารต้านออกซิเดชันทั้ง 3 ชนิด พบร่วมกับค่าความแตกต่างกันอย่างมีนัยสำคัญทางสถิติ ($p\leq 0.05$) ดังตาราง 17 ตัวอย่างน้ำมันที่เติม สาร TBHQ ที่มีค่าต่ำที่สุด และคงว่าน้ำมันชนิดที่เติมสาร TBHQ ให้ผลในการต้านปฏิกิริยา ออกซิเดชันได้ดีกว่าชนิดอื่น ซึ่งสอดคล้องกับการเพิ่มขึ้นของปริมาณคอนจูเกต ไคลอีนดังที่กล่าวมา

5.2.5 ค่าทีบาร์ส

การเพิ่มขึ้นของค่าทีบาร์สในตัวอย่างน้ำมันที่เติมสารต้านออกซิเดชันทั้ง 3 ชนิด พบว่า ตัวอย่างน้ำมันที่เติม BHA ผสมร่วมกับ BHT มีค่าต่ำที่สุด และคงว่าน้ำมันที่เติม BHA ผสมร่วมกับ BHT มีโอกาสเกิดอัลดีไฮด์ได้น้อยกว่าน้ำมันที่เติมสารต้านออกซิเดชันชนิดอื่น เนื่องจากสารต้าน ออกซิเดชันชนิดนี้มีฤทธิ์เสริมกันหากตัวใดตัวหนึ่งหมดฤทธิ์ลง อีกตัวหนึ่งที่เหลือจะเข้าแทนที่ใน การต้านปฏิกิริยาออกซิเดชัน

5.2.6 ปริมาณสารประกอบคาร์บอนิล

การเพิ่มขึ้นของปริมาณสารประกอบคาร์บอนิลของตัวอย่างน้ำมันที่เติมสารต้านออกซิเดชันทั้ง 3 ชนิด พบว่าตัวอย่างน้ำมันที่เติมสารจากธรรมชาติมีค่าสูงสุด คือ มีค่าเท่ากับ 0.68 ± 0.05 ไมโครโมล/กรัม รองลงมาคือ ตัวอย่างน้ำมันที่ไม่เติมสารต้านออกซิเดชันมีค่าเท่ากับ 0.59 ± 0.03 ไมโครโมล/กรัม และชนิดที่อยู่ในระดับต่ำที่สุด คือ ตัวอย่างน้ำมันที่เติมสาร BHA ผสมร่วมกับกัน BHT มีค่าเท่ากับ 0.33 ± 0.02 ไมโครโมล/กรัม มีค่าเท่ากันกับตัวอย่างน้ำมันที่เติมสาร TBHQ มีค่าเท่ากับ 0.36 ± 0.08 ไมโครโมล/กรัม ดังตาราง 11 ให้ผลเช่นเดียวกันกับปริมาณคงเหลือเกตไดอินและค่าพารา-อะนิโซดิน จึงสรุปได้ว่าน้ำมันที่เติม TBHQ น่าจะใช้ได้ดีที่สุด ทั้งนี้เนื่องจาก TBHQ มีสัดส่วนมากกว่าสารต้านออกซิเดชันชนิดอื่นภายใต้สภาวะความร้อนสูง (Sherwin และ Thompson, 1967) โดยมีจุดเดือดสูงกว่าสารต้านออกซิเดชันชนิดอื่นและมีหนึ่งไครอออกซิลในปริมาณที่มากกว่าจึงดักจับอนุมูลอิสระได้ดีกว่า จึงต้านการเกิดปฏิกิริยาออกซิเดชันได้ดีกว่าสารต้านออกซิเดชันชนิดอื่น

ตาราง 17 คุณภาพทางกายภาพของข้าวแทนและการเปลี่ยนแปลงสมบัติทางเคมีของน้ำมันที่เติมสารต้านออกซิเดชันชนิดต่าง ๆ ภายหลังการทอดข้าวแทน

รายการทดสอบ	ชนิดของสารต้านออกซิเดชัน			
	ไม่มี	BHA+BHT	TBHQ	ใบเตย
1. ค่าคุณภาพทางกายภาพของข้าวแทน				
1.1 ค่าสี				
1.1.1 ค่าความสว่าง (L*)	30.00 ^a ±4.32	25.05 ^b ±2.80	27.97 ^a ±3.13	25.41 ^b ±2.76
1.1.2 ค่าสีแดง (a*)	5.00 ^c ±1.29	7.17 ^a ±1.19	5.89 ^{bc} ±1.37	6.58 ^{ab} ±1.04
1.1.3 ค่าสีเหลือง (b*)	5.46 ^b ±0.92	7.09 ^a ±1.36	6.32 ^{ab} ±1.59	6.50 ^a ±1.37
1.2 จำนวนชีนที่แตกหัก (%) ^{ns}	10.86±4.77	5.43±3.35	8.40±5.30	7.65±2.51
1.3 ค่าความแข็ง (N)	4.94 ^{ab} ±0.61	5.29 ^a ±1.11	4.46 ^b ±0.39	4.44 ^b ±0.40
1.4 ปริมาณน้ำมันที่ถูกคัดซับ (%) ^{ns}	22.98±3.82	27.87±3.82	23.37±1.24	25.78±2.25
1.5 ปริมาตรที่ขยาย (%) ^{ns}	322±88	325±31	328±39	312±31
2. การเปลี่ยนแปลงคุณภาพทางเคมีของน้ำมัน				
หลังการทอด				
2.1 ปริมาณกรดไขมันอิสระ (กรดไขมันอเลอิก) (%) ^{ns}	0.042±0.008	0.033±0.011	0.034±0.012	0.044±0.010
2.2 ปริมาณคอนจูเกตต์ไดอิน (μmol/g)	7.62 ^a ±1.21	5.41 ^b ±0.94	5.29 ^b ±1.56	6.73 ^a ±0.31
2.3 ค่าเพอร์ออกไซด์ (meq/kg) ^{ns}	1.22±0.46	1.12±0.67	1.20±0.52	1.75±0.39
2.4 ค่าพารา-อะนิติคิน	27.60 ^a ±3.07	21.87 ^b ±2.31	17.73 ^c ±0.32	28.26 ^a ±2.17
2.5 ค่าทีบาร์ส (mg/g)	1.18 ^b ±0.17	0.99 ^b ±0.31	2.60 ^a ±0.28	3.26 ^a ±0.74
2.6 ปริมาณสารประกอบการรับอนิล (μmol/g)	0.59 ^b ±0.03	0.33 ^c ±0.02	0.36 ^c ±0.08	0.68 ^a ±0.05

หมายเหตุ: ตัวเลขใน括弧เดียวกันที่กำกับด้วยตัวอักษรต่างกันมีความแตกต่างกันอย่างมีนัยสำคัญทางสถิติ ($p \leq 0.05$) แต่หากกำกับด้วย กก ไม่มีความแตกต่างกันอย่างมีนัยสำคัญทางสถิติ ($p > 0.05$)

5.3 คุณภาพทางกายภาพของข้าวแทนที่ทดสอบในน้ำมันที่เติมสารต้านออกซิเดชันทั้ง 3 ชนิดและเก็บรักษาในช่วงเวลาต่าง ๆ

5.3.1 ค่าความแข็ง

ชนิดของสารต้านออกซิเดชันและระยะเวลาในการเก็บรักษามีผลต่อค่าความแข็งต่างกันของค่าความแข็งของข้าวแทนอย่างมีนัยสำคัญทางสถิติ ($P \leq 0.05$) ดังตาราง 18 โดยสารต้านออกซิเดชันทั้ง 3 ชนิด มีผลต่อค่าความแข็งของข้าวแทนสูงกว่าตัวอย่างควบคุมที่ไม่ใช้สารต้านออกซิเดชันเคมิก่อนการทดสอบ เนื่องจากสารต้านออกซิเดชันมีความว่องไวต่อการคุกคามชีน ซึ่งมีผลต่อการเกิดค่าความแข็งที่สูงขึ้น ในขณะที่ระยะเวลาในการเก็บรักษาเท่านานขึ้น มีผลต่อค่าความแข็งของข้าวแทนสูงขึ้น เนื่องจากถุงโพลีไพรีลินยินยอมให้ความชื้นจากภายนอกซึ่งผ่านถุงได้บางส่วน ตัวอย่างข้าวแทนที่อยู่ด้านในถุงจึงคุกคามความชื้นส่วนนี้ จึงทำให้เกิดค่าความแข็งที่สูงขึ้น

อิทธิพลร่วมกันระหว่างชนิดของสารต้านออกซิเดชันและระยะเวลาในการเก็บรักษามีผลต่อค่าความแข็งต่างกันของค่าความแข็งของข้าวแทนอย่างมีนัยสำคัญทางสถิติ ($P \leq 0.05$) ดังตาราง 19 เป็นผลจากการจะเวลาในการเก็บรักษาเป็นหลัก พนบว่าค่าความแข็งจะเริ่มเพิ่มขึ้นเรื่อยๆ ตามระยะเวลาในการเก็บรักษา เนื่องจากตัวอย่างข้าวแทนคุกคามชีนจากอากาศในบรรจุภัณฑ์ ซึ่งเกิดจากการซึมผ่านความชื้นจากบรรจุภัณฑ์ของถุงพลาสติกโพลีไพรีลิน ผลของการทดสอบข้าวแทนในน้ำมันที่เติมสารต้านออกซิเดชันร่วมกับระยะเวลาการเก็บรักษาที่มีต่อค่าความแข็งของข้าวแทนพบว่า เมื่อผ่านระยะเวลาในการเก็บรักษาช่วงวันที่ 15 เป็นต้นไป

5.3.2 ค่าแอกติวิตี้ของน้ำ

ชนิดของสารต้านออกซิเดชันและระยะเวลาในการเก็บรักษามีผลต่อค่าความแข็งต่างกันของค่าแอกติวิตี้ของน้ำของข้าวแทนอย่างมีนัยสำคัญทางสถิติ ($P \leq 0.05$) ดังตาราง 18 โดยสาร BHA ร่วมกับ BHT ทำให้ค่าแอกติวิตี้ของน้ำของข้าวแทนลดลงมากที่สุด เนื่องจากสารทั้ง 2 ชนิดเป็นสารที่ไม่มีข้อจึงช่วยลดการคุกคามชีนในข้าวแทนได้ดีกว่าชนิดอื่น ในขณะที่ระยะเวลาในการเก็บรักษามีผลต่อค่าแอกติวิตี้ของน้ำในข้าวแทนลดลงในช่วง 0-30 วันแต่เพิ่มขึ้นในช่วง 45-90 วัน เนื่องจากภัยหลังการทดสอบจะต้องปล่อยให้ข้าวแทนเย็นอยู่ภายนอกแล้วจึงทำการบรรจุ ในช่วงของการรอความร้อนที่ระอุอยู่ภายในข้าวแทนเย็นลง ความร้อนจากข้าวแทนจะถ่ายเทสู่สิ่งแวดล้อม ความชื้นจากบรรจุภัณฑ์จะถูกคุกคามเข้าสู่ข้าวแทนแทนที่หลังจากนั้น ในช่วง 15 และ 30 วันการลดหรือ

เพิ่มค่าแอคติวิตี้ของน้ำในข้าวแทนเป็นผลมาจากการสูญเสียความชื้นสู่บรรยากาศ เพราะค่าความชื้นสัมพัทธ์ของอากาศลดลงตั้งแต่วันแรกจนถึง 30 วัน จากร้อยละ 52.00 เหลือเพียง 49.67 และหลังจากนั้นจะเพิ่มขึ้นเรื่อยๆ ภายหลังจาก 45 วันจนถึง 90 วัน จากร้อยละ 49.67 เป็น 56.47 (ข้อมูลจากสถานีอุตุนิยมวิทยาเชียงใหม่ (แม่จี้), 2549) ค่าแอคติวิตี้ของน้ำในข้าวแทนจึงเพิ่มขึ้นอีกนอกจากนี้เป็นผลจากความไม่สม่ำเสมอของการพองตัวของเม็ดข้าว ซึ่งเป็นผลให้การดูดและถ่ายความชื้นแตกต่างกันไป

อิทธิพลร่วมกันระหว่างชนิดของสารต้านออกซิเดชันและระยะเวลาในการเก็บรักษา มีผลต่อค่าความแตกต่างกันของค่าแอคติวิตี้ของน้ำของข้าวแทนอย่างมีนัยสำคัญทางสถิติ ($P \leq 0.05$) ดังตาราง 19 โดยมีระยะเวลาเป็นปัจจัยหลักที่มีอิทธิพลมากกว่าสารต้านออกซิเดชันทั้ง 3 ชนิดในทุกตั้งทดลองรวมทั้งตัวอย่างควบคุม

5.3 คุณภาพทางเคมีของน้ำมันที่ได้จากการสกัดข้าวแทนที่ทดสอบด้วยน้ำมันที่เติมสารต้านออกซิเดชันทั้ง 3 ชนิดและเก็บรักษาในช่วงเวลาต่างๆ

5.4.1 ปริมาณกรดไขมันอิสระ (FFA)

ชนิดของสารต้านออกซิเดชันที่เติมในน้ำมันที่ใช้ทดสอบและระยะเวลาในการเก็บรักษา มีผลต่อค่าความแตกต่างกันของปริมาณ FFA ของน้ำมันที่ได้จากการตัวอย่างข้าวแทนหลังการทดสอบอย่างมีนัยสำคัญทางสถิติ ($P \leq 0.05$) ดังตาราง 18 โดยสารต้านออกซิเดชันทั้ง 3 ชนิด มีผลต่อปริมาณ FFA ของน้ำมันที่ได้จากการตัวอย่างข้าวแทนต่ำกว่าตัวอย่างควบคุม เนื่องจากสารต้านออกซิเดชันทำให้น้ำมันในข้าวแทนเกิดปฏิกิริยาออกซิเดชันลดลงจึงเกิดกรดไขมันอิสระน้อยลง ในขณะที่เวลาในการเก็บรักษานานขึ้น มีผลต่อการเกิดปริมาณ FFA ของน้ำมันที่ได้จากการตัวอย่างข้าวแทนที่ลดลง เนื่องจากกรดไขมันอิสระส่วนหนึ่งได้เปลี่ยนรูปเนื่องจากปฏิกิริยาออกซิเดชันอีกส่วนหนึ่งจะหายออกไปจากตัวอย่าง

อิทธิพลร่วมกันระหว่างชนิดของสารต้านออกซิเดชันและระยะเวลาในการเก็บรักษา มีผลต่อค่าความแตกต่างกันของปริมาณ FFA ของน้ำมันที่ได้จากการตัวอย่างข้าวแทนที่ผ่านการทดสอบในน้ำมันที่เติมสารต้านออกซิเดชันอย่างมีนัยสำคัญทางสถิติ ($P \leq 0.05$) ดังตาราง 19 โดยสารต้านออกซิเดชันทั้ง 3 ชนิด มีผลต่อค่า FFA น้อยกว่าผลของระยะเวลาในการเก็บรักษาดังช่วงระยะเวลาวันแรกและช่วง 15 วันของการเก็บรักษาในข้าวแทนที่ใช้สารต้านออกซิเดชันทุกชนิดจะมีปริมาณ FFA สูงกว่าช่วงระยะเวลาอื่นๆ อย่างเห็นได้ชัด

5.4.2 ปริมาณคอนจูเกตไอกอิน (CD)

ชนิดของสารต้านออกซิเดชันที่เติมในน้ำมันที่ใช้ทดสอบและระยะเวลาในการเก็บรักษามีผลต่อค่าความแตกต่างกันของปริมาณ CD ของน้ำมันที่ได้จากตัวอย่างข้าวแทนหลังการทดสอบยังมีนัยสำคัญทางสถิติ ($P \leq 0.05$) ดังตาราง 18 โดยสารต้านออกซิเดชันทั้ง 3 ชนิด ทำให้ปริมาณ CD ของน้ำมันที่ได้จากตัวอย่างข้าวแทนต่ำกว่าที่ได้จากตัวอย่างควบคุม เนื่องจากผลของสารต้านออกซิเดชันที่ช่วยชะลอการเกิดปฏิกิริยาออกซิเดชัน ปริมาณ CD ที่ได้จะมีค่าลดลง ในขณะที่ระยะเวลาในการเก็บรักษาในช่วง 0-30 วัน มีผลต่อการเกิดปริมาณ CD ของน้ำมันที่ได้จากตัวอย่างข้าวแทนได้สูงขึ้นและลดต่ำลงในช่วง 45-75 วัน เนื่องจากสาร CD มีการเกิดขึ้นจนถึงระดับหนึ่ง และเกิดปฏิกิริยาออกซิเดชันแล้วเปลี่ยนไปเป็นสารอื่นทำให้มีค่าลดลงในช่วง 45-75 วัน และข้าวแทนมีเนื้อไม่สม่ำเสมอของช้อนตัวกันหลายชิ้น ช่วงท้ายปริมาณ CD เพิ่มขึ้นน่าจะเป็นเพราะส่วนที่เหลือซึ่งอยู่ด้านในเกิดปฏิกิริยาออกซิเดชันช้ากว่า

อิทธิพลร่วมกันระหว่างชนิดของสารต้านออกซิเดชันและระยะเวลาในการเก็บรักษามีผลต่อค่าความแตกต่างกันของปริมาณ CD ของน้ำมันที่ได้จากตัวอย่างข้าวแทนที่ผ่านการทดสอบในน้ำมันที่เติมสารต้านออกซิเดชันอย่างมีนัยสำคัญทางสถิติ ($P \leq 0.05$) ดังตาราง 19 โดยสารต้านออกซิเดชันทั้ง 3 ชนิด มีผลต่อค่า CD น้อยกว่าผลของระยะเวลา

5.4.3 ค่าเพอร์ออกไซด์ (PV)

ชนิดของสารต้านออกซิเดชันที่เติมในน้ำมันที่ใช้ทดสอบและระยะเวลาในการเก็บรักษามีผลต่อค่าความแตกต่างกันของค่า PV ของน้ำมันที่ได้จากตัวอย่างข้าวแทนหลังการทดสอบยังมีนัยสำคัญทางสถิติ ($P \leq 0.05$) ดังตาราง 18 โดยสาร TBHQ มีผลทำให้ค่า PV ของน้ำมันที่ได้จากตัวอย่างข้าวแทนต่ำที่สุด เนื่องจากสาร TBHQ มีหมู่ไฮดรอกซิลที่ดักจับอนุมูลอิสระจากปฏิกิริยาออกซิเดชันที่มากกว่าสารต้านออกซิเดชันชนิดอื่น รวมถึงสามารถตัวต่อความร้อนได้สูงกว่าสารต้านออกซิเดชันชนิดอื่น ขณะที่ระยะเวลาในการเก็บรักษานานขึ้นส่งผลต่อการเกิดค่า PV ในระดับที่แปรปรวน เนื่องจากผลการเกิดสาร CD ซึ่งเป็นสารเริ่นต้นในการเกิดสารเพอร์ออกไซด์มีค่าแปรปรวนดังกล่าวมากแล้ว

อิทธิพลร่วมกันระหว่างชนิดของสารต้านออกซิเดชันและระยะเวลาในการเก็บรักษามีผลต่อค่าความแตกต่างกันของค่า PV ของน้ำมันที่ได้จากตัวอย่างข้าวแทนที่ผ่านการทดสอบในน้ำมันที่เติมสารต้านออกซิเดชันอย่างมีนัยสำคัญทาง ดังตาราง 19 โดยสารต้านออกซิเดชันทั้ง 3 ชนิดรวมถึง

ตัวอย่างความคุณร่วมกับระยะเวลาในการเก็บรักษาที่นานขึ้นถ่างผลต่อการเกิดค่า PV ในระดับที่ประปรวน ถังเหตุผลที่กล่าวไปแล้วก่อนหน้านี้ โดยน้ำมันที่สกัดจากตัวอย่างที่ทดสอบในน้ำมันที่เติม TBHQ และเก็บรักษาเป็นเวลา 45 วัน และน้ำมันที่สกัดจากตัวอย่างที่ทดสอบในน้ำมันที่เติมใบเตยและเก็บรักษาเป็นเวลา 60 วัน ให้ค่า PV ต่ำสุด

5.4.4 ค่าพารา-อะโนนิชีดิน (p-AV)

ชนิดของสารต้านออกซิเดชันที่เติมในน้ำมันที่ใช้ทดสอบและระยะเวลาในการเก็บรักษามีผลต่อค่าความแตกต่างกันของค่า p-AV ของน้ำมันที่ได้จากตัวอย่างข้าวแทนหลังการทดสอบอย่างมีนัยสำคัญทางสถิติ ($P \leq 0.05$) ดังตาราง 18 โดยสาร TBHQ มีผลต่อการเกิดค่า p-AV ของน้ำมันที่ได้จากตัวอย่างข้าวแทนต่ำที่สุด เหตุผลเช่นเดียวกับที่กล่าวมาแล้ว ขณะที่ผลของระยะเวลาในการเก็บรักษาต่อค่า p-AV มีรูปแบบการเพิ่มขึ้นและลดลงเช่นเดียวกับที่พบในค่า CD ในระยะเวลาต่างๆ น่าจะมาจากเหตุผลเดียวกัน

อิทธิพลร่วมกันระหว่างชนิดของสารต้านออกซิเดชันและระยะเวลาในการเก็บรักษามีผลต่อค่าความแตกต่างกันของค่า p-AV ของน้ำมันที่ได้จากตัวอย่างข้าวแทนหลังการทดสอบอย่างมีนัยสำคัญทางสถิติ ($P \leq 0.05$) ดังตาราง 19 โดยพบว่าน้ำมันที่สกัดจากข้าวแทนมีค่า CD ต่ำสุดเมื่อใช้ TBHQ เติมในน้ำมันก่อนการทดสอบและเป็นข้าวแทนที่ผ่านการเก็บรักษาเป็นเวลากว่า 30 วัน คือมีค่า p-AV เท่ากับ 2.53 ± 1.17

5.4.5 ค่าทีบาร์ส (TBARS)

ชนิดของสารต้านออกซิเดชันที่เติมในน้ำมันที่ใช้ทดสอบและระยะเวลาในการเก็บรักษามีผลต่อค่าความแตกต่างกันของค่า TBARS ของน้ำมันที่ได้จากตัวอย่างข้าวแทนหลังการทดสอบอย่างมีนัยสำคัญทางสถิติ ($P \leq 0.05$) ดังตาราง 18 โดยสาร TBHQ มีผลทำให้ค่า TBARS ของน้ำมันที่ได้จากตัวอย่างข้าวแทนต่ำที่สุด เหตุผลเช่นเดียวกับที่กล่าวในการอธิบายค่า PV ขณะที่ผลของระยะเวลาในการเก็บรักษาต่อค่า TBARS ของน้ำมันที่สกัดจากข้าวแทนมีรูปแบบเพิ่มขึ้นและลดลงเช่นเดียวกับค่า p-AV ตัวขเหตุผลเช่นเดียวกัน

อิทธิพลร่วมกันระหว่างชนิดของสารต้านออกซิเดชันและระยะเวลาในการเก็บรักษามีผลต่อค่าความแตกต่างกันของค่า TBARS ของน้ำมันที่ได้จากตัวอย่างข้าวแทนหลังการทดสอบอย่างมีนัยสำคัญทางสถิติ ($P \leq 0.05$) ดังตาราง 19 โดยพบว่าค่า TBARS ต่ำสุด เมื่อใช้ TBHQ เติมในน้ำมัน

ก่อนทดสอบและเก็บรักษาข้าวแทนเป็นเวลานาน 75 วัน และอยู่ในระดับเดียวกับชนิดที่เติมไว้โดยลงในน้ำมันก่อนทดสอบและเก็บรักษาข้าวแทนเป็นเวลานาน 75 วัน

5.4.5 ปริมาณสารประกอบคาร์บอนิล (CC)

ชนิดของสารต้านออกซิเดชันที่เติมในน้ำมันที่ใช้ทดสอบและระยะเวลาในการเก็บรักษามีผลต่อค่าความแตกต่างกันของปริมาณ CC ของน้ำมันที่ได้จากตัวอย่างข้าวแทนหลังการทดสอบอย่างมีนัยสำคัญทางสถิติ ($P \leq 0.05$) ดังตาราง 18 โดยสาร TBHQ มีผลทำให้ค่า CC ของน้ำมันที่ได้จากตัวอย่างข้าวแทนต่ำที่สุด ดังเหตุผลที่กล่าวไว้แล้วในค่า PV ขณะที่ระยะเวลาในการเก็บรักษา 15 วัน ส่งผลต่อการเกิดค่า CC ในระดับที่สูงที่สุดและลดลงเรื่อยๆ ตามระยะเวลาในการเก็บรักษาที่เพิ่มขึ้น เนื่องจากการระเหยของสารประกอบคาร์บอนิล โดยเฉพาะสารจำพวกอัลเดียร์และคีโนน

อิทธิพลร่วมกันระหว่างชนิดของสารต้านออกซิเดชันและระยะเวลาในการเก็บรักษามีผลต่อค่าความแตกต่างกันของปริมาณ CC ของน้ำมันที่ได้จากตัวอย่างข้าวแทนอย่างมีนัยสำคัญทางสถิติ ($P \leq 0.05$) ดังตาราง 19 โดยสาร TBHQ และใบเตยร่วมกับระยะเวลาในการเก็บรักษานานขึ้นมีผลทำให้ปริมาณ CC ในน้ำมันที่สกัดจากข้าวแทนลดลง ตัวอย่างที่ทดสอบในน้ำมันที่เติมใบเตยก่อนทดสอบจะมีปริมาณ CC ลดลงและต่ำที่สุดในช่วง 90 วัน โดยให้ค่าต่ำสุดคือ มีค่าเท่ากับ 0.22 ± 0.12 ไมโครโมล/กรัม

卷之三

แบบพืชทางการเกษตร		แบบพืชทางการค้าและอุปกรณ์ที่สักดิจิตัลสำหรับงานศึกษา						
ปีงบประมาณ	ต่อห้าม (%)	ปริมาณ FFA ต่อ A _w	(กรดไขมันอิ่มตัว (%)	ปริมาณ CD (μmol/g)	ค่า PV (meq/kg)	ค่า pAV (mg/g)	ค่า TBARS (μmol/g)	ปริมาณ CC (μmol/g)
การวัดก้านยอดเชื้อชื้น (A)								
บุบบุ (A ₁)	8.59 ^c ±2.08	0.41 ^a ±0.06	1.32 ^a ±1.11	12.47 ^a ±2.32	7.60 ^b ±1.36	14.26 ^a ±3.99	7.16 ^{bc} ±1.68	0.52 ^a ±0.09
BHA+BHT (A ₂)	11.34 ^a ±2.82	0.32 ^d ±0.05	1.07 ^{ab} ±0.76	10.82 ^b ±1.89	7.98 ^a ±1.91	12.15 ^b ±3.29	7.27 ^{ab} ±2.02	0.42 ^c ±0.09
TBHQ (A ₃)	10.51 ^b ±2.71	0.34 ^c ±0.07	1.30 ^{ab} ±1.13	8.41 ^d ±1.70	6.96 ^{ef} ±1.38	7.65 ^{ef} ±3.23	7.00 ^{ef} ±2.06	0.39 ^g ±0.07
บุบบุ (A ₄)	10.54 ^b ±2.72	0.38 ^b ±0.06	1.26 ^b ±0.98	9.10 ^e ±2.23	8.11 ^a ±1.81	13.55 ^a ±3.23	7.37 ^a ±2.16	0.48 ^b ±0.17
ผลการวัดราก (T)								
0 วัน (T ₁)	4.78 ^g ±0.76	0.39 ^c ±0.07	3.14 ^a ±0.44	9.77 ^d ±3.15	8.29 ^b ±1.87	10.08 ^d ±3.24	8.04 ^c ±1.29	0.47 ^b ±0.10
15 วัน (T ₂)	9.32 ^f ±1.42	0.30 ^b ±0.04	2.33 ^b ±0.39	10.56 ^c ±2.48	7.15 ^e ±0.73	14.46 ^a ±4.63	10.03 ^d ±0.83	0.56 ^{cd} ±0.13
30 วัน (T ₃)	10.06 ^g ±1.56	0.30 ^b ±0.04	0.74 ^c ±0.19	11.42 ^b ±2.71	9.21 ^a ±1.68	11.15 ^{cd} ±5.69	6.03 ^f ±0.93	0.45 ^{bc} ±0.12
45 วัน (T ₄)	10.66 ^d ±1.52	0.33 ^c ±0.04	0.60 ^d ±0.09	9.90 ^d ±1.25	6.55 ^d ±0.90	12.31 ^{bc} ±2.53	9.11 ^b ±0.34	0.44 ^{dc} ±0.06
60 วัน (T ₅)	11.51 ^c ±1.38	0.37 ^d ±0.05	0.63 ^d ±0.09	9.12 ^c ±2.70	6.30 ^d ±0.93	12.53 ^b ±4.00	6.67 ^d ±0.47	0.46 ^{bc} ±0.12
75 วัน (T ₆)	12.17 ^b ±1.11	0.40 ^b ±0.05	0.61 ^d ±0.08	8.15 ^f ±0.91	7.29 ^e ±1.10	10.51 ^d ±4.26	4.28 ^f ±0.39	0.42 ^c ±0.11
90 วัน (T ₇)	12.91 ^a ±0.90	0.44 ^a ±0.04	0.59 ^d ±0.05	12.47 ^b ±1.34	8.85 ^a ±1.64	12.29 ^b ±3.68	6.25 ^g ±0.50	0.37 ^d ±0.13

ตารางที่ 19 สมบัติทางเคมีของไขมันที่เต้มส่วนราชการทดสอบให้เป็นกรดไขมันต่อส่าง ๆ และเม็ดปรับขยายเมื่อเวลาต่างๆ

บีบบังคับ	สมบัติทางเคมี			สมบัติทางเคมีของไขมันที่เต้มส่วนราชการต่อไปนี้			สมบัติทางเคมีของไขมันที่เต้มส่วนราชการต่อไปนี้		
	ค่าความคงทน (N)	ค่า A _w	ปริมาณ FFA (กรดไขมันต้อง)	ปริมาณ CD (μmol/g)	ค่า PV (meq/kg)	ค่า p-AV (mg/g)	ค่า TBARS (μmol/g)	ค่าปริมาณ CC (μmol/g)	
A ₁ × T ₁	4.94 ^m	0.61	0.47 ^a ± 0.01	3.39 ^b ± 0.15	13.16 ^{bc} ± 2.96	7.42 ^{bc} ± 0.52	9.04 ^{de} ± 2.10	7.18 ^c ± 0.64	
A ₁ × T ₂	7.55 ^l ± 0.74	0.34 ^{gh} ± 0.05	2.63 ^d ± 0.20	11.75 ^{def} ± 1.59	6.80 ^{gh} ± 0.50	20.40 ^a ± 1.30	9.62 ^b ± 0.61	0.64 ^{ab} ± 0.08	
A ₁ × T ₃	7.61 ^l ± 0.38	0.33 ^{hi} ± 0.03	0.96 ^e ± 0.22	15.19 ^g ± 1.02	8.07 ^{ef} ± 1.20	14.79 ^b ± 4.55	7.03 ^{ef} ± 0.65	0.47 ^{efgh} ± 0.10	
A ₁ × T ₄	8.50 ^k ± 0.30	0.37 ^{fg} ± 0.02	0.59 ^h ± 0.09	11.67 ^{def} ± 0.48	6.72 ^{gh} ± 0.83	12.53 ^{bc} ± 0.55	8.88 ^c ± 0.31	0.49 ^{cdg} ± 0.03	
A ₁ × T ₅	9.49 ^j ± 0.35	0.43 ^{cd} ± 0.02	0.58 ^{hi} ± 0.08	12.18 ^{cde} ± 1.61	6.67 ^{gh} ± 0.50	15.13 ^b ± 1.33	6.64 ^{cig} ± 0.80	0.60 ^b ± 0.06	
A ₁ × T ₆	10.40 ^m ± 0.30	0.46 ^{abc} ± 0.02	0.56 ^b ± 0.08	9.15 ^{gh} ± 0.48	7.39 ^{bc} ± 0.32	13.13 ^{bc} ± 3.10	4.40 ^b ± 0.22	0.47 ^{gh} ± 0.07	
A ₁ × T ₇	11.64 ^{el} ± 0.26	0.46 ^{ab} ± 0.06	0.54 ⁱ ± 0.06	14.17 ^{ab} ± 0.62	10.12 ^{ab} ± 1.18	14.79 ^b ± 2.30	6.38 ^{gh} ± 0.21	0.53 ^{cde} ± 0.04	
A ₂ × T ₁	5.29 ^m ± 1.11	0.31 ^{hk} ± 0.02	2.53 ^{de} ± 0.27	11.63 ^{def} ± 1.20	9.41 ^{bcd} ± 2.54	9.20 ^{de} ± 3.54	9.63 ^b ± 0.42	0.41 ^{ghik} ± 0.03	
A ₂ × T ₂	10.29 ^{jl} ± 0.97	0.27 ^{mn} ± 0.01	1.84 ^f ± 0.40	12.67 ^{cd} ± 1.92	7.24 ^{bc} ± 0.92	13.10 ^{bc} ± 3.11	9.08 ^{bc} ± 0.15	0.51 ^{de} ± 0.13	
A ₂ × T ₃	11.40 ^f ± 0.87	0.25 ^h ± 0.06	0.62 ^h ± 0.07	10.66 ^{gh} ± 0.76	8.91 ^{cde} ± 1.99	13.38 ^b ± 2.12	5.58 ^j ± 0.80	0.33 ^h ± 0.04	
A ₂ × T ₄	12.43 ^l ± 0.78	0.33 ^{hi} ± 0.02	0.62 ^h ± 0.07	9.94 ^{gh} ± 0.33	7.09 ^{gh} ± 0.81	14.62 ^b ± 0.93	9.05 ^c ± 0.38	0.44 ^{ghm} ± 0.03	
A ₂ × T ₅	13.03 ^{bc} ± 0.59	0.31 ^{hk} ± 0.01	0.59 ^h ± 0.04	10.05 ^{gh} ± 1.06	6.22 ^{gh} ± 0.33	10.56 ^{cd} ± 1.47	6.84 ^{cig} ± 0.39	0.43 ^{gh} ± 0.05	
A ₂ × T ₆	13.12 ^b ± 0.51	0.34 ^{gh} ± 0.02	0.67 ^h ± 0.10	7.95 ^{imno} ± 0.24	7.05 ^{gh} ± 0.17	10.45 ^{cd} ± 4.03	4.22 ^k ± 0.30	0.46 ^{cdfgh} ± 0.13	
A ₂ × T ₇	13.80 ^a ± 0.42	0.40 ^e ± 0.02	0.60 ^h ± 0.04	12.87 ^{cd} ± 0.86	9.93 ^{abc} ± 1.62	13.74 ^b ± 3.08	6.50 ^{gh} ± 0.76	0.41 ^{ghijk} ± 0.02	
A ₃ × T ₁	4.46 ⁿ ± 0.39	0.35 ^{gh} ± 0.07	3.55 ^a ± 0.21	7.01 ^v ± 0.55	6.78 ^{gh} ± 0.52	8.02 ^{de} ± 1.43	7.19 ^c ± 0.43	0.42 ^{gh} ± 0.05	
A ₃ × T ₂	10.17 ^{jl} ± 0.90	0.27 ^{mn} ± 0.03	2.41 ^o ± 0.25	7.21 ^{po} ± 1.05	7.14 ^{gh} ± 0.11	8.80 ^{de} ± 0.89	10.54 ^a ± 0.33	0.41 ^{ghij} ± 0.03	

ตาราง 19 (ต่อ)

ปัจจัย	สมบัติทางเคมีของน้ำมันที่สักจากพืชอ่างทอง			สมบัติทางเคมีของน้ำมันที่สักจากพืชอ่างทองดูด		
	ค่าความแข็ง (N)	ค่า A _w	ปริมาณ FFA (กรดไขมันเดออกซิค) (%)	ปริมาณ CD (μmol/g)	ค่า PV (meq/kg)	ค่า p-AV (mg/g)
A ₁ × T ₃	10.76 ^{bh} ± 0.46	0.29 ^{klm} ± 0.01	0.65 ^{hn} ± 0.08	9.29 ^{hk} ± 2.07	9.28 ^{bcd} ± 1.64	2.53 ⁱ ± 1.17
A ₃ × T ₄	10.85 ^{gh} ± 0.55	0.28 ^{klmn} ± 0.01	0.58 ^{hn} ± 0.10	8.38 ^{kmn} ± 0.26	5.85 ^j ± 0.48	9.19 ^{dc} ± 2.44
A ₃ × T ₅	11.66 ^{ef} ± 0.54	0.35 ^{gh} ± 0.04	0.65 ^{hn} ± 0.10	8.52 ^{kmn} ± 1.08	6.48 ^{gh} ± 1.33	9.01 ^{dc} ± 3.35
A ₃ × T ₆	12.63 ^{cd} ± 0.24	0.40 ^c ± 0.01	0.60 ^{hn} ± 0.06	7.30 ^{mno} ± 0.53	5.97 ^h ± 0.34	8.82 ^{de} ± 4.54
A ₃ × T ₇	13.05 ^{bc} ± 0.49	0.44 ^{bcd} ± 0.03	0.58 ^{hn} ± 0.01	11.19 ^{elg} ± 0.59	7.26 ^{fij} ± 0.90	7.22 ^e ± 1.13
A ₄ × T ₁	4.45 ^b ± 0.40	0.41 ^{de} ± 0.02	3.08 ^k ± 0.19	7.28 ^{mno} ± 0.80	9.57 ^{abcde} ± 1.27	14.08 ^b ± 1.44
A ₄ × T ₂	10.45 ^{gh} ± 0.30	0.30 ^{ijkl} ± 0.03	2.46 ^e ± 0.20	10.62 ^{igh} ± 0.62	7.42 ^{fij} ± 0.99	15.52 ^b ± 1.56
A ₄ × T ₃	10.47 ^{gh} ± 0.32	0.33 ^{lmj} ± 0.04	0.73 ^b ± 0.11	10.57 ^{gh} ± 1.96	10.58 ^a ± 0.78	13.90 ^b ± 1.56
A ₄ × T ₄	10.87 ^g ± 0.55	0.36 ^{gh} ± 0.02	0.62 ^{hn} ± 0.10	9.63 ^{hij} ± 0.45	6.53 ^{gh} ± 1.02	12.89 ^{bc} ± 1.84
A ₄ × T ₅	11.85 ^{± 0.51}	0.39 ^{ef} ± 0.02	0.70 ^{hn} ± 0.10	5.74 ^p ± 1.45	5.83 ^j ± 1.11	15.41 ^b ± 4.43
A ₄ × T ₆	12.54 ^d ± 0.33	0.41 ^{de} ± 0.02	0.62 ^{hn} ± 0.07	8.19 ^{kmno} ± 1.02	8.74 ^{dc} ± 0.83	9.63 ^{de} ± 4.61
A ₄ × T ₇	13.17 ^b ± 0.51	0.47 ^a ± 0.02	0.62 ^{hn} ± 0.04	11.65 ^{def} ± 0.55	8.08 ^{ef} ± 0.56	13.42 ^b ± 1.80

หมายเหตุ: ตัวเลขในช่องส่วนใดก็ตามที่ตัวอักษรตัวเดียวกันต่อท้ายตัวอักษรตัวเดียวกันมีความแตกต่างกันอย่างมีนัยสำคัญทางสถิติ ($p \leq 0.05$)

A₁ = ไม่ใช้สารต้านออกไซด์ชีม A₂ = BHA+BHT A₃ = TBHQ A₄ = ไม่มี

T₁ = เวลาในการเก็บรักษา 0 วัน T₂ = เวลาในการเก็บรักษา 15 วัน T₃ = เวลาในการเก็บรักษา 30 วัน T₄ = เวลาในการเก็บรักษา 45 วัน

T₅ = เวลาในการเก็บรักษา 60 วัน T₆ = เวลาในการเก็บรักษา 75 วัน T₇ = เวลาในการเก็บรักษา 90 วัน

5.5 การวิเคราะห์ลักษณะทางประสาทสัมผัสของข้าวแทนที่ผ่านการทดสอบในน้ำมันที่เติมสารต้านออกซิเดชันและเก็บรักษาในช่วงเวลาต่าง ๆ

ค่าคะแนนจากผู้ทดสอบชินที่ผ่านการฝึกฝนเกี่ยวกับสมบัติของข้าวแทนด้านต่าง ๆ มีดังต่อไปนี้

5.5.1 ความสม่ำเสมอในการพองตัวของเม็ดข้าว

ระยะเวลาในการเก็บรักษามีความแตกต่างกันของความสม่ำเสมอในการพองตัวของเม็ดข้าวของข้าวแทนอย่างมีนัยสำคัญทางสถิติ ($P \leq 0.05$) ดังตาราง 20 แต่ความสม่ำเสมอในการพองตัวของเม็ดข้าวของข้าวแทนมีการเพิ่มขึ้นและลดลงอย่างไม่เป็นระบบ เนื่องจากตัวอย่างข้าวแทนมีเนื้อสัมผัสที่ขรุขระ ไม่เรียบและไม่เป็นเนื้อเดียวกัน เม็ดข้าวแต่ละเม็ดบนผิวน้ำมีการพองตัวที่ไม่เท่ากัน จึงยากต่อการทดสอบ ในขณะที่สารต้านออกซิเดชันชนิดต่าง ๆ ไม่มีผลทำให้เกิดความแตกต่างของความสม่ำเสมอในการพองตัวของเม็ดข้าว

อิทธิพลร่วมกันระหว่างชนิดของสารต้านออกซิเดชันและระยะเวลาในการเก็บรักษามีผลต่อค่าความแตกต่างกันของความสม่ำเสมอในการพองตัวของเม็ดข้าวแทนอย่างมีนัยสำคัญทางสถิติ ($P \leq 0.05$) ดังตาราง 21 ตัวอย่างที่มีความสม่ำเสมอในการพองตัวมากที่สุดเป็นข้าวแทนที่ทดสอบในน้ำมันที่เติมสาร BHA ร่วมกับ BHT และเก็บรักษาเป็นเวลา 75 วัน ซึ่งแสดงว่าข้าวแทนที่เก็บรักษาเป็นเวลานาน 75 วัน ยังมีการบุบตัวน้อยและผู้ชิมให้คะแนน 11.18 ± 2.82 ซึ่งมีความสม่ำเสมอร้อยละ 75 และเป็นช่วงสูงสุดของการพองตัวที่พบ เนื่องจากข้าวแทนมีความหนา 0.80 เซนติเมตร และมีเม็ดข้าวบางส่วนที่อยู่ด้านในพองตัวได้น้อย

5.5.2 สี

ชนิดของสารต้านออกซิเดชันและระยะเวลาในการเก็บรักษามีผลต่อค่าความแตกต่างกันของสีของข้าวแทนอย่างมีนัยสำคัญทางสถิติ ($P \leq 0.05$) ดังตาราง 20 โดยสาร BHA ร่วมกับ BHT และสารจากธรรมชาติมีผลต่อค่าสีของข้าวแทนมากที่สุด เนื่องจากสารต้านออกซิเดชันทั้ง 2 ชนิดมีผลต่อการต้านปฏิกิริยาออกซิเดชัน ได้ดี จึงสามารถช่วยลดการเกิดเพอร์ออกไซด์ที่มีฤทธิ์ในการฟอกสี ทำให้สีในตัวอย่างข้าวแทนไม่ซีดลงมากนัก ในขณะที่ระยะเวลาในการเก็บรักษานานขึ้น แนวโน้มของคะแนนด้านสีมีค่าลดลง เพราะเกิดปฏิกิริยาออกซิเดชัน ได้สารประกอบเพอร์ออกไซด์

ซึ่งเป็นสารที่ทำให้สีข้าวแทนซีคล่อง

ข้าวแทนที่ทดสอบในน้ำมันที่เติมสารต้านออกซิเดชันชนิดต่าง ๆ และเก็บรักษาในช่วงเวลาต่าง ๆ มีผลทำให้คะแนนจากผู้ชี้มั่นด้านสีไม่มีความแตกต่างกันอย่างมีนัยสำคัญทางสถิติ ($P>0.05$) โดยมีสีอยู่ในช่วงสีเหลืองซีดจันถึงสีเหลืองทอง แนวโน้มคะแนนของค่าสีของตัวอย่างที่ทดสอบในน้ำมันที่ไม่เติมสารต้านออกซิเดชันมีค่าต่ำที่สุด ผู้บริโภคไม่ยอมรับข้าวแทนในช่วงสีเหลืองซีดเนื่องจากคุณไม่น่ารับประทานและคุณเมื่อหมดอายุ ในขณะที่ตัวอย่างข้าวแทนที่ผ่านการทดสอบในน้ำมันที่เติม BHA ผสมร่วมกับ BHT มีคะแนนค่าสีเท่ากับ 8.92 ± 10.05 และมีสีเหลืองทองถึงสีเหลืองน้ำตาล โดยวันแรกของการทดสอบข้าวแทนมีคะแนนค่าสีเท่ากับ 10.05 ± 2.79 และมีสีเหลืองน้ำตาล ต่อมาสีซีดลงจนเป็นสีเหลืองทอง ในส่วนของตัวอย่างที่เติม TBHQ มีค่าอยู่ในช่วง 7.04 ± 8.44 และตัวอย่างที่เติมสารจากธรรมชาติมีคะแนนค่าสีอยู่ในช่วง 8.83 ± 9.85 และมีสีเหลืองทองและอยู่ได้นานจนครบ 90 วัน สีของตัวอย่างควบคุมที่ซีดลงเนื่องจากเป็นตัวอย่างที่ไม่เติมสารต้านออกซิเดชันและสามารถเกิดปฏิกิริยาออกซิเดชันได้ง่ายที่สุด โดยคุณสมบัติของเพอร์ออกไซด์สามารถทำการฟอกสีได้ยิ่งตัวอย่างมีเพอร์ออกไซด์มากเท่าไร สีในตัวอย่างยิ่งมีสีซีดลงเท่านั้น

5.5.3 ความกรอบ

ชนิดของสารต้านออกซิเดชันและระยะเวลาในการเก็บรักษามีความแตกต่างกันของคะแนนความกรอบของข้าวแทนที่ผ่านการทดสอบในน้ำมันที่เติมสารต้านออกซิเดชันอย่างมีนัยสำคัญทางสถิติ ($P\leq0.05$) ดังตาราง 20 โดยสารต้านออกซิเดชันทั้ง 3 ชนิด มีผลต่อคะแนนความกรอบของข้าวแทนได้สูงที่สุด เนื่องจากสารต้านออกซิเดชันเป็นสารก่อรุ่มที่ไม่มีข้อห้ามทำให้ข้าวแทนดูดความชื้นจากอากาศในถุงน้ำยกว่าชนิดที่ไม่เติมสารต้านออกซิเดชัน ในขณะที่ระยะเวลาในการเก็บรักษานานขึ้นทำให้ความกรอบของข้าวแทนลดลง เนื่องจากถุงพลาสติกโพลีไพรีดีน ยินยอมให้ความชื้นบางส่วนซึ่งผ่านจากข้างนอกเข้าสู่ในถุงได้ ตัวอย่างข้าวแทนภายในถุงจะดูดซับความชื้นเพิ่มขึ้นเรื่อย ๆ ประกอบกับข้าวแทนเป็นอาหารแห้งจึงว่องไวต่อความชื้น ค่าความกรอบที่ได้จึงลดลงตามเวลาการเก็บรักษาที่เพิ่มขึ้น

อิทธิพลร่วมกันระหว่างชนิดของสารต้านออกซิเดชันและระยะเวลาในการเก็บรักษามีความแตกต่างกันของคะแนนค่าความกรอบของข้าวแทนที่ผ่านการทดสอบในน้ำมันที่เติมสารต้านออกซิเดชันอย่างมีนัยสำคัญทางสถิติ ($P>0.05$) ดังตาราง 21 เพราะข้าวแทนที่พองตัวมากกว่าจะดูดความชื้นจากอากาศได้มากกว่าความกรอบซึ่งลดลง ประกอบกับข้าวแทนมีลักษณะไม่เป็นเนื้อเดียวกันจึงสังเกตความแตกต่างได้やすく

5.5.4 กลิ่นรส

ชนิดของสารต้านออกซิเดชันและระยะเวลาในการเก็บรักษามีผลต่อความแตกต่างกันของคะแนนด้านกลิ่นรสของข้าวแทนอย่างมีนัยสำคัญทางสถิติ ($P \leq 0.05$) ดังตาราง 20 โดยตัวอย่างควบคุมที่ไม่เติมสารต้านออกซิเดชันก่อนการหยอดมีกลิ่นรสของข้าวแทนต่ำกว่าชนิดที่เติมสารต้านออกซิเดชันทั้ง 3 ชนิด ชนิด แต่ต่างกันเพียงเล็กน้อย ในขณะที่ระยะเวลาในการเก็บรักษาขึ้นก็จะนานยิ่งส่งผลทำให้กลิ่นรสของข้าวแทนได้คะแนนลดลง เนื่องจากข้าวแทนเริ่มเกิดปฏิกิริยาออกซิเดชันทำให้ผู้ทดสอบชินให้คะแนนกลิ่นรสตัวอย่างข้าวแทนลดลง โดยสังเกตพบกลิ่นไม่พึงประสงค์ชัดเจนตั้งแต่ 75 วันเป็นต้นไป

อิทธิพลร่วมกันระหว่างชนิดของสารต้านออกซิเดชันและระยะเวลาในการเก็บรักษามีผลต่อความแตกต่างกันของคะแนนกลิ่นรสของข้าวแทนอย่างมีนัยสำคัญทางสถิติ ($P \leq 0.05$) ดังตาราง 21 โดยสารต้านออกซิเดชันทั้ง 3 รวมถึงตัวอย่างควบคุมร่วมกับระยะเวลาในการเก็บรักษาทุกช่วงเวลา มีผลต่อการเกิดกลิ่นรสของข้าวแทนลดลง เนื่องจากในช่วงวันแรกข้าวแทนที่หอดในน้ำมันที่เติมสารต้านออกซิเดชันทั้ง 3 ชนิดและชนิดที่ไม่เติมสารต้านออกซิเดชันพบว่า ผู้ทดสอบชินให้คะแนนใกล้เคียงกัน โดยอยู่ในช่วง 10.10-10.87 เพาะบันทึกที่หอดใหม่ ๆ จะมีกลิ่นหอมของน้ำมันและกลิ่นที่เกิดจากปฏิกิริยามลาร์คหลังจากนั้นกลิ่นหอมจากปฏิกิริยามลาร์คลดลง เนื่องจากการระเหยสู่บรรยายกาศขณะเดียวกันน้ำมันในข้าวแทนเกิดปฏิกิริยาออกซิเดชันและเกิดกลิ่นที่ไม่พึงประสงค์ขึ้น ซึ่งผู้ทดสอบชินให้คะแนนลดลงเมื่อเก็บรักษานานขึ้น นอกจากนี้กลิ่นไม่พึงประสงค์อื่น ๆ ที่ผู้ชิมสังเกตพบ คือ กลิ่นรสเผื่อนของสารต้านออกซิเดชันที่ตกค้างในตัวอย่างข้าวแทนซึ่งถูกกลบด้วยกลิ่นหอมของข้าวแทนหลังการหอดใหม่ แต่ต่อมากลิ่นหอมระเหยออกไปกลิ่นสารต้านออกซิเดชันชนิดที่เป็นสารสังเคราะห์จะถูกสังเกตพบ โดยผู้ชิมผสมกับกลิ่นหืนที่เริ่มเกิดขึ้น โดยตัวอย่างที่ไม่เติมสารต้านออกซิเดชันในน้ำมันที่ใช้หอดเกิดกลิ่นไม่พึงประสงค์ขึ้นตั้งแต่ 45 วันเป็นต้นไป โดยผู้ชิมให้คะแนนต่ำกว่า 9 เมื่อผู้ชิมสังเกตพบกลิ่นไม่พึงประสงค์ แต่เมื่อเก็บรักษานานขึ้นกลิ่นรสเผื่อนจะหายใจลงแต่จะมีกลิ่นหืนเพิ่มขึ้น ในขณะที่ข้าวแทนที่หอดในน้ำมันที่มีการหอดใบเตยก่อนหอดข้าวแทนจะไม่มีกลิ่นรสเผื่อนแต่จะสังเกตพบกลิ่นหืนหลังจากการเก็บรักษาเป็นเวลา 75 วัน เนื่องจากใบเตยมีสารต้านออกซิเดชันดังที่กล่าวไว้แล้วในตาราง 2

5.5.5 ระดับกลิ่นหืนที่ผู้ชุมสังเกตพบ

ชนิดของสารต้านออกซิเดชันและระยะเวลาในการเก็บรักษามีผลต่อความแตกต่างกันของคะแนนระดับกลิ่นหืนของข้าวแทนอย่างมีนัยสำคัญทางสถิติ ($P \leq 0.05$) ดังตาราง 20 โดยสารต้านออกซิเดชันทั้ง 3 ชนิด มีผลต่อการเกิดกลิ่นหืนของข้าวแทนต่ำที่สุด เมื่อจากสารต้านออกซิเดชันมีฤทธิ์ในการดักจับอนุมูลอิสระจึงสามารถลดการเกิดการเหม็นหืนได้ ในขณะที่ระยะเวลาในการเก็บรักษานานขึ้นส่งผลต่อการเกิดกลิ่นหืนในข้าวแทนได้มากขึ้น เพราะฤทธิ์ของสารต้านออกซิเดชันลดลงตามระยะเวลาที่เพิ่มขึ้น ทั้งนี้ศึกษาในระยะเวลานาน 90 วัน พบว่ากลิ่นเหม็นหืนตื้นเท่านั้นที่เก็บรักษา 45 วันเป็นต้นไป

อิทธิพลร่วมกันระหว่างชนิดของสารต้านออกซิเดชันและระยะเวลาในการเก็บรักษามีผลต่อความแตกต่างกันของคะแนนระดับกลิ่นหืนของข้าวแทนอย่างมีนัยสำคัญทางสถิติ ($P \leq 0.05$) ดังตาราง 21 โดยสารต้านออกซิเดชันทั้ง 3 ชนิด รวมถึงตัวอย่างควบคุมร่วมกับระยะเวลาในการเก็บรักษาที่นานขึ้นมีผลต่อการเกิดกลิ่นหืนในตัวอย่างข้าวแทนได้มากขึ้น ตัวอย่างที่ไม่เติมสารต้านออกซิเดชันลงในน้ำมันที่ใช้ทอด ผู้ชุมสังเกตพบกลิ่นเหม็นหืนเมื่ออายุการเก็บรักษา 30 วัน เป็นต้นไป ซึ่งสอดคล้องกับคะแนนด้านกลิ่นรส ขณะที่สารต้านออกซิเดชันทั้ง BHA ร่วมกับ BHT-TBHQ และใบเตย เมื่อเติมลงในน้ำมันที่ใช้ทอดผู้ชุมสังเกตพบกลิ่นเหม็นหืนในข้าวแทนเมื่ออายุการเก็บรักษา 45 วัน เป็นต้นไป ซึ่งพบว่าไม่สอดคล้องกับค่าคะแนนด้านกลิ่นรส เนื่องจากผู้ทดสอบชิมถูกฝึกการทดสอบกลิ่นเหม็นหืนจนสามารถสังเกตพบกลิ่นเหม็นหืนได้ไวกว่าบุคคลทั่วไป ทั้งนี้หั้งน้ำนั่นจะใช้ผลจากคะแนนด้านกลิ่นรสเป็นเกณฑ์ ซึ่งพบว่าผลการทดสอบด้านประสาทสัมผัสให้ผลที่ลงทะเบียดกว่าผลทางเคมีในช่วงระยะเวลาศึกษาดังกล่าว เมื่อข้าวแทนบรรจุในถุงพลาสติกโพลีไพรีลีน ซึ่งมีการแลกเปลี่ยนอากาศและความชื้น ได้เล็กน้อย

ในส่วนของน้ำมันทอดทั้ง 4 ชนิดพบว่า มีปริมาณกรดไขมันอิสระและค่าเพอร์ออกไซด์ไม่แตกต่างกัน ในขณะที่ตัวอย่างน้ำมันที่ทอดข้าวแทนที่เติม TBHQ มีปริมาณคอนจูเกตไฮอีนและค่าพารา-อะนิชีนต่ำที่สุดเมื่อเทียบกับน้ำมันทอดอีก 3 ชนิด

ชนิดของสารต้านออกซิเดชันที่เหมาะสมสำหรับขึ้ดอายุการเก็บรักษาของข้าวแทน คือ TBHQ เมื่อจากตลอดช่วงอายุการเก็บรักษาถึง 90 วัน โดยมีปริมาณคอนจูเกตไฮอีนค่าเพอร์ออกไซด์ ค่าพารา-อะนิชีน ค่าทีบาร์สมิคาน้อยที่สุดเมื่อเทียบกับตัวอย่างชนิดอื่น ส่วนการทดสอบทางประสาทสัมผัสพบว่า ผู้ทดสอบชิมให้การยอมรับตัวอย่างที่เติม TBHQ ซึ่งข้าวแทนมีลักษณะความสม่ำเสมอในการพองตัวของเม็ดข้าวถึงร้อยละ 75 มีตีนช่วงสีเหลืองทอง มีความกรอบอยู่ในช่วงกรอบ-ร่วน มีกลิ่นรสที่ดี ไม่มีกลิ่นหืน โดยสามารถเก็บรักษาได้ 60 วัน

ขณะที่ข้าวแทนที่ไม่เติมสารต้านออกซิเดชันจะเก็บรักษาเพียง 30 วัน ในบรรจุภัณฑ์พลาสติกชนิดโพลีไพรีฟลีน



ตาราง 20 ค่าผลลัพธ์การทดสอบทางวิเคราะห์สัมผัสของบากอิฐพอลิเมอร์ปูนซีเมนต์

วันที่	ความต่ำงมาตรฐานในการพอยต์ว	คุณลักษณะประสานเส้นผสาน			กลั่นตัว	ระดับปกติน้ำหนักผู้ชุมสังเกตพบ
		สี	ความกรอบ	กลิ่นตัว		
สารต้านออกไซด์ชนิดทั่วไป (A)						
บีบีฟีฟี (A ₁)	9.52 ^{ns} ±2.43	6.57 ^c ±2.60	7.49 ^b ±2.97	9.10 ^b ±2.32	3.25 ^a ±2.66	
BHA+BHT (A ₂)	9.41 ^{ns} ±4.42	9.60 ^a ±2.50	8.48 ^a ±2.45	9.60 ^a ±2.55	2.76 ^a ±1.90	
TBHQ (A ₃)	9.43 ^{ns} ±2.58	7.61 ^b ±2.97	8.70 ^a ±2.82	9.74 ^a ±2.28	2.90 ^b ±1.94	
สารจากธรรมชาติ (A ₄)	9.85 ^{ns} ±2.43	9.40 ^a ±2.56	8.78 ^a ±22.92	9.77 ^a ±3.30	2.70 ^b ±1.79	
เวสกานีนวิกฤต (T)						
0 วัน (T ₁)	9.14 ^{bc} ±2.39	8.16 ^{ab} ±3.33	9.55 ^a ±2.81	10.56 ^a ±2.09	0.82°±0.65	
15 วัน (T ₂)	9.45 ^{abc} ±2.43	8.02 ^{ab} ±2.84	9.30 ^b ±2.77	9.99 ^{ab} ±2.17	1.87°±0.86	
30 วัน (T ₃)	8.87 ^c ±2.57	8.67 ^a ±2.95	8.92 ^{ab} ±2.53	10.03 ^{ab} ±3.58	2.80°±0.71	
45 วัน (T ₄)	10.06 ^a ±2.44	8.58 ^a ±2.84	8.31 ^{bc} ±2.68	9.52 ^b ±2.38	3.45 ^b ±1.72	
60 วัน (T ₅)	9.63 ^{abc} ±2.51	8.56 ^a ±2.83	8.00 ^{cd} ±2.73	9.67 ^b ±1.80	3.72 ^b ±2.22	
75 วัน (T ₆)	9.92 ^{ab} ±5.38	8.36 ^a ±2.77	7.61 ^a ±2.83	8.29 ^c ±2.96	3.41 ^b ±2.33	
90 วัน (T ₇)	9.81 ^{ab} ±2.54	7.69 ^b ±2.94	6.88 ^c ±2.57	8.84 ^c ±2.54	4.26°±2.79	

หมายเหตุ: กรณีร่องรอยมีเดียวันที่เป็นผืนผลไม้กระถางต้นอยู่ก็จะต้องนับรวมแต่ต่างกันน้อยกว่าค่าที่ทางสถาบันได้กำหนดไว้ ($p \leq 0.05$)
และค่าในช่องแสดงให้เข้าใจว่าค่าที่เป็นผลมาจากการประมวลผลในภาพเท่านั้นไม่รวมถึงค่าที่ทางสถาบันกำหนดไว้ ($p \leq 0.05$)

ตาราง 21 ผลการทดสอบทางวิเคราะห์ทางสถิติของข่าวสารพัฒนาพืชเพื่อเตรียมสารต้านอนกซิเดชันต่างๆ และศักยภาพในการลดเวลาทำงาน

ปัจจัย	ค่าเบสเมืองทุ่นรองการผลิต	ตัวแปร kontrol	คุณลักษณะทางประสาทสัมผัส		ระดับปกติน้ำหนักผู้ชุมชนเกษตรฯ
			กําลังรด	กําลังรด	
A × T					
A ₁ × T ₁	9.54 ^{abcde} ± 1.93	6.40 ^{ns} ± 2.74	9.13 ^{ns} ± 2.66	10.87 ^{ab} ± 1.37	0.67 ^a ± 0.52
A ₁ × T ₂	10.03 ^{abcde} ± 1.72	6.50 ^{ns} ± 2.42	8.74 ^{ns} ± 2.90	9.47 ^{bcd} ± 2.17	1.76 ^{gh} ± 1.00
A ₁ × T ₃	8.91 ^{cde} ± 2.32	7.24 ^{ns} ± 2.86	8.02 ^{ns} ± 2.83	9.61 ^{bcd} ± 1.88	3.11 ^{cde} ± 0.63
A ₁ × T ₄	10.50 ^{abc} ± 1.88	6.75 ^{ns} ± 2.53	7.17 ^{ns} ± 2.78	8.86 ^{defgh} ± 2.67	3.48 ^{cd} ± 2.13
A ₁ × T ₅	9.18 ^{bcd} ± 2.97	6.57 ^{ns} ± 2.47	6.77 ^{ns} ± 2.73	8.89 ^{defgh} ± 1.51	4.45 ^b ± 2.74
A ₁ × T ₆	9.32 ^{bcd} ± 2.91	6.87 ^{ns} ± 2.50	6.42 ^{ns} ± 2.89	8.48 ^{gh} ± 2.91	3.24 ^{cde} ± 2.16
A ₁ × T ₇	9.17 ^{bcd} ± 2.76	5.64 ^{ns} ± 2.56	6.18 ^{ns} ± 2.81	7.54 ^h ± 1.96	6.08 ^a ± 3.68
A ₂ × T ₁	8.92 ^{bcd} ± 2.51	10.05 ^{ns} ± 2.79	9.30 ^{ns} ± 2.68	10.10 ^{abcde} ± 2.30	1.02 ^m ± 0.71
A ₂ × T ₂	8.71 ^{def} ± 2.76	9.46 ^{ns} ± 2.09	8.84 ^{ns} ± 2.47	9.81 ^{abcd} ± 2.20	1.83 ^{lgh} ± 0.75
A ₂ × T ₃	7.90 ⁱ ± 2.39	9.87 ^{ns} ± 2.51	8.80 ^{ns} ± 2.07	9.67 ^{abcde} ± 2.47	2.89 ^{de} ± 0.67
A ₂ × T ₄	9.78 ^{abcde} ± 2.69	9.93 ^{ns} ± 2.52	8.52 ^{ns} ± 2.83	9.43 ^{bcd} ± 2.59	3.40 ^{cde} ± 1.67
A ₂ × T ₅	9.61 ^{abcde} ± 2.48	9.51 ^{ns} ± 2.27	8.08 ^{ns} ± 2.43	10.51 ^{abc} ± 1.84	3.47 ^{cd} ± 2.03
A ₂ × T ₆	11.18 ^a ± 2.82	9.47 ^{ns} ± 2.27	7.99 ^{ns} ± 2.13	7.96 ^{gh} ± 3.38	3.32 ^{vile} ± 2.56
A ₂ × T ₇	9.77 ^{abcd} ± 2.02	8.92 ^{ns} ± 2.97	7.85 ^{ns} ± 2.26	9.74 ^{abcde} ± 2.20	3.40 ^{cde} ± 2.29
A ₃ × T ₁	8.32 ^{ef} ± 2.47	7.14 ^{ns} ± 3.58	9.86 ^{ns} ± 2.50	10.55 ^{abc} ± 2.21	0.89 ± 0.84
A ₃ × T ₂	9.97 ^{bcd} ± 2.59	7.04 ^{ns} ± 3.04	9.75 ^{ns} ± 2.64	10.42 ^{abc} ± 1.90	1.92 ^g ± 0.86

ຕົກລາງ 21 (ໜ້າ)

ប្រចូល	ការអនុវត្តន៍សម្រាប់ការរួមចំណែក	គុណភាពមិនមេន្ទាន់របស់ភាពពីរ			គម្រោងបញ្ជីនៃការអនុវត្តន៍សម្រាប់ការរួមចំណែក
		តឹតា	ការអនុវត្តន៍	ការអនុវត្តន៍	
$A_3 \times T_3$	9.13 ^{bcd} ±2.87	8.09 ^{ns} ±2.84	9.02 ^{ns} ±2.48	9.75 ^{abcd} ±2.29	2.73 ^{def} ±0.70
$A_3 \times T_4$	9.50 ^{abcde} ±2.79	7.78 ^{ns} ±2.76	8.88 ^{ns} ±2.59	9.80 ^{abcde} ±1.95	3.42 ^{cde} ±1.71
$A_3 \times T_5$	9.71 ^{abcde} ±1.89	8.44 ^{ns} ±2.55	8.64 ^{ns} ±2.85	9.68 ^{abcd} ±1.69	3.70 ^{bcd} ±2.06
$A_3 \times T_6$	9.79 ^{abde} ±2.29	7.45 ^{ns} ±3.04	7.83 ^{ns} ±3.08	8.68 ^{cdeg} ±2.52	3.67 ^{bcd} ±2.24
$A_3 \times T_7$	9.57 ^{ab-cde} ±2.84	7.37 ^{ns} ±2.83	6.94 ^{ns} ±2.61	9.32 ^{cdeg} ±2.81	3.96 ^{bc} ±2.27
$A_4 \times T_1$	9.78 ^{abde} ±2.45	9.05 ^{ns} ±2.90	9.91 ^{ns} ±3.36	10.73 ^{bcd} ±2.32	0.68 ^f ±0.40
$A_4 \times T_2$	9.08 ^{bcd} ±2.35	9.09 ^{ns} ±2.63	9.86 ^{ns} ±2.98	10.25 ^{abcd} ±2.33	1.96 ^{ef} ±0.83
$A_4 \times T_3$	9.54 ^{abcde} ±2.48	9.51 ^{ns} ±2.88	9.82 ^{ns} ±2.45	11.08 ^a ±5.99	2.48 ^{cdeg} ±0.73
$A_4 \times T_4$	10.45 ^{abcd} ±2.23	9.85 ^{ns} ±2.20	8.65 ^{ns} ±2.27	9.98 ^{abcde} ±2.16	3.51 ^{cd} ±1.37
$A_4 \times T_5$	10.03 ^{abcde} ±2.62	9.72 ^{ns} ±2.90	8.49 ^{ns} ±2.60	9.60 ^{bcd} ±1.82	3.26 ^{cde} ±1.85
$A_4 \times T_6$	9.38 ^{bcdef} ±2.38	9.66 ^{ns} ±2.13	8.19 ^{ns} ±2.88	8.04 ^{gh} ±3.06	3.43 ^{cde} ±2.44
$A_4 \times T_7$	10.72 ^{ab} ±2.27	8.83 ^{ns} ±2.15	6.53 ^{ns} ±2.34	8.74 ^{cdeg} ±2.63	3.61 ^{bcd} ±1.77

การวิเคราะห์ผลการทดลองพบว่า ตัวแปรที่มีผลต่อความเสี่ยงของผู้ป่วยเป็นโรคหัวใจและหลอดเลือด คือ อายุ ($p < 0.05$) แต่ไม่สามารถระบุตัวแปรใดๆ ที่มีผลต่อความเสี่ยงของผู้ป่วยเป็นโรคหัวใจและหลอดเลือดได้ ($p \geq 0.05$)

๖๙๘

卷之三

$A_1 = \text{ผู้ต้องรับผิดชอบต้นทุน}$ $A_2 = \text{BHA+BHI}$ $A_3 = \text{IBNQ}$ $A_4 = \text{ผลผลิต}$

บทที่ 5

สรุปผลการวิจัยและข้อเสนอแนะ

สรุปผลการวิจัย

1. การศึกษาประสิทธิภาพของแม่พิมพ์แผ่นพลาสติกอะคริลิคเมื่อเทียบกับแม่พิมพ์ของกลุ่มแม่บ้าน ทั้ง 2 ขนาดพบว่า แม่พิมพ์ขนาดเล็กที่มีเส้นผ่าศูนย์กลาง 2.50 เซนติเมตร ที่ความหนา 0.5 เซนติเมตร ขณะที่แม่พิมพ์ใหม่ขนาดใหญ่ซึ่งมีเส้นผ่าศูนย์กลาง 4.00 เซนติเมตร ที่ความหนา 0.8 เซนติเมตร ใช้ได้ดีที่สุด

2. การศึกษาอุณหภูมิในการอบแห้งและความชื้นที่เหลือที่มีผลต่อคุณภาพของข้าวแทนหลังทดสอบและการเตือนคุณภาพของน้ำมันที่ใช้ทดสอบ พบว่าการอบแห้งที่อุณหภูมิ 65 องศาเซลเซียส จนเหลือความชื้นร้อยละ 10 ได้ข้าวแทนมีความกรอบดี คุณชั้บน้ำมันได้น้อยและมีสีที่ดี คือ มีสีเหลืองที่ไม่หมองคล้ำ ส่วนข้าวแทนอบแห้งที่อุณหภูมิ 65 และ 70 องศาเซลเซียส ที่ความชื้นร้อยละ 5 มีค่าความกรอบที่น้อยที่สุดและผลิตภัณฑ์ที่ได้มีสีคล้ำ

ส่วนสมบัติทางเคมีเป็นการตรวจสอบการเปลี่ยนคุณภาพน้ำมันหลังการทดสอบ 2 ชั่วโมง ติดต่อกัน ในกรณีน้ำมันที่ใช้ทดสอบข้าวแทนที่ผ่านการอบแห้งอุณหภูมิ 65 องศาเซลเซียส จนเหลือปริมาณความชื้นร้อยละ 10 พบว่า มีการเพิ่มขึ้นของค่าต่าง ๆ หลังการทดสอบ คือ ปริมาณกรดไขมันอิสระ ค่ากอนจูเกต ไอลิน ค่าพารา-อะนิชีนและค่าทีบาร์สอยู่ในระดับต่ำ

3. การศึกษาชนิดของน้ำมันที่ใช้ในการทดสอบ เวลาและอุณหภูมิในการทดสอบที่มีผลต่อคุณภาพข้าวแทนพบว่า น้ำมันปาล์ม โอลิเยอินใช้ได้ดีกว่า เนื่องจากไม่เป็นไข่ที่อุณหภูมิห้องจึงไม่ต้องเสียเวลาในการอุ่นน้ำมันก่อนการทดสอบ รวมทั้งน้ำมันพัสมะ레이ได้ง่ายขึ้นเมื่อมีการสูญเสียระหว่างการทดสอบ เนื่องจากมีจุดเดือดต่ำกว่า น้ำมันปาล์ม โอลิเยอินซึ่งจะทำให้สูญเสียได้มากกว่า และมีการเพิ่มขึ้นของปริมาณกรดไขมันอิสระหลังการทดสอบต่ำกว่า น้ำมันพัสมะเลย์ นอกจากนี้น้ำมันพัสมะเลย์มีราคาแพงกว่าแม้ว่า น้ำมันปาล์ม โอลิเยอินจะเสื่อมเสียได้ง่ายกว่า น้ำมันพัสมะเลย์ โดยการทดสอบด้วยน้ำมันปาล์ม โอลิเยอินที่ อุณหภูมิ 210 องศาเซลเซียส ทำให้ข้าวแทนที่ได้มีสีสวยงาม มีการคุ้มชั้บน้ำมันน้อย การเปลี่ยนคุณภาพของน้ำมันที่ใช้ทดสอบน้อยกว่าที่อุณหภูมิอื่น ๆ โดยเฉพาะการเพิ่มขึ้นของปริมาณค่ากอนจูเกต-ไอลิน ปริมาณเพอร์ออกไซด์ และค่าทีบาร์ส ส่วนเวลาในการทดสอบที่เหมาะสม คือ 30 วินาที ข้าวแทนที่ได้มีสีเหลืองทองจนถึงเหลืองน้ำตาล ขณะที่เวลาอื่น ๆ จะให้สีข้าวแทนหมองคล้ำ และการเปลี่ยนคุณภาพน้ำมันหลังการทดสอบพบว่า การเพิ่มขึ้นของค่าเพอร์ออกไซด์และทีบาร์สอยู่ในระดับต่ำ

4. การศึกษานิดของสารต้านออกซิเดชันและระยะเวลาในการเก็บรักษาที่มีผลต่อการเปลี่ยนแปลงคุณภาพทางกายภาพและเคมีของข้าวแทนพบว่า คุณภาพของน้ำมันหลังการหดเมื่อใช้สาร TBHQ เมื่อเทียบกับสารต้านออกซิเดชันอื่น ๆ และคุณภาพของน้ำมันที่สักดิจากตัวอย่างข้าวแทนที่ผ่านการหดในน้ำมันที่เติมสารต้านออกซิเดชันชนิดต่าง ๆ ในทุกช่วงของอายุการเก็บรักษาที่เกิดขึ้นน้อยที่สุดเมื่อเติมสาร TBHQ ซึ่งสอดคล้องกับผลการทดสอบทางประสาทัฟฟ์ส์โดยช่วยให้สามารถเก็บรักษาข้าวแทนได้นานขึ้นกว่าชนิดที่ไม่เติมสารต้านออกซิเดชัน ซึ่งเก็บรักษาได้นาน 75 วัน ขณะที่ข้าวแทนที่ไม่เติมสารต้านออกซิเดชันเก็บรักษาได้เพียง 30 วัน แต่ถ้าใช้สารธรรมชาติ คือ ใบเตย จะเก็บรักษาได้เป็นเวลา 60 วัน ซึ่งใช้ได้ร่องมากจาก TBHQ

ข้อเสนอแนะ

1. การขึ้นรูปข้าวแทนไม่ควรกดແ่นจนเกินไป รวมถึงข้าวแทนที่หานานเกินไป เนื่องจากเมื่อนำไปหดข้าวแทนจะไม่พอง เม็ดข้าวจะลีบและน้ำมันไม่สามารถเข้าสู่เนื้อในของข้าวแทนได้ทั้งหมด โดยเฉพาะส่วนที่อยู่ด้านใน
2. การอบแห้งข้าวแทนในตู้อบลมร้อนควรดูทิศทางของลมเข้าและออกให้ดี เนื่องจากทางลมเข้าจะพัดพาความชื้นในตัวอย่างออกมาได้กว่าทางลมออก จึงจำเป็นต้องทำการสลับถาดเพื่อให้มีการพัดพาความชื้นออกจากตัวอย่าง ได้เท่ากันและควรทำการพลิกกลับด้านหน้าและด้านหลังของตัวอย่างที่ทำการอบแห้งด้วย เนื่องจากความชื้นของปรุที่ใช้ระบายน้ำอากาศค่อนข้างห่าง มีตัวอย่างบางส่วนไม่สามารถสัมผัสกับลมร้อนได้โดยตรง ทางที่ดีควรใช้ตะแกรงมุ้งลวดคีที่สุด เนื่องจากเนื้อตาข่ายมีความถี่ การพัดพาความชื้นออกจากตัวอย่างสามารถทำได้เท่ากันทั่วทั้งชิ้น
3. การลดระยะเวลาในการขึ้นรูปข้าวแทนอาจทำได้ด้วยการปรับส่วนผสมให้มีปริมาณของเหลวเพิ่มขึ้นด้วยการผสมน้ำในสัดส่วนที่พอเหมาะ เพื่อลดการจับตัวเป็นก้อนของข้าว
4. การใช้บรรจุภัณฑ์ที่เหมาะสมช่วยลดการเกิดออกซิเดชัน ด้วยการใช้ถุงเมทัลไลซ์ (metallize) หรือการใช้ถุงพอลีไพรีลีนชนิดขุ่น เพื่อช่วยป้องกันการซึมผ่านของอากาศและลดอัตราการเร่งปฏิกิริยาออกซิเดชันนี้ของจากแสง

บรรณานุกรม

- เกศรากรณ์ มนชัยภูมิวัฒน์. 2545. **ไขมันและน้ำมัน.** [ระบบออนไลน์] แหล่งที่มา <http://wwwthaigoodview.com/library/studentshow/st2545/4-5/no12/fatpic.html>. (20 กรกฎาคม 2547).
- นคเพศ รังควัต. 2544. ภูมิปัญญาชาวบ้าน: ข้าวแต่น/ข้าวโป่ง. เม็จฉริทัคที 2(3): 67-72.
- นวลศรี รักอิสริยะธรรมและอัญชนา เจนวิชี. 2545. **แอนติออกซิเดนท์: ในผัก-สมุนไพร.** เชียงใหม่: นพบุรีการพิมพ์. 125 น.
- นิติยา รัตนานนท์. 2541. **วิทยาศาสตร์การอาหารของไขมันและน้ำมัน.** เชียงใหม่: ภาควิชา วิทยาศาสตร์และเทคโนโลยีการอาหาร คณะอุตสาหกรรมเกษตร มหาวิทยาลัยเชียงใหม่. 193 น.
- _____. 2543. **ผลกระทบจากการแปรรูปต่ออาหารและสารอาหาร.** เชียงใหม่: ภาควิชาวิทยาศาสตร์ และเทคโนโลยีการอาหาร คณะอุตสาหกรรมเกษตร มหาวิทยาลัยเชียงใหม่. 250 น.
- _____. 2545. **เคมีอาหาร.** กรุงเทพฯ: โอเดียนสโตร์. 487 น.
- นุช ผลงาน. 2545. **ปัจจัยที่มีผลต่อคุณภาพอาหารขบเคี้ยวจากกระบวนการทอด.** วิทยานิพนธ์ ปริญญาโท สาขาพัฒนาผลิตภัณฑ์อุตสาหกรรมเกษตร มหาวิทยาลัยเกษตรศาสตร์. 85 น.
- วรรณี เดชะกานแหงและศรีเกษม ทองยงค์. 2530. **เคมีอาหารเบื้องต้น.** กรุงเทพฯ: โอเดียนสโตร์. 128 น.
- เบญจมาภรณ์ ปัญญาพวง วาสนา อภิวัฒนานนท์และพิมพ์พรรณ สันทัด. 2539. **ผลกระทบทางกายภาพ และเคมีที่มีต่อการสกัดกลิ่นรสจากใบเตย.** กรุงเทพฯ: มหาวิทยาลัยหอการค้าไทย. 81 น.
- ปราณี วรารสวงศ์. 2542. **เอกสารประกอบการเรียนบทปฏิบัติการวิชา กอ 320 เเคมีอาหาร.** เชียงใหม่: ภาควิชาเทคโนโลยีทางอาหาร คณะวิศวกรรมและอุตสาหกรรมเกษตร มหาวิทยาลัยแม่โจ้. 128 น.
- มนษาพิทย์ ชุ่นฉลาด. 2535. **คุณภาพของน้ำมันทอด.** ชาหาร 22(2): 8-12.
- รุ่งนภา พงศ์สวัสดิ์มานิต. 2543. **การวิเคราะห์กระบวนการเจลacjiในเขซั่นและรีໂໂກรกราเตชั่นที่มีผลต่อความพองตัวของผลิตภัณฑ์บนมหบสกี้จากข้าว.** กรุงเทพฯ: สถาบันวิจัยและพัฒนาแห่งมหาวิทยาลัยเกษตรศาสตร์. 23 น.
- รัชนี ตัณฑะพาณิชกุล. 2532. **เคมีอาหาร.** กรุงเทพฯ: โอเดียนสโตร์. 194 น.

วี.ໄล รังสاقتอง. 2543. เทคโนโลยีการแปรรูปอาหาร. กรุงเทพฯ: ภาควิชาเทคโนโลยีอุตสาหกรรมอาหาร คณะวิทยาศาสตร์ประยุกต์ สถาบันเทคโนโลยีพระจอมเกล้าพระนครเหนือ. 500 น.

ศิริชัย สายอ้าย และ สัมพันธ์ ไชยเทพ. 2547. การประเมินความถี่เปลืองพลังงานในเครื่องลดความชื้นข้าวแทน. น. 507-513. ใน รายงานการประชุมวิชาการครั้งที่ 5 20 – 21 พฤษภาคม 2547. เชียงใหม่ ณ ศูนย์การศึกษาและฝึกอบรมนานาชาติ เชียงใหม่: สำนักงานวิจัยและส่งเสริมวิชาการเกษตร มหาวิทยาลัยแม่โจ้.

สงวนศรี เจริญหรียญ. 2536. เอกสารประกอบการสอนวิชา กอ 471 การแปรรูปและการแปรรูปเบื้องหลังผลิตภัณฑ์เกษตร. เชียงใหม่: ภาควิชาอุตสาหกรรมเกษตร คณะธุรกิจการเกษตร สถาบันเทคโนโลยีการเกษตรแม่โจ้. 165 น.

สถานีอุตุนิยมวิทยาเชียงใหม่ (แม่โจ้). 2549. ข้อมูลอุตุนิยมวิทยาปี 2549. กรุงเทพฯ: กรมอุตุนิยมวิทยา กระทรวงเทคโนโลยีสารสนเทศและการสื่อสาร สุคนธ์ชื่น ศรีงาม. 2546. กระบวนการทำเห็ด. น. 187-195. ใน คณาจารย์ภาควิชาเทคโนโลยีการอาหาร วิทยาศาสตร์และเทคโนโลยีการอาหาร คณะอุตสาหกรรมเกษตร มหาวิทยาลัยเกษตรศาสตร์. วิทยาศาสตร์และเทคโนโลยีการอาหาร. พิมพ์ครั้งที่ 4. กรุงเทพฯ: สำนักพิมพ์มหาวิทยาลัยเกษตรศาสตร์.

และวรรณวิญญาณ์ กาญจนกุญชร. 2546. อาหารและการควบคุม. น. 237-240. ใน คณาจารย์ภาควิชาเทคโนโลยีการอาหาร วิทยาศาสตร์และเทคโนโลยีการอาหาร คณะอุตสาหกรรมเกษตร มหาวิทยาลัยเกษตรศาสตร์. วิทยาศาสตร์และเทคโนโลยีการอาหาร. พิมพ์ครั้งที่ 4. กรุงเทพฯ: สำนักพิมพ์มหาวิทยาลัยเกษตรศาสตร์.

สำนักงานมาตรฐานผลิตภัณฑ์อุตสาหกรรม. 2547. มาตรฐานผลิตภัณฑ์ชุมชน (มพช.36/2546). [ระบบออนไลน์]. แหล่งที่มา http://www.tisi.go.th/otop/pdf_file/tcps36_46.pdf (20 กรกฎาคม 2547).

สันติ พิพิยาภรณ์. 2535. สารกันพิษสำหรับอาหาร. อาหาร 22(2): 1-7.

อำนาจสันทราย จังหวัดเชียงใหม่. 2547. ข้อมูลชุมชนและกู้ม. [ระบบออนไลน์] แหล่งที่มา <http://www.thaitambon.com/tambon/tcommalist.asp?ID=501401> (18 กรกฎาคม 2547).

. 2547. ข้อมูลผลิตภัณฑ์ที่น่าสนใจ. [ระบบออนไลน์] แหล่งที่มา <http://www.thaitambon.com/tambon/tprdsdesc.aps?Prod=01121420189&ID=50140&SM=011214201120> (18 กรกฎาคม 2547).

- AOCS (American Oil Chemists' Society). 1998. AOCS Official method Ca 5a-40. Free fatty acid. In Firestone, D. (ed). **Official Method and Recommended Practices of the American Oil Chemists' Society.** 5th ed. Champaign, Illinois: AOCS.
- _____. 1998. AOCS Official method Cd 18-20. p-Anisidine value. In Firestone, D. (ed). **Official Method and Recommended Practices of the American Oil Chemists' Society.** 5th ed. Champaign, Illinois: AOCS.
- Atkinson, M., 2006. **Virgin Coconut Oil.** [online]. Available <http://www.virgincococonutoil.co.uk> (20 December 2006)
- Blumenthal, M. M. 1991. A new look at the chemistry and physics of deep-fat frying. **Food Technology** 45(2): 68-94.
- Bouchon, P., J. M. Aguilera and D. L. Pyle. 2003. Structure Oil-Absorption Relationships During Deep-Fat Frying. **Journal of Food Science** 68(2003): 2711-2716.
- Chamber, G. 2000. **Recycled Cooking Oils: Assessment of Risks for Public Health.** Scientific and Technological Options Assessment. Luxembourg: European Parliament.
- Chipault, J. R. 1962. In antioxidation and antioxidants. New York: John Wiley and Sons Inc. pp. 477 Cited by D. L. Madhavi, R. S. Singhal and P. R. Kulkarni. 1995. Technological aspects of food antioxidants. pp. 159-265 In D. L. Madhavi, S. S. Deshpande and D. K. Salunkhe, J. R. Chipault. (eds.). **Food Antioxidants Technological, Toxicological, and Health Perspectives.** New York: Marcel Dekker.
- Clark, W. L. and G. W. Serbia. 1991. Safety aspects of frying fats and oil. **Food Technology** 45(2): 84-94.
- DeMan, J. M. 1990. **Principles of Food Chemistry.** 2nd ed. New York: Van nostrand reinhold. 500 p.
- Dugan, L. R. 1995. Stability and rancidity. **Journal of American Oil Chemists' Society** 32(1995): 605-609.
- Evan, J. C. 2002. Optimal tocopherol concentration to inhibit soybean oil oxidation. **Journal of American Oil Chemists' Society** 79(2002): 47-51.
- Fennema, O. R. 1996. Water and Ice. In Fennema, O. R. (ed). **Food Chemistry.** 3rd ed. New York: Marcel Dekker.

- Fellow, P. 1997. Food processing technology: Principle and practice. Cambrid: Ellis Horwood.

อ้างโดย นิธิยา รัตนานปนท. 2543. ผลของกระบวนการแปรรูปต่ออาหารและสารอาหาร. เชียงใหม่: ภาควิชาชีวเคมีศาสตร์และเทคโนโลยีการอาหาร คณะอุตสาหกรรมเกษตร มหาวิทยาลัยเชียงใหม่.

Firestone, D., R. F. Stier and M. M. Blumenthal. 1991. Regulation of frying fats and oils. **Food Technology** 45(2): 90-94.

Gamble, M. H., and P. Rice. 1987. Effect of pre-frying drying of oil uptake and distribution in potato crisp manufacture. **International Journal Food Science Technology** 22(1987): 535-548

Hine, D. J. 1987. Shelf-life prediction. In Pain (ed.). **Modern Processing: Packing and Distribution Systems for Food**. New York: AVI Publishing Co.

Joffre, F., J. C. Martin, M. Genty, L. Demaison, O. Loreau, J. P. Noel and J. L. Sebedio. 2001. Kinetic parameters of hepatic oxidation of cyclic fatty acid monomers formed from linoleic and linolenic acids. **Journal of Nutritional Biochemistry** 12(2001): 554-558.

Johari, M., L. M. Plessis, M. Barkhuysen, H. Viljoen, A. Abdullah, M. Isa, and I. Razail. 2003. South Africa's initial experience in using palm olein blends for the manufacture of pre-fried French fries. **Malaysia Palm Oil Board** [Online] pod 38: 11-15. Available <http://palmoils.mpopb.gov.my/webbased/pod38-p5.pdf>. (20 August 2004)

Jung, A. and B. M. David. 1990. Effect of α , γ and δ - tocopherol on oxidation stability of soybean oil. **Journal of American Oil Chemists' Society** 55(1990): 1,464-1,465.

Katz, E. E. and T. P. Labuza. 1981. Effect of water activity on the sensory crispness and mechanical deformation of snack products. **Journal of Food Science** 46(1981): 403-408.

KIC Chemicals, Inc., 2006. **Plam Kernel**. [online]. Available <http://www.kicgroup.com> (20 December 2006)

Kilgor, L. and M. Bailey. 1970. Degradation of linoleic acid during potato frying. **Journal American Dietary Association** 56: 130-132. อ้างโดย วิໄລ รังสิตทอง. 2543. **เทคโนโลยีการแปรรูปอาหาร**. กรุงเทพฯ: ภาควิชาเทคโนโลยีอุตสาหกรรมอาหาร คณะวิทยาศาสตร์ประยุกต์ สถาบันเทคโนโลยีพระจอมเกล้าพระนครเหนือ. น. 266.

- Kristott, J. 2000. Fat and Oils. In D. Kilcast and P. Subramaniam. (eds.). **The Stability and Shelf-life of Food**. England: Woodhead Publishing Limited.
- Krokida, M. K., V. Oreopoulou and Z. B. Marouslis. 2000. Water loss and uptake as a function of frying time. **Journal of Food Engineering** 44(2000): 39-46.
- Krokida, M. K., V. Oreopoulou, Z. B. Marouslis and D. Marinos-Kouris, 2001a. Effect of pre-drying on quality of French fries. **Journal of Food Engineering** 49(2001): 347-354.
- _____. 2001b. Colour changes during deep fat frying. **Journal of Food Engineering** 48(2001): 219-225.
- Laksanalamai, V. and S. Ilangantileke. 1993. Comparison of aroma compound (2-acetyl-1-pyrolinr) in leaves from pandan (*Pandanus amaryllifolius*) and Thai fragrant rice (Khao Dawk Mali-105). **Cereal Chemistry** 70(4): 381-384.
- Ling, S. C. and M. Suhaila. 2001. Alpha-tocopherol content in 62 edible tropical plants. **Journal of Agriculture and Food Chemistry** 49(6): 3101-3105.
- Lawson, H. 1995. **Food Oil and Fat: Technology, Utilization and Nutrition**. New York: International Thomson publishing. pp 74-75.
- Madhavi, D. L., S. S. Deshpande and D. K. Salunkhe. 1995. **Food Antioxidant: Technological, Toxicological and Health Perspectives**. New York: Marcel Dekker. pp 160-188.
- Math, R.G., V. Velu, A. Nagender and D. G. Rao. 2004. Effect of frying on moisture, fat and density of papad. **Journal of Food Engineering** 64(2004): 429-434.
- McGill, E. A. 1980. The chemistry of frying. **Bakers Digest** 6(62): 38-42.
- Mellema M. 2003. Mechanism and reduction of fat uptake in deep-fat fried food. **Food Science and Technology** 14(2003): 364-373.
- Moreno, M., D. M. Olivares and F. J. Amezquita Lopez, 1998. Study of the formation of carbonyl compounds in edible oils and fats by H-NMR and FTIR. **Journal of Molecular Structure** 482-483(1999): 557-561.
- Moreira, R. G. and M. A. Barrufet. 1999. A new approach to describe oil absorption in fried food: a simulation study. **Journal of Food Engineering** 35(1999): 1-22
- _____, M. E. Castell-Perez and M. A. Barrufet. 1999. **Deep-Fat Frying: Fundamental and Application**. Maryland: Aspen publication. 350 p.

- Naz, S., R. Siddiqi, H. Sheikh and S. A. Sayeed. 2005. Deterioration of olive, corn and soybean due to air, light, heat and deep-frying. **Food Research International** 38(2005): 127-134.
- Özkan, M., A. Kirca, and B. Cemeroglu. 2002. Effect of moisture content on CIE color value in dried apricots. **Europe Food Research Technology** 216(2002): 217-219.
- O'Brien, R. 1993. Food service use of fat and oil. **International Food Research Molecule** 4(8): 913-921.
- Patricia C. 1995. **Official Method of Analysis of AOAC International**. Volume 2. 16th ed., USA: AOAC International.
- Pegg, R. B. 2005. Measurement of primary lipid oxidation. In R. E. Wrolstad, T. E. Aeree, E. A. Decker, M. H. Panmer, D. S. Reld, S. J. Shwartz, C. F. Shoemaker, D. M. Smith and P. Sporns. (eds.). **Handbook of Food Analytical Chemistry**. New Jersey: John Wiley and Sons.
- _____. 2005. Spectrophotometric measurement of secondary lipid oxidation product. In R. E. Wrolstad, T. E. Aeree, E. A. Decker, M. H. Panmer, D. S. Reld, S. J. Shwartz, C. F. Shoemaker, D. M. Smith and P. Sporns. (eds.). **Handbook of Food Analytical Chemistry**. New Jersey: John Wiley and Sons.
- Quiles, J. L., M. C. Ramirez-Tortosa and J. A. Gomez. 2001. Role of vitamin E and phenolic compounds in the antioxidant capacity, measured by ESR, of virgin olive, and sunflower oils after frying. **Food Chemistry** 76(2002): 461-468.
- Rafecas, M., F. Guardiola, M. Illera, R. Codony and J. Boatella. 1998. Liquid chromatographic determination of phenolic antioxidants in bakery products. **Journal of Chromatography A** 822(1998): 305-309.
- Razali, I. and M. Badri. 2003. Oil Absorption, polymer and polar compounds formation during deep-fat frying of French fries in vegetable oils. **Malaysia Palm Oil Board** [Online] Available <http://palmoils.mpopb.gov.my/webbased/pod38-p11.pdf>. (20 August 2004)
- _____, M. Johari and A. S. Nor. 2003. Effect of Additives on Quality and Frying Performance of Palm Supperolein During Frying. **Malaysia Palm Oil Board** [Online] Available <http://palmoils.mpopb.gov.my/webbased/pod38-p1.pdf>. (5 November 2004)

- Reische, D. W., D. A. Lillard and R. R. Eitenmiller. 2002. Antioxidants. pp. 489-516 In C. C. Akoh and D. B. Min. (eds.) **Food Lipid: Chemistry, Nutrition and Biotechnology.** 2nd ed., New York: Marcel Dekker.
- Richard, D. and O. Brien. 1998. **Fat and Oil: Formulating and Processing for Application.** Pennsylvania: Technology publishing Co.
- Ridout plastic company Inc., 2006. **Perspex Acrylics** [Online] Available <http://ridoutplastic.com/physpropfac.html>. (5 November 2004)
- Rossell, J. B. 1999. Measure of rancidity. pp. 22-53 In J. C. Allen and R. J. Hamilton. **Rancidity in Foods.** 3rd ed., Maryland: Aspen Publishers.
- Robertson, G. L. 1993. **Food packaging.** New York: Marcel Dekker. 250 p.
- Ronald S. K. and S. Ronald. 1991. **Pear's Composition and Analysis of Foods.** 9th cd. Singapore: Longmam Singapore. 708 p.
- Sherwin, E. R. 1985. Food additives. New York: Marcel Dekker. pp. 139. Cited by D. L. Madhavi, R. S. Singhal, and P. R. Kulkarni. 1995. Technological aspects of food antioxidants. pp. 159-265. In D. L. Madhavi, S. S. Deshpande D. K. Salunkhe, and J. R. Chipault. (eds.). **Food Antioxidants Technological, Toxicological, and Health Perspectives.** New York: Marcel Dekker.
- _____ and J. W. Thompson. 1967. Food Technology 21(6): 912. Cited by D. L. Madhavi, R. S. Singhal and P. R. Kulkarni. 1995. Technological aspects of food antioxidants. pp. 159-265 In D. L. Madhavi, S. S. Deshpande, D. K. Salunkhe, and J. R. Chipault, (eds.). **Food Antioxidants Technological, Toxicological, and Health Perspectives.** New York: Marcel Dekker.
- _____ and B. M. Luckadoo. 1970. Journal of American Oil Chemists' Society 47(1970): 19. Cited by D. L. Madhavi, R. S. Singhal and P. R. Kulkarni. 1995. Technological aspects of food antioxidants. pp. 159-265 In D. L. Madhavi, S. S. Deshpande, D. K. Salunkhe and J. R. Chipault. (eds.). **Food Antioxidants Technological, Toxicological, and Health Perspectives.** New York: Marcel Dekker.

- Sim, R. J. and J. A. Fioriti. 1980. Handbook of food additives. Volume 1. pp 13. Cited by D. L. Madhavi, R. S. Singhal and P. R. Kulkarni, 1995. Technological aspects of food antioxidants. pp. 159-265 In D. L. Madhavi, S. S. Deshpande, D. K. Salunkhe, and J. R. Chipault. (eds.). **Food Antioxidants Technological, Toxicological, and Health Perspectives.** New York: Marcel Dekker.
- Stone, H. and J. L. Sidle. 1993. **Sensory Evaluation Practice.** California: Academic Press. 338 p.
- Sukumar D., K. K. Bhat, and N. K. Rastogi. 2003. Effect of pre-drying on kinetics of moisture loss and oil uptake during deep fat frying of chickpea flour- based snack food. **Lebensmittel-Wissenschaft Und-Technologie** 36(2003): 91-98.
- Sun, X., and R.G. Moreira, 1994. Oil Distribution in Tortilla Chip During Deep-Fat Frying. **American Society of Agricultural Engineers** paper No. 94-6506.





ภาคผนวก ก
การวิเคราะห์ทางกายภาพ

การวัดค่าสี

วัสดุและอุปกรณ์

- เครื่องวัดสี Tri-Stimulus Colorimeter Model JC801

วิธีวิเคราะห์

- เสียบปลั๊กและเปิดสวิตช์เพื่อ stabilize เครื่องประมาณ 100 นาที
- เปิดเครื่องคอมพิวเตอร์จะเห็น menu ของ JUKI Colorimeter software
- เลือก 1. Measurement แล้ว Enter
- Set Zero Calibration โดยวางกล่องสีดำสำหรับกันแสงเข้าบนช่องทางแสงผ่าน แล้วกด F1

5. จากนั้น Set Standard Calibration โดยวาง Standard white plate บนช่องทางแสงผ่าน แล้วกด F1

6. เลือกแท่นรองให้สัมพันธ์กับขนาดของวัตถุที่จะวัด (10 หรือ 25 มม.) วางบนช่องที่แสงผ่าน

7. ใส่ตัวอย่างอาหารในเซลล์ให้อยู่ตรงกลาง

8. วางเซลล์ที่ใส่ตัวอย่างอาหารบนแท่นรอง แล้วกด Enter ตามด้วย F1

9. วัดตัวอย่างอาหารตามวิธีในข้อ 8 ไปจนหมดตัวอย่าง

ระบบวัดสีของฮันเตอร์ (Hunter color system) ประกอบด้วยตัวแปรของสี 3 ค่า คือ

L* คือ ค่าความสว่างของสี มีค่าจาก 0 ซึ่งคือ สีดำ ถึง 100 คือ สีขาว

a* คือ ค่าที่บอกความเป็นสีเขียว สีแดง ที่อยู่ในตัวอย่างโดยค่า

a+ แสดงถึงค่าความเป็นสีแดง

a- แสดงความเป็นสีเขียว

b* คือ ค่าที่ปงบอกความเป็นสีเหลือง และสีน้ำเงิน โดยค่า

b+ แสดงความเป็นสีเหลือง

b- แสดงความเป็นสีน้ำเงิน

การวัดค่าความแข็ง

วัสดุและอุปกรณ์

- เครื่อง Texture analyzer รุ่น TA.XT plus

วิธีวิเคราะห์

1. เปิดสวิตช์ สีดำด้านหลังของเครื่องไปทาง ON จะพบว่าที่หน้าปัดบน Console จะแสดงว่า Power on โดยติดไฟสีเขียว และแสดง Version ของ Software และรายการอื่นๆ บนหน้าจอคอมพิวเตอร์

2. ทำการเปลี่ยนหัวกดที่ต้องการ ใช้และเข้าสู่การตั้งค่ามาตรฐานของแรงและระยะทาง (calibrate force และ height) โดยเลือก T.A. เลือก calibrate force และกด Next ไปที่ 2,000 กรัม ให้น้ำต้มน้ำหนักมาตรฐาน 2,000 กรัม นำมาวางบนแผ่นด้านบนที่ติดกับหัวกดและกด finish ในส่วนของ calibrate height โดย return distance เท่ากับ 30 return speed เท่ากับ 20 mm/sec และ contact force เท่ากับ 1 กรัม เลือก Next จากนั้นหัวกดจะทำการกดลงบนแท่นที่มีผิวเรียบที่ใช้สำหรับรองรับตัวอย่างและกด finish

3. เลือก T.A. setting ตามด้วยเลือก Distance เป็นระยะทางอยู่ในแกน y มีหน่วยเป็นมิลลิเมตร และเลือก Force ซึ่งเป็นแรงที่ใช้ในการกดตัวอย่างอยู่ในแกน x มีหน่วยเป็นนิวตัน และ Time เป็นเวลาทั้งหมดที่ใช้ในการทดสอบตัวอย่างมีหน่วยเป็นวินาที เลือก Library เลือก Return to start กด OK และ Update Project เลือก Test speed (ความเร็วที่ใช้ในการทดสอบ) เท่ากับ 2 มม./วินาที กด update mode

4. เลือก T.A. กด run a test เลือก Archive information กด Auto save พิมพ์ file ID ที่ต้องการ เลือก Path ตาม C:\Documents and Settings\Administrator\Desktop\le เลือก Probe selection โดยเลือกรหัสหัวกด 5S (หัวกดที่ใช้เป็นหัวกลมขนาด 0.50 ซม.) กด OK เลือก Data acquisition โดย Acquisition rate เท่ากับ 50 จุด/วินาที (สามารถเก็บข้อมูลเพื่อนำมาพล็อตกราฟได้ถึง 50 จุด/วินาที) กด OK และเลือก Parameter โดยพิมพ์ความสูงของตัวอย่างที่ต้องการวัดในหน่วยมิลลิเมตร ซึ่งได้จากการวัดตัวอย่างโดยผ่านเวอร์เนียคลิปเปอร์ วางตัวอย่างบนแท่นที่ใช้รองรับและกด OK

5. ค่าแรงกดที่ทำให้ข้าวแตกในจอกомพิวเตอร์ มีลักษณะเป็นกราฟโดยหัวกดจะกดลงบนตัวอย่าง ค่าแรงกดที่ได้จะแสดงในหน่วยนิวตัน (N) อยู่ในแกน y ส่วนแกน x เป็นระยะทางที่หัวกดเคลื่อนเข้าไปในตัวอย่างจนทำให้ตัวอย่างแตกออกที่แสดงในหน่วยมิลลิเมตร (mm)

การวิเคราะห์การคุณชั้นนำมัน
(ดัดแปลงจาก AOAC, 2000)

วัสดุและอุปกรณ์

1. เครื่องวิเคราะห์ไขมัน Soxtec system HT 1043 – 001 และอุปกรณ์ที่เกี่ยวข้อง
2. กระดาษกรองที่ปราศจากไขมัน เบอร์ 1
3. เครื่องซั่งละเอียด 4 ตำแหน่ง
4. เครื่องปั่น
5. โถดูดความชื้น
6. คีมคิบ

สารเคมี

1. เฮกเซน (Hexane)

วิธีวิเคราะห์

1. เปิดสวิตซ์เครื่อง Service Unit
2. เปิดสวิตซ์เครื่อง Cooling
3. บดตัวอย่าง (ข้าวแทนที่ทดสอบ) ให้ละเอียด
4. ชั้งนำหนักตัวอย่างประมาณ 2 กรัม (W_1) บนกระดาษกรองและห่อให้มิดซิดจากนั้นนำลงมาใส่ใน Thimbles
5. นำ Thimbles ใส่ใน Soxtec system โดยใช้ adapter สาม
6. นำ Extraction cups ไปอบและชั่งนำหนัก (W_2)
7. เติม Hexane ลงใน extraction cups ประมาณ 50 – 70 มิลลิลิตร
8. ใส่ Extraction cups ใน Soxtec system พร้อมทั้งโยกคัน โยกลงเพื่อให้เป็นระบบปิด
9. ทำการสกัดไขมันโดยให้ตัวอย่างจุ่มแช่อยู่ในสารละลายโดยเลื่อนคันโยกไปที่ตำแหน่ง boiling และสกัดเป็นเวลา 15-20 นาที จากนั้นสกัดโดยการไม่จุ่มแช่โดยเลื่อนคันโยกมาที่ตำแหน่ง rinsing สกัดต่อเป็นเวลา 30-45 นาที
10. ปิด condensers vale และเปิดสวิตซ์ของอากาศเพื่อระเหย Hexane ออกไป
11. นำ Extraction cups ออกจากเครื่องสกัดและนำไปอบที่อุณหภูมิ 100 องศาเซลเซียส เป็นเวลา 30 นาที
12. ทิ้ง Extraction cups ให้เย็นในโถดูดความชื้น ชั่งนำหนักนำมันตัวอย่าง (W_3) และคำนวณเปอร์เซ็นต์ ไขมันที่สกัดได้จากตัวอย่างตามสูตรดังนี้

$$\text{ไขมัน (ร้อยละ)} = \frac{W_3 - W_2 \times 100}{W_1}$$

สัดส่วนปริมาณไขมันในข้าวแทนทั้งก่อนหยอดและหลังหยอดแล้วหารปริมาณไขมันที่คุณซื้อ
โดยข้าวแทนจากสูตรดังนี้

$$\text{การคุณซื้อน้ำมัน (ร้อยละ)} = \frac{\text{ไขมันของข้าวแทนหลังหยอด} - \text{ไขมันของข้าวแทนก่อนหยอด}}{\text{ไขมันของข้าวแทนก่อนหยอด}} \times 100$$

วัดการขยายปริมาตรของข้าวแทน

1. นำข้าวแทนทั้งก่อนหยอดและหลังหยอดมาวัดค่าความสูงและเส้นผ่าศูนย์กลาง โดยใช้ เวอร์เนียครัลลิปเปอร์ และทำการจดบันทึกค่าที่วัดได้
2. นำค่าที่วัดได้มาคำนวณตามสูตรปริมาตรที่ขยายดังสมการ

$$\text{ปริมาตรที่ขยาย (ร้อยละ)} = \frac{\pi r^2 l (\text{หลังหยอด}) - \pi r^2 l (\text{ก่อนหยอด}) \times 100}{\pi r^2 l (\text{ก่อนหยอด})}$$

$$\pi = 3.14159$$

$$r^2 = (\text{ครึ่งเส้นรอบวงของข้าวแทน})^2$$

$$l = \text{ค่าความสูงของข้าวแทน}$$

การหาจำนวนชิ้นที่แตกหักของข้าวแทน

1. นำข้าวแทนแห้งก่อนหยอดมานับจำนวนชิ้นข้าวแทนทั้งหมด และทำการจดบันทึกค่าที่นับได้
2. นำข้าวแทนหลังหยอดมานับจำนวนชิ้นที่แตกหัก โดยนับเฉพาะชิ้นที่มีการแตกหักตั้งแต่ ร้อยละ 25 ของข้าวแทนทั้งชิ้น และทำการจดบันทึกค่าที่นับได้
3. นำค่าที่นับได้มาคำนวณตามสูตรจำนวนชิ้นที่แตกหักของข้าวแทนดังสมการ

$$\text{จำนวนชิ้นที่แตกหักของข้าวแทน (ร้อยละ)} = \frac{\text{จำนวนชิ้นที่แตกหักหลังหยอด} \times 100}{\text{จำนวนชิ้นทั้งหมดก่อนหยอด}}$$



ภาควิชานวัตกรรม
การวิเคราะห์ทางคณิต

ภาคผนวก ข

การวิเคราะห์ทางเคมี

การสกัดน้ำมันตัวอย่างออกจากข้าวแทน

(ดัดแปลงจาก Rafecas *et al.*, 1998)

วัสดุและอุปกรณ์

1. ตัวอย่างข้าวแทน
2. กรวยแก้ว
3. กรวยแยกขนาด 250 มิลลิลิตร
4. กระดาษกรองเบอร์ 1
5. ขวดรูปชุมพู่ขนาด 250 มิลลิลิตร
6. ขุนวนสามขา
7. ชาตั้งพร้อมมือจับ
8. เครื่องซับที่ซับน้ำหนักได้ละเอียดถึง 0.0001 กรัม

สารเคมี

1. สารละลายน้ำมันคลอโรฟอร์ม (chloroform) และเมทานอล (methanol) ในอัตรา 2:1 โดยปริมาตร
2. สารละลายนโซเดียมคลอไรด์ (sodium chloride solution) 26.4 เปอร์เซ็นต์
3. สารแอนไฮดรัสโซเดียมซัลไฟต์ (anhydrors sodium sulphate)

วิธีวิเคราะห์

บดตัวอย่างข้าวแทน 50 กรัม ให้เป็นเนื้อเดียวกันและเติมคลอโรฟอร์ม-เมทานอล (สารละลายน้ำมันคลอโรฟอร์มและเมทานอล) ในอัตรา 2:1 โดยปริมาตร จำนวน 100 มล. ทำการสกัดด้วยระบบการบดตัวอย่าง เมื่อเหล็กที่ใช้สำหรับคน (magnetic stirring) ในเวลา 30 นาทีและทำการกรองด้วยกระดาษกรอง ที่เพื่อแยกตัวอย่างที่เป็นของแข็งออกจากของเหลว ทำการสกัดรอบที่ 2 โดยนำของแข็งดังกล่าวที่กรองได้จากครั้งแรกและเติมสารละลายน้ำมันคลอโรฟอร์ม-เมทานอล 100 มล. และใช้เวลาสกัด 30 นาที ทำการกรองด้วยกระดาษกรองอีกครั้งและทำการซ้ำ ใหม่ที่สกัดได้ที่อาจติดบนกระดาษกรองด้วยสารละลายน้ำมันคลอโรฟอร์ม 50 มล. ทำการรวมสารละลายน้ำมันคลอโรฟอร์มที่ได้จากการสกัดออกจากตัวอย่างอาหารทั้ง 3 รอบ ด้วยกรวยแยกและเติมสารละลายน้ำเกลืออีก 35 มล. เพื่อช่วยในการแยกชั้นคลอโรฟอร์มได้ดียิ่งขึ้น และนำไปส่วนชั้นของคลอโรฟอร์มออกมารด้วยการกรองผ่านกระดาษกรองที่มีชั้นของ

แอนไฮดรัสโซเดียมซัลเฟตและรวมรวมของเหลวในฟลาสก์ขนาด 250 มล. เพื่อทำการระเหยแห้งโดยดูดซูญผู้น้ำยาศาบะแบบที่อุณหภูมิ 33 องศาเซลเซียส และตามด้วยการพ่นไออกไซโตรเจน (N_2) เล็กน้อยและเก็บในตู้แข็งที่อุณหภูมิต่ำกว่า -18 องศาเซลเซียส หากยังไม่ได้นำไปวิเคราะห์คุณภาพ

การหาปริมาณกรดไขมันอิสระจากตัวอย่างน้ำมันที่ใช้ทดสอบ

(AOCS official method Ca 5a-40, 1998)

อุปกรณ์

- ขวดน้ำมันตัวอย่างขนาด 115 หรือ 230 มล. หรือขวดแก้วรูปชามพู่ขนาด 250 มล.
- เครื่องชั่งที่ชั่งน้ำหนักได้ละเอียดถึง 0.01 กรัม

สารเคมี

- เอทานอล (ethanol) 95 เปอร์เซ็นต์ ที่เป็นกลาง โดยเติมฟีโนอลฟทาเลïn 2-3 หยด เกลือค่อน ๆ หยดสารละลายน้ำโซเดียมไฮดรอกไซด์ลงในน้ำมันเพื่อให้เป็นสีชมพูอ่อนคงที่นาน 15-30 วินาที

ได้รับอนุญาตจาก USSD สูตร 30 และ 3A แยกออกโซล์ที่ใช้ต้องให้สีที่เปลี่ยนอย่างชัดเจน ที่จุดยุติและต้องปรับให้เป็นกลางด้วยด่าง ซึ่งทดสอบโดยการปรากฏสีชมพูจาง ๆ แต่สีจะคงที่ประมาณ 30 วินาที เมื่อปรับให้เป็นกลางก่อนใช้

- สารละลายนีฟโนอลฟทาเลïn (phenolphthalein) 1 เปอร์เซ็นต์ ในเอทานอล 95 เปอร์เซ็นต์
- สารละลายน้ำโซเดียมไฮดรอกไซด์ (sodium hydroxide solution)

ใช้โซเดียมไฮดรอกไซด์ชนิดที่เป็นเกรดวิเคราะห์ (Analytical grade) โดยชั่งโซเดียมไฮดรอกไซด์ 10 กรัม เพื่อเตรียมความเข้มข้น 1 นอร์มัล ปริมาตร 250 มล. จากนั้นเจือจางให้ได้ความเข้มข้นตามตารางที่ 8 ในปริมาตรที่ต้องการใช้แล้ว ให้เตรบทหากความเข้มข้นที่ถูกต้องแน่นอน โดยการ ไต่เทียบกับสารละลายน้ำโซเดียมไฮดรอกไซด์ (potassium hydrogenphthalate, KHP) ทำการชั่ง KHP จำนวน 0.3 กรัม ด้วยเครื่องชั่งวิเคราะห์ละเอียดถึง 0.0001 กรัม พร้อมกับจดบันทึกน้ำหนักสาร KHP ที่ชั่งจริงและเติมน้ำกลิ้น 70 มล. แล้วจึงทำการ ไต่เทียบกับสารละลายน้ำโซเดียมไฮดรอกไซด์เข้มข้น 1 นอร์มัล

ตาราง 14 ความจำเพาะของน้ำหนักของตัวอย่างตามปริมาตรของแอลกอฮอล์ที่ใช้ในความเข้มข้นของโซเดียมไฮดรอกไซด์ที่เหมาะสมสำหรับการวิเคราะห์หาปริมาณกรดไขมันอิสระในตัวอย่าง

ช่วง FFA (%)	น้ำหนักของ	ปริมาตรของ	ความเข้มข้นของโซเดียม-
	ตัวอย่าง (กรัม)	แอลกอฮอล์ (มล.)	ไฮดรอกไซด์ (นอร์มล)
0 - 0.2	56.4 ± 0.2	50	0.1
0.2 – 1.0	28.2 ± 0.2	50	0.1
1.0 - 30.0	7.05 ± 0.05	75	0.25
30.0 – 50.0	7.05 ± 0.05	100	0.25 – 1.0
50.0 - 100	3.525 ± 0.001	100	1.0

วิธีวิเคราะห์

- ทำการทดสอบตัวอย่างน้ำมันที่สักดิ้นจากข้าวแทนให้เป็นเนื้อดียกันก่อนซึ่งน้ำหนักโดยอาจให้ความร้อนไม่สูงกว่าจุดหลอมเหลาของน้ำมัน 10 องศาเซลเซียส ในกรณีที่น้ำมันเป็นไขมันจะต้องทดสอบตัวอย่างที่ได้โดยดูจากช่วงของกรดไขมันอิสระที่พิเศษในตัวอย่าง แล้วทำการซึ่งน้ำหนักตัวอย่างลงในขวดรูปปั้นพุ่นนาค 250 มล.
- ใช้ตารางที่ 1 เพื่อพิจารณาเรื่องน้ำหนักของตัวอย่างที่จะใช้โดยดูจากช่วงของกรดไขมันอิสระที่พิเศษในตัวอย่าง และแล้วทำการซึ่งน้ำหนักตัวอย่างลงในขวดรูปปั้นพุ่นนาค 250 มล.
- เติมแอลกอฮอล์ที่เป็นกลางในปริมาตรตามตารางที่ 15 และเติมฟืนอลฟ์ทาลีน 1 มล. ผสมให้เข้ากัน
- ไตรเตอร์ทับสารละลายโซเดียมไฮดรอกไซด์มาตรฐานที่ผ่านการตรวจวัดค่าความเข้มข้นที่ถูกต้องแล้ว โดยเบี้ยอย่างแรงจนสารละลายเปลี่ยนเป็นสีชมพูคงที่เป็นเวลา 30 วินาที โดยมีความเข้มข้นของสีชมพูเท่ากับตอนปรับแอลกอฮอล์ให้เป็นกลางก่อนใช้การคั่นรวม

1. กรดไขมันอิสระมีหลายชนิดในไขมันหรือน้ำมันโดยคำนวณอยู่ในรูปของกรดไอโอลิก ซึ่งเป็นในน้ำมันมะพร้าวและน้ำมันปาล์มจากเมล็ดปาล์ม กรดไขมันอยู่ในรูปของกรดคลอริกและในน้ำมันปาล์มจะคำนวณรูปของกรดปาล์มิติก

$$1.1 \text{ FFA ในรูปกรดไอโอลิก (ร้อยละ)} = \frac{\text{ปริมาณของด่าง (มล.)} \times N \times 28.2}{\text{น้ำหนักตัวอย่างน้ำมัน (กรัม)}}$$

$$1.2 \text{ FFA ในรูปกรดคลอริก (ร้อยละ)} = \frac{\text{ปริมาณของด่าง (มล.)} \times N \times 20.0}{\text{น้ำหนักตัวอย่างน้ำมัน (กรัม)}}$$

$$1.3 \text{ FFA ในรูปกรดปาล์มมิติก (ร้อยละ)} = \frac{\text{ปริมาณของค่าง (มล.)} \times N \times 25.6}{\text{น้ำหนักตัวอย่างน้ำมัน (กรัม)}}$$

หมายเหตุ: หากจะหาค่าปริมาณ FFA ที่เพิ่มขึ้นในระหว่างการทดสอบน้ำมันที่ใช้ทดสอบให้นำปริมาณ FFA หลังการทดสอบหักออกจากปริมาณ FFA ก่อนการทดสอบ

การหาปริมาณกรดไขมันอิสระในตัวอย่างน้ำมันที่สกัดจากข้าวແຜນ

(AOAC, 1997)

วิธีวิเคราะห์

1. ผสมไอดีเอธิลอิเธอร์ (diethyl ether) 25 มิลลิลิตร รวมกับเอทานอล (ethanol) 95 เปอร์เซ็นต์ จำนวน 25 มิลลิลิตร
2. เติมสารละลายฟีโนอลฟีทาลีน 1 เปอร์เซ็นต์ จำนวน 1 มิลลิลิตร
3. ค่อยๆ ทำให้เป็นกลางด้วยสารละลายโซเดียมไฮดรอกไซด์เข้มข้น 0.1 นอร์มัล(ใช้ประมาณ 2-3 หยด) เอาไว้ใช้เป็น mixed neutral solvent
4. ซั่งน้ำมันตัวอย่าง 2-5 กรัมพร้อมทั้งจดบันทึก
5. ละลายน้ำมันตัวอย่างร่วมกับ mixed neutral solvent จำนวน 25 มิลลิลิตร
6. ใส่เตรท์ด้วยสารละลายโซเดียมไฮดรอกไซด์เข้มข้น 0.1 นอร์มัล จนกระทั่งได้สีชมพูชั่งอยู่ได้ประมาณ 15 วินาที (เมื่อขะณะทำการใส่เตรท์ตลอดเวลาและการใส่เตรท์ที่ดีไม่ควรใช้สารละลายโซเดียมไฮดรอกไซด์เข้มข้น 0.1 นอร์มัล เกิน 10 มิลลิลิตร ถ้าใช้เกินควรปรับด้วยการใช้น้ำมันตัวอย่างให้น้อยลง) ทำซ้ำอีก 2 ครั้ง
7. การคำนวนปริมาณกรดไขมันอิสระในรูปของกรดเลอติก กรดปาล์มมิติกและกรดลอริก ดังนี้

$$7.1 \text{ FFA ในรูปกรดโลเลอติก (ร้อยละ)} = \frac{\text{ปริมาณของค่าง (มล.)} \times N \times 28.2}{\text{น้ำหนักตัวอย่างน้ำมัน (กรัม)}}$$

$$7.2 \text{ FFA ในรูปกรดลอริก (ร้อยละ)} = \frac{\text{ปริมาณของค่าง (มล.)} \times N \times 20.0}{\text{น้ำหนักตัวอย่างน้ำมัน (กรัม)}}$$

$$7.3 \text{ FFA ในรูปกรดปาล์มมิติก (ร้อยละ)} = \frac{\text{ปริมาณของค่าง (มล.)} \times N \times 25.6}{\text{น้ำหนักตัวอย่างน้ำมัน (กรัม)}}$$

หมายเหตุ: หากจะหาค่าปริมาณ FFA ที่เพิ่มขึ้นในระหว่างการทดสอบน้ำมันที่ใช้ทดสอบให้นำปริมาณ FFA หลังการทดสอบหักออกจากปริมาณ FFA ก่อนการทดสอบ

การหาปริมาณคอนจูเกตไทดีอิน

(Pegg, 2005)

วัสดุและอุปกรณ์

1. น้ำมันหรือไขมันที่สกัดได้จากตัวอย่าง
2. ขวดปรับปริมาตรขนาด 25 มล.
3. เครื่องスペคโตรโฟโตเมตร
4. เครื่องชั่งที่หั้งน้ำหนักได้ละเอียดถึง 0.0001 กรัม

สารเคมี

1. 2,2,4-trimethylpentane (iso-octane)

วิธีวิเคราะห์

1. หั้งน้ำมันหรือไขมันที่สกัดได้จากตัวอย่าง 0.01-0.03 กรัม ลงในขวดปรับปริมาตรขนาด 25 มิลลิลิตร พร้อมหั้งดับบันทึกน้ำหนักน้ำมันตัวอย่างที่ใช้
2. คลายน้ำมันตัวอย่างและปรับปริมาตรจนครบ 25 มิลลิลิตรด้วย Iso-octane
3. เปิดเครื่องスペคโตรโฟโตเมตรและเซตช่วงความยาวคลื่นที่ 233 นาโนเมตร โดยทำการอุ่นเครื่องอย่างน้อย 30 นาที ก่อนวัดค่าน้ำมันตัวอย่าง
4. เชตศูนย์ด้วย Iso-octane โดยใส่ลงใน quartz cuvette
5. ทำการวัดค่าการดูดกลืนแสงของน้ำมันตัวอย่างที่คลายไว้ลงใน quartz cuvette (ถ้าค่าการดูดกลืนแสงมากกว่า 1 ควรใช้ตัวอย่างน้ำมันให้น้อยลงและทำการวัดซ้ำอีกครั้ง)
6. คำนวณค่า CD ตามสมการด้านล่าง โดยมีหน่วยเป็นไมโครโมล/กรัม

$$C_{CD} = A_{233}/(\varepsilon \times l)$$

$$CD = [C_{CD} \times (2.5 \times 10^4)]/W$$

โดยที่ C_{CD} = ค่าความเข้มข้นของคอนจูเกตไทดีอินในหน่วยมิลลิโมล/มิลลิลิตร

A_{233} = ค่าการดูดกลืนแสงของตัวอย่างน้ำมันที่ช่วงคลื่น 233 นาโนเมตร

ε = ค่าการดูดกลืนแสงของไฮโดรเพอร์ออกไซด์ที่มาจากการคลิโนเลอิคในหน่วยโมลาร์ ($2.525 \times 10^{-4} M^{-1} \cdot cm^{-1}$) เป็นค่าประมาณจากสัมประสิทธิ์การสูญหายในการไถเตรทหาค่า PV ของไฮโดรเพอร์ออกไซด์ที่มาจากการคลิโนเลอิค

l = ค่าความกว้างของ cuvette ในหน่วยเซนติเมตร (1 ซม.)

2.5×10^4 = เป็นค่าปัจจัยร่วมของ Iso-octane (25 มล.) ที่ละลายน้ำมันตัวอย่าง โดยเปลี่ยนจาก 1,000 ไมโครโมล/มิลลิโมล ดังนั้นค่า CD จึงอยู่ในหน่วยไมโครโมล

W = น้ำหนักตัวอย่างน้ำมัน (กรัม)

หมายเหตุ: หากจะหาค่าปริมาณ CD ที่เพิ่มขึ้นในระหว่างการทดสอบน้ำมันที่ใช้ทดสอบให้นำปริมาณ CD หลังการทดสอบหักออกจากปริมาณ CD ก่อนการทดสอบ

การหาค่าเพอโรออกไซด์ (Peroxide value) ด้วยการออกซิไดซ์ร่วมกับเหล็ก

(Pegg, 2005)

วัสดุและอุปกรณ์

1. น้ำมันหรือไขมนต์สกัด ได้จากตัวอย่าง
2. เครื่อง量สเปกโตรโฟโตมิเตอร์
3. หลอดทดลอง
4. เครื่องปั่นhevying
5. ไมโครปีเป็ตขนาด 0.2 1 และ 5 มล.
6. ขวดปรับปริมาตรขนาด 50 100 และ 500 มล.
7. เครื่องซั่งที่ชั่งน้ำหนัก ได้ละเอียดถึง 0.0001 กรัม

สารเคมี (ควรใช้สารเคมีชนิด AR เกรด)

1. สารละลายคลอโรฟอร์ม : เมธานอล (7:3) เก็บได้ 2 สปีด้าห์ที่อุณหภูมิห้อง
3. สารละลายเฟอร์รัส(II) คลอไรด์
4. สารละลายมาตรฐานเฟอริก (III) คลอไรด์

วิธีเตรียมสารละลาย

1. สารละลายเฟอร์รัส (II) คลอไรด์

ละลายเฟอร์รัสชัลเฟต์จำนวน 0.5 กรัม ในน้ำกลั่น 50 มิลลิลิตร ใส่ลงบีกเกอร์ขนาด 10 มิลลิลิตร และละลายเบเรียมคลอไรด์จำนวน 0.4 กรัม ในน้ำกลั่น 50 มิลลิลิตร ใส่ลงบีกเกอร์ขนาด 10 มิลลิลิตร อีก 1 ใบ จากนั้นนำสารละลายเบเรียมคลอไรด์ใส่ลงในสารละลายเฟอร์รัสชัลเฟต์อย่างช้า ๆ ร่วมกับการคนอย่างสม่ำเสมอ เดิมกรดไฮโดรคลอโริกเข้มข้น 10 โนลลาร์ จำนวน 2 มิลลิลิตร และกรองด้วยกระดาษกรองเบอร์ 1 อย่างรวดเร็ว สามารถเก็บรักษาได้โดยเก็บลงในขวดสีชาที่อุณหภูมิห้องได้ไม่เกิน 1 เดือน

2. สารละลายน้ำตรฐานฟอริก (III) คลอไรค์

ละลายน้ำฟอริก คลอไรค์จำนวน 1.0 กรัม ในกรดไฮโดรคลอริกเข้มข้น 10 โมลล่าร์ จำนวน 50 มิลลิลิตร และเติมไฮโดรเจนเพอร์ออกไซด์ 30 เปอร์เซ็นต์ จำนวน 1-2 มิลลิลิตร ต้มให้เดือดนาน 5 นาที เพื่อระเหยไฮโดรเจนเพอร์ออกไซด์ส่วนเกินออกไปและทำให้เย็นที่อุณหภูมิห้อง เจือจางด้วยน้ำกลั่นจนครบ 500 มิลลิลิตร นำมา 1 มิลลิลิตร และเจือจางด้วยสารละลายน้ำฟอร์ม : เมธานอล (7:3) จนครบ 100 มิลลิลิตร เก็บรักษาได้เพียง 2 สัปดาห์ที่อุณหภูมิห้อง

3. สารละลายไชลินอลօอเรนจ์ (xylenol orange) เข้มข้น 10 มิลลิโนลาร์ โดยละลายน้ำ 3-3-bis[N,N-di (caeboxymethyl) aminomethyl]-o-cresolsulfonephthalein (หรือที่เรียกว่า xylene orange) ในน้ำกลั่นให้มีความเข้มข้น 10 มิลลิโนลาร์ ใน恢ดสีขาวที่อุณหภูมิห้องได้ไม่เกิน 1 เดือน (สารนี้มีน้ำหนักโมเลกุลโดยขึ้นอยู่กับปริมาณกรดคาร์บอซิตต์แต่ 1-4 หมู่ คือ 691.6 716.6 738.6 และ 782.6)

วิธีวิเคราะห์

1. ชั่งน้ำหนักน้ำมันตัวอย่าง 0.01-0.3 กรัม ให้ทราบน้ำหนักที่แน่นอนจนถึงระดับ 0.0001 กรัม ใส่ลงในหลอดทดลองพร้อมทั้งจดบันทึก
2. เติมสารละลายน้ำฟอร์ม : เมธานอล (7:3) จำนวน 9.9 มิลลิลิตร ผสมด้วยเครื่องเขย่านาน 2-4 วินาที
3. ปีเปตสารละลายข้อ 2. มา 1 หรือ 0.1 มิลลิลิตร (เจือจาง 10 หรือ 100 เท่าตามลำดับ)
4. เติมสารละลายน้ำฟอร์ม : เมธานอล (7:3) จำนวน 8.9 หรือ 9.8 มิลลิลิตร สารละลายไชลินอลօอเรนจ์เข้มข้น 10 มิลลิโนลาร์ จำนวน 50 ไมโครลิตร ผสมให้เข้ากันนาน 2-4 วินาที เติมสารละลายเพอร์รัส (II) คลอไรค์ จำนวน 50 ไมโครลิตร ผสมให้เข้ากันอีกครั้งนาน 2-4 วินาที (ปริมาตรสุดท้ายที่ใส่ลงในหลอดทดลองควรมีจำนวนทั้งหมด 10 มิลลิลิตร)
5. พักให้สารละลายที่ได้เป็นเวลา 5 นาที พอดีที่อุณหภูมิห้อง จากนั้นทำการวัดค่าการดูดกลืนแสงที่ช่วงคลื่น 560 นาโนเมตร โดยการเชตสูญด้วยสารละลายน้ำฟอร์ม : เมธานอล (7:3) (blank) (ควรทำการอุ่นเครื่องสเปกโตรโฟโตมิเตอร์อย่างน้อย 30 นาที)
6. สร้างกราฟมาตรฐานด้วยการแทนที่ตัวอย่างน้ำมันเป็นสารละลายน้ำฟอริก (III) คลอไรค์แทนจำนวนตั้งแต่ 0 0.25 0.5 0.75 1.00 และ 1.25 มิลลิลิตร เติมสารละลายน้ำฟอร์ม : เมธานอล (7:3) จำนวน 9.95 9.70 9.45 9.20 8.95 และ 8.70 มิลลิลิตร ผสมให้เข้ากันนาน 2-4 วินาที เติมด้วยสารละลายไชลินอลօอเรนจ์ เข้มข้น 10 มิลลิโนล จำนวน 50 ไมโครลิตร (ແบลงค์ในที่นี้คือสารละลายน้ำฟอร์ม : เมธานอล (7:3) จำนวน 9.95 มิลลิลิตร รวมกับ

สารละลายน้ำมันคลอโรเคนที่เข้มข้น 10 มิลลิโนลาร์ จำนวน 50 ไมโครลิตร และสารละลายน้ำตรูจันเพอร์ก (III) คลอไรด์ จำนวน 50 ไมโครลิตร)

7. พื้นที่ตกราฟค่าการดูดกลืนแสงที่ช่วงคลื่น 560 นาโนเมตร โดยแกน y (ค่าการดูดกลืนแสง) และแกน x (Fe^{+3} ในหน่วยไมโครกรัม) และหา slope ของเส้นกราฟ การคำนวณ

ค่า PV ในหน่วยมิลลิสัมมูลของออกซิเจน/น้ำมันตัวอย่าง (กิโลกรัม) ตามสมการดังนี้

$$PV = [(A_S - A_B) \times m_i] / (W \times 55.84 \times 2)$$

A_S = ค่าการดูดกลืนแสงของตัวอย่างน้ำมัน

A_B = ค่าการดูดกลืนแสงของ blank

m_i = ค่าอัอนกัดของค่า slope ($1/\text{slope}$ โดยหากจากขั้นตอนที่ 7)

W = น้ำหนักของตัวอย่างน้ำมัน (กรัม)

[55.84 เป็นน้ำหนักโมเลกุลของเหล็ก (ไมโครกรัม/ไมโครโนล) และ 2 เป็นไปตามสัดส่วนของสมการที่เท่ากันของมิลลิสัมมูลของออกซิเจน]

หมายเหตุ: หากจะหาค่า PV ที่เพิ่มขึ้นในระหว่างการทดสอบน้ำมันที่ใช้ทดสอบให้นำค่า PV หลังการทดสอบออกจากค่า PV ก่อนการทดสอบ

การหาค่าพารา-อะนิชีดิน

(AOCS official method Cd 18-20, 1998)

วัสดุอุปกรณ์

1. น้ำมันตัวอย่าง
2. หลอดทดลองขนาด
3. ขวดปรับปริมาตรขนาด 25 มิลลิลิตร
4. ไมโครปีเปตน้ำมัน 5 มล.
5. เครื่องชั่งที่ชั่งน้ำหนักได้ละเอียดถึง 0.0001 กรัม
6. เครื่องสเปกโตรโฟโตมิเตอร์

สารเคมี

1. 2,2,4-trimethylpentane (iso-octane)
2. กรดอะซิติริกเข้มข้น

3. สารละลายน้ำ-อะนิชีดีน โดยเตรียมจากชั้งสารพารา-อะนิชีดีนจำนวน 0.25 กรัม ละลายน้ำด้วยกรดอะซิติกเข้มข้นจนครบ 100 มล.

วิธีวิเคราะห์

1. ชั้งน้ำมันตัวอย่างจำนวน $0.5-4.0 \pm 0.001$ กรัม ใส่ลงในปรับปรุงปริมาตรและปรับจนครบ 25 มล.ด้วย iso-octane
2. นำไปวัดค่าการคูณกึ่นแสงที่ช่วงคลื่น 350 นาโนเมตร โดยใช้ iso-octane เป็นแบล็ค
3. ใช้ไมโครปีเพตขนาด 5 มล. คูณสารละลายน้ำ 1 จำนวน 5 มล. ใส่ลงในหลอดทดลองขนาด 10 มล. จำนวน 3 หลอด แล้วเติมสารละลายน้ำ-อะนิชีดีนหลอดละ 1 มล.
4. ทิ้งไว้ 10 นาที แล้วจึงนำไปวัดค่าการคูณกึ่นแสงที่ช่วงคลื่น 350 นาโนเมตร โดยใช้ iso-octane จำนวน 5 มล. ผสมรวมกับสารละลายน้ำ-อะนิชีดีน 1 มล. เป็นแบล็ค

การคำนวณ

$$p\text{-AV} = \frac{25 \times (1.2As - Ab)}{M}$$

โดย As = ค่าการคูณกึ่นแสงของสารละลายน้ำที่มีการเติมสารละลายน้ำ-อะนิชีดีน

Ab = ค่าการคูณกึ่นแสงของสารละลายน้ำ

M = น้ำหนักของน้ำมัน (กรัม)

หมายเหตุ: หากจะหาค่า p-AV ที่เพิ่มขึ้นในระหว่างการทดสอบของน้ำมันที่ใช้ทดสอบให้นำค่า p-AV หลัง การทดสอบหักออกจากค่า p-AV ก่อนการทดสอบ

การหาค่าทีบาร์ส

(Pegg, 2005)

วัสดุและอุปกรณ์

1. น้ำมันหรือไขมันที่สักได้จากตัวอย่าง
2. ขวดปรับปรุงปริมาตรขนาด 25 มล.ลิตร
3. หลอดทดลองที่มีฝาปิดแบบเกลียว
4. อ่างควบคุมอุณหภูมิ
5. เครื่องถ่ายเท้าด้วยคลื่นเสียง
6. เครื่องสเปกโตรโฟโตนิเตอร์
7. เครื่องชั่งที่ชั่งน้ำหนักได้ละเอียดถึง 0.0001 กรัม

สารเคมี

1. สารละลายน้ำมัน 1-butanol (ออยเล็กที่บินเท่ากับเกรดสเปคโตร)
2. สารละลายน้ำ 2-Thiobarbituric acid (TBA) 0.2 เปอร์เซ็นต์ ใน 1-butanol
3. สารละลายน้ำ Tetramethoxypropane (TMP) 0.2 มิลลิโลมาρ

วิธีเตรียมสารละลายน้ำ

1. สารละลายน้ำ 1, 1, 3,3-tetramethoxypropane (TMP) 0.2 มิลลิโลมาρ

ชั้งสาร TMP จำนวน 0.3280 กรัม ใส่ลงในบีกเกอร์ขนาด 100 มล. เจือจางด้วย 1-butanol เพียงเล็กน้อยและเทใส่ขวดปรับปริมาตรขนาด 100 มล. ปรับปริมาตรด้วย 1-butanol จนครบปริมาตรที่กำหนด (ความเข้มข้นที่ได้จะมี TMP ถึง 20 มิลลิโลมาρ) สามารถเก็บรักษาได้นาน 3 เดือน โดยเก็บที่อุณหภูมิ 4 องศาเซลเซียส ในส่วนของสารละลายน้ำ TMP เข้มข้น 0.2 มิลลิโลมาρ สามารถเตรียมได้จากนำ TMP เข้มข้น 20 มิลลิโลมาρ ข้างต้นมา 1 มล. และปรับจนครบ 100 มล. ด้วย 1-butanol และเทย่า ซึ่งสามารถเก็บรักษาได้มากกว่า 1 เดือน

2. สารละลายน้ำ 2-Thiobarbituric acid (TBA) 0.2 เปอร์เซ็นต์ ใน 1-butanol

ชั้งสาร TBA จำนวน 0.2000 กรัม ใส่ลงในบีกเกอร์ขนาด 100 มล. เจือจางด้วย 1-butanol ประมาณ 80 มล. ปิดปากบีกเกอร์ด้วยข้อลูมิเนซิมฟอยล์ นำไปปั่นคลื่นเครื่อง ultrasonic bath ประมาณ 1 ชั่วโมง เนื่องจากเป็นสารที่ละลายได้ค่อนข้างยาก เทใส่ขวดปรับปริมาตรขนาด 100 มล. พร้อมทั้งเจือจางด้วย 1-butanol จนครบและเทย่า

วิธีวิเคราะห์

1. ชั้งตัวอย่างน้ำมันหรือ ไขมันน้ำหนัก 50-200 มิลลิกรัม ลงในขวดปรับปริมาตรขนาด 25 มล. ขาดบันทึกน้ำหนักตัวอย่างน้ำมันที่ใช้ปรับปริมาตรด้วยสารละลายน้ำ 1-butanol จนครบ

2. นำสารละลายน้ำอย่างน้ำมันที่ได้จากข้อ 1 มา 5 มล. ใส่ลงในหลอดทดลอง เติมสารละลายน้ำ TBA เข้มข้น 0.2 เปอร์เซ็นต์ ใน 1-butanol จำนวน 5 มล. พร้อมกับเตรียมสารละลายน้ำแบบเดียวกันโดยนำสารละลายน้ำ 1-butanol จำนวน 5 มล. ผสมร่วมกับ TBA เข้มข้น 0.2 เปอร์เซ็นต์ ใน butanol อีกจำนวน 5 มล. ปิดฝาด้วยจุกพลาสติก ปั่นให้วายและนำหลอดทดลองที่ได้ใส่ลงในที่วางหลอดทดลอง

3. นำมานับในอ่างน้ำควบคุมอุณหภูมิที่อุณหภูมิ 95 องศาเซลเซียส เป็นเวลา 2 ชั่วโมง

4. เปิดเครื่องสเปคโตร โฟโตมิเตอร์และเซตช่วงความยาวคลื่นที่ 532 นาโนเมตร โดยทำการอุ่นเครื่องอย่างน้อย 30 นาที ก่อนวัดค่าน้ำมันตัวอย่าง

5. นำหลอดที่ได้ในข้อ 3 มาทำให้เย็นโดยใช้น้ำในหลอดผ่าน เพื่อให้ได้อุณหภูมิห้องภายใน 10 นาที

6. ทำการวัดค่าการดูดกลืนแสงของน้ำมันตัวอย่างที่ละลายน้ำใน quartz cuvette ที่ความยาวคลื่น 532 นาโนเมตร โดยใช้แบบลงค์ปรับค่าการดูดกลืนแสงให้เป็นศูนย์ (ถ้าค่าการดูดกลืนแสงมากกว่า 1 ควรใช้ตัวอย่างน้ำมันให้น้อยลงและทำการวัดซ้ำอีกครั้ง)

7. การสร้างกราฟมาตราตรฐานนำสารละลาย TMP เข้มข้น 0.2 มิลลิโมล จำนวน 0.08-0.40 มล. ใส่ลงในขวดปรับปริมาตรขนาด 10 มล. ปรับปริมาตรด้วย 1-butanol จนครบ

8. ทำการหาค่า TBARS ด้วยการนำสารละลาย TMP ที่ได้จากข้อ 8. มาจำนวน 5 มล. ผสมร่วมกับ TBA เข้มข้น 0.2 เปอร์เซ็นต์ ใน butanol อีกจำนวน 5 มล. ลงในหลอดทดลอง ปิดฝาด้วยจุกพลาสติก ผสมให้เข้ากันและนำหลอดทดลองที่ได้ใส่ลงที่วางหลอดทดลองบนครัว พร้อมกับเตรียมสารละลายเบนซอลค์เหมือนดังข้อ 2

9. ตามข้อ 3-7 ดังข้างต้นและนำค่าที่ได้มาพล็อตกราฟค่าการดูดกลืนแสงที่ช่วงคลื่น 532 นาโนเมตร โดยแกน y เป็นค่าการดูดกลืนแสงของตัวอย่างและแกน x เป็นมวลของน้ำอัลดีไฮด์ในหน่วยไมโครกรัม) และหาความชันของเส้นกราฟ

การคำนวณ

1. การคำนวณค่า K ตามสมการดังนี้

$$K = [(จำนวน \text{ไมลิกะกรัมของน้ำอัลดีไฮด์}/5 \text{ มล.})/A_{532}] \times m. \text{ ไมเลกุลของน้ำอัลดีไฮด์} \times DF \times 10^6]/m$$

โดยที่ (จำนวน ไมลิกะกรัมของน้ำอัลดีไฮด์/5 มล.)/A₅₃₂ = ค่า 1/slope ของกราฟมาตราตรฐาน โดยหาได้จากขั้นตอนที่ 9)

$$m. \text{ ไมเลกุลของน้ำอัลดีไฮด์} = 72.03 \text{ กรัม/ไมลิกะกรัม}$$

$$DF = \text{หน่วยของการเจือจาง (dilution factor)} \text{ เท่ากับ } 10/5$$

$$m = \text{น้ำหนักของตัวอย่างน้ำมัน (มิลลิกรัม)}$$

แทนค่าคงที่ตามสมการด้านบน

$$K = [(1/slope) \times 72.03 \text{ กรัม/ไมลิกะกรัม} \times (10/5) \times 10^6]/m$$

$$m = \text{น้ำหนักของตัวอย่างน้ำมัน (มิลลิกรัม)}$$

2. การคำนวณค่า TBA ในหน่วยมก. ของมวลของน้ำอัลดีไฮด์/น้ำมันตัวอย่าง 1 กรัม ตามสมการดังนี้

$$TBA = K \times A_{532}$$

โดยที่ A₅₃₂ = ค่าการดูดกลืนแสงของน้ำมันตัวอย่างที่ความยาวคลื่น 532 นาโนเมตร

หมายเหตุ: หากจะหาค่า TBARS ที่เพิ่มขึ้นในระหว่างการทดสอบน้ำมันที่ใช้ทดสอบให้นำค่า TBARS

หลังการทดสอบออกจากค่า TBARS ก่อนการทดสอบ

การหาปริมาณสารประกอบการรื้อนอนิล

(Pegg, 2005)

วัสดุและอุปกรณ์

1. น้ำมันหรือไขมันที่สกัดได้จากตัวอย่าง
2. ขวดปรับปริมาตรขนาด 50 และ 100 มล.
3. อ่างความคุมอุณหภูมิ
4. เครื่องสังเคราะห์ด้วยคลินเสียง
5. เครื่องสเปกโตรโฟโตเมตรีเตอร์
6. เครื่องชั่งที่ชั่งน้ำหนักได้ละเอียดถึง 0.0001 กรัม

สารเคมี (สารเคมีชนิด AR เกรด)

1. สารละลายเบนซิน
2. สารละลายโพแทสเซียม ไฮดรอกไซด์
3. สารละลาย 2-thichloroacetic acid (TCA) เข้มข้น 4.3 เปอร์เซ็นต์ ในเบนซิน
4. สารละลาย 2, 4-dinitrophenyldrazine (DNPH) เข้มข้น 0.05 เปอร์เซ็นต์ ในเบนซิน
5. แอลกอฮอล์บริสุทธิ์

วิธีเตรียมสารละลาย

1. สารละลายโพแทสเซียม ไฮดรอกไซด์

ชั้งสาร โพแทสเซียม ไฮดรอกไซด์จำนวน 4.0 กรัม ใส่ลงในบีกเกอร์ขนาด 100 มล. เจือจางด้วย แอลกอฮอล์บริสุทธิ์นำไปป่วงบนเครื่องให้ความร้อนพร้อมระบบกวนโดยใช้ไฟอ่อนหรือใส่ในอ่างน้ำระบบอุตสาหกรรมิก เพื่อเบย่าให้ละลายและควรเตรียมใหม่ทุกครั้งที่ใช้งาน เทใส่ขวดปรับปริมาตรขนาด 100 มล. เจือจางด้วยแอลกอฮอล์บริสุทธิ์จนครบและเบย่า

2. สารละลาย 2-thichloroacetic acid (TCA) เข้มข้น 4.3 เปอร์เซ็นต์ ในเบนซิน

ชั้งสาร TCA จำนวน 4.30 กรัม ใส่ลงในบีกเกอร์ขนาด 100 มล. เจือจางด้วยเบนซินประมาณ 80 มล. ปิดปากบีกเกอร์ด้วยอะลูมิเนียมฟอยล์ นำไปจุ่มลงเครื่องสังเคราะห์ด้วยคลินเสียงประมาณ 1 ชั่วโมง เนื่องจากเป็นสารที่ละลายได้ค่อนข้างยาก เทใส่ขวดปรับปริมาตรขนาด 100 มล. พร้อมทั้งเจือจางด้วย benzene จนครบและเบย่า เก็บรักษาได้ 2 สัปดาห์ที่อุณหภูมิห้อง

3. สารละลาย 2, 4-dinitrophenyldrazine (DNPH) เข้มข้น 0.05 เปอร์เซ็นต์ ในเบนซิน

ชั้งสาร DNPH จำนวน 0.05 กรัม ใส่ลงในบีกเกอร์ขนาด 100 มล. เจือจางด้วยเบนซินประมาณ 80 มล. ปิดปากบีกเกอร์ด้วยอะลูมิเนียมฟอยล์ นำไปจุ่มลงเครื่องสังเคราะห์ด้วยคลินเสียง

ประมาณ 1 ชั่วโมง เนื่องจากเป็นสารที่ละลายได้ค่อนข้างยาก เท่ากับปรับปริมาตรขนาด 100 มล. พร้อมทั้งเจือจางด้วยเบนซีนจนครบและเขย่า เก็บรักษาได้หลายเดือนที่อุณหภูมิ 4 องศาเซลเซียส

วิธีมิคระห์

1. ชั่งตัวอย่างน้ำมันหรือไขมันน้ำหนัก 50-80 มิลลิกรัม ลงในขวดปรับปริมาตรขนาด 50 มล. ขดบันทึกน้ำหนักตัวอย่างน้ำมันที่ใช้ ละลายด้วยเบนซีนจำนวน 5.0 มล.
2. เติมสารละลาย TCA เข้มข้น 4.3 เปอร์เซ็นต์ ในเบนซีนจำนวน 3.0 มล. และสารละลาย DNPH เข้มข้น 0.05 เปอร์เซ็นต์ ในเบนซีนอีก 5.0 มล. พร้อมกับเตรียมสารละลายเบนซีนที่ปรับปรุงกันโดยนำสารละลาย TCA เข้มข้น 4.3 เปอร์เซ็นต์ ในเบนซีนจำนวน 5.0 มล. และสารละลาย DNPH เข้มข้น 0.05 เปอร์เซ็นต์ ในเบนซีโนล 5.0 มล. ปิดฝาด้วยจุกพลาสติก ผสมให้เข้ากัน ทำเบนซีนไปพร้อมกันโดยเตรียมเข่นเตียงกันแต่ไม่เติมน้ำมัน
3. นำไปบ่มในอ่างน้ำควบคุมอุณหภูมิที่อุณหภูมิ 60 องศาเซลเซียส เป็นเวลาสาม十分ที่แล้วนำออกจากอ่างน้ำมาพักให้เย็นจนถึงอุณหภูมิห้อง
4. ในระหว่างที่รอให้เปิดเครื่องสเปกโตร โฟโตมิเตอร์และเซตช่วงความยาวคลื่นที่ 430 และ 460 นาโนเมตร โดยทำการอุ่นเครื่องอย่างน้อย 30 นาที ก่อนวัดค่าน้ำมันตัวอย่าง
5. จากข้อ 3 ทำการเติมสารละลายโพแทสเซียมไฮดรอกไซด์จำนวน 10 มล. และเจือจางต่อด้วยแอลกอฮอล์บริสุทธิ์จนครบ 50 มล. และผสมให้เข้ากัน พักไว้ 10 นาที โดยที่ทุกหลอดจะต้องพักไว้ 10 นาทีก่อนการวัดทุกครั้ง
6. ในขณะที่พัก 10 นาที ทำการปรับค่าการคูดคลื่นแสงให้เป็นศูนย์ด้วยสารละลายเบนซีนที่เตรียมจากข้อ 2 โดยใส่ลงใน quartz cuvette
7. เมื่อครบ 10 นาที ทำการวัดค่าการคูดคลื่นแสงของน้ำมันตัวอย่างที่ละลายไว้ที่ความยาวคลื่น 430 และ 460 นาโนเมตร ตามลำดับ
8. คำนวณปริมาณสารประกอบการบอนิล ตามสมการด้านล่าง

$$C_u = (3.861 \times A_{460} - 3.012 \times A_{430}) / 0.854$$

$$C_s = 3.861 \times A_{460} - 2.170 \times C_u$$

$$C_t = C_u + C_s$$

โดยที่ C_u = ปริมาณสารประกอบการบอนิลที่ไม่อิ่มตัว (ไมโครโมล)/น้ำมันตัวอย่าง (กรัม)

C_s = ปริมาณสารประกอบการบอนิลที่ไม่อิ่มตัว (ไมโครโมล)/น้ำมันตัวอย่าง (กรัม)

C_t = ปริมาณสารประกอบการบอนิลทั้งหมด (ไมโครโมล)/น้ำมันตัวอย่าง (กรัม)

A_{430} และ A_{460} = ค่าการคูดคลื่นแสงของตัวอย่างน้ำมันที่ช่วงคลื่น 430 และ 460 นาโนเมตร

หมายเหตุ: หากจะหาค่าปริมาณ CC ที่เพิ่มขึ้นในระหว่างการทดสอบน้ำมันที่ใช้ทดสอบให้นำปริมาณ CCหลังการทดสอบหักออกจากปริมาณ CC ก่อนการทดสอบ





ການພາ�ວັດ ດ

ແບບທດສອນທາງປະສາກລັນຜັສ

ภาคผนวก ก
แบบทดสอบทางประสาทสัมผัส

แผนการทดสอบทางประสาทสัมผัส

1. วิธีการทดสอบความชอบของผู้บริโภคเพื่อหาตัวอย่างอ้างอิงที่นำมาใช้ในการทดสอบ ทำโดยการทดสอบผู้ทดสอบชิมหัวไว้จำนวน 50 คน โดยวิธี Hedonic 9-points จากตัวอย่างข้าวแทนหลาบขี้ห้อในห้องตลาด ซึ่งแบบทดสอบชิมเป็นไปตามแบบทดสอบที่ 1

แบบทดสอบที่ 1
แบบทดสอบความชอบข้าวแทนแบบ hedonic 9-point

แบบทดสอบชุดที่.....

อายุ..... ปี เพศ..... วันที่ทำการทดสอบ.....

คุณรับประทานผลิตภัณฑ์ข้าวแทนหรือไม่ (ในช่วง 3 เดือนที่ผ่านมา)

รับประทาน

ไม่เคยรับประทาน

คำแนะนำ การทำการถ่ายปักก่อนทำการทดสอบและระหว่างการทดสอบตัวอย่างทุกครั้งด้วยน้ำเปล่าที่จัดให้ ผู้ทดสอบจะได้ตัวอย่างผลิตภัณฑ์จำนวน 4 ตัวอย่างที่มีเลขรหัสกำกับ ให้เริ่มการทดสอบตัวอย่างโดยเรียงลำดับจากซ้ายไปขวาตามรหัสที่จัดไว้ให้ และให้คะแนนตามความรู้สึกชอบที่มีต่อผลิตภัณฑ์

เริ่มทำการทดสอบผลิตภัณฑ์ที่ลงทะเบียนจากการพิจารณา สี ลักษณะ ปริมาณ หลังจากนั้นทดสอบความกรอบในขณะที่กัดตัวอย่าง พิจารณาลิ้น โดยการคอมแล้วจึงทำการซิม ในขณะที่ชิมผลิตภัณฑ์ (ตัวอย่างอยู่ในปาก) ให้พิจารณารสชาติและการอมน้ำมันของผลิตภัณฑ์ ในขณะที่เคี้ยว สุดท้ายจึงกลืนผลิตภัณฑ์ลงคอ ระดับการให้คะแนน

9 ชอบมากที่สุด	6 ชอบเล็กน้อย	3 ไม่ชอบปานกลาง	
8 ชอบมาก	5 เนยๆ	2 ไม่ชอบมาก	
7 ชอบปานกลาง	4 ไม่ชอบเล็กน้อย	1 ไม่ชอบมากที่สุด	
รหัส.....	รหัส.....	รหัส.....	รหัส.....

ชี
ลักษณะปรากฏ
ความกรอบ
กลิ่น
รสชาติ

การอนน้ำมัน
ความชอบโภชรวม

2. ขั้นตอนการคัดเลือกผู้ทดสอบชิม

ทำการคัดเลือกผู้ทดสอบชิมจากจำนวน 25 คน ที่ผ่านการประเมินเบื้องต้นให้เหลือจำนวน 10 คน โดยใช้นักศึกษาชั้นปีที่ 3 ภาควิชาเทคโนโลยีทางอาหาร คณะวิศวกรรมและอุตสาหกรรมเกษตร โดยเริ่มคัดจากการประเมินด้วยการแยกแบ่งกลุ่มและรสชาติพื้นฐาน ซึ่งแบบทดสอบชิม เป็นไปตามแบบทดสอบที่ 2 ที่แสดงถึงแบบทดสอบการรับรู้กลิ่นและรสชาติขั้นพื้นฐาน

จากนั้นทำการทดสอบความแตกต่างด้วยวิธี Duo-Trio เพื่อทดสอบการแยกแยะความแตกต่างจากผลิตภัณฑ์ข้าวแทนเก่าและใหม่ที่แสดงในแบบทดสอบที่ 3 ที่แสดงถึงแบบทดสอบความแตกต่างแบบ Duo-Trio หลังจากนั้นทำการทดสอบผู้ชิมโดยให้ทำการจัดอันดับ (Ranking test) โดยใช้จำนวนตัวอย่าง 4 ตัวอย่าง โดยบอกระดับความเข้มของข้อมูลต่าง ๆ ดังต่อไปนี้ ความสม่ำเสมอในการพองตัวของเม็ดข้าวนบนผิวน้ำ สีและความสว่างและกลิ่นที่นึ่ง ดังตัวอย่าง แบบทดสอบ

แบบทดสอบที่ 2 การรับรู้กลิ่นขั้นพื้นฐาน

หมายเลขผู้ทดสอบ.....	ชื่อผู้ทดสอบ.....
ชนิดตัวอย่าง.....	วันที่.....

กรุณารอสูดลมตัวอย่างทางจมูกเพียงเด็กน้อยและบอกความรู้สึกในการรับกลิ่น ด้วยการเรียงลำดับจากซ้ายไปขวาว่ากลิ่นที่รับรู้คืออะไรและอาจใช้คำศัพท์ที่คิดว่าสอดคล้องกับกลิ่นนั้น ๆ ตรวจสอบเพียงครั้งละ 1 ตัวอย่าง และปิดไฟให้สนิทก่อนจะทดสอบตัวอย่างอีกต่อไป ให้เวลาในการทดสอบ 30 วินาที/ตัวอย่าง จากนั้นพัก 15 วินาที ก่อนทำการทดสอบตัวอย่างอีกต่อไป

ตัวอย่าง	กลิ่นที่รับรู้
-----	-----
-----	-----
-----	-----

การรับสูรสาติขั้นพื้นฐาน

หมายเหตุผู้ทดสอบ..... ชื่อผู้ทดสอบ.....
 ชนิดตัวอย่าง..... วันที่.....

กรุณาดึงปากก่อนทำการทดสอบและระหว่างการเปลี่ยนตัวอย่างถัดไปทุกครั้ง ชิมตัวอย่างและบอกความรู้สึกในการรับรสตัวอย่างเรียงลำดับจากซ้ายไปขวา พร้อมทั้งระบุสาติที่ตรวจพบ (นม หวาน เค็ม เปรี้ยวและระบุไม่ได้) ตามหมายเหตุตัวอย่างที่ได้รับ

ตัวอย่าง	รสชาติที่รับรู้
-----	-----
-----	-----
-----	-----
-----	-----
-----	-----

แบบทดสอบที่ 3

แบบทดสอบ Duo-Trio

หมายเหตุผู้ทดสอบ..... ชื่อผู้ทดสอบ.....
 ชนิดตัวอย่าง..... วันที่.....

โปรดทำเครื่องหมาย ✓ ที่รหัสตัวอย่างเหมือน R

<input type="checkbox"/>	<input type="checkbox"/>
--------------------------	--------------------------

R

.....

แบบทดสอบที่ 4
แบบทดสอบ Ranking
หมายเลขอผู้ทดสอบ..... ชื่อตัวอย่าง..... ชื่อผู้ทดสอบ..... วันที่..... กรุณานั่งลำดับตัวอย่าง 4 ตัวอย่าง โดยวางรหัสบนเลขลำดับ โดยเลขลำดับ ที่ 1 = ชอบมากที่สุด 4 = ชอบน้อยที่สุด
<u>ความสม่ำเสมอในการพองตัวของเม็ดข้าวบนผิวน้ำ</u> รหัส ลำดับที่ 1 2 3 4
<u>สีและความสว่าง</u> รหัส ลำดับที่ 1 2 3 4
<u>กลิ่นหืน</u> รหัส ลำดับที่ 1 2 3 4

3. ขั้นตอนการฝึกฝนผู้ทดสอบชิม

ในขั้นตอนนี้ผู้ทดสอบที่ผ่านการคัดเลือกจำนวน 10 คน จะได้รับการฝึกฝนโดยใช้ชิมแล้วประชุมกันเป็นกลุ่มเพื่อบอกลักษณะที่เฉพาะที่เกิดขึ้นในตัวอย่างข้าวแทน ผู้ทดสอบชิมสามารถสรุปและทดลองกันได้ในความหมายของคำนิยามที่ให้กับลักษณะต่าง ๆ ของผลิตภัณฑ์ ซึ่งนี้ผู้ทดสอบจะทำงานกันเป็นกลุ่มและมีการปรึกษาหารือกัน เพื่อหาข้อสรุปในลักษณะของผลิตภัณฑ์ที่ต้องการทดสอบและอาจมีการเปลี่ยนแปลงคำนิยามหรือคำศัพท์ใหม่ก็ได้ แบบทดสอบที่ 5 แบบประเมินการทดสอบเชิงพรรณนาสำหรับการคิดค้นคำศัพท์ ส่วนหลังจากนี้เป็นการฝึกการประเมินแบบพรรณนา ซึ่งผู้ทดสอบจะต้องทำการทดสอบและประเมินผลิตภัณฑ์ด้วยตัวเองอย่างอิสระโดยใช้ แบบที่ใช้การทดสอบมีลักษณะเป็นเส้นตรง (Line scale) ที่มีความยาว 6 นิว หรือ 15 เซนติเมตร ที่มีการกำหนดความเข้มและอ่อนของแต่ละนิยามของผลิตภัณฑ์ที่ใช้ในการทดสอบ (Stone และ Slide, 1993) การฝึกฝนการให้คะแนนบนสเกลเส้นตรง บนเด็นจึงมีการกำกับระดับคะแนน

ที่จะให้แก่ผลิตภัณฑ์เพื่อความคุ้นเคย แบบทดสอบที่ 5 แบบทดสอบการพรรณนาแบบมีระดับการให้คะแนน หลังจากนั้นในการทดสอบจริงจะใช้สิ่งที่ไม่มีการกำกับระดับการให้คะแนน แบบทดสอบที่ 6 แบบทดสอบการพรรณนาแบบไม่มีระดับการให้คะแนนเนื่องจากอาจเป็นการซึ่งนำในการให้คะแนนของผู้ทดสอบขึ้น

แบบทดสอบที่ 5

แบบประเมินการทดสอบเชิงพรรณนาในการคิดค้นคำศัพท์

วันที่ทำการทดสอบ.....

หมายเหตุทดสอบ.....

ชื่อผู้ทดสอบ.....

กรุณาประเมินตัวอย่างตามลำดับจากซ้ายไปขวา โดยเขียนบรรยายลักษณะที่ตรวจพบ ได้ก่อนประเมิน ตัวอย่างต่อไปนี้ ก่อนการทดสอบผู้ทดสอบจะต้องเดือยหنمปิงจีดและล้างปากด้วยน้ำเปล่า โปรดให้สัญญาณเมื่อ ต้องการความช่วยเหลือหรือต้องการตัวอย่างเพิ่มจากเดิม

รหัส.....	รหัส.....	รหัส.....

แบบทดสอบที่ 6

แบบทดสอบการพறรณา

หนา เบอร์เลขผู้ทดสอบ.....

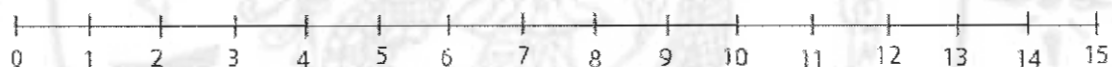
วันที่.....

ชื่อผู้ทดสอบ.....

คำแนะนำ : ควรทำการสังปากก่อนทำการทดสอบและระหว่างการทดสอบตัวอย่างทุกครั้งคั่วขึ้นนำไปล่าที่จัดให้เริ่มทำการทดสอบผลิตภัณฑ์ที่จะตัวอย่าง โดยเรียงลำดับจากซ้ายไปขวาตามรหัสที่จัดไว้ให้และให้คะแนนตามความรู้สึกที่มีต่อผลิตภัณฑ์ การพิจารณาเริ่มจากความสมำเสมอในการพองตัวของเม็ดข้าว สีและความสว่างหลังจากนั้นทดสอบความกรอบในขณะที่กัดตัวอย่าง พิจารณาถักลินหินโดยการคอมแล้วจึงทำการซิม ในขณะที่ซิมผลิตภัณฑ์ (ตัวอย่างอยู่ในปาก) ให้พิจารณาถักลิน-รสชาติของผลิตภัณฑ์ ในขณะที่เคี้ยวและถักลินผลิตภัณฑ์ลงคอแล้วกากบาท (X) พร้อมทั้งระบุรหัสตัวอย่างบนเส้นให้คะแนน

รหัสตัวอย่าง

ความสมำเสมอในการพองตัวของเม็ดข้าว



ไม่สมำเสมอ

ปานกลาง

มากที่สุด

หรือ

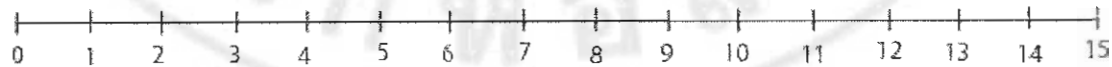


สีขาว

สีเหลืองทอง

สีนำตาลเข้ม

ความกรอบ

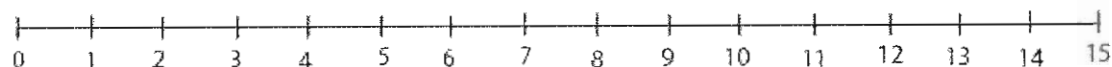


เหนียว

กรอบ-แข็ง

กรอบ-นิ่ม

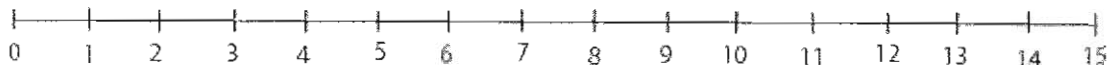
ถักลินหิน



ไม่มีถักลินหิน

อ่อน-ปานกลาง

หืนมาก

กลับ-รส

เหมือน-ไขมี-ขม

ปานกลาง

กลืน-รสดี

แบบทดสอบที่ 7

แบบทดสอบทางประสาทสัมผัสของผลิตภัณฑ์ข้าวแทน

หมายเลขผู้ทดสอบ.....

วันที่.....

ชื่อผู้

ทดสอบ.....

โปรดตั้งเกตคุณลักษณะต่าง ๆ ของตัวอย่างตามหัวข้อด้านล่าง แล้วกากบาทบนเส้นพร้อมทั้งระบุรหัส
ตัวอย่างบนเส้นให้ครบถ้วน

รหัสตัวอย่าง

ความสม่ำเสมอในการพองตัวของเม็ดข้าว

ไม่สม่ำเสมอ

สม่ำเสมอมาก

ดี

ดีซีด

สีน้ำตาลเข้ม

ความกรอบ

เหนียว

กรอบ-นิ่ม

กลืนหนืด

ไม่มีกลิ่นเป็น

พิเศษ

กลิน-รส

เหมือนไหมี-ชน

กลิน-รสดี

คำจำกัดความในการพิจารณาความแตกต่างของข้าวແຕນ

	ข้าวແຕນທອດใหม่	ข้าวແຕນເກີບນານ 3 ເດືອນ
ลักษณะเนื้อสัมผัส	กรอบ-ປະຈຸບ-ຮ່ວມ	กรอบແນ່ນ ຈາ
ສື	ສີເຂັ້ມອອກເຫຼືອງ-ນໍາຕາລ	ສີອອກຫາວີ້ດ-ເຫຼືອງ
ກລິ່ນ	ກລິ່ນທອດໃໝ່	ກລິ່ນນໍາມັນ

ตาราง 15 การให้คะแนนในการทดสอบเชิงพรรณนา

คุณลักษณะทางประสาทสัมผัส					
ระดับการให้	การ评分	คะแนน	ความกรอบ	ກລິ່ນ-ຮສ	ກລິ່ນຫືນ
คะแนน	ในการพองตัว	ສື	(%)		
0-3	0	ຫຼຶດ	ແຫີ້ຍາ	ຂມ-ໄຫມ້	ໄມ່ມີກລິ່ນ
4-6	25	ຫຼຶດ-ເຫຼືອງ	ແພື່ນນາກ	ເໜີນໄຫມ້ ນາກ	ມີກລິ່ນອ່ອນາ
7-9	50	ເຫຼືອງທອງ	กรอบແພື່ນ	ກລິ່ນໄມ່ພື້ນ ປະສົງກົດ	ມີກລິ່ນນ້ອຍ
10-12	75	ເຫຼືອງ- ນໍາຕາລ	กรอบ-ຮ່ວມ	ກລິ່ນນໍາມັນ	ມີກລິ່ນນາກ
13-15	100	ແຄງອື່ງ (ນໍາຕາລເຂັ້ມ)	กรอบ-ນິ້ມ	ກລິ່ນທອດໃໝ່	ມີກລິ່ນຈຸນນາກ



ตาราง 24 กวิเคราะห์ความแปรปรวนทางด้านการชั้นเรียนและการพยากรณ์ทางเดินทางโดยรวมที่มีพิมพ์ชนิดเดียวกันและทางการพยากรณ์โดยรวมที่มีพิมพ์ชนิดเดียวกัน
3 ขนาดเทียบกับแบบพิมพ์ของคุณแม่ภรรยา

Source	df	อัตราเร็วในการผลิต	ปริมาณชั้นเรียนที่คงรักเมื่อ	ปริมาณการแตกรักหลัง	F-3 ฟ้า
สิ่งทดสอบ (Tr)	3	27.629*	2.010	0.982	0.206
Error	8				1,103.450*
Total	12				

หมายเหตุ: * ที่ปรากฏอยู่ด้านหลังตัวเลขแสดงถึงมีความแตกต่างกันอย่างมีนัยสำคัญทางสถิติระหว่างตัวแปรตามที่มีนัยสำคัญทางสถิติทั้ง 95

ตาราง 25 กวิเคราะห์ความแปรปรวนทางด้านการชั้นเรียนที่มีพิมพ์และทางการพยากรณ์โดยรวมที่มีพิมพ์ชนิดเดียวกันและทางการพยากรณ์โดยรวมที่มีพิมพ์ชนิดเดียวกัน
3 ขนาด เทียบกับแบบพิมพ์ของคุณแม่ภรรยา

Source	df	อัตราเร็วในการผลิต	ปริมาณชั้นเรียนที่คงรักเมื่อ	ปริมาณการแตกรักหลัง	F-3 ฟ้า
สิ่งทดสอบ (Tr)	3	77.401*	0.667	27.134*	4.318*
Error	8				364.413*
Total	12				

หมายเหตุ: * ที่ปรากฏอยู่ด้านหลังตัวเลขแสดงถึงมีความแตกต่างกันอย่างมีนัยสำคัญทางสถิติระหว่างตัวแปรตามที่มีนัยสำคัญทางสถิติทั้ง 95

ตาราง 26 การวิเคราะห์ความแปรปรวนทางกายภาพของข้าวแทนที่ถูกทดลองทางทดลองหกชนิดในการเรียนแบบประเมินปริมาณความชื้น

Source	df	F-5 ข้าว			F-3 ข้าว		
		L*	a*	b*	ค่าความแข็ง	ปริมาณสารที่เหลือหลังหยอด	ปริมาณการหักหักผลิตภัณฑ์
อุบัติภัยมือเปล่า (T)	2	13.604*	6.546*	2.463	1.353	8.674*	2
ปริมาณความชื้น(M)	2	622.567*	443.09*1	101.658*	119.907*	5,328.054*	2
T × M	4	9.183*	1.873	18.224*	15.241*	235.369*	4
Error	81					45	0.559
Total	90				54		27.330*

หมายเหตุ: * ที่ปรับภาคอยู่ด้านหลังตัวเลขแสดงถึงมีความแตกต่างกันอย่างมีนัยสำคัญทางสถิติที่กว่าค่าที่กำหนดไว้ 95%

ตาราง 27 การวิเคราะห์ความแปรปรวนการเปลี่ยนแปลงคุณภาพตามต่อไปนี้ที่ใช้ทดสอบพิมพ์คอมพิวเตอร์ในการออกแบบและประเมินค่าความชื้น

Source	df	F-3 ชากา					
		FFA (lauric acid)	CD	PV	TBARS	p-AV	CC
อ่อนหักมั่นคง (T)	2	118.163*	6.990*	2.457	12.613*	33.896*	13.218*
ปริมาณความชื้น(M)	2	492.592*	0.300	9.996*	9.327*	63.813*	7.121*
T × M	4	7.356*	4.666*	10.228*	24.544*	11.628*	34.486*
Error	45						
Total	54						

หมายเหตุ: * ที่ปรับกู้อยู่ด้านหลังตัวเลขแสดงเม็ดความแตกต่างกันอย่างน้อยสี่เท่าคุณภาพต่อหนึ่งรูปคละ 95

ตาราง 28 การวิเคราะห์ความแปรผันทางภาษาพากายหลังการทดลองที่มีผลนาเจาชนิคของน้ำที่ใช้ทดลอง ฤทธิ์น้ำมันและเวลาในการทดสอบ

Source	df	F-5 ชั่ว			F-3 ชั่ว			
		L*	a*	b*	ค่าความแปรผัน	ปริมาณตัวอย่าง	df	ปริมาณการวัด
ชนิดน้ำมัน (O)	1	27.200*	86.081*	312.172*	33.866*	38.598*	1	0.334
ชนิดน้ำมันทดสอบ (T)	2	217.450*	7.860*	434.454*	96.342*	57.151*	2	16.214*
เวลาทดลอง (t)	2	41.864*	6.507*	53.539*	97.361*	11.122*	2	3.249*
O × T	2	104.603*	38.392*	104.326*	3.201*	1.446	2	0.842
O × t	2	14.830*	13.290*	4.326*	0.555	0.921	2	0.365
T × t	4	7.773*	2.301	0.833	1.591	1.182	4	0.076
O × T × t	4	8.247*	4.826*	4.367*	1.470	0.338	4	0.031
Error	180						100	
Total	200						120	

หมายเหตุ: * ที่ปริมาณน้ำมันหลังทดลองต่อวินาทีคงที่ไม่ความแตกต่างกันอย่างมีนัยสำคัญทางสถิติที่ระดับ 0.05

卷之二十九

Source	df	F-3 ៥၁				CC
		FFA (oleic acid)	CD	PV	TBARS	
៥ ឯកតាមៗ (O)	1	87.045*	19.192*	285.245*	14.119*	848.204*
៥ ឯកមុខិតុណ (T)	2	6.170*	3.436*	9.800*	90.469*	29.156*
៥ ទាមពុទ្ធ (t)	2	6.683*	0.937	18.411*	4.374*	12.490*
O × T	2	8.792*	9.208*	32.639*	37.675*	34.993*
O × t	2	10.875*	0.410	0.613	8.754*	9.307*
T × t	4	9.309*	3.471*	9.563*	6.976*	7.429*
O × T × t	4	4.606*	3.010*	11.656*	5.507*	14.254*
Error	100					1.435
Total	120					

ตาราง 30 การวิเคราะห์ความแปรปรวนทางค่าพารามิเตอร์ในการทดสอบที่ผ่านการตัดส่วนที่น้ำหนักตั้งแต่ 7

ตาราง 31 การวิเคราะห์ความเสี่ยงของภัยคุกคามที่มีผลต่อการดำเนินการตามแผนปฏิบัติการป้องกันภัยคุกคามในพื้นที่ จังหวัดเชียงใหม่ ประจำปี พ.ศ. ๒๕๖๓

Source	df	FFA (Oleic acid)	CD	PV	TBARS	p-AV	CC
ต่างพืช (Tr)	3	2.371	9.144*	2.703	19.044*	45.865*	105.981*
Error	32						

၁၉၅၂ ခုနှစ်၊ မြန်မာနိုင်ငြာနှင့် အမြတ်ဆင့် ပေါ်လေသူများ ရွှေ့ကြံ့ခြင်း

ตาราง 32 การวิเคราะห์ความแปรปรวนทางภาระของชีวภาพและกรรมวิถีของไข่ตุณยาทรงค่าทางสถิติที่มีผลมาจากการต่างๆ ที่ได้ลงในน้ำนมที่ใช้ทดสอบและระยะเวลาในการเก็บรักษาในช่วงต่างๆ

Source	df	F-5 ช้า		F-3 ช้า		F-3 ไว				
		ค่าความเสี่ยง	df	A _w	FFA (Oleic acid)	CD	PV	TBARS	p-AV	CC
การต้านออกซิเดชัน (A)	3	440.558*	3	134.226	37.345*	147.479*	14.800*	5.257*	78.758*	40.637*
เวลาในกระบวนการเก็บรักษา (T)	6	1,319.455*	6	127.993	1,804.063*	52.680*	41.153*	468.496*	11.144*	20.808*
A × T	18	18.726*	18	5.432	17.504*	10.953*	6.621*	12.388*	7.147*	11.242*
Error	392	224								
Total	420	252								

หมายเหตุ: * ที่ปรุงกัญชื้อกลางทางสถิติทางวิถีของไข่ตุณยาทรงค่าทางสถิติที่รับคลื่นรบกวนอย่างมากที่สุด

ตาราง ๓๓ การวิเคราะห์ความแปรปรวนของคุณลักษณะทางภาษาที่บันทึกมาจากการพัฒนาที่ต้องการให้ดีขึ้นตามที่ต้องการในหน่วยที่ใช้ทดลองและระยะเวลาในการเก็บรวบรวมข้อมูล ๗

Source	df	F-10 ชุด			ระดับก่อให้产生
		ความสม่ำเสมอ	สี	ความกว้าง	
การตัวแปรอิสระ (A)	3	1.152	75.233*	12.571*	3.786*
เวลาในการเก็บรักษา (T)	6	2.855*	2.567*	18.649*	13.260*
A × T	18	1.685	0.515	0.886	1.715*
Error	980				2.916*
Total	1008				

หมายเหตุ: * ที่ปรับค่าอยู่ด้านหลังตัวเลขแสดงความแตกต่างกันอย่างมีนัยสำคัญทางสถิติที่ระดับ ๐.๐๕

ประวัติผู้วิจัย

ชื่อ-สกุล นางสาว วารินี อินทรพงษ์นุวัฒน์
เกิดเมื่อ 11 ธันวาคม พ.ศ. 2523
ประวัติการศึกษา พ.ศ. 2541 มัธยมศึกษาตอนปลาย โรงเรียนสันป่าตอง
วิทยาคณ
จังหวัดเชียงใหม่
 พ.ศ. 2546 วิทยาศาสตรบัณฑิต สาขาวิทยาศาสตร์และ
 เทคโนโลยีการอาหาร คณะวิศวกรรมและ
 อุตสาหกรรมเกษตร มหาวิทยาลัยแม่โจ้
จังหวัดเชียงใหม่